



การพัฒนาการติดกระดาษจากหางน้ำยาง

Development of Paper Adhesives from Skim Latex

จตุพันธ์ จุพันธ์ทอง

Jatupan Julapantong

วิทยานิพนธ์นี้เป็นส่วนหนึ่งของการศึกษาตามหลักสูตรปริญญาวิทยาศาสตร์

มหาบัณฑิต สาขาวิชาเทคโนโลยีบรรจุภัณฑ์

มหาวิทยาลัยสงขลานครินทร์

A Thesis Submitted in Partial Fulfillment of the Requirements for the Degree of

Master of Science in Packaging Technology

Prince of Songkla University

2554

ลิขสิทธิ์ของมหาวิทยาลัยสงขลานครินทร์

(1)

ชื่อวิทยานิพนธ์

การพัฒนาการติดกรอบความจากทางนำทาง

ผู้เขียน

นายจตุพันธ์ จุพันธ์ทอง

สาขาวิชา

เทคโนโลยีบรรจุภัณฑ์

อาจารย์ที่ปรึกษาวิทยานิพนธ์หลัก

คณะกรรมการสอบ

(ดร.ศุภชัย วิสัยเพ็ญ)

(ดร.วรัญญา ศรีเดช)

อาจารย์ที่ปรึกษาวิทยานิพนธ์ร่วม

กรรมการ

(ดร.พรอุมา จิตพุทธิ)

(ดร.พรอุมา จิตพุทธิ)

บันทึกวิทยาลัย มหาวิทยาลัยสงขลานครินทร์ อนุมัติให้นับวิทยานิพนธ์ฉบับนี้
เป็นส่วนหนึ่งของการศึกษา ตามหลักสูตรปริญญาวิทยาศาสตรมหาบัณฑิต สาขateknology
บรรจุภัณฑ์

(ศาสตราจารย์ ดร.อมรรัตน์ พงศ์หารา)

คณบดีบันทึกวิทยาลัย

ชื่อวิทยานิพนธ์	การพัฒนาการติดกระดาษจากหางน้ำย่าง
ผู้เขียน	นายจตุพันธ์ จุพันธ์ทอง
สาขาวิชา	เทคโนโลยีบรรจุภัณฑ์
ปีการศึกษา	2554

บทคัดย่อ

หางน้ำย่างเป็นวัสดุเศษเหลือที่ได้จากการกระบวนการผลิตน้ำย่างขันที่มีศักยภาพในการนำมาพัฒนาเป็นการสำหรับงานบรรจุภัณฑ์ หางน้ำย่างโดยปกติจะมีคุณภาพและปริมาณเนื้อย่างที่ต่ำมาก ในงานวิจัยนี้ได้ทำการศึกษาการนำหางน้ำย่างมาปรับปรุงด้วยกระบวนการครีมมิ่งและการใช้สารเติมแต่งกลุ่มแทกคิไฟเลอร์เพื่อปรับปรุงสมบัติการยึดติดผิวสำหรับใช้ในสายการผลิตกระดาษลูกฟูก ในการศึกษาผลของแทกคิไฟเลอร์ 4 ชนิด ได้แก่ คิวมาโนนเรชิน กัมเรชิน ปิโตรเลียมเรชินและคิวโนโนนผสกนกับกัมเรชิน พบว่าแทกคิไฟเลอร์ที่เตรียมในรูปปิมลชันช่วยปรับปรุงสมบัติการยึดติดของหางน้ำย่าง ได้ดีกว่าและใช้ปริมาณแทกคิไฟเลอร์ที่น้อยกว่าแทกคิไฟเลอร์ที่เตรียมในรูปดิสเพรสชัน โดยคิวมาโนนเรชินให้ผลการปรับปรุงการยึดติดผิวของหางน้ำย่างดีมีสุด และเมื่อปริมาณคิวมาโนนเรชินมากขึ้น การยึดติดจะมีความแข็งแรงมากขึ้นที่ปริมาณคิวมาโนนเรชิน 5 phr ในหางน้ำย่าง ปริมาณของแข็ง 20% ให้สมบัติความต้านทานแรงเฉือนและความต้านทานการลอกของกระดาษคราฟท์ดีกว่าการแป้งมันสำปะหลังเล็กน้อย นอกเหนือกว่าหางน้ำย่างจะมีลักษณะความเสียหายของการยึดติดแบบ cohesive failure หรือ adhesive-cohesive failure เมื่อเปรียบเทียบกับการแป้งมันสำปะหลังที่มีการเสียหายแบบ fiber tear ในขณะที่เมื่อปริมาณของแข็งในหางน้ำย่างเพิ่มขึ้นการยึดติดจะมีความแข็งแรงขึ้นเช่นกัน หางน้ำย่างปริมาณของแข็ง 20% ให้สมบัติการยึดติดความต้านทานแรงเฉือน ความต้านทานการลอกและ pin adhesion test ของกระดาษลูกฟูก ไม่มีความแตกต่างอย่างมีนัยสำคัญกับหางน้ำย่างปริมาณของแข็ง 25 %($p<0.05$) ที่ปริมาณคิวมาโนนเรชิน เท่ากัน (5 phr) และในระดับห้องปฏิบัติการ เมื่อหางน้ำย่าง มีปริมาณของแข็งเพิ่มขึ้นเป็น 25% และปริมาณคิวมาโนนเรชินเพิ่มขึ้นเป็น 15 phr กระดาษลูกฟูกจะมีสมบัติการยึดติดที่สูงกว่าการแป้งมันสำปะหลังอย่างมีนัยสำคัญ โดยเฉพาะ ค่า pin adhesion test ของกระดาษลูกฟูก อย่างไรก็ตามในการทดสอบเพื่อเตรียมการในสายการผลิตแบบกึ่งต่อเนื่องกระดาษลูกฟูกที่เตรียมจากการหางน้ำย่าง กลับมีผลการทดสอบ pin adhesion test ที่ดีกว่าการยึดติดโดยใช้แป้งมันสำปะหลังอย่างมีนัยสำคัญ ($p<0.05$)

ดังนั้นการหางน้ำยาเจลลูกปุบปุบต่อ โดยพบว่าการหางน้ำยาเจลลูกปุบปุบของแข็ง 25% คิวามารอนเรซิน 5 phr ผสมร่วมกับการแป้งมันสำปะหลัง ในอัตราส่วน 50:50 ให้สมบัติการยึดติด และสมบัติเชิงกลของกระดาษลูกฟูกที่ใกล้เคียงกับการแป้งมันสำปะหลังมากที่สุด ในสายการผลิต ยังพบว่า อุณหภูมิและ ความเร็วของเครื่องจักร double facer มีผลต่อสมบัติของกระดาษลูกฟูกที่ เตรียมจากการหางน้ำยาเจลลูกปุบปุบ อย่างมีนัยสำคัญ ($p<0.05$) โดยที่อุณหภูมิ 150°C ความเร็ว 150 เมตร / นาที เป็นสภาวะการผลิตที่เหมาะสมสำหรับการใช้การหางน้ำยาเจลลูกปุบปุบ และที่สภาวะการเก็บรักษา กระดาษลูกฟูก $30^{\circ}\text{C}, 70\%\text{RH}$ จะส่งผลต่อการลดลงของค่า pin adhesion test อย่างมีนัยสำคัญ ($p<0.05$) เมื่อทำการทดสอบเพื่อเตรียมการในสายการผลิตแบบต่อเนื่อง พบร่วมกับการยึดติด ของการหางน้ำยาเจลลูกปุบปุบ pin adhesion test มีค่าต่ำกว่าการแป้งมันสำปะหลัง อย่างมีนัยสำคัญ ($p<0.05$) ในขณะที่ค่า ECT และ bursting strength มีค่าต่ำกว่าเล็กน้อย ดังนั้นการหางน้ำยาเจลลูกปุบปุบ มีความจำเป็นต้องปรับปรุงสมบัติการใช้งานกับเครื่องจักรต่อไป

Thesis Title	Development of Paper Adhesives from Skim Latex
Author	Mr. Jatupan Julapantong
Major Program	Packaging Technology
Academic Year	2011

ABSTRACT

Skim latex, a by-product of concentrated latex production process, has a particular potential to enable the development of adhesive for packaging applications. Typically, skim latex has very low quality and quantity of rubber content. In the present study, a skim latex adhesive developed by creaming process and tackifier additives was studied in order to improve surface adhesion properties for using in corrugated board production process. There were 4 types of tackifiers including coumarone resin, gum resin, mixed petroleum resin-coumarone conducted. It was found that tackifier emulsions could improve skim latex adhesion properties more efficiently than tackifier dispersions; a stronger bonding but a lesser amount of tackifier was observed. Coumarone resin offered the best improvement of adhesion properties of skim latex adhesive. As the additional of coumarone resin content increased, the better adhesion properties were obtained. The skim latex contained 20% total solid content (TS) with 5 phr coumarone resin provided slightly better shear strength and peel resistance of Kraft paper than tapioca adhesive. Furthermore, cohesive failure or adhesive-cohesive failure was observed from the adhesion failure of the skim latex adhesive compared to fiber tear failure of tapioca adhesive. In addition, as the total solid content of skim latex increased, the better adhesion properties were obtained. There was no statistically significant difference of adhesion properties: shear strength, peel resistance and pin adhesion test of corrugated board between skim latex contained 20% TS and 25% TS at the same coumarone resin content (5phr). By far the skim latex contained 25% TS and 15 phr coumarone provided significantly stronger adhesion properties than the tapioca adhesive especially the pin adhesion test value of corrugated board in lab scale. However, in semi pilot scale the corrugated board prepared from the preceding skim latex adhesive had significantly much poorer pin adhesion test value than the tapioca adhesive ($p<0.05$).

The following improvement of skim latex adhesive was then conducted. It was found that the skim latex adhesive prepared from 25%TS and 5 phr coumarone mixed with tapioca adhesive in the ratio of 50:50 offered the adhesion properties and mechanical properties of corrugated board closely to the tapioca adhesive. In production process, the temperature and the machine speed affected significantly on the properties of corrugated board prepared from skim latex adhesive ($p<0.05$) and the optimum conditions were 150°C and 150 m/min. In addition, the storage conditions of corrugated board at 30°C, 70%RH affected predominantly on the decrease of pin adhesion test values ($p<0.05$). In contrast, lower pin adhesion test value ($p<0.05$) and slightly lower ECT and bursting strength of the corrugated board prepared from the skim latex adhesive mix were indicated in pilot scale compared to tapioca starch. Therefore, the machinability of skim latex adhesive mix is needed to be further refined.

กิตติกรรมประกาศ

รายงานวิจัย ฉบับนี้สำเร็จลุล่วงไปได้ อย่างดี ข้าพเจ้าขอกราบขอบพระคุณ ดร.สุกชัย กิสัชเพ็ญ อาจารย์ที่ปรึกษาที่กรุณาให้คำแนะนำและช่วยแก้ไขปัญหาต่างๆ ในระหว่าง การค้นคว้าวิจัย ตลอดจนการตรวจแก้ไขรายงานจนสำเร็จลุล่วงด้วยดี

ขอขอบพระคุณสำนักงานพัฒนาวิทยาศาสตร์และเทคโนโลยีแห่งชาติ (สวทช.) และบัณฑิตวิทยาลัย มหาวิทยาลัยสงขลานครินทร์ ที่ให้ทุนอุดหนุนในการค้นคว้าวิจัย รวมทั้ง เจ้าหน้าที่คณะอุตสาหกรรมเกษตรทุกท่านที่ให้ความช่วยเหลือและความสะดวกในระหว่างการทำวิจัย

ขอขอบพระคุณบริษัทสยามบรา รุภัณฑ์ สงขลา (1994) จำกัด ที่ได้อนุเคราะห์ สารเคมีและอุปกรณ์ พร้อมทั้งเจ้าหน้าที่ทุกท่านที่ให้ความสะดวกและความร่วมมือในการทำวิจัย เป็นอย่างดี

และท้ายสุด นี้ขอกราบขอบพระคุณ คุณแม่ ด้วยความเคารพยิ่ง ที่ปลูกฝังให้ ข้าพเจ้ามั่นศึกษาหาความรู้เพิ่มเติมเรื่อยมา และเคยให้กำลังใจ รวมถึงคำแนะนำที่เป็นประโยชน์ ต่อข้าพเจ้า และขอขอบคุณพี่ๆ น้องๆ ในคณะทุกท่านที่ช่วยเหลือแนะนำ และให้กำลังใจข้าพเจ้าใน ระหว่างที่ศึกษาในระดับปริญญาโทนี้ด้วยดีเสมอมา

จตุพันธ์ จุพันธ์ทอง

สารบัญ

	หน้า
สารบัญ	(8)
LIST OF TABLES.....	(9)
LIST OF FIGURES.....	(12)
ตัวย่อและสัญลักษณ์	(16)
บทที่	
1 บทนำ.....	1
บทนำต้นเรื่อง.....	1
การตรวจเอกสาร	2
วัตถุประสงค์	53
2 วิธีการวิจัย	54
วิธีดำเนินการ.....	54
วัสดุและอุปกรณ์	65
3 ผลและวิจารณ์ผลการทดลอง	69
4 บทสรุปและข้อเสนอแนะ	114
เอกสารอ้างอิง	117
ภาคผนวก	123
ประวัติผู้เขียน	140

LIST OF TABLES

Table	Page
1. Compositions of latex	3
2. Compositions of latex, concentrated latex and skim latex	6
3. Properties of skim latex before creaming process from different sources.....	8
4. Properties of skim latex after creaming process from different sources	8
5. Contact angle and water wettability on surface of material	24
6. Amount of amylose in different starches	33
7. Self-seal envelope adhesive.....	37
8. Quick-grab adhesive.....	37
9. General-purpose latex adhesive	38
10. Pressure - sensitive adhesive tapes	38
11. Natural latex adhesives	41
12. Tapioca starch adhesive for corrugated board.....	43
13. Specification of corrugated flutes.....	48
14. Adhesives for solid board laminating.....	52
15. Skim latex adhesive for type of tackifiers study	55
16. Skim latex adhesive formulations for tackifier contents study	56
17. Skim latex adhesive formulations for total solid study	56
18. Skim latex adhesive mixed with PVOH study.....	57
19. Some properties of tapioca starch adhesive.....	70
20. Adhesion properties of corrugated board and kraft paper using tapioca starch adhesive.....	70
21. Some properties of tackifiers	72
22. Total solid content and pH of skim latex, concentrated skim latex and diluted cream skim latex at 10, 15, 20 and 25% TS.....	73
23. Drying time of adhesives	74
24. Contact angle of adhesive at time 0, 1, 2, 3, 4 and 5 minutes	75

LIST OF TABLES (Cont.)

Table	Page
25. Effect of tackifiers on adhesion properties of skim latex adhesive compared with tapioca starch adhesive.....	80
26. Effect of dispersion petroleum resin concentration on adhesion properties of adhesive	81
27. Effect of emulsions tackifier contents on adhesion properties of skim latex adhesive	84
28. Effect of tackifier content on adhesion properties of adhesive.....	90
29. Effect of solids content with skim latex to properties of adhesion properties of adhesive	94
30. Effect of coumarone resin content on adhesion properties of adhesive.....	95
31. Effect of coumarone resin content on adhesion properties of adhesive at double facer	96
32. Effect of polyvinyl alcohol 20 % on adhesion properties of skim latex adhesive	100
33. Basic properties of the skim latex adhesive mixed tapioca starch	102
34. Effect of temperature of double facer machine at speed of 100 m/s on pin adhesion	105
35. Effect of temperature of double facer machine on mechanical properties of corrugated board.....	107
36. Effect of speed of double facer machine on mechanical properties of corrugated.....	107
37. Effect of relative humidity and 7 days storage time on pin adhesion of corrugated board	109
38. Effect of relative humidity and 30 days storage time on pin adhesion of corrugated board.....	110
39. Adhesion properties of adhesive after pilot scale test.....	112
40. Amount of glue to the area.....	126
41. Cost of Tapioca starch adhesive	126
	(10)

LIST OF TABLES (Cont.)

Table	Page
42. Cost of coumarone resin	127
43. Cost of skim latex adhesive (coumarone resin 5 phr).....	127
44. Cost of skim latex adhesive (coumarone resin 15 phr).....	128
45. Cost of skim latex adhesive mixed with tapioca starch adhesive	128
46. Cost of skim latex adhesive mixed with PVOH (25 phr).....	129
47. pH of adhesives.....	130
48. Total solid of adhesives	132
49. Shear strength of adhesives	134
50. Peel strength of adhesives	136
51. Pin adhesion of adhesives.....	138
52. Bursting strength of adhesives	138
53. Edge crush test of adhesives	139
54. Viscosity of adhesives	139

LIST OF FIGURES

Figure		Page
1.	Molecular structure of natural rubber model <i>cis</i> -1, 4 polyisoprene.....	3
2.	Molecular structure of natural rubber model <i>trans</i> -1, 4 polyisoprene.....	3
3.	Characteristics of particle of natural rubber.....	4
4.	Structure of hydroxyl propyl methyl cellulose	7
5.	Cohesion and adhesion between adhesive with substrate	10
6.	Mechanical bonding	14
7.	Bonding with adhesive force between molecules of material.....	14
8.	Adhesive force with force electricity	15
9.	Adhesion and diffusion of combined molecules	15
10.	Adhesion by chemical bonding	16
11.	Failures of adhesion and fiber tear	19
12.	Forces used in adhesive bonding test	22
13.	The four classes of surface wettability types of surface based on their interaction with aqueous droplets	23
14.	Wetting behavior of a high-viscosity and a low-viscosity adhesive.....	24
15.	Wetting froms of liquids on surface	25
16.	Molecular structure of abietic acid	29
17.	Molecular structure of indene and coumarone	30
18.	A- and B-type polymorphs of amylose	32
19.	Structure of corrugated board	42
20.	Bonding dynamics	44
21.	Single wall corrugated board	47
22.	Forward roll kiss coater	49
23.	Reverse roll coater	50
24.	Laminating	50
25.	Double facer board mounting	51
26.	Preparing corrugated at double facer machine	58

LIST OF FIGURES (Cont.)

Figure	Page
27. Shear strength test	60
28. Peel strength test.....	62
29. Pin adhesion test	63
30. Testing Edge Crush Test	64
31. Stirrer mixing unit.....	66
32. Hot air oven	67
33. Mullen Bursting Strength Tester	67
34. Universal Testing Machine	67
35. Contact angle machine.....	68
36. Pin adhesion sample holder.....	68
37. Tapioca starch adhesive.	70
38. Tackifier emulsions (a) coumarone resin and (b) petroleum resin.....	72
39. Concentrated skim latex and serum water from creaming process.....	73
40. Contact angle of adhesives at time 0, 1, 2, 3, 4 and 5 minute (A) Tapioca starch adhesive (B) Skim latex 25% (C) Skim latex adhesive 25 % (coumarone resin 5 phr) (D) Skim latex adhesive 25 % (coumarone resin 15 phr) and (E) Skim latex adhesive 25 % (coumarone resin 5 phr) mixed tapioca starch adhesive.....	76
41. Contact angle of tapioca starch adhesive at time 0, 1, 2, 3, 4 and 5 minutes.....	77
42. Contact angle of skim latex adhesive 25 % at time 0, 1, 2, 3, 4 and 5 minutes....	77
43. Contact angle of skim latex adhesive 25 % (coumarone resin 5 phr) at 0, 1, 2, 3, 4 and 5 minutes.....	77
44. Contact angle of skim latex adhesive 25 % (coumarone resin 15 phr) at time 0, 1, 2, 3, 4 and 5minutes.....	77
45. Contact angle of skim latex adhesive 25 % (coumarone resin 5 phr) mixed tapioca starch adhesive at ratio of 50:50 at time 0, 1, 2, 3, 4 and 5 minutes....	78

LIST OF FIGURES (Cont.)

Figure	Page
46. Effect of dispersion petroleum resin concentration on adhesion properties of skim latex adhesive (a) shear strength and (b) peel strength.....	82
47. Effect of tackifier emulsions on adhesion properties of skim latex adhesive (a) shear strength and (b) peel strength.....	85
48. Cohesive failure of the skim latex adhesive (a) peel strength and (b) shear strength	88
49. Adhesive - cohesive failure of the skim latex adhesive after peel strength.....	88
50. Fractures of tapioca starch adhesive (c) peel strength and (d) shear strength	89
51. Effect of tackifier content on adhesion properties of adhesive (a) shear strength (b) peel strength and (c) pin adhesion test.....	91
52. Fractures of samples after pin adhesion test (a) Skim latex adhesive and (b) Tapioca starch adhesive.....	92
53. Effect of solid contents of skim latex on adhesion properties of adhesive (a) shear strength (b) peel strength and (c) pin adhesion test	93
54. Fractures of the skim latex adhesive (a) peel strength and (b) shear strength ...	95
55. Effect of coumarone resin content to adhesion properties (a) pin adhesion (b) bursting strength and (c) edge crush test.....	98
56. Effect of polyvinyl alcohol 20 % on adhesion properties of skim latex adhesive (a) shear strength and (b) peel strength.....	100
57. Fractures of skim latex mix polyvinyl alcohol	101
58. Pin adhesion of skim latex adhesive mix (A) Tapioca starch gel (B) Tapioca starch gel +NaOH 14% and (C) Tapioca starch adhesive	103

LIST OF FIGURES (Cont.)

Figure	
	Page
59. Fractures of skim latex mixed tapioca starch adhesive 50:50 after pin adhesion..	104
60. Degeneration of skim latex adhesive mixed tapioca starch (30:70).....	104
61. Inclined crushed flute defect of corrugated board.....	104
62. Pin adhesion of skim latex adhesives mixed tapioca starch adhesive at 120, 150 and 165 ^o C	106
63. Pin adhesion of skim latex adhesive mixed tapioca starch adhesive at machine speed of 120, 150 and 180 m/min	108
64. Pin adhesion of skim latex adhesive mixed tapioca starch adhesive at relative humidity 55%, 70 % and room temperature 7 days	110
65. Corrugated board bonded by skim latex adhesive in pilot scale test (a) Skim latex adhesive in tray of double facer (b) Corrugated board peeled off after pilot scale test.....	112

ຕັວຢ່ອແລະສ້າງລັກນໍ້າ

ECT = Edge Crush Test

phr = Parts Perhundred of Rubber

PVOH = Polyvinyl alcohol

TS = Total solid

บทที่ 1

บทนำ

บทนำต้นเรื่อง

ยางพาราจัดเป็นพืชเศรษฐกิจที่สำคัญของประเทศไทยซึ่งผลิตภัณฑ์ประรูปขันพื้นฐานจากยางพาราที่สำคัญ คือ น้ำยางขัน ซึ่ง ในประเทศไทยใช้กระบวนการปรับเปลี่ยนน้ำยางที่มีส่วนประกอบหลักคือ น้ำยางธรรมชาติที่ผ่านกระบวนการปรับเปลี่ยนจะถูกแยกเป็น 2 ส่วนคือ น้ำยางขันและหางน้ำยาง โดยที่ น้ำยางธรรมชาติ มีสมบัติเหนี่ยวติดแน่น ที่ดีจึงสามารถนำมาประรูป成การน้ำยาง และโดยเฉพาะอย่างยิ่งสารตัวทำละลาย (Solvent) มีราคาสูง การน้ำยางจะมีข้อได้เปรียบในด้านราคาน้ำยางที่ต่ำกว่าและเป็นมิตรกับสิ่งแวดล้อมกว่าการยางแห้ง ที่ต้องใช้ตัวทำละลายเตรียมไม้เป็นสารละลายยางเสียก่อน การใช้การน้ำยางธรรมชาติในงานต่างๆ เช่น การติดซองจดหมาย (Self-seal envelopes) ติดรองเท้า ติดพรอมติดกล่อง ติดเส้นใย เป็นต้น การใช้งานต่างๆ กันดังกล่าวสูตรของการน้ำยางก็จะต่างกันออกไป

ส่วนของหางน้ำยาง ซึ่งปกติแล้วขัดว่าเป็น วัตถุดินสอเหลือที่ได้จากการจัดการผลิตน้ำยางขัน ในการจัดการกับหางน้ำยางทาง โรงงานผลิตน้ำยางขันนิยมใช้กรดเข้มข้นในการจับตัวเพื่อผลิตเป็นยางคุณภาพต่ำ แต่เนื่องจากหางน้ำยางมีส่วนประกอบหลักเป็น โปรตีนและน้ำตาลจึงย่อยสลายได้อย่างรวดเร็วโดยแบคทีเรียในน้ำยาง ทึ่งในดิน น้ำ หรืออากาศ ทำให้เกิดกลิ่นเหม็นรุนแรง และเมื่อถูกปล่อยทิ้งลงแหล่งน้ำจะส่งผลต่อสิ่งแวดล้อม ดังนั้นหากไม่สามารถใช้ประโยชน์จากหางน้ำยาง ได้หมด โรงงานจำเป็นต้องใช้สารเคมีต่างๆ ในการบำบัดหางน้ำยางส่วนเกินก่อนปล่อยสู่แหล่งน้ำต่อไป หางน้ำยางทั่วไปจะมีคุณภาพต่ำ เนื่องจากมีคุณสมบัติ ต่างๆ เช่น ความยืดหยุ่น และความแข็งแรงของการยึดติด ไม่ดีเท่ากับน้ำยางขัน หรือ น้ำยางธรรมชาติ เนื่องจากอนุภาคของยางมีขนาดเล็กกว่า

กระดาษลูกฟูกเป็นวัสดุที่ออกแบบสำหรับใช้ในการผลิตบรรจุภัณฑ์เพื่อการขนส่ง เช่น กล่องกระดาษลูกฟูก วัสดุกันกระแทก และแท่นรองสินค้า ซึ่งได้รับความนิยมมากนี้ องจากมีความคงทนนานนักเบา สามารถนำไปใช้ประโยชน์ได้หลากหลาย เป็นมิตรกับสิ่งแวดล้อม ราคาถูก และสามารถปรับเปลี่ยนรูปทรงให้ตรงกับความต้องการได้ โดยแผ่นกระดาษลูกฟูกประกอบด้วย 3 ส่วนหลัก คือ ส่วนที่ 1 กระดาษแผ่นเรียบ (Liner board) ส่วนที่ 2 คือชั้นของภาชนะที่ยึดติด ระหว่างกระดาษแผ่นเรียบ กับ ลอนลูกฟูก และส่วนที่ 3 ลอนลูกฟูก (Corrugated medium) คือ ส่วนของกระดาษที่มีลักษณะเป็นลอนคลื่น

การเป็นวัสดุที่ใช้สำหรับยึดติดวัสดุตั้งแต่สองชนิดขึ้นไป ซึ่งมีบทบาทมากในวงการอุตสาหกรรม โดยการที่นิยมใช้ในการผลิตกระดาษลูกฟูก การผลิตกระดาษลูกฟูกในประเทศไทย คือ การแป้งมันสำปะหลังมีวัตถุ ดินที่สำคัญคือ แป้งมันสำปะหลัง โซเดียมไฮดรอกไซด์ น้ำ และบอร์แอร์ซ์ การผลิตการไม่ยุ่งยากแต่มีกับพืชปัญหาเรื่องอายุการเก็บสั่นเสื่อมเสียจาก จุลินทรีย์ นอกจานนี้ยังมีแนวโน้มที่จะมีราคางูงูขึ้นอย่างต่อเนื่อง ซึ่งการพัฒนาการที่ผลิตจากน้ำยางพาราหรือจากหางน้ำยางเพื่อนำมาใช้ในการผลิตกระดาษลูกฟูกจึงเป็นโอกาสที่น่าสนใจ ผู้วิจัยเล็งเห็นว่าหางน้ำยางสามารถนำมาใช้เป็นวัตถุดินในการเตรียมการได้เนื่องจากมีคุณสมบัติความยืดหยุ่นและ การยึดติด ถึงแม้ว่าสมบัติดังกล่าวไม่ได้เท่ากับน้ำยางข้นหรือน้ำยางธรรมชาติ แต่สามารถปรับปรุงคุณสมบัติความแข็งแรงของการยึดติดโดยใช้ร่วมกับสารเคมี เช่น สารเพิ่มการยึดติด (Tackifier) เป็นต้น

ซึ่งในการวิจัยนี้ เป็นการเตรียมหางน้ำยางร่วมกับสารเพิ่มการยึดติดในการเตรียมการให้มีคุณสมบัติการยึดติดที่เหมาะสมหรือใกล้เคียงกับการแป้งมันสำปะหลัง เพื่อสามารถนำไปใช้ในการผลิตกระดาษลูกฟูกในระดับอุตสาหกรรม และเพื่อเพิ่มน้ำหนักและการใช้ประโยชน์ของหางน้ำยาง

การตรวจเอกสาร

ยางธรรมชาติ (Natural Rubber)

ยางธรรมชาติเป็นสารประกอบไฮโดรคาร์บอนที่มีสูตรโมเลกุลคือ C_5H_8 โครงสร้าง 1 โมเลกุลประกอบด้วยไฮโอโซพรีนที่ต่อ กันแบบ linear cis-1, 4 polyisoprene ประมาณ 3,000 ถึง 5,000 หน่วยไฮโอโซพรีน มีน้ำหนักโมเลกุลโดยเฉลี่ยประมาณ 200,000 ถึง 400,000 กรัมต่้อมล มีการกระจายตัวของน้ำหนักโมเลกุลอยู่ในช่วงกว้างมาก (วรรณณ์ ชร.ไชยกุล, 2549) ลักษณะเด่นของยางธรรมชาติคือ ความยืดหยุ่น (Elasticity) ยางธรรมชาติจะมีความยืดหยุ่นสูง เมื่อแรงภายนอกที่มากระทำหมุนไป ยางก็จะกลับคืนสู่รูปทรงและขนาดเดิม (หรือใกล้เคียง) อย่างรวดเร็ว ยางธรรมชาติยังมีสมบัติคือเยี่ยมด้านการเหนียวติดกัน

โครงสร้างของยางธรรมชาติ

ยางธรรมชาติที่ได้มาจากการต้นยางพาราในตระกูล *Hevea Brasiliensis* มีโครงสร้างโมเลกุลเป็นแบบ cis-1, 4 polyisoprene ส่วนน้ำยาง จากต้น *Gutta percha* และ *Balata* จะมีโครงสร้างโมเลกุลเป็นแบบ trans-1, 4 polyisoprene มีโครงสร้างโมเลกุลเป็นระเบียบกว่าแบบ cis-1, 4 polyisoprene

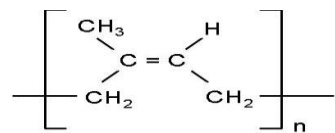


Figure 1. Molecular structure of natural rubber model *cis*-1, 4 polyisoprene.

ที่มา : วราภรณ์ ขาว ไชยกุล (2549)

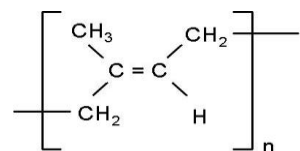


Figure 2. Molecular structure of natural rubber model *trans*-1, 4 polyisoprene.

ที่มา : วราภรณ์ ขาว ไชยกุล (2549)

ยางธรรมชาติ (Natural rubber, NR) ยางธรรมชาติเป็นน้ำยางจากต้นไม้สืบต้น ซึ่งน้ำยางที่ได้จากต้นยางมีลักษณะเป็นเม็ดยางเล็ก ๆ กระจายอยู่ในน้ำในรูปของอินคลชัน มีลักษณะเป็นของเหลวสีขาว มีสภาพเป็นคอลloid มีปริมาณของแข็งประมาณร้อยละ 30-40 และ pH 6.5-7 น้ำยางมีความหนาแน่นประมาณ 0.975-0.980 กรัมต่อมิลลิลิตร มีความหนืด 12-15 เซนติพอยส์ ส่วนประกอบของน้ำยางแบ่งได้เป็นสองส่วนที่สำคัญ คือ ส่วนที่เป็นเนื้อยางหรือยางแห้ง (DRC) มีปริมาณ 25 – 45 % และส่วนที่ไม่เป็นเนื้อยาง เช่น โปรตีน 1-1.5 % และน้ำตาล 1 % เป็นต้น

Table 1. Compositions of latex.

Compositions	Percent (w/w)
Total Solid Content (TSC)	27 - 48
Dry Rubber Content (DRC)	25 - 45
Protein	1 - 1.5
Resin	1 - 1.25
Ash	Up to 1
Sugar	1
Water	add 100

ที่มา: Blackley และคณะ (1997)

ส่วนประกอบของน้ำยาง (เสาวนี๊ย์ 2546)

ส่วนของเนื้อยาง มีส่วนประกอบหลัก ๆ ดังนี้ คือ

1. อนุภาคยาง ถูกห่อหุ้มด้วยสารจำพวกไบมันและ โปรตีน โดยโปรตีโน่

ชั้นนอกสุดและอาจมีโลหะบางชนิด เช่น แมกนีเซียม โพแทสเซียม และทองแดงปนอยู่เล็กน้อย โดยปกติอนุภาคยางจะแขวนลอยในน้ำ ประกอบด้วยสารประกอบพวากไซโตรคาร์บอน มีชื่อ โครงสร้างทางเคมีว่า ไอโซพรีน (*cis*-1, 4 polyisoprene) มีความหนาแน่น 0.92 กรัมต่omm³ มี น้ำหนักโมเลกุลเฉลี่ยอยู่ในช่วง 200,000-400,000 กรัมต่อมิลลิลิตร ลักษณะอนุภาคยางเป็นรูป ค่อนข้าง กลมคล้ายลูกเพชร มีขนาดอนุภาคแตกต่างกันมากอยู่ระหว่าง 0.04-4 ไมครอน แสดงดัง Figure 3 เมื่อนำน้ำยางสดมาปั่นด้วยความเร็วสูง พบร้า อนุภาคยางที่มีขนาดใหญ่จะแยกตัวออก จากชั้นน้ำ ชั้นماอยู่ด้านบนซึ่งสามารถแยกออกได้เป็นน้ำยางข้น ส่วนอนุภาคยางที่มีขนาดเล็กจะปนอยู่กับหาง น้ำยาง (Skim latex)

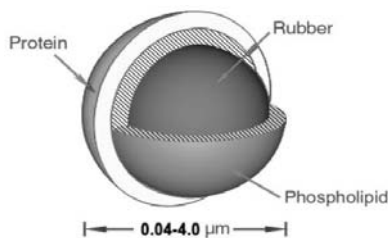


Figure 3. Characteristics of particle of natural rubber.

ที่มา : เสาวนี๊ย์ ก่อวุฒิกุลรังษี (2546)

2. โปรตีน (Protein) โปรตีนที่ห่อหุ้มอยู่ตรงผิวรอบนอก ของอนุภาคยางมีอยู่ ประมาณ 25 เปอร์เซ็นต์ของโปรตีนทั้งหมดที่มีอยู่ในน้ำยาง โปรตีนที่อยู่ในน้ำยางส่วนใหญ่เป็น ชนิด แอลฟากลูบูลิน และไฮวีน (α -globulin และ hevein) ส่วนนอกสุดของอนุภาคยางมีโปรตีน ห่อหุ้มอยู่ประมาณ 1 % ของอนุภาคยาง พวกละออลฟากลูบูลิน ไม่ละลายในน้ำแต่ละลายได้ในกรด ค่าง หรือเกลือ

3. ไบมัน (Lipid) ไบมันอยู่ระหว่างผิวของอนุภาคยางและโปรตีน ส่วนใหญ่เป็น สารพวกฟอสโฟไลปิด ชนิด α -lecithin ทำหน้าที่ยึดโปรตีนให้เกาะอยู่บนผิวของอนุภาคยางน้ำยาง ในสภาวะที่เป็นค่าง เช่น มีแอมโมเนียรอยู่ (ประมาณ 0.6 % ขึ้นไป) ฟอสโฟไลปิดจะถูกไฮโดรไลซ์ เป็นกรดไบมันที่มีโมเลกุลยาวซึ่งจะรวมตัวกันแอมโมเนียกลายเป็นสูญ ทำให้น้ำยางมีความเสถียร ยิ่งขึ้น

ส่วนที่ไม่ใช่ยาง มีส่วนประกอบหลักๆ ดังนี้ คือ

1. ส่วนที่เป็นน้ำหรือเชรุ่ม เชรุ่มของน้ำยางมีความหนาแน่นประมาณ 1.02 กรัมต่อ มิลลิลิตร ประกอบด้วยสารชนิดต่างๆ คือ คาร์บอไฮเดรตเป็นสารพากแป้งและน้ำตาลเมื่อยู่ในน้ำยาง ประมาณ 1% น้ำตาลส่วนใหญ่เป็นชนิดคิวบราชิตอล (Quebrachitol)
2. โปรตีนและกรดอะมิโน เป็นส่วนที่อยู่ในเชรุ่มของน้ำยาง
3. ส่วนของลูโตอิด์และสารอื่นๆ ลูโตอิด์ (Lutooids) เป็นอนุภาคที่ค่อนข้างกลม ขนาดเส้นผ่าศูนย์กลางประมาณ 0.5–3 ไมครอน ห่อหุ้มด้วยเยื่อบางๆ ภายในเยื่อบางๆ มีทึ้งที่ เป็นสารละลายและสารที่แขวนลอย มีค่า pH 5.5 ส่วนใหญ่ประกอบด้วยโปรตีน นอกจากนี้ยังมีส่วนของสารพากฟอสฟอฟิลปิดแขวน絡อยู่ประมาณ 0.5 % และมีสารโพลีฟินอลออกซิเดส

น้ำยางข้น (Concentrated latex)

หมายถึงน้ำยางธรรมชาติที่ผ่านกระบวนการเพิ่มความเข้มข้น โดยน้ำยางธรรมชาติที่มาผ่านกระบวนการเพิ่มความเข้มข้นแล้วจะมีปริมาณเนื้อยางประมาณร้อยละ 55-65 ซึ่งสูงกว่าน้ำยางสดที่มีปริมาณเนื้อยางประมาณร้อยละ 25-30 ทำให้สามารถทำการขนส่งได้ง่ายขึ้นเป็นอย่างมาก การผลิตน้ำยางข้น (สถาบันวิจัยยาง , 2542) กระบวนการผลิตน้ำยางข้น ได้จากการนำน้ำยางสดที่รักษาสภาพด้วยสารละลายเอมโมเนีย หรือสารละลายโซเดียมเซลล์ไฟฟ์ และนำมารีบบิ้นแยกด้วยเครื่องปั่นความเร็วสูง เพื่อแยกน้ำและสารอื่นๆ ที่ละลายอยู่ในน้ำออกไปบางส่วนจะได้น้ำยางแบ่งออกเป็น 2 ส่วน คือ

1. น้ำยางข้น 60% (Concentrated latex) รักษาสภาพด้วย 0.7% สารละลายเอมโมเนียชนิดเข้มข้นหรือ 0.2% สารละลายเอมโมเนียชนิดเจือจาง ร่วมกับสารรักษาสภาพน้ำยาง
2. หางน้ำยาง (Skim latex) นำมาใส่ NH_3 และเติม H_2SO_4 เพื่อให้หางน้ำยางจับตัวแล้วนำไปผ่านกระบวนการรีดเครฟหรือตัดย่อย เพื่อผลิตเป็นสกิมเครฟ หรือ สกิมบลือค

หางน้ำยาง (Skim latex)

หางน้ำยางเป็นของเหลวที่เหลือจากการทำน้ำยางข้นด้วยการนำน้ำยางส่วนมาทำ การปั่นเหวี่ยงหนีศูนย์กลางหรือเซนทริฟิวส์ แยกอนุภาคเม็ดยางออกจากน้ำ ซึ่งอนุภาคเม็ดยางเบา กว่าน้ำ ส่วนหางน้ำยาง ส่วนใหญ่แยกตัวออกไปเป็นน้ำยางข้น น้ำยางข้นที่ได้มีปริมาณเนื้อยางอยู่ร้อยละ 60-65 ซึ่งหางน้ำยาง คือส่วนที่เหลือจากการเซนทริฟิวส์แยกเนื้อยางส่วนใหญ่ออกไปแล้ว

ก็ยังมีส่วนของเนื้อยางออกมاد้วย ซึ่งเป็นเนื้อยางที่มีขนาดอนุภาคเล็ก ๆ มีปริมาณเนื้อยางอยู่ร้อยละ 3-6 (ขึ้นอยู่กับประสิทธิภาพของเครื่องปั่น) นอกจากนี้เป็นสารอื่นๆที่ไม่ใช่ยาง (Non-rubber constituents) ในปริมาณและชนิดที่แปรปรวน ซึ่งส่วนประกอบของหางน้ำยาง โดยทั่วไปเมื่อทำการ เช่นตริฟิวจ์น้ำยางสด จะได้น้ำยางข้นที่มีเนื้อยางแห้งประมาณ 60 % ในขณะที่หางน้ำยาง ประกอบด้วยเนื้อยางแห้งเพียง 4-8% เท่านั้น

ทรงพล ลิมพิสูจน์ และคณะ (2548) ศึกษาวิธีการทำการจากยางแท่งโดยมี ส่วนประกอบที่สำคัญ ได้แก่ ยางสกิน โกลูอีน white paraffin wax และ hydrogenated rosin และหา อัตราส่วนที่เหมาะสมของส่วนประกอบของยางแท่ง คือ สารละลายยางสกินที่มีความเข้มข้น 10 % โดยน้ำหนักมีโกลูอีนเป็นตัวทำละลายและปริมาณ white paraffin wax ที่เหมาะสม 1,500 phr ใน การขึ้นรูป และสารเพิ่มความเหนียวเป็น hydrogenated rosin ปริมาณ 100 200 300 400 500 phr หลังจากนั้นนำไปทดสอบหากาณหานีด และแรงเฉือน โดยใช้กระดาษเป็นวัสดุทดสอบ พนว่าหากา ยางที่มีปริมาณ hydrogenated rosin ปริมาณ 200 phr มีคุณภาพของการแท่งสูงกว่าการยางแท่งชนิด อื่น

Table 2. Compositions of latex, concentrated latex and skim latex.

Compositions	Latex	Concentrated latex	Skim latex
	100 g	50 g	50 g
DRC	32.5 gm	30 g/ 60%	2.5 g/ 5.0%
TSC	36.0 gm	30.75 g/ 61.50%	5.25 g/ 10.50%
TSC-DRC	3.5 gm	0.75 g/ 1.5%	2.75 g/ 5.50%
Mg++	200 ppm of latex	120 ppm	80 ppm
Serum	64 g	19.25 g/38.50%	44.75 g/ 89.50%
Total	100 g	50 g /100%	50 g/ 100 %

ที่มา : Morris, (1984)

จากตารางที่ 2 นี้จะเห็นว่า น้ำยางสด 100 กรัม ซึ่งมี DRC 32.5 กรัม เมื่อนำไปปั่น จะได้น้ำยางข้น 60%DRC ออกม่า 50 กรัม และได้หางน้ำยางซึ่งมีเนื้อยางปนอยู่ 5.0% ออกม่า 50 กรัม เช่นเดียวกัน

น้ำยางธรรมชาติไม่ว่าอยู่ในสถานะสัด หรือ สถานะที่มีการ ใส่สารรักษาสภาพน้ำ ยาง (Preserved latex) ประกอบ บด้วยสารละลายคอลloidic'แบบอิมัลชัน (Colloid emulsion) ของ

อนุภาคยางที่เขวนลอยอยู่ในตัวกลางที่เรียกว่า เชรุ่ม อนุภาคเล็กๆ ของยางที่เขวนลอยอยู่ในเชรุ่ม แสดงการเคลื่อนไหวของอนุภาคในน้ำยางสุดจะรวดเร็วกว่าการเคลื่อนไหวของอนุภาคยางในน้ำยาง ที่ใส่สารรักษาสภาพ อนึ่งเนื่องจากอนุภาคยางเบากว่าเชรุ่ม ดังนั้น อนุภาคยางเหล่านี้จึงมีแนวโน้ม ลอยตัวขึ้นสู่ผิวน้ำของน้ำยาง ได้ อนุภาคยางจะเคลื่อนที่ได้ประมาณเดือนละ 6 เซนติเมตร การ แยกตัวของอนุภาคยางเกิดเป็นลักษณะครีมอยู่บนผิวน้ำน้ำยางจะรวดเร็วขึ้น ถ้าอนุภาคยางมีขนาด ใหญ่ขึ้นและอนุภาคยางจะใหญ่ขึ้น ได้มีอัตโนมัติการเคลื่อนที่จะไปทำหน้าที่พอกหรือเคลือบผิวด้วย อนุภาคยาง จึงเรียกสารนี้ว่าเป็นตัวการทำให้เกิดครีม (Creaming agent)

สารก่อครีม (Creaming agent) ได้แก่ ไฮดรอกซิโพร์พิลเมทิลเซลลูโลส (Hydroxyl Propyl Methyl Cellulose, HPMC) มีลักษณะเป็นผงสีขาว ไม่มีกลิ่น ไม่มีรสสัมภูมิที่เหมาะสมใน การย่อยสลายคือ $190-220\text{ }^{\circ}\text{C}$ สามารถละลายได้ดีในตัวทำละลายอินทรีย์และน้ำเพื่อเปลี่ยนสภาพ เป็นกolloidal แต่ไม่สามารถละลายได้ในน้ำร้อน เป็นสารที่สามารถทำปั๊กกริยาได้ทันทีบริเวณ ผิวน้ำและมีความโปร่งใสสูง สามารถใช้เป็น suspending agent, thickening agent, emulsifier stabilizer, gellant และ dispersing agent เป็นต้น มีโครงสร้างดัง Figure 4

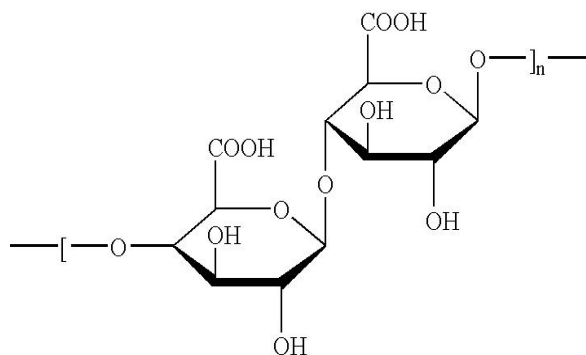


Figure 4. Structure of hydroxyl propyl methyl cellulose.

ที่มา : โชติรัส คงขัน (2552)

สุรพิชญ และคณะ (2007) การรวบรวมเนื้อยางจากหางน้ำยาง ได้มีการพัฒนาวิธีการ ที่ช่วยรักษาสิ่งแวดล้อมโดยการใช้ water-soluble biopolymer และอนุพันธ์ของมัน ที่เป็น flocculants โดยศึกษา ผลของ การครีมของ N, O-carboxymethyl chitosan และ hydroxyl propyl cellulose พบว่า สามารถครีมหางน้ำยาง ได้ด้วย flocculants ทั้งสองชนิดการแยก ก่อนระหว่างชั้นครีมและชั้นเชรุ่ม ขึ้นอยู่กับความเข้มข้นของ flocculants และเวลาในการครีม โดยการใช้ flocculants นี้ไม่ทำให้

อนุภาคยางเกิดการจับตัวในชั้นครีม หางน้ำยางที่ได้จากชั้นครีมสามารถรวมโดยการใช้กรดจับตัวปริมาณน้อย ผู้วิจัยสามารถรวมเนื้อยาง ได้มากกว่า 90% จากหางน้ำยาง

โชติรส คงขัน (2552) ได้ทำการศึกษาสมบัติของหางน้ำยาง จากโรงงานผลิตหางขัน source 1 ถึง 4 ที่ได้จากการกระบวนการครีมด้วย cellulose ether หางน้ำยางธรรมชาติที่ผ่านกระบวนการครีมมีจะมีความเข้มข้นเพิ่มขึ้นจาก 5% เป็น 30% โดยน้ำหนัก ส่วนสมบัติเชิงกลของหางน้ำยางที่ได้จากการกระบวนการครีมมี ได้แก่ tensile strength และ %elongation at break มีสมบัติที่ดีกว่าหางน้ำยาง โดยทั่วไป Table 3 และ 4 แสดงสมบัติของหางน้ำยางก่อนและหลังกระบวนการครีม

Table 3. Properties of skim latex before creaming process from different sources.

Properties	Source of skim latex			
	Source 1	Source 2	Source 3	Source 4
Total solid content (%TSC)	7.4 ± 1.1	8.0 ± 1.4	6.2 ± 0.7	6.3 ± 0.9
Dry rubber content (%DRC)	4.2 ± 0.3	5.1 ± 0.4	2.7 ± 0.2	4.4 ± 0.2
pH	10.1 ± 0.4	9.1 ± 0.5	10.0 ± 0.7	9.2 ± 0.6
Alkalinity (as NH ₃) (%)	0.29 ± 0.10	0.10 ± 0.06	0.23 ± 0.04	0.14 ± 0.07
Average particle size (μm)	0.128	0.222	0.130	0.134

ที่มา : โชติรส คงขัน (2552)

Table 4. Properties of skim latex after creaming process from different sources.

Properties	Source of skim latex			
	Source 1	Source 2	Source 3	Source 4
Total solid content (%TSC)	33.1 ± 1.1	27.7 ± 0.8	28.1 ± 1.1	32.9 ± 1.3
Dry rubber content (%DRC)	32.2 ± 0.3	25.2 ± 0.2	26.5 ± 0.3	31.5 ± 0.4
pH	9.9 ± 0.5	8.7 ± 0.2	9.2 ± 0.4	9.0 ± 0.1
Alkalinity (as NH ₃) (%)	0.20 ± 0.08	0.09 ± 0.03	0.17 ± 0.10	0.13 ± 0.04
Average particle size (μm)	0.142	0.273	0.130	0.153

ที่มา : โชติรส คงขัน (2552)

การบลูมในยาง (เกณรา เลาพิสธพานิชย์, 2551)

การบลูม (Blooming) คือปรากฏ การณ์ที่สารเคมีที่เป็นส่วนผสมในยางเกิดการแพร่เข้ามาที่พื้นผิวและเกิดการตกร่องกลาวยเป็นคราบของสารเคมีอยู่บนพื้นผิวของยาง

ตามหลักและทฤษฎีแล้ว สารเคมีเก็บอยู่ทุกชนิด ที่สามารถละลายเข้าไปในยางมีแนวโน้มที่จะเกิดการบลูมได้ โดยการบลูมของสารเคมีเหล่านี้ถือว่าเป็นข้อบกพร่องเชิงคุณภาพของผลิตภัณฑ์ นอกจากนี้ การบลูมยังก่อให้เกิดการประระเบื้องของยางอีกด้วย ทั้งนี้ ยางคอมพาวด์มีสมบัติหนึ่งคือ กันลดลง ซึ่งการบลูม สามารถเกิดขึ้นได้จากหลายปัจจัยด้วยกัน และเป็นการยากที่จะบ่งชี้ว่าปรากฏการณ์บลูม ที่พบนั้น เป็นบลูมจริง (True bloom) คือ บลูมที่เกิดจากการตกร่องกลาวยของสารเคมีหรือเป็นบลูมที่เกิดจากสารเอนไซม์ อย่างไรก็ตาม ไม่ว่าการบลูมที่พบจะเกิดจากสารเอนไซม์หรือสิ่งสกปรก เป็นฝ้าที่ พื้นผิวของของยางหรือปรากฏสีที่ไม่ต้องการ รวมถึงทำให้สมบัติยางลดลง

ถึงแม่ว่าการบลูมเป็นปัญหา แต่การบลูมนบางกรณีอาจก่อให้เกิดประโยชน์ได้ ตัวอย่าง เช่น การบลูมของไนก้า (Wax) หรือการบลูมของสารป้องกันการเสื่อมสภาพ (Antidegradant) เพราะเมื่อสารเคมีเหล่านี้เกิดการแพร่และตกร่องกลาวยบนพื้นผิวยาง ก็จะทำให้เกิดเป็นแผ่นฟิล์มบางเคลือบอยู่บนพื้นผิวน้ำของยาง ซึ่งแผ่นฟิล์มที่เกิดขึ้น สามารถทำหน้าที่ป้องกันยางจากการเข้าทำปฏิกิริยาของออกซิเจนและโอโซนได้ ทำให้ หัวผลิตภัณฑ์ยางมีอายุการใช้งานที่ยาวนาน

การเชื่อมแน่นและการยึดติด (Cohesion and adhesion)

กาว (Adhesive)

กาว หรือ adhesive คือ วัสดุที่ใช้สำหรับยึดติดวัสดุตั้งแต่สองชิ้นเข้าด้วยกัน ส่วนใหญ่เป็นวัสดุพากพอลิเมอร์ ซึ่งปัจจุบันการที่ใช้เป็นพากพอลิเมอร์สั่งเคราะห์ ทั้งที่เป็นชนิดเทอร์โมพลาสติก (Thermoplastic) ที่เป็นพอลิเมอร์แข็ง มีการยึดติดที่อุณหภูมิห้อง และอ่อนตัว เมื่อโดนความร้อน และการที่เป็นพากเทอร์โมเซตติ้ง (Thermosetting) เป็นพอลิเมอร์แข็งที่มีความคงทนต่อความร้อน ไม่ละลายในตัวทำลาย ซึ่งมีบทบาทในการใช้งานด้านต่างๆ กาวที่ใช้โดยทั่วไปส่วนใหญ่ เป็นการสังเคราะห์ และมีสมบัติที่เหมาะสมในการติดวัสดุแตกต่างกัน กาวเปรียบเสมือนการเชื่อมประสานผิวของวัสดุ ซึ่งการที่ใช้ส่วนมากเป็นของเหลวที่มีแรงตึงผิวต่ำเพื่อใช้งานได้ง่าย เนื่องจากของเหลวไหล รอบคลุมวัสดุ ได้ดี เมื่อเปลี่ยนสถานะจากของเหลวเป็นของแข็งทำให้ยึดติดได้แข็งแรง

ในการทำความเข้าใจการขึ้นติดของกาว ศัพท์เทคนิคของการที่สำคัญ ได้แก่

- Bond line ช่องว่างหรือแนวเส้นระหว่างผิววัสดุซึ่งบรรบุด้วยกาว
- Substrate วัสดุที่นำมาขึ้นติดด้วยกาว
- Surface ผิวน้ำของวัสดุที่ใช้ทำกาว
- Cure ปฏิกิริยาปั่นที่เปลี่ยนสถานะจากของเหลวเป็นของแข็ง ปฏิกิริยา

จะเกิดเนื่องจาก ความเย็น ตัวทำละลาย หรือสารเคมีที่เป็นส่วนประกอบ

- Green strength ความแข็งแรงของการขึ้นติดวัสดุเข้าด้วยกันในระยะแรกที่การเริ่มเปลี่ยนสถานะจากของเหลวเป็นของแข็ง
- Green time (Open time) ระยะเวลาที่กาวเปลี่ยนสถานะจากของเหลวเป็นของแข็ง
- Kick over การเพิ่มความหนืดอ่ายร้าดเร็วในขณะที่กำลังเกิดปฏิกิริยาเปลี่ยนสถานะ

- Pot life ระยะเวลาที่กาวคงสถานะของเหลวระหว่างการผสม
- Rheology ความสามารถในการไหล/ การเปลี่ยนรูปของสาร
- Viscosity ค่าความหนืดที่ด้านท่านการไหลของกาว
- Wetting การเปียกผิวจากหยอดของเหลวบนวัสดุที่เป็นของแข็ง
- Adhesive failure การเลี่ยหายจากกาวที่กาวหลุดจากวัสดุที่เชื่อมติด
- Cohesive failure การเลี่ยหายจากกาวที่เนื้อกาวแยกหลุดออกจากกัน

แรงเชื่อมแน่น (Cohesion หรือ Cohesive force) คือ แรงดึงดูดของโมเลกุลของสารชนิดเดียวกัน เช่น โมเลกุลเกิดขึ้นภายในกาวหรือตัววัสดุเอง เป็นต้น แรงยึดติด (Adhesion หรือ Adhesive force) คือ แรงดึงดูดระหว่างโมเลกุลของ กาวกับพื้นผิวที่ติด เช่น โมเลกุลของกาวกับกระดาษ เป็นต้น

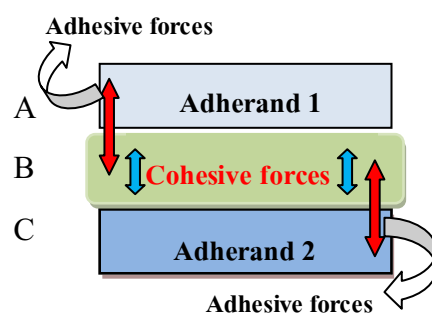


Figure 5. Cohesion and adhesion between adhesive and substrate.

↑ AB and CB is adhesive forces and ↓ is cohesive forces)

ประเภทของกาว (Type of adhesive)

1. แบ่งตามโครงสร้าง

1.1 กลุ่มนี้มีสายโซ่ไม่เกลี่ยกล้ำกัน แต่ละลายหรือแขวน絡อยอยู่ในตัวทำละลาย เช่น กาวลาเท็กซ์ หรือกาวยาง กาวพอกนีต์ต้องรอให้ตัวทำละลายแห้งก่อนจึงจะแข็งตัวและยึดติดได้ กาวพอกนีต์มีข้อดีคือ ราคาถูก ใช้งานง่ายแต่ไม่แข็งแรง ไม่ทนความร้อน และเมื่อถูกสารละลายที่เข้ากันได้จะเยิ่ม

1.2 กลุ่มนี้มีไม่เกลี่ยกล้ำกัน อาจเป็นพากมอนอมอร์ตัวเดียว หรือมีไม่ตัวมาต่อกัน เรียกว่าพรีโพลิเมอร์ (Prepolymer) จะมีการใช้สารเคมีช่วยในการเกิดปฏิกิริยาเพื่อให้ได้สายโซ่ยาว กาวชนิดนี้มีข้อดี คือ แข็งตัวเร็ว ยึดติดได้แน่นมากแต่ไม่ทนความร้อน และละลายได้ในตัวทำละลายบางชนิด

1.3 กลุ่มนี้มีลักษณะเป็นแท่งพลาสติก และต้องใช้อุปกรณ์ที่ให้ความร้อนในการหลอม กาวพอกนีต์มีสายโซ่ยาว แต่ไม่มีตัวทำละลายจึงมีสภาพเป็นของแข็ง เวลาใช้งานต้องใช้ความร้อนทำให้กาวหลอมเหลวและปล่อยให้เย็นตัวแข็งใหม่อีกครั้ง เช่น กาวแท่งโพลี อีโไมค์ และ กาวแท่งโพลิเอทธิลีน ไวนิลอะซีเตท กาวพอกนีต์มีจุดเด่น คือ ไม่หลัดตัว แต่ไม่ทนความร้อน

2. แบ่งตามลักษณะการใช้งาน (พัชชา ลิวชิราภรณ์, 2543)

2.1 Solvent adhesive เป็นกาวที่ใช้ตัวทำละลายที่ละลายได้ง่าย ซึ่งใช้กันมากในอุตสาหกรรมยางรถยกต์ สายพาน ซึ่งข้อได้เปรียบของกาวนิดนี้ คือ มีการเปียกผิวที่ดี (Wetting) มีการเข้าตัวเร็ว ทนทานต่อน้ำ และสามารถปรับปรุงให้เกิดพันธะที่แข็งแรงได้ แต่ในแง่การใช้งาน ต้องมีความระมัดระวังเป็นพิเศษในเรื่องของอันตรายที่อาจเกิดขึ้นจากตัวทำละลายที่เป็นสารระเหยง่ายซึ่งมีผลเป็นอันตรายต่อผู้ใช้งานหากมีการสูดดมเข้าไปและมีความไวไฟสูงต้องมีการระมัดระวังเรื่องการจัดเก็บ ตัวอย่าง กาวชนิดนี้ ได้แก่ สารละลายกาวจากยางธรรมชาติกาวโพลิเอโอม์ เป็นต้น

2.2 Hot melt adhesive กาวชนิดนี้โดยปกติแล้วอยู่ในรูปของแข็ง การใช้งานต้องมีการให้ความร้อนทำให้เนื้อกาวหลอม มากใช้ในอุตสาหกรรมที่มีกระบวนการผลิตเร็วและต่อเนื่อง เนื่องจากกาวชนิดนี้เมื่อยืนตัวจะเข็ตตัวได้เร็ว แต่มีข้อเสีย ใช้งานที่ละเอียดและพื้นที่ผิวมากๆ ไม่ได้ติดเฉพาะพื้นที่ผิวที่ทันอุณหภูมิสูง ตัวอย่างวัสดุที่ใช้ผลิตกาวประเภทนี้ ได้แก่ ในลอน , โพลิอสเทอร์ และ โพลิเอทธิลีน ไวนิลอะซีเตท เป็นต้น

2.3 Reactive adhesive กาวชนิดนี้เป็นกาวที่สามารถเกิดการโพลิเมอไรซ์ได้ โดย กาวชนิดนี้มีการเข็ตตัวเร็วมากที่อุณหภูมิห้องเมื่อเทียบกับกาว hot melt ดังนั้นการเก็บรักษาจึงเป็นปัญหาที่สำคัญ รวมถึงมีราคาแพง ตัวอย่างชนิดนี้ ได้แก่ กาวอีพอกซีเรซิน , กาวอะคริลิกและกาวไอโซไซยาเนต เป็นต้น

2.4 Pressure sensitive adhesive เป็นการที่เตรียมในรูปของเทปภา (Tape) ซึ่งจะเคลือบลงบนเซลล์โลฟน, โพลีเอทธิลีนและพีวีซี เป็นต้น ปัจจุบันนิยมใช้กันมากทางการแพทย์ด้านการผ่าตัด โดยวัสดุที่นิยมนำมาใช้ผลิตภัณฑ์นี้ คือ ยางธรรมชาติ

2.5 Emulsion adhesive เป็นการที่เตรียมอยู่ในรูปของเหลวขึ้นเมื่อหด ราคาถูกการผลิตไม่ยุ่งยาก สามารถใช้งานกับวัสดุพื้นผิวที่มีรูพรุนได้ เช่น ไม้กระดาษ พื้นปูนที่หยอดเนื่องจากภายนอกนี้มีส่วนประกอบที่เป็นน้ำอยู่ ซึ่งจะซึมเข้าไปในเนื้อวัสดุที่ทำได้ง่าย แต่เนื่องจากมีน้ำเป็นส่วนประกอบมากทำให้การเชื่อมตัวช้าและที่สำคัญ คือ มีอายุการเก็บที่สั้น ตัวอย่างวัสดุที่ใช้ผลิตภัณฑ์นี้ ได้แก่ น้ำยาหุงโพลีไวนิลอะซิเตต, น้ำยาหุงธรรมชาติ เป็นต้น

ส่วนประกอบของภา (Components of adhesives)

1. พอลิเมอร์ (Polymer) เป็นสารทำให้เกิดการยึดติดวัสดุเข้าด้วยกัน ซึ่งสารที่ใช้เป็นเนื้อการแบ่ง ได้ตามลักษณะดังนี้

1.1 พากที่ได้จากพืช (Vegetable gum) เช่น แป้งเด็กซ์ตริน (Dextrin) และน้ำยาหุงธรรมชาติ

1.2 โปรตีนจากพืชและสัตว์ ยาหุงธรรมชาติ เป็นต้น

1.3 สารอื่นๆ เช่น ยางมะตอย

1.4 สารพาก Thermoplastic resin เช่น cellulose ester alkyd และ acrylic esters polyamide เป็นต้น

1.5 สารพากยางสังเคราะห์ เช่น neoprene nitrile และ polysulphide เป็นต้น

2. สารกระตุ้น (Activator) เป็นสารเคมีที่เพิ่มลงบนผิววัสดุโดยตรงหรือสามารถสมกับการเพื่อเร่งการแห้งของภาให้เร็วขึ้น

3. สารเร่งปฏิกิริยา (Catalysts/ accelerators) เป็นสารเคมีที่ใช้ในปริมาณน้อยเพื่อให้การเปลี่ยนเป็นของแข็ง

4. Curing agent เป็นสารเคมีที่ใช้เพื่อให้การเปลี่ยนเป็นของแข็ง

5. สารอื่นๆ (Miscellaneous components) ได้แก่

5.1 สารป้องกันการเสื่อมสภาพ (Antioxidant) เป็นตัวช่วยป้องกันการเสื่อมสภาพของพันธะคู่ในพอลิเมอร์เนื่องจากการใช้งาน

5.2 สารช่วยเสริมประสิทธิภาพของพื้นที่ผิว (Surface active) เสริมความเสถียรของ colloidal และความสามารถในการเปียกที่ผิว

5.3 สารป้องกันการแข็งตัว เป็นกลุ่มของพาก Stabilizer เช่น พาก เอทธิลีนไอกลคอล (Ethylene glycol) และ กลีเซอรอล (Glycerol) เป็นต้น

5.4 สารป้องกันเชื้อรา เช่น เพนตัลคลอร์ฟีโนอล (Pentachlorophenol) และสารประกอบอนทรีย์ของproto เป็นต้น

5.5 สารป้องกันการกัดกร่อน เช่น โซเดียมเบนโซเอท (Sodium benzoate)

5.6 สารป้องกันการเกิดฟอง เช่น N-hexyl alcohol, N-octyl alcohol นี่องจากหากการเกิดฟองบริเวณที่ทາพเพื่อเชื่อมต่ออาจทำให้เกิดจุดล้มเหลวของภาชนะ

5.7 สารป้องกันการติดไฟ เช่น antimony trioxide

5.8 สี เป็นต้น

6. พลาสติกไซเซอร์ (Plasticizers) เป็นสารที่เติมเพื่อป้องกันการเปราะของภาชนะ ความถูกต้องนิยมมีความแข็งแรงสูงแต่เมื่อยู่ในสภาพที่ไดรับแรงกดสูงความมีโอกาสที่จะเกิดแตกร้าวได้ (Crack) โดยพลาสติกไซเซอร์จะช่วยทำให้ภาชนะมีความยืดหยุ่นมากขึ้นเพื่อลดความเปราะของตัวภาชนะ

7. ตัวทำละลาย (Solvent) เป็นสารที่เติมเพื่อให้ภาชนะสามารถดูดซึมน้ำได้โดยไม่ทำให้ตัวภาชนะหักเหหรือเสียหาย ตัวทำละลายจะระเหยออกจากภายในขณะที่กำลังจะ cure ซึ่งกระบวนการนี้จะใช้ตัวทำละลายเป็นสารเจือจาง (Diluents)

8. แทกคิไฟเออร์ (Tackifier) บากใช้เติมในการงานประเภทเท่านั้น โดยใช้ในปริมาณที่เหมาะสมเพิ่มความหนานิยมหรือเพิ่มความสามารถในการเกาะติด (Ability to stick)

กลไกการยึดติด (Adhesion mechanism)

การจะทำให้วัสดุสองชนิดหรือมากกว่าติดเข้าด้วยกันนั้นต้องทำให้อะตอมหรือโมเลกุลของวัสดุทั้งสองเข้าใกล้กันมากที่สุดและเพียงพอเพื่อให้เกิดแรงกระทำระหว่างโมเลกุล

1. การยึดติดทางกล (Mechanical bonding) แรงยึดเหนี่ยวเกิดจากการเกี่ยวติดกันระหว่างโมเลกุลของภาชนะ ตัวอย่างเช่น เมื่อหัวเข็มเข้าไปแทนที่ของในช่องว่างบนพื้นผิวของวัสดุ หรือการแพร่ผ่านไปในพื้นผิวของวัสดุ การติดทางกลแบบนี้จะเกิดการติดได้เมื่อพื้นผิวของวัสดุมีความขรุขระ ทำให้พื้นผิวสัมผัสกับการเคลื่อนไหว ตัวอย่างเช่น ไม้กระดาษหรือเส้นใยเมื่อทากาว กาวจะซึมเข้าไปตามช่องว่างผิวและทำให้พื้นที่ผิวภายในมีการยึดติดมากขึ้น

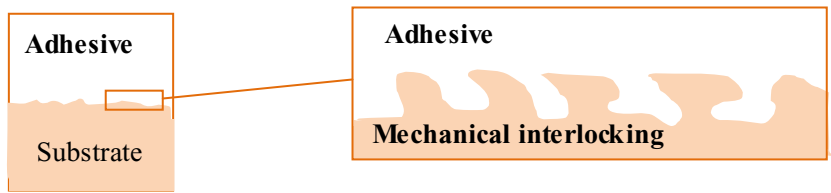


Figure 6. Mechanical bonding.

2. การยึดติดด้วยแรงกระทำระหว่างโมเลกุลของการกัดซับผิววัสดุ (Adsorption or thermodynamic theory) การยึดติดด้วยแรงวนเดอร์วาลส์ (Van der Waals forces) ที่บริเวณผิวสัมผัสของการกัดซับวัสดุ ปัจจัยที่มีผลต่อความแข็งแรงในการติดของกลไกนี้ขึ้นอยู่กับความสามารถในการให้หล่อของการครอบคลุมพื้นที่ผิวของวัสดุ ดังนั้นการที่ต้องมีแรงตึงผิวต่ำ

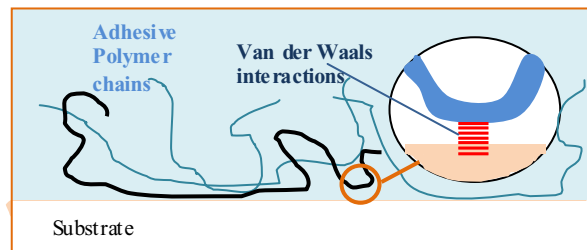


Figure 7. Bonding with adhesive force between molecules of material.

3. การยึดติดด้วยแรงทางประจุไฟฟ้า (Electrostatic theory) แรงดึงดูดเกิดจากอัตรากริยาของประจุไฟฟ้า (Electrical interaction) เป็นการเคลื่อนที่ของอิเล็กตรอนมากไปยังอิเล็กตรอนน้อย ที่แตกต่างกันบริเวณผิวสัมผัสของการกัดซับวัสดุ เช่น การยึดติดของพอลิเมอร์กับโลหะ

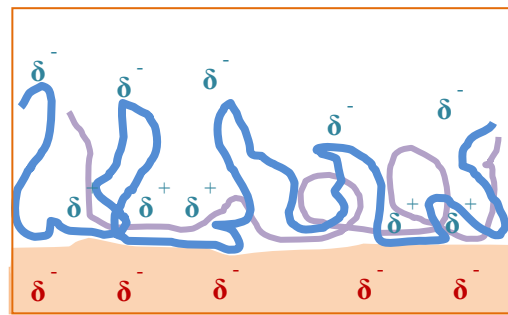


Figure 8. Adhesive force with force electricity.

4. การยึดติดที่เกิดจากการแพร่ (Diffusion theory) เป็นการยึดติดที่เกิดจากการแพร่ของโมเลกุลแทรกผ่านรวมข้ามสู่ด้วยกันของโมเลกุลระหว่างพื้นผิวของภาชนะและวัสดุ (Interdiffusion of chain) เป็นการแพร่ของสายโซ่โมเลกุลภายใน มีการเคลื่อนไหวและการบิดตัวของสายโซ่ ซึ่งปัจจัยที่มีผล เช่น เวลาที่ใช้ในการเชื่อมติด อุณหภูมน้ำหนักโมเลกุลเป็นต้น นอกจากนี้ยังสามารถเพิ่มความสามารถในการแพร่ของสายโซ่โมเลกุลการ ได้ โดยการเพิ่มแรงกดเพิ่มอุณหภูมิ เพิ่มเวลาในการยึดติด หรือลดน้ำหนักโมเลกุลของสายโซ่ หรือใช้ Plasticizer, Tackifier ร่วมด้วย

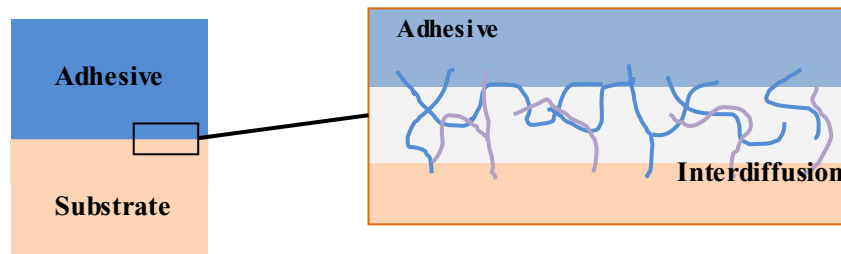


Figure 9. Adhesion and diffusion of combined molecules.

5. การยึดติดที่เกิดจากพันธะเคมีระหว่างผิวสัมผัสระหว่างการกับวัสดุ (Chemical bonding theory) ซึ่งพันธะทางเคมีที่เกิดขึ้นระหว่างการและผิวสัมผัสมีด้วยกันหลายแบบ และพลังงานพันธะไม่เท่ากัน ส่งผลต่อความแข็งแรงของการยึดติด โดยหากพลังงานพันธะสูงแสดงว่าพันธะมีความแข็งแรงมาก

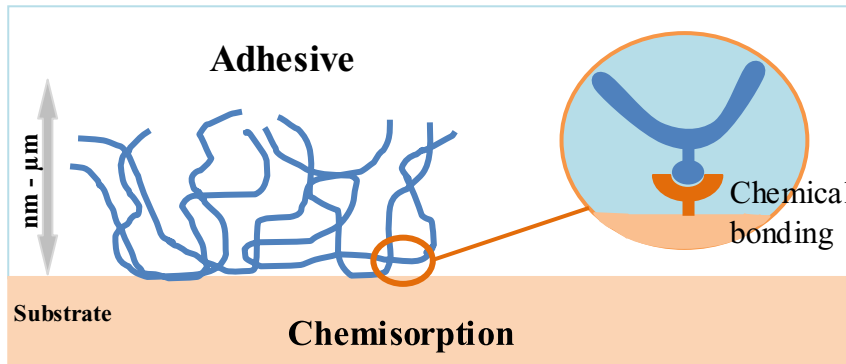


Figure 10. Adhesion by chemical bonding.

พันธะที่เกิดขึ้นในระดับของโมเลกุลของกาว

แรงที่ใช้ในการเชื่อมประสานระหว่างกาวและวัสดุ เพื่อให้เกิดความแข็งแรงในการยึดติดกับวัสดุในระดับอะตอม และโมเลกุล พันธะที่เกิดขึ้น ประกอบไปด้วยพันธะ ทางเคมี (Chemical bond) และพันธะทางกายภาพ (Physical bond)

1. พันธะทางเคมี (Chemical bond) ทำให้เกิดการเชื่อมโยงอะตอม ได้แก่
 - พันธะ โควาเลนต์ (Covalent bond) เป็นผลที่เกิดขึ้นระหว่างอะตอมซึ่งอยู่ห่างกันน้อย

อธิบาย โดยสมการของ Lennard – Jones

$$U = -A/(2(r^6 - r^{12}))$$

โดยที่ U คือ พลังงานแฟรง (Potential energy) ของระบบที่ตอบสนองต่อการแยกออกของอะตอม เป็นระยะ r (รัศมี)

ซึ่งถ้าอะตอมระยะห่างกันมากจะทำให้ potential energy สูง แต่ถ้าอะตอมอยู่ใกล้กันมากจะทำให้ potential energy ต่ำ

- พันธะ ไอออนิก (Ionic bond) เป็นผลที่เกิดจากปฏิกิริยาระหว่างประจุ 2 ประจุ ที่ตรงกันข้ามกัน เช่น Na^+ และ Cl^- ซึ่งอธิบายได้โดยสมการดังต่อไปนี้

$$U_{\text{ionic}} = q^+ q^- / r^6$$

$$F_{\text{ionic}} = q^+ q^- / r^2$$

โดยที่ $q^+ q^-$ คือ ผลคูณของประจุไอออนิก
 r คือ ระยะห่างของอะตอม

2. พันธะทางกายภาพ (Physical bond) มีความแข็งแรงของพันธะน้อยกว่า พันธะ โควาเลนต์ และพันธะ ไอออนิก ซึ่งเป็นพันธะทางเคมี ได้แก่

- พันธะไฮดรอเจน (Hydrogen bonds) เป็นพันธะที่เกี่ยวข้องกับอิทธิพลของ นำ ต่อสมบัติของพอลิเมอร์หลายชนิด โดยที่นำอาจทำให้พอลิเมอร์บางชนิดอ่อนตัวลงได้
- แรงวันเดอร์瓦ลล์ (Van der Waals forces) มีความเกี่ยวข้องกับความ แข็งแรงของเนื้อการ และความแข็งแรงของการยึดติด ระหว่างการกับวัสดุ

การเลือกการสำหรับการใช้งาน โดยเฉพาะทางด้านบรรจุภัณฑ์ ต้อง มีการ พิจารณา เพื่อให้เกิดประ โยชน์มากที่สุด โดยส่วนแรก คือลักษณะทางเคมีขององค์ประกอบ ของ การ ที่มีหน้าที่ เป็นตัวชี้ื่อมประสาน ซึ่งถือว่าเป็นสิ่งที่สำคัญและบ่งบอกคุณสมบัติของการอย่างกว้างๆ ส่วน ที่สอง คือ พิจารณาจากการฟอร์มกิດเป็นพันธะของ การ โดยเกิดจากการสูญเสียน้ำหรือตัวทำละลาย การ สูญเสียด้วยความร้อน หรือ การทำปฏิกิริยา ทางเคมี เป็นผลจากการกระบวนการใน ขั้นตอนที่ การ ถูก นำไปใช้งาน (Lazarus, 2000)

Mechanism of bond formation

กลไกการเกิดพันธะของ การ ที่ใช้ในบรรจุภัณฑ์ โดย การ ส่วนมากที่ นำไปใช้เป็น ของเหลวเพื่อให้เกิดการการยึดเกาะ (Adhesion) หนึ่งหรือทั้งสอง บน พื้นผิว วัสดุ จาก นั้น จะเปลี่ยน สถานะเป็นของแข็งหลังจากสองพื้นผิว ได้มารวมกันเพื่อให้เกิด cohesive strength กระบวนการ ที่ทำ ให้กับการเปลี่ยนสถานะของแข็งถือว่าเป็นลิ่งที่สำคัญอย่างยิ่ง (Lazarus, 2000) วิธีการเกิดฟอร์มรูป เป็นพันธะของ การ มีด้วยกัน สามวิธี คือ

1. Loss of carrier เป็นพันธะที่เกิดขึ้นเฉพาะเมื่อมีการกำจัด carrier

เนื่องจากการดูดซึม (Absorption) หรือจากการระเหยด้วยความร้อน (Evaporation) ที่พื้นผิว วัสดุ นำ ถือว่าเป็นตัวทำละลาย แต่การที่จะกำจัดนำออกจะเป็นต้องใช้พลังงานอย่างมาก ส่วนมาก ใช้กับ บรรจุ กภัณฑ์ที่มีพื้นผิวน้ำหรือทั้งสองพื้นผิวเป็นกระดาษเพรำกระดาษมีรูพรุนและเปียกน้ำได้ ง่าย การที่ ใช้ในงานบรรจุภัณฑ์ส่วนใหญ่จึงเป็นชนิด water-based แต่ในกรณีที่ไม่สามารถผ่านเข้าไป ใน พื้นผิว ทั้งสองเพื่อเกิดเป็นพันธะ เช่น การ laminate ฟิล์ม พลาสติก การที่ใช้ต้อง เป็นพาก solvent-based

2. Loss of heat เป็นการประยุกต์ใช้การเหลว (Molten adhesive) เพื่อให้การ เปลี่ยนสถานะเป็นของแข็ง โดยใช้ความเย็น (Cooling) มีข้อได้เปรียบที่สำคัญ อย่างแรกคือ มีการ รยึด ติดที่ดีเมื่อใช้กับบรรจุภัณฑ์ที่มีพื้นผิวเป็นรูพรุนและที่ไม่สามารถผ่านเข้าไปที่พื้นผิวได้ และอย่างที่ สอง คือ การเช็ตตัวของ การ มีความเร็วมากและใช้น้ำหนักในการเคลือบ พิ้นผิว กับ วัสดุ ต่ำ แต่มีข้อ เสียเปรียบคือ การเหลว (Molten adhesive) ไม่สามารถใช้งานในพื้นผิวที่ไวด์ความร้อน ดี การจะ

เกิดการเลี่ยสสภาพหลอมกลับมาเป็นของเหลวอีก (Remelt) จึงไม่สามารถที่จะฟอร์มพันธะการที่ไวต่อความร้อนได้

3. Chemical reaction ของเหลวที่เป็นวัตถุดิบในการเตรียมภาชนะนำไปใช้และทำให้เกิดปฏิกิริยาทางเคมีเพื่อเปลี่ยนสถานะของภาวะเป็นของแข็ง เทคนิคนี้ นิยมใช้สำหรับการทำมีโครงสร้างพันธะแข็งแรงสูงมาก ภาชนะนี้ไม่เหมาะสมกับการใช้งานในบรรจุภัณฑ์ที่มีหลายพื้นผิวทึ่งที่มีความอ่อนตัวและความแข็งแรง แต่ยกเว้นคือพันธะการที่เกิดจากการลามिनेट (มีประสิทธิภาพการยึดหยุ่นสูง)

Method of bonding (Lazarus, 2000)

วิธีการ เกิดพันธะของการ สามารถ แบ่งเป็น ขั้นตอนที่สำคัญได้ 2 แบบ คือ กระบวนการเกิดพันธะการหนึ่งขั้นตอน (One-stage) และกระบวนการ เกิดพันธะการ ส่องขั้นตอน (Two-stage)

1. One-stage การเกิดพันธะการในขณะที่ยังเปียก (Wet bonding) กาวและพื้นผิวสัมผัสนำมาใช้งานในขณะที่กาวยังอยู่ในสภาพเป็นของเหลว เช่น กาว hot melt
2. Two-stage กาวถูกนำไปใช้งานกับพื้นผิวหนึ่งและทำให้การเปลี่ยนสถานะเป็นของแข็ง โดยการทำให้เย็น (Cooling) หรือจากการ นำจัด carrier ออกจากกาว เป็นกระบวนการเกิดพันธะการส่องขั้นตอน ที่พื้นผิวสัมผัสด้วยการยึดเกาะ โดยนำมาประบูดติดกันและให้ความร้อนเพื่อหลอมละลายกาวและเกิดการเปียก ทำให้เกิด แรง การยึดเกาะที่พื้นผิวสัมผัสด้วย กาว พันธะ ของ การเกิดภายในหลังเมื่อยืนตัวลง หรือที่เรียกว่าการเกิดพันธะการแบบ heat-seal นอกจากการเกิดพันธะการแบบ heat-seal แล้วยังมีกระบวนการการเกิดพันธะการส่องขั้นตอนอีก 2 แบบ คือ

- Contact bonding (การเกิดพันธะการภายในหลังจากการกดสัมผัส) โดยการที่ใช้งานแบบนี้ เกิดภายในหลังที่พื้นผิวและกาวเกิดการยึดเกาะกันภายใต้สภาวะแรงกดจากนั้นก็ทำการนำจัด carrier ออกจากกาว พื้นผิวของกาวเกิดการเคลื่อนที่และฟอร์มเป็นพันธะการขึ้น
- Pressure-sensitive bonding (การเกิดพันธะการที่ว่องไวต่อแรงกด) ถือเป็นข้อยกเว้นของการที่ฟอร์มพันธะจากการเปลี่ยนสถานะเป็นของแข็ง กาวที่ว่องไวต่อแรงกด มีสภาพเป็นของเหลวมีความหนืดสูงมาก และมีคุณสมบัติการติด (Tack) อยู่ตลอด มักนำไปใช้กับพื้นผิวที่ยืนตัวลงแล้วหรือนำจัดออก carrier เพื่อให้กาวมีความหนืดสูงขึ้น ไม่สามารถเคลื่อนที่ได้ พื้นผิวสัมผัสด้วยการยึดเกาะ เกิดการสัมผัสโดยที่กาวยังคงความสามารถในการเปียก ที่พิวัสดุ และ ฟอร์มเกิดเป็นพันธะการขึ้น พันธะการที่เกิดขึ้นนี้จะมี cohesive strength ต่ำกว่าภาชนะนิดเด่น

Failure of adhesion

การเสียหายของการยึดติด โดยความแข็งแรงของวัสดุโดยการจะมีมากหรือน้อยขึ้นอยู่กับ ความแข็งแรงบริเวณที่มีแรงยึดติดต่ำสุด ซึ่งมักพบในบริเวณต่างๆ เช่น ภายในชั้นกาว เนื้อวัสดุ และบริเวณผิวสัมผัสระหว่างการกับวัสดุ

การยึดติดของการที่มีแรงยึดเหนี่ยวเกิดจากการเกี่ยวติดกันระหว่างโมเลกุลของ การกับวัสดุจากการที่กาวไหลเข้าไปแทนที่อากาศในช่องว่างบนพื้นผิวของวัสดุ หรือการแพร่ผ่านไปในพื้นผิวของวัสดุโดยปัจจุบันทั่วไปที่ทำให้เกิดการเสียหายภายหลังการทดสอบ นั้นอาจเกี่ยวข้อง การรับแรงหรือโหลดที่มากเกินไปและสภาวะแวดล้อมต่าง ๆ เช่น แรงโดยบริเวณรอบๆ ของวัสดุ แรงไอนามิกซ์จากเครื่องจักร และรวมถึงการเปลี่ยนแปลงของสภาวะอากาศ ฯ ชั่น อุณหภูมิและ ความชื้นสัมพัทธ์ การเก็บรักษาเป็นต้น โดยทั่วไปการเสียหายของ กาว ภายหลังการทดสอบการยึดติดมี 3 ประเภท คือ adhesive failure (เป็นการเสียหายของ กาว ไม่ยึดติดกับผิววัสดุ) cohesive failure (เป็นการเสียหายจากตัววัสดุ) และ adhesive-cohesive failure (เป็นการเสียหายระหว่างการกับผิววัสดุบางส่วน) (Christer, 2007) นอกจากนี้ยังพบ การเสียหายแบบ fiber tear ที่เป็นลักษณะ การฉีกขาดที่ลอกผิวนื้อวัสดุออกมา ซึ่งเป็นลักษณะความเสียหายเฉพาะที่มักพบกับการใช้กาวเป็นกับกระดาษ

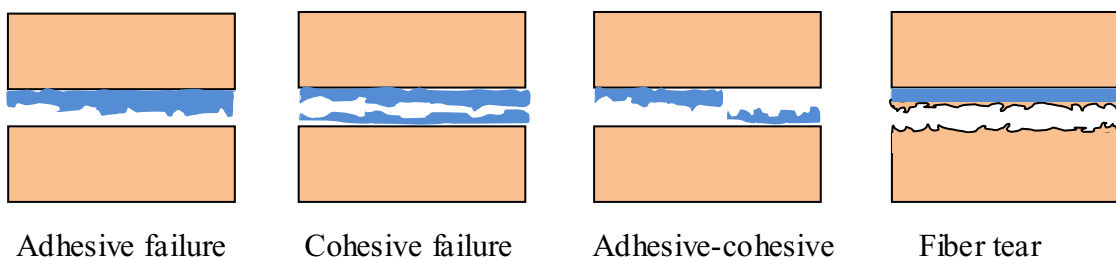


Figure 11. Failure of adhesion and fiber tear.

Christer (2007) ได้ศึกษาพฤติกรรมการแตกแยก (การเสียหาย) ของรอยต่อการของ carton board ที่มีการ seal และปิดผนึกด้วยกาว ซึ่งความต้องการบรรจุภัณฑ์มีความแตกต่างกันตามการใช้งานของบรรจุภัณฑ์นั้น และ ต้องมีส่วนช่วยในการปกป้องผลิตภัณฑ์ขณะที่มีการเคลื่อนย้าย เป็นที่ดึงดูดสนใจของผู้บริโภคและมีความสะดวกในการใช้งาน โดยทำ การศึกษาเพื่อหาวิธีที่ป้องกันลักษณะของรอยต่อการ เช่น ความแข็งแรง และ ลักษณะของรอยต่อการ โดยใช้วิธี

Y-peel เป็นการทดสอบทางกายภาพของการเพื่อพิจารณาและปรับ ปรุงรวมถึงการทดสอบการใช้งานภายในห้องปฏิบัติการ ในการตรวจสอบลักษณะการเสียหาย ของบริเวณรอยต่อการ ได้จากการวิเคราะห์ความสัมพันธ์ของ force – elongation curve ที่อธิบายถึงกลไก การเสียหาย ที่รอยต่อ ของ กาว จากการศึกษาพบว่าวิธีการทดสอบ Y-peel เป็นเครื่องมือตรวจสอบ ที่มีความสำคัญ เพื่อให้ ระยะเวลา การปิดผนึกของการเป็นไปตามทฤษฎี รวมถึง เพื่อใช้เป็นตัว กำหนดปริมาณรอยต่อ ของ กาว และ กำหนดเป็นตัวแปรที่เหมาะสม เพื่อใช้เป็นแนวทาง ในการ กำหนด ระยะเวลาของ กระบวนการปิดผนึกของการ นอกจากนี้ยังช่วยให้มีการพัฒนาการให้มีประสิทธิภาพมากขึ้น

วิธีการทดสอบกาว (Testing of adhesives)

ในบรรจุภัณฑ์ส่วนใหญ่ต้องการให้กาวทำหน้าที่ในบรรจุภัณฑ์ให้สำเร็จและอยู่ได้เป็นระยะเวลานานจนไปถึงผู้บริโภคที่จุดสุดท้าย สิ่งที่ต้องคำนึงถึง เช่น ความถี่ในการใช้งาน ความเสียหายของการและราคาที่ไม่สูงมาก การทดสอบและการ ควบคุมคุณภาพของ กาว ในระหว่างการผลิตและการใช้งานมีความสำคัญอย่างมาก ซึ่งวิธีการทดสอบกาวมี 3 วิธี คือ quality control method performance testing และ adhesive bond testing (Franking et al, 2000)

Quality control method

1. Viscosity (ความหนืด) กาวที่ใช้งานทั่วไปจะมีสถานะเป็นของเหลว โดยที่ของเหลวเปลี่ยนสถานะจนเป็นของแข็งเกิดเป็นฟิล์มและเกิดการเซ็ตตัวเพื่อยืดติด ลักษณะที่สำคัญของการเหลว คือ ความหนืด ดังนั้นการวัดความหนืดจึงเป็นตัวที่สามารถใช้ในการควบคุมการ ความหนืดของการแสดงลักษณะพฤติกรรมการ ให้กาวสามารถมีความสัมพันธ์กับแรงเฉือน

2. Total solid content กาวที่ใช้งานใช้ในรูปของสารละลายหรือ ดีสเพรย์ชัน ในรูปแบบกระจายตัวในของเหลว มีน้ำและตัวทำละลายอินทรีย์ เมื่อนำมาทำให้แห้งโดยผ่านความร้อน เพื่อฟอร์มเกิดเป็นพันธะการ ส่วนที่กำจัดออกนอกจากน้ำแล้วยังมีปริมาณ ของแข็งที่มีผลต่อพันธะ กาว อย่างที่ทราบกันของแข็ง เป็นตัวพากของเหลว และบ่งบอกถึงประสิทธิภาพการฟอร์มพันธะ ความหนืดของการ เช่น ปริมาณของแข็งต่ำของเหลวจะสามารถ รักษาอยู่ตัวได้มาก รวมถึงต้องใช้ระยะเวลาการแห้งตัวที่มากขึ้นด้วย

3. pH คือการวัดความเป็นกรด-ด่างของกาว

นอกจากการวัดความหนืด ปริมาณของแข็ง และ pH ของการแล้ววิธี การวัดค่า specific gravity, softening point และ grit analysis ของการ ก็สามารถใช้ตรวจสอบคุณภาพของ กาว ได้ด้วย

Performance testing

1. Open time กือ ระยะเวลาที่การเปลี่ยนสถานะจากของเหลวเป็นของแข็ง open time สามารถแสดงผลของอุณหภูมิการใช้งาน ปริมาณของการที่ใช้อุณหภูมิของวัสดุและ สภาวะแวดล้อม เช่น การใช้ลมเย็นเพื่อให้กาวเย็นตัว ตัวอย่างการที่มี open time ต่ำมาก กือ กาว hot melt ที่มี open time ประมาณ 1-2 วินาที การเกิดพันธะกาวหลังจากการใช้งานประมาณ 4-5 วินาที

2. Thermal stability การที่ผสานสารอินทรีย์เป็นส่วนประกอบ มักจะมีการเสีย สภาพได้ง่าย เมื่อ อยู่ในที่มีอุณหภูมิสูง เป็นอีกหนึ่ง ชนิด ของ การ ทั่วไป ที่ต้องใช้งานใน สภาพ ของเหลวใน สภาวะ ที่อุณหภูมิสูง กือ กาว hot melt การทดสอบ thermal stability ของการเพื่อ ประเมิน สภาวะ อุณหภูมิที่เหมาะสมที่จะนำกาวไปใช้งาน

Adhesive bond testing

โดยลักษณะ การที่ต้องมีการต้านทานการแยกอันเนื่องมาจากแรงกระทำใน ลักษณะต่างๆ ตามสภาพที่ใช้งาน ดังนั้น จึงจำเป็นต้องมีการทดสอบความแข็งแรงของการยึดติด โดย ใช้แรงดึงต่างๆ เพื่อเป็นการทดสอบคุณภาพของกาว (Franking et al, 2000 และ ธนาวดี, 2546)

1. Tensile strength กือการดึงในแนวตั้งจากกับการยึดติด โดยใช้แรงดึงให้ กระเจียบหัวพื้นที่ที่เกิดการยึดติดทั้งหมด

2. Shear strength กือการดึงในระนาบที่ขานกับการยึดติด โดยใช้แรงดึงไปให้ หัวพื้นผิวที่เกิดการยึดติดทั้งหมด ความต้านทานการเฉือน (Shear strength) ของ พิล์ม กาว หมายถึง ความสามารถในการทนต่อแรงแบบคงที่ใช้ในระนาบเดียวกัน กับพื้นผิวที่ มีการเคลือบ กาว ถือว่า มี ความสามารถต่อคุณสมบัติของกาวที่ว่องไวต่อแรงกด สามารถวัดได้ โดยยึดที่ ปลายด้านหนึ่งของแผ่น ของพื้นผิวที่เคลือบ กระดาษหรือพิล์มพลาสติก ใส่จานแก้วตั้งไว้ที่มุม 2° ในแนวตั้ง ลาก ฟอร์ม เป็น รูปสี่เหลี่ยมน้ำด 25 มม. จะมีน้ำหนัก เข้ามาร่วมด้วยจนสุดท้ายและเป็นอิสระ โดย เป็นค่า เคลื่อนที่ หมายความและระยะเวลาที่กระทำให้เกิดการเสียหายของพันธะกาว

3. Peel strength กือการดึงลอก เมื่อมีวัสดุอย่างน้อยหนึ่งชนิดที่มีความยึดหยุ่น สูง ซึ่งนิยมทดสอบกับการประเภท ที่ไวต่อแรงกดหรือเทป กาว การทดสอบ peel strength เป็น วิธีการทดสอบเพื่อประเมินความแข็งแรงของความต้านทานการลอกออกของพันธะที่มีความว่องไว ต่อแรงกด ส่วนใหญ่ เกี่ยวข้องกับการลอกออกของสารที่เคลือบ ความยึดหยุ่นของพื้นผิว พาก กระดาษหรือพิล์มพลาสติก จากแผ่น วัสดุ ที่มีความ แข็งมาก ซึ่งปกติเป็นแก้วหรือแผ่น โลหะ โดย หมายถึงค่าเฉลี่ยที่ได้จากการทดสอบแรงดึง ตลอดจนถึง ความแข็งแรง ของลอกออก ที่ต้อง ไม่มีการ เคลื่อนที่ของกาวระหว่างสองพื้นผิวและการแยกออกต้องสะอาดและเรียบ

4. Cleavage หรือ split strength คือ แรงดึงแยก โดยให้แรงในการแยกเฉพาะบริเวณขอบของการยึดติดเท่านั้น

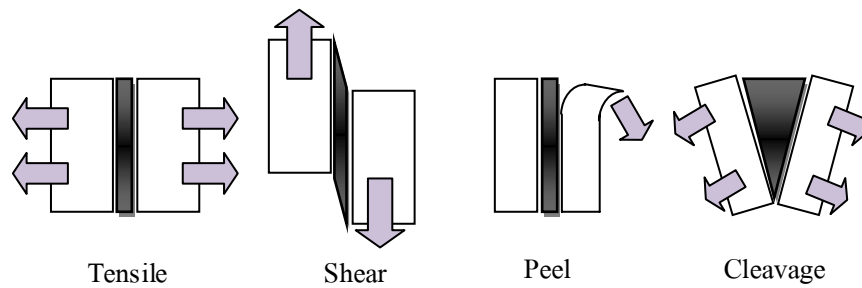


Figure 12. Forces used in adhesive bond test.

5. Tack เป็นการทดสอบแรงดึงการติดหรือการจับที่ใช้เป็นตัวกำหนดความสามารถของฟิล์มการที่ฟอร์มรูปเป็นพันธะ โดยวัดความแข็งแรงของแรงที่กัดทับเบาๆ ที่พื้นผิวถ้ากล่าวอย่างถูกต้อง คือ ไม่ใช่คุณสมบัติของพันธะการแต่ เป็นกระบวนการที่สำคัญในการฟอร์มรูปของพันธะสุดท้ายของการ หรือเรียกว่า final bond

ปัจจัยที่มีผลต่อการยึดติดระหว่างการกับวัสดุ (Factors affecting adhesion between adhesive materials)

1. การเตรียมพื้นผิววัสดุเป็นสิ่งที่จำเป็น ที่มีผลต่อความสามารถในการยึดติดระหว่างการและพื้นผิวของวัสดุเนื่องจากถ้าพื้นผิวไม่สะอาด เช่น ฝุ่นละออง คราบน้ำมัน หรือความชื้น ทำให้พันธะในการยึดเกาะระหว่างการและพื้นผิววัสดุคล่อง ทำให้การยึดติดไม่ดี วิธีง่ายๆ ที่สามารถใช้นอกสภาพผิววัสดุว่า ผิววัสดุมีสมบัติชอบน้ำมากน้อยเพียงใดคือ การสังเกตรูปทรงหยดน้ำบนผิววัสดุนั้น เช่น หากหยดน้ำมีลักษณะค่อนข้างแบน ไม่โถงนูนมาก แสดงว่าผิววัสดุมีสมบัติชอบน้ำหรือเปียกน้ำง่าย ในทางตรงข้ามหากหยดน้ำมีลักษณะเป็นเม็ดนูนเด่นชัดแสดงว่าผิววัสดุ มีสมบัติไม่ชอบน้ำมากหรือเปียกน้ำยาก

2. Wetting (การเปียก) คือ ความสามารถของ ของเหลว ในการรักษา ผิวน้ำสัมผัส กับพื้นผิว ของแข็ง ซึ่งเป็นผลจาก ปฏิกิริยาพันธะระหว่างโมเลกุล โดยระดับขั้นของ wetting (Wettability) ขึ้นกับสมดุลย์ ของ แรงระหว่าง adhesion force และ cohesion force โดยที่ adhesion force เป็นแรง ระหว่างของเหลวและของแข็ง จะทำให้ของเหลวกระจายตัวไปทั่วพื้นผิว ส่วน

cohesion force เป็นแรงภายในของเหลวเองจะทำให้ของเหลวเกาะกันเป็นทรงกลมและไม่สัมผัสถันพื้นผิวของแข็ง

การเปลี่ยนความสำคัญในการยึดติดกันของวัสดุสองชนิด แรงยกตัว (Capillary effect) ก็เป็นผลมาจากการ *wetting* และแรงพื้นผิวที่กำหนด *wetting* รูปร่างของหยดน้ำของเหลวบนพื้นผิวของแข็ง จะมีรูปร่างเป็นรูปทรงหยดน้ำค้าง

มุมสัมผัส (Contact angle) คือ มุมที่เกิดจากเส้นสัมผัสถันพื้นผิวของแข็ง ไอลูบิเรเวที่ติดกับขอบของแข็งตัดกับเส้นสัมผัสถันพื้นผิวของแข็ง ซึ่งมุมสัมผัสเป็นผลจากความสัมพันธ์ระหว่างแรงเชื่อมแน่นระหว่างโมเลกุลของของเหลวกับแรงยึดติดระหว่างโมเลกุลของของเหลวกับโมเลกุลของแข็ง

การวัดค่ามุมสัมผัส (Contact angle) ระหว่างหยดน้ำ กับผิวฟิล์ม พลาสติก ซึ่งมุมสัมผสานากหรือไม่น้านน ขึ้นอยู่กับค่าแรงตึงผิว หยดน้ำจะ มีมุมสัมผัสรึอรูปทรงเป็นหยดอย่างชัดเจน เมื่อความตึงผิวของน้ำมีค่ามากกว่าค่าแรงตึงผิวของฟิล์มพลาสติก แต่เมื่อความตึงผิวของน้ำมีค่าเท่ากันหรือต่ำกว่าค่าแรงตึงผิวของฟิล์มพลาสติก จึงทำให้น้ำที่เคลื่อนแน่นเป็นหยดน้ำก็จะเกิดเป็นฟิล์มแผ่นเรียบ

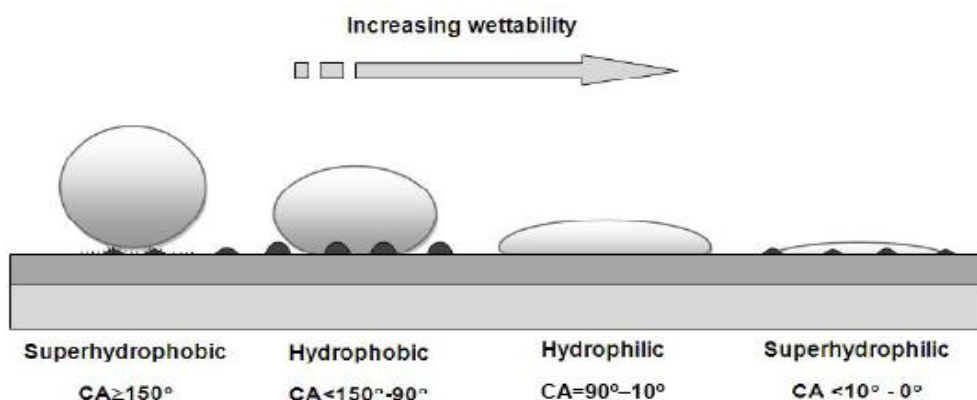


Figure 13. The four classes of surface wettability types of surface based on their interaction with aqueous droplets.

ที่มา: Koch และคณะ (2008).

Table 5. Contact angle and water wettability on surface of material.

Contact angle (θ)	Wetting ability
Close to 0°	Super-hydrophilic
10 - 30°	Highly hydrophilic
Up to 90°	Less strongly hydrophilic
>90°	Hydrophobic
As high as 150°	Highly hydrophobic
150-180°	Super-hydrophobic

ที่มา: Shafrin และ Zisman (1960).

จาก Table 5 และ Figure 13 อธิบายค่าความสามารถในการเปียกจากน้ำมุ่งสัมผัสของบนผิวน้ำของวัสดุ หาก หยดน้ำกับวัสดุมีน้ำมุ่งสัมผัสระหว่างผิวน้อยกว่า $0-10^\circ$ แสดงว่าผิววัสดุมีสมบัติชอบน้ำอย่างยิ่งขาดหรือเป็นผิว ชูเบอร์ ไฮโดรฟลิก (Super-hydrophilic) หากน้ำกับวัสดุมีน้ำมุ่งสัมผัสระหว่างผิวน้อยกว่า 90° และ แสดงว่าผิววัสดุมีสมบัติชอบน้ำหรือเป็นผิวไฮโดรฟลิก (Hydrophilic) มุ่งสัมผัสระหว่างผิวน้อยกว่า $90 - 150^\circ$ และ แสดงว่าผิววัสดุมีสมบัติไม่ชอบน้ำหรือผิว ไฮโดรฟوبิก (hydrophobic) และ หากหยดน้ำกับพื้นผิวมีค่าน้ำมุ่งสัมผัสระหว่างผิวดังแต่ $150 - 180^\circ$ แสดงว่าผิววัสดุนั้นมีสมบัติไม่ชอบน้ำอย่างขาดหรือเป็นผิวชูเบอร์ ไฮโดรฟอบิก (Super-hydrophobic) (Shafrin และ Zisman, 1960; Koch และคณะ, 2008)

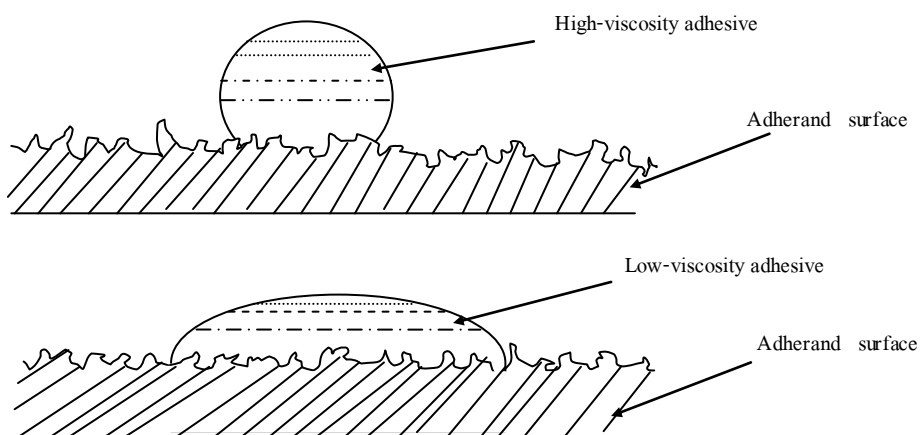


Figure 14. Wetting behavior of high-viscosity and low-viscosity adhesive.

ที่มา : Layfield (2000)

การประยุกต์การใช้งานของการนั่น ความสามารถในการเปียกที่พื้นผิวของวัสดุถือว่าเป็นอีกปัจจัยที่สำคัญ ต่อการยึดติดของการอย่างไรก็ตาม ในพื้นผิวที่เกี่ยวข้องกับการกระจายเรցของภาวะพื้นผิวของการยึดติดทำให้ไม่เกิดภัยก่อการไคลชิกกันมากขึ้น (ความสามารถการกระจายตัวของภูมิพื้นผิว) ถึงแม้ว่า การเปียก และความสามารถของวัสดุที่พื้นผิว จะมากหรือน้อยก็ตาม นอกจากนี้ ความสามารถในการให้ลักษณะของภัยมีความสำคัญ การเปียกที่สมบูรณ์หรือไคลชิกของพื้นผิวทำให้เกิดพันธะ ถือว่ามีความจำเป็นที่ขาดไม่ได้เพื่อทำให้เกิดพันธะ การที่แข็งแรงบริเวณรอยเชื่อมติดของการกับพื้นผิววัสดุ

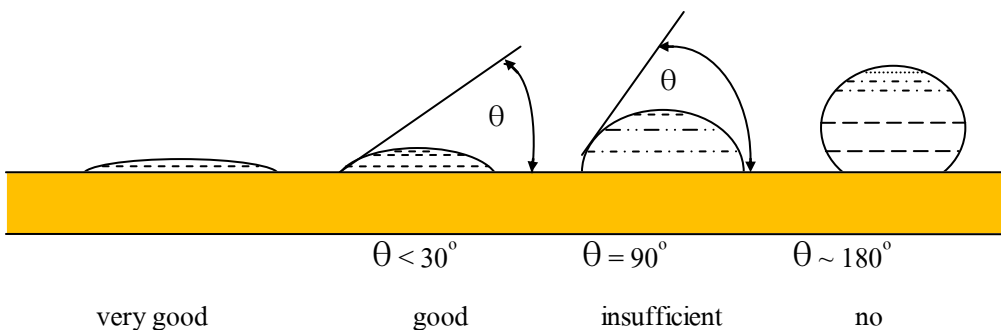


Figure 15. Wetting forms of liquids on surface.

ที่มา : Layfield (2000)

การเกิดพันธะของการขึ้นอยู่กับความสามารถในการเปียกที่พื้นผิวและความหนืดของตัวภาร หมายของเหลวที่ใช้ในการติดต่อต่างที่พื้นผิวที่แสดง Figure 15 ลักษณะที่ใช้ในการอธิบาย คือ มุมสัมผัส (Contact angle, θ) หากการสัมผัสระหว่างของเหลวภารและพื้นผิวที่ใช้ติดมีมุมสัมผัสที่มีขนาดเล็กหรือ θ ต่ำกว่า 30° ภารที่ใช้งาน มีการเปียกที่ดีมาก ถ้าตัวภาร (ภารที่ไปที่เป็นของเหลว) มีการกระจายตัวตามธรรมชาติไม่มีปัจจัยภายนอกมาเกี่ยวข้อง (การกลิ้ง การปาด การแต้ม และการเคลื่อน) และความสามารถในการรับรองของพื้นผิว ถือว่าภารมีพฤติกรรมการเปียกที่ดีมาก

3. พลังงานที่พื้นผิว (Surface energy) ถ้าของเหลว เช่น ภารสามารถเปียกบนพื้นผิวที่มีความสามารถด้านทานพื้นผิวสูงกว่าเท่านั้น ความสามารถด้านทานพื้นผิวของแข็งมีความหมายเท่ากับความสามารถตึงผิว หรือ surface tension ของของเหลว

แรงตึงผิว (Surface tension) คือคุณสมบัติของพื้นผิวของของเหลว เป็นสิ่งทำให้เกิดบางส่วนของพื้นผิวของเหลวถูกดึงดูด (ยึดเข้าไว้ด้วยกัน) สูงพื้นผิวอื่น เช่น พื้นผิวของเหลวส่วนอื่น (การรวมตัวของหยดน้ำหรือหยดปูอห ที่เกékันเป็นลูกกลม) แรงตึงผิวถูกทำให้เกิดขึ้นด้วยการ

ดึงดูด (การดึงดูดของ โนเมเลกุลกับ โนเมเลกุลที่เหมือนกัน) เมื่อ โนเมเลกุลบนพื้นผิวของของเหลวไม่ได้ล้อมรอบไปด้วย โนเมเลกุลที่เหมือนกัน ในทุกด้านแล้ว โนเมเลกุลจะมีแรงดึงดูดกับ โนเมเลกุลใกล้เคียงบนพื้นผิวมากขึ้น แรงตึงผิวมีมิติของแรงต่อความยาว หนึ่งหน่วย หรือของ พลังงาน ต่อพื้นที่ หนึ่งหน่วย ซึ่งทั้งสองมีค่าเท่ากัน แต่พลังงานต่อพื้นที่หนึ่งหน่วยอยู่ในพจน์ พลังงานพื้นผิว ซึ่งเป็นพจน์ทั่วไปในนัยที่ใช้กับของแข็ง ไม่ค่อยใช้ในของเหลว ใน วัสดุศาสตร์ แรงตึงผิวใช้ออยู่ในความค่าน้ำพื้นผิว (Surface stress) หรือ พลังงานอิสระพื้นผิว (Surface free energy)

4. โครงสร้างของวัสดุเป็นปัจจัยที่มีผลต่อการยึดติดการดังนั้นต้องเลือกใช้ การให้เหมาะสมกับโครงสร้าง วัสดุที่โครงสร้างมีรูพรุน เช่น ไม้และกระดาษจะเหมาะสมกับการที่มีความหนืดต่ำเนื่องจากทำให้การแทรกซึมได้ดี ทำให้การยึดติดระหว่างการเคลื่อนผิววัสดุดี

การใช้งานของการน้ำยา (Application of latex adhesive)

การน้ำยาเป็นการที่ผลิตจากน้ำยา โดยมีน้ำเป็นตัวกลาง (Blacklay, 1997) ซึ่งสมบัติของการน้ำยาที่ได้นั้นขึ้นอยู่กับการเลือกใช้ชนิดของพอลิเมอร์ของน้ำยา ที่ใช้ในการผลิต การสารเคมีที่เติมลงไปเพื่อปรับปรุงสมบัติของการรวมถึงส่วนประกอบอื่นๆ ในสูตรการซึ่งการน้ำยาที่ใช้กันกว้างขวางมากในอุตสาหกรรมหลายชนิด โดยการน้ำยาเป็นตัวติดประสาน เช่นใน อุตสาหกรรมกล่องนม อุตสาหกรรมกระดาษ อุตสาหกรรมเทปภาชนะ อุตสาหกรรมติดหนัง เป็นต้น นอกจากนี้ยังสามารถใช้ในการติดประสานวัสดุที่แข็ง โดยเฉพาะการใช้งานเกี่ยวกับการติดเชรามิก กับพื้น

ข้อดีของการน้ำยา

1. มีราคาและต้นทุนการผลิตที่ไม่สูง
2. ปราศจากสารติดไฟ เนื่องจากไม่มีส่วนที่เป็นตัวทำละลาย
3. ปราศจากสารละลายที่เป็นพิษ
4. มีการยึดติดที่ดี
5. มีขอบข่ายการใช้งานกว้างขวาง
6. ใช้กับวัสดุที่รูพรุนจะมีข้อดี คือ ความแข็งแรงของการติดประสานเพิ่มขึ้น อย่างรวดเร็วในช่วงต้นๆ และปัญหาเรื่องการหลุดตัวการน้ำยา

ข้อเสียเปรียบของการน้ำยา

1. ในการติดประสานกระดาษทำให้กระดาษเสียรูป บิดงอ และถ้าใช้ติดเส้น ไขจะเกิดการหลุดตัว

2. ความหนาแน่นต่อน้ำจะด้อยกว่าแบบที่ใช้ตัวทำละลาย
3. อาจเกิดการปนเปื้อนได้ง่าย
4. ความเร็วในการแห้งตัวช้าและระยะยากระยะกว่าแบบที่ใช้ตัวทำละลาย
5. การปรับปรุงความแข็งแรงทำได้น้อยกว่าแบบที่ใช้ตัวทำละลาย
6. การยึดติดกับวัสดุที่ไม่ชอบน้ำทำได้ยาก เช่น พิวท์มีไบมัน
7. กรณีที่ปรับปรุงสมบัติการด้วยการใช้เรซินที่ไม่ละลายน้ำในการผสมเรซิน กับน้ำยาจะทำได้ยากมาก (เกิดการแยกชั้น)

กลไกการยึดติดของกาวน้ำยา (Mechanism of adhesion of latex adhesive)

เทคนิคในการใช้กาวน้ำยาสำหรับติดพื้นผิวต่างๆ มี 2 วิธี คือ การใช้กาว กับพื้นผิวเปียก (Wet - bonding) หรือใช้กับพื้นผิวแห้ง (Dry - bonding) ทั้ง 2 เทคนิค ดังกล่าวใช้น้ำยาสูตรต่างกัน เทคนิคการใช้กาวเปียกจะทำการน้ำยาลงบนด้านหนึ่งของสิ่งที่ต้องการจะติด แล้ววางสิ่งที่จะให้ติดทับลงบนกาวทันทีขณะที่กาวยังเปียกอยู่ การเชื่อมต่อจะเกิดขึ้นตอนที่กาวแห้ง ส่วนเทคนิคอีกแบบหนึ่งนั้น ชั้นของการหางจะแห้งก่อนที่จะนำของที่ต้องการติดมาทับบนกาว เช่น การแห้งติดของจดหมายเป็นต้น สำหรับเทคนิคการใช้กาวติดขณะที่กำลังเปียก สามารถที่จะผสมสารตัวติมในสูตรกาวแบบนี้ได้ เพราะต้องการ การยึดติดเล็กน้อย (Little tack) และเพื่อช่วยเสริมโน้มถ่วง แต่สำหรับการแบบติดขณะแห้งต้องการสมบัติความเหนียวติดตื้นมาก ความเหนียวของยางธรรมชาติตามลำพัง ไม่เพียงพอที่จะใช้งาน โดยเทคนิคการติดแห้ง ดังนั้น จึงจำเป็นต้องเติมสารช่วยเพิ่มการยึดติด เช่น tackifier resin

กลไกการยึดติดของกาวน้ำยาเริ่มเมื่อการเปียกและแห้งเกิดเป็นฟิล์ม โดยที่ฟิล์มกาวน้ำยาจะมีคุณสมบัติในการยึดติดกันเอง หรือเรียกว่า self- adherent ที่พื้นผิววัสดุ และต้องมีแรงกดทับเข้ามาร่วมด้วยเนื่องจากน้ำยาจะมีคุณสมบัติในการยึดติดกับพิวของวัสดุต่ำโดยปกติ กดทับจะทำให้อุ่นภาคของยางสัมผัสกัน ใกล้มากขึ้นและเกิดเป็นพันธะ โมเลกุลยาง ทำให้เกิดการเกี่ยวติดกัน ระหว่างโมเลกุลของกาวกับวัสดุ ซึ่งในการเพิ่มความแข็งแรงของกาวน้ำยาทำได้โดยวิธีวิภาคในซึ่งโดยส่วนมากนิยมใช้ชัลเฟอร์ไวท์สำหรับวัสดุที่พันธะคู่ (Double bond) บนสายโมเลกุลยาง เกิดเป็นร่างแท้ (Net work) ทำให้ความแข็งแรงเพิ่มขึ้น

หลักการทั่วไปของสูตรกาวน้ำยา

1. การเลือกชนิดของพอลิเมอร์

พอลิเมอร์เป็นส่วนประกอบในการน้ำยา จะต้องสามารถทำให้เกิดฟิล์มที่

อุณหภูมิของวัสดุที่ต้องการติด ซึ่งจะต้องสูงกว่าค่า Glass transition temperature (T_g) ของพอลิเมอร์นั้น นอกจากนั้นพอลิเมอร์จะต้องสามารถเกิดพันธะที่ผิววัสดุภายในตัวได้ และขนาดของพอลิเมอร์ต้องสามารถซึมเข้าไปในรูพรุนได้ และช่องว่างวัสดุที่ติดทำให้แผ่นฟิล์มมีความแข็งแรง อีกทั้งต้องไม่มีการกีดกันที่เกิดแรงผลักทางไฟฟ้าสถิตระหว่างอนุภาคของน้ำยา และบนผิววัสดุที่เป็นประจุที่เหมือนกัน ปัญหานี้จะพบมากกับพลาสติกที่เป็นโปรตีน ซึ่งจะมีประจุลบเหมือนกับน้ำยานอกจากนี้ยังพบปัญหาที่คล้ายกับน้ำยาที่ใช้กับเส้นใยกระดาษและปรับผิวกระดาษ ถ้าผิววัสดุไม่มีรูพรุน พอลิเมอร์ที่เลือกใช้ต้องมีข้อระวังระหว่างพอลิเมอร์และผิววัสดุที่สอดคล้องกัน โดยปกติการรักษาประจุลบจะทำในตัวกลางที่เป็นค่าง การแก้ปัญหาอาจทำได้โดยทำให้ผิวของอนุภาคน้ำยาอยู่ในตัวกลางที่เป็นค่างที่มีประจุบวก

ถ้าผิวของวัสดุที่ต้องการยึดติดมีข้อที่แตกต่างกัน อาจมีการแก้ปัญหา คือ การใช้การเบลนเดิ่งกาว โดยกาวชนิดหนึ่งยึดติดกับวัสดุอีกด้านหนึ่ง และกาวอีกชนิดหนึ่งยึดติดกับวัสดุอีกด้านหนึ่ง ซึ่งวิธีนี้จะใช้งานได้ เมื่อการชนิดหนึ่งไม่ไปรบกวนหน้าที่ของกาวอีกชนิดหนึ่ง และจะต้องมีความแข็งแรงของพันธะที่ใช้ในการติดเข้าด้วยกันของวัสดุ (Cohesive strength) หากพอกันจะช่วยลดแรงตึงหักของวัสดุ

พันธะของกาวที่เกิดจากกาวประเภท latex-based ควรมีความทนทานภายใต้สภาวะการใช้งาน เช่น การใช้งานที่สัมผัสถูกความชื้น น้ำ อุณหภูมิสูง โอโซน แสงอัลตราไวโอเลต น้ำมัน และตัวทำละลายชนิดต่างๆ เนื่องจากตัวทำละลายและน้ำมันจะทำให้พันธะของกาวอ่อนแอลง เพราะจะซึมเข้าไปภายในตัวทำละลายแล้วน้ำมันจะทำให้พันธะของกาวอ่อนแอลง ซึ่งสามารถที่จะปรับปรุงทำให้พันธะของกาวสามารถต้านทานสิ่งต่างๆ ที่มีผลเหล่านี้ได้ โดยเลือกใช้ส่วนประกอบพอลิเมอร์ให้เหมาะสมกับการใช้งาน (Blacklay, 1997)

2. สารเพิ่มการยึดติด

นอกจากการเลือกใช้ชนิดของพอลิเมอร์ เพื่อให้ได้กาวน้ำยาที่เหมาะสมกับการใช้งานแล้ว ในการปรับปรุงการน้ำยาให้ได้ลักษณะตามที่ต้องการ ยังสามารถทำได้โดยการเติมสารเคมีกาว ซึ่งสารเคมีที่ใช้สำหรับการปรับปรุงกาวมีหลายชนิด ได้แก่

แทกคิไฟเลอร์ (Tackifier) ใช้ผสมในการเพื่อปรับปรุงสมบัติในด้านความเหนียว และการยึดเกาะของแผ่นฟิล์มกาวและเพิ่มระยะเวลาในการเก็บรักษาของแผ่นฟิล์มนอกจากนี้ แทกคิไฟเลอร์จะปรับปรุงให้ความสามารถของกาวสามารถเกิดพันธะเริ่มต้นให้เกิดได้เร็วขึ้น ในการยึดติดกับวัสดุ ขณะที่พันธะหลักของการจะเกิดขึ้นตามมา

สารเพิ่มการยึดติดหรือพวกแทกคิไฟเลอร์ เป็นสารที่ช่วยปรับให้กาวเหนียวติดอยู่ได้นาน (Tack life) โดยเฉพาะกรณีการใช้งานประเภทที่เมื่อทากาวกับพื้นผิว หนึ่งแล้วถอนฟิล์มของกาวที่ทากแห้งก่อน จึงนำไปคิดกับพื้นผิวอีกชิ้นหนึ่งที่ต้องการให้เขื่อมติดกัน สารที่ใช้เป็น

แทกคิไฟเออร์สำหรับใช้กับการน้ำยางปกติแล้วจะเป็นกลุ่มของเรซิน ความยากในการผสมเรซินกับน้ำยา คือ ถ้าเลือกใช้เรซินที่ไม่ละลายน้ำจะทำให้ผสมในน้ำยาได้ยาก

ตัวอย่างของแทกคิไฟเออร์ที่ใช้กับการน้ำยาได้แก่

2.1 อนุพันธ์โรซิน (Rosin derivatives) เป็นอนุพันธ์หรือสารเคมีผสมของกรด abietic acid และกรดอื่นๆ ที่เกี่ยวข้อง มักจะเกิดจากการทำปฏิกิริยา esterification ของสาร polyhydric alcohol หลังจากนั้นทำปฏิกิริยา hydrogenated dimerrized หรือ disproportionated เพื่อปรับปรุงสมบัติด้าน ageing และความเสถียรต่อความร้อน (Heat stability)

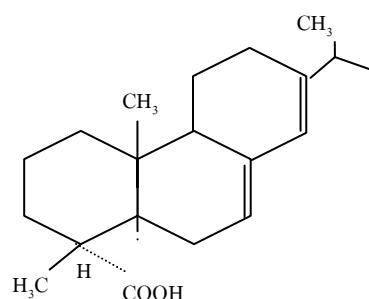


Figure 16. Molecular structure of abietic acid.

ที่มา : อาชีว์ชัน แกสมานและคณะ (2540)

2.2 เรซินชนิดคิวามารอน-อินเดน (Coumarone-indene resins) ซึ่งประกอบด้วยสารพาก indene styrene, methyl styrene, methyl indene และสารไชโอด ราคารับอนอื่นๆ โดยมีโครงสร้างของ indene และ coumarone ซึ่งสารชนิดนี้เป็นผลิตภัณฑ์จากถ่านหินที่ได้จาก coal coke oven light oils มีฤทธิ์เป็นกรดทำให้เกิดวัลภาไนซ์ย่างเกิด ได้ชา สารเคมีชนิดนี้ทำให้ย่างที่ไม่ใส่สารตัวเติมมีความทนทานต่อแรงดึงต่ำ เช่น ยางเอสบีอาร์ เป็นต้น มีความแข็งแรงมากขึ้นและเมื่อผสมสารตัวเติมชนิดไม่เสริมประสิทธิภาพ เช่น แคลเซียมคาร์บอเนต และเคลย์ เป็นต้น เมื่อผสมลงไปในยางเอสบีอาร์ และผสม คิวามารอน เรซิน ที่ปริมาณ 15-25 phr (อาชีว์ชันและคณะ , 2540) พนว่าทำให้ความทนทานต่อแรงดึงสูงขึ้น และความต้านทานต่อการหักงอคืบขึ้น โดยคาดว่าคิวามารอน เรซิน ช่วยให้สารตัวเติมกระจายตัวในยางดีขึ้น

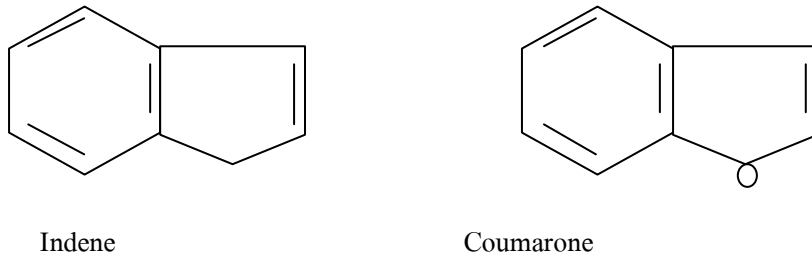


Figure 17. Molecular structure of indene and coumarone.

ที่มา : อาเซ็ชัน แกสมานและคณะ (2540)

2.3 เรซินจากปิโตรเลียมชนิดอัลฟิติก (Aliphatic petroleum resins) เตรียมจากสารไฮโดรคาร์บอนไม่อิมตัวที่ได้จาก cracking crude oil โดยเรซินที่ได้มีหัวส่วนที่เป็นอะโรมาติกน้อยลงถึงมากหรือเป็นอะลิฟิติก พากที่เป็นอะลิฟิติกจะมีไอโซพรีนปนอยู่ด้วย ส่วนเชมิอิโรมาติกจะมีไฮคลอเพนตะไดอิโนอยู่เป็นส่วนใหญ่ อัลฟิติกส่วนใหญ่ใช้เป็นสารเพิ่มการยึดติด (พรพรรณ นิธิอุทัย, 2528) ทั้งนี้ เพราะมีส่วนในอะลิฟิติกที่ไม่ละลายเข้ากับยาง ทำให้มีผลการเหนียวติดกับยาง

2.4 โอลิโกรเมอร์ชนิดเทอร์พิน (Terpene oligomers) โดยสารเพิ่มการยึดติดชนิดนี้ มีองค์ประกอบ เป็น rosin, terpene, terpene-phenolic, tall oil derivatives, pine tars, gum rosin และ wood rosin สารเคมีกลุ่มนี้สามารถเพิ่มการยึดติดได้ไม่สม่ำเสมอ สำหรับการใช้งานมักใช้ร่วมกับเรซินฟอร์มัลดีไฮด์ชนิดโวแลค เพื่อให้การยึดติดทั้งตอนเริ่มต้นและใช้ระยะเวลายาวนานใช้งานดีขึ้น (Gent, 1992) การผสมสารเพิ่มการยึดติดชนิด wood rosin ในรูปอิมัลชันลงในน้ำยางธรรมชาติเพื่อทำกาว (อรสา ภัทรไพบูลย์และเรวดี แต่งเกลียง, 2544) สามารถผสมได้ถึง 80 phr โดยที่ไม่ทำให้น้ำยางเสียสภาพ ปริมาณ wood rosin ที่เหมาะสมใช้ไม่ควรเกิน 30 phr เพื่อให้ได้สมบัติที่ดีของความต้านแรงเฉือนและความต้านแรงลอก

การใช้สารเติมแต่งพาก ได้แก่ โรซิน ซิลิกาและเนม่าดำ ในการที่มีน้ำหนักโมเลกุลต่ำ (พิชชา ลิวชิรากรณ์, 2543) มีผลทำให้สมบัติความต้านทานแรงดึงลอกเพิ่มขึ้นเล็กน้อยยกเว้น ซิลิกาเกรด AEROSIL200 ที่ทำให้ค่าความต้านทานแรงดึงลอกลดลงเพิ่มขึ้นถึง 4 เท่า ส่วนการที่มีน้ำหนักโมเลกุลสูง พบว่าสารเติมแต่งมีผลต่อสมบัติความต้านทานแรงดึงลอกเพียงเล็กน้อย และการทดสอบการใช้งานที่เก็บไว้ที่สภาพต่างๆพบว่าความต้านทานแรงดึงลอกเพิ่มขึ้นเล็กน้อยในช่วงสัปดาห์แรก ลักษณะความเสียหายจากการดึงลอกมีแนวโน้มเปลี่ยนแปลงจาก

cohesive failure กือการหลีกติดอยู่ที่ผิวชินทดสอนเป็น adhesive failure กือไม่มีการติดที่ผิวชินทดสอนไม่ว่าเก็บชินงานที่อุณหภูมิเท่าไรก็ตาม

2.5 เรซินฟีโนลฟอร์มัลเดไฮด์ (Pheno-formaldehyde resin) เป็นเรซินที่ใช้ในอุตสาหกรรม牙膏 โดยใช้เป็นสารเพิ่มการยึดติด สารเสริมแรงหรือเสริมคุณสมบัติ สารวัลคาไนซ์ ในกรณีที่ใช้สารเคมีกลุ่มนี้เพื่อการยึดติดจะใช้ในการประกอบชิ้นส่วนต่างๆเป็นผลิตภัณฑ์ ส่วนการใช้เพื่อเพิ่มหรือเสริมสมบัตินี้พบว่าสารเคมีชนิดนี้ให้สมบัติด้านความแข็งดึงและความแจ้ง

ในกรณีที่ใช้เป็นสารยึดติดชนิดนี้จะเป็นชนิด novalak resin ที่มีความแตกต่างกันโดยทั่วไปมีโครงสร้างเป็นเส้นตรง โดยทั่วไปมีการปรับปรุงด้วย alkyl-modified phenol-formaldehyde resins ซึ่งเป็นหมู่ออกทิล (Octyl group) หรือเทอร์เทียร์บิวทิล (t-butyl group) โดยทั่วไปเรซินชนิดนี้มีน้ำหนักโมเลกุลสูงและอุณหภูมิจุดอุ่นตัวสูงจะให้การเกาะติด (Tack) ที่ดีโดยเฉพาะภายในสภาวะที่มีความชื้นและอุณหภูมิสูง

2.6 แป้ง (Starch)

แป้งเป็นโพลิเมอร์ของกลูโคสที่มีขนาดโมเลกุลใหญ่มีสูตรทั่วไปคือ $(C_6H_{10}O_5)_n$ แป้งมีหน่วยพื้นฐานเป็น anhydroglucose unit เชื่อมต่อกันด้วยพันธะ α -glycosidic linkage ที่คาร์บอนตำแหน่งที่ 1 ของหน่วยกลูโคสกับคาร์บอนตำแหน่งที่ 4 ของหน่วยกลูโคสที่อยู่ถัดไปด้านปลายของโมเลกุลแป้งจะมี anomeric carbon (C1) ซึ่งว่างอยู่ไม่ได้จับกับโมเลกุลอื่นๆ ดังนั้นแต่ละโมเลกุลของแป้งจะมีด้านปลายที่มีคุณสมบัติวิวัช (Reducing end) นั่นคือ แป้งหนึ่งโมเลกุลจะมีตำแหน่ง reducing end 1 ตำแหน่ง โมเลกุลแป้งแบ่งออกเป็น 2 ชนิดหลักๆ ตามขนาดโมเลกุลและลักษณะการจัดเรียงตัวคือ อะไมโลส ซึ่ง มีขนาดเล็กและมีกิ่งก้านสาขาเพียงเล็กน้อย และอะไมโลเพคตินซึ่ง มีขนาดใหญ่และ มีกิ่งก้านสาขา many นอกจากนี้ยังพบโมเลกุลแป้งอีกชนิดหนึ่ง ซึ่ง มีขนาดใหญ่ กว่าอะไมโลสแต่เล็กกว่าอะไมโลเพคติน เรียกว่า “Intermediate material” แต่พบในปริมาณไม่มากนัก

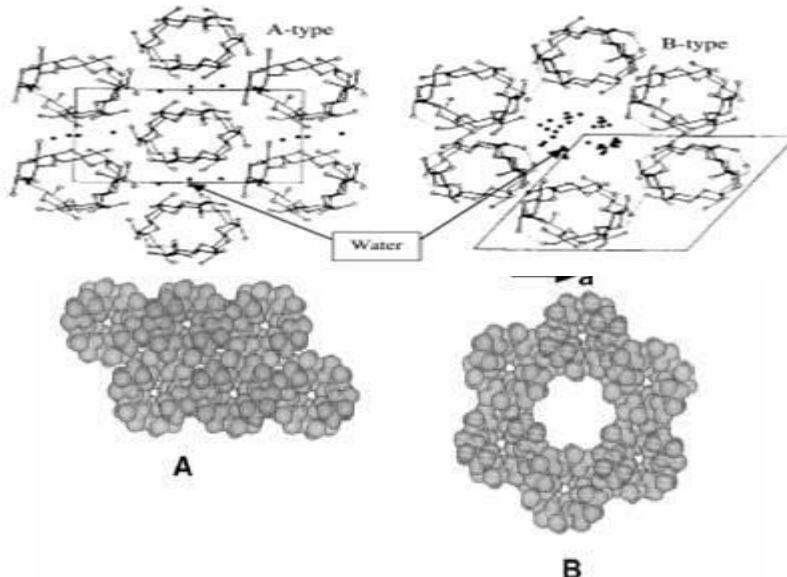


Figure 18. A- and B-type polymorphs of amylose.

ที่มา : Wu และ Sarko (1978) และ Tester และคณะ (2004)

เม็ดแป้งมีลักษณะ โครงสร้างผลึก 3 แบบขึ้นอยู่กับลักษณะในการจัดเรียงตัวของ เกลือiyawคู่ ถ้ามีการเรียงตัวหนาแน่นมากและมีปริมาณน้ำต่ำจะจัดเป็นผลึกแบบ A (แป้งจากข้าวพืช ต่างๆ) ถ้ามีการเรียงตัวกันหลวমๆ และมีปริมาณน้ำสูงจะจัดเป็นผลึกแบบ B (แป้งจากพืชหัว) ถ้ามี การเรียงตัวทึบแบบ A (Wheat, glutinous และ rice) และ B (Potato) รวมกันจัดเป็นผลึกแบบ C (Tapioca)

อะไไมโลส (Amylose) อะไไมโลสเป็นโพลิเมอร์เชิงเส้นที่ประกอบด้วยกลูโคส ประมาณ 1,000 – 6,000 หน่วย เชื่อมต่อกันด้วยพันธะ α -1, 4 – glycosidic linkage อาจพบ กิ่งก้านสาขาใน โนเมเลกูลของอะไไมโลสได้บ้างในปริมาณเล็กน้อย (Hizukuri, 1985)

โดยทั่วไปแป้งจากข้าวพืช เช่น แป้งข้าวโพด แป้งสาลี แป้งข้าวฟ่าง มีปริมาณ อะไไมโลสสูง ประมาณ 22-30% ส่วนแป้งจาก-root และหัว เช่น แป้งมันสำปะหลัง แป้งมันฝรั่ง แป้ง สาคูจะมีปริมาณ อะไไมโลสต่ำกว่าคืออยู่ในช่วง 18-24% น้ำหนักโนเมเลกูลอะไไมโลสอยู่ในช่วง 105 ถึง 106 คาดเดา DP ของอะไไมโลสในแป้งแต่ละชนิดจะมีน้ำหนักโนเมเลกูลที่แตกต่างกัน ไปเนื่องจากแป้งแต่ ละชนิดมี degree of polymerization (DP) ของอะไไมโลสแตกต่างกัน แป้งมันฝรั่งและแป้งมัน สำปะหลังมี DP ของ อะไไมโลส อยู่ในช่วง 1,000 ถึง 6,000 สูงกว่าแป้งข้าวโพดและแป้งสาลีซึ่งมี DP ของอะไไมโลสในช่วง 200 ถึง 1,200 แป้งที่มีสายของอะไไมโลส ยาวมากจะมีแนวโน้มในการเกิด รีโทรเกรเดชัน (Retrogradation) ลดลง (Hizukuri, 1988)

Table 6. Amount of amylose in different starches.

Starch	Crystallinity	Gel point	Amount of amylose
	(%)	(°C)	(%)
Wheat	36	63.5	23
Glutinous	37	64.5	-
Rice	38	70.0	17
Corn	40	71.3	27
Potato	38	67.3	22
Tapioca	38	66.0	18

ที่มา : Oates (1996)

อะ ไไม โลเพคติน (Amylopectin) อะ ไไม โลเพคติน เป็น โพลิเมอร์ เชิง กิ่ง ของ กลูโคส ส่วน ที่ เป็น เส้น ตรง ของ กลูโคส เชื่อม ต่อ กัน ด้วย พัน ะ α -1, 4- glycosidic linkage และ ส่วน ที่ เป็น กิ่ง สาขา ที่ เป็น โพลิเมอร์ กลูโคส สาย สั้น มี DP อยู่ ใน ช่วง 10 ถึง 60 หน่วย เชื่อม ต่อ กัน ด้วย พัน ะ α -1, 6- glycosidic linkage หน่วย กลูโคส ที่ มี พัน ะ α -1, 6 glycosidic linkage มี อยู่ ประมาณ 5% ของ ปริมาณ หน่วย กลูโคส ใน อะ ไไม โลเพคติน ทั้งหมด อะ ไไม โลเพคติน มี นำ หนัก โภค ุ ล ประ มาณ 1,000 เท่า ของ อะ ไไม โลส กี อ ประ มาณ 107 ถึง 109 คาด ตัน และ มี การ คี น ตัว ต่ำ เนื่อง จาก อะ ไไม โลเพคติ น มี ลักษณะ โครงสร้าง เป็น กิ่ง อะ ไไม โลเพคติน ทำ หน้า ที่ เป็น โครงสร้าง หลัก ของ เม็ด แป้ง ดัง นั้น เมื่อ มี อะ ไไม โลเพคติน เพียง อย่าง เดียว จึง ยัง สามารถ รวม ตัว ปืน เม็ด แป้ง ได

นอกจากนี้ความแตกต่างของอะไมโลเพคติน และ อะไมโลส คือความสามารถในการละลายอะไมโลเพคตินจะละลายในตัวทำละลายได้ดีกว่า ส่วนความแข็งแรงภายหลังเกิดเป็นฟิล์มของอะไมโลสเมื่อเกิดเป็นฟิล์มจะมีความแข็งแรงสูง

ลักษณะจำเพาะที่สำคัญของแป้ง ได้แก่ การเกิดเจล (Gelatinization) โดยทั่วไปแป้งไม่ละลายในน้ำที่มีอุณหภูมิต่ำกว่าอุณหภูมิที่เกิดเจลของแป้ง (Gelatinization temperature) สาเหตุที่ทำให้แป้งไม่ละลายในน้ำเย็น เนื่องจากพันธะไฮโดรเจนจำนวนมากที่อยู่ภายในกรานูล การเปลี่ยนแปลงของกรานูลในน้ำเมื่อให้ความร้อนกรานูลจะเริ่มนิ่มลงอย่างไม่ผันกลับ เกิดขึ้นในส่วนของอสัญจារและบวมขึ้นเรื่อยๆ จนทำลายพันธะไฮโดรเจน และโมเลกุลของน้ำแทรกตัวเข้าไปได้ และเมื่ออุณหภูมิสูงขึ้นทำให้โครงสร้างที่จะเรียงตัวเป็นระเบียบถูกอบกวน ทำให้กรานูลเกิดการสูญเสียโพลาไอลเซชันและความเป็นผลึกลดลง และเกิดข่าวการจัดเรียงตัวของอะไมโลเพค ตินคลา ยตัวออกจากกระบวนการละลายจึงเกิดได้ดีและแป้งจะเหนียวขึ้น

Gel point (Gelatinization temperature) หรือ อุณหภูมิ ที่เม็ดแป้งดูดซับน้ำและฟอร์เมกิดเป็นเจล โดยทั่วไป gel point ของแป้งอยู่ในช่วง $160-170^{\circ}\text{F}$ ($71.1 - 76.7^{\circ}\text{C}$) ในกระบวนการเตรียมอาหาร กระดาษ ลูกฟูก สามารถลด gel point ให้ต่ำลงได้โดยใช้โซดาไฟ (Caustic soda) สามารถช่วยลดเวลาในการเกิดเจลของแป้งได้ซึ่งช่วงอุณหภูมิ ในการเจล化ในเชื้อน ของการอยู่ในช่วง $140 - 147^{\circ}\text{F}$ ($60 - 63.9^{\circ}\text{C}$) นอกจากนี้ อุณหภูมิ ในการเจล化ในเชื้อน ของการยังขึ้นกับชนิดของแป้งรวมถึงปริมาณอะไรมอลส เช่น conventional corn มี gel point อยู่ในช่วง $143-158^{\circ}\text{F}$ ($61.7 - 70^{\circ}\text{C}$) และ high amylose corn มี gel point อยู่ในช่วง $153-176^{\circ}\text{F}$ ($67.2 - 80^{\circ}\text{C}$) แม้แต่ในแป้งชนิดเดียวกันจากแหล่งเดียวกันก็ตาม อาจมีช่วงอุณหภูมิในการเกิดเจล化ในเชื้อนที่ต่างกันถึง $8-10^{\circ}\text{C}$ (Morrison และ Laignelet, 1983) โดยทั่วไปเม็ดแป้งขนาดใหญ่ จะเกิดเจล化ในช้ากว่าเม็ดแป้งขนาดเล็ก

ความหนืด (Viscosity) เป็นคุณสมบัติที่สำคัญและเป็นประโยชน์มากที่สุดของแป้ง เมื่อให้ความร้อนกับน้ำแป้งทำให้เม็ดแป้งเกิดการพองตัวและมีความหนืดมากขึ้น พฤติกรรมความหนืดเป็นคุณสมบัติเฉพาะตัวและแตกต่างกันไปตามชนิดและสายพันธุ์ของแป้ง เมื่อเม็ดแป้งซึ่งแขวนลอยในน้ำ ได้รับความร้อนจนถึงระดับหนึ่งจะพองตัวได้อย่างรวดเร็ว ทำให้ความหนืดเพิ่มขึ้นเรื่อยๆ อุณหภูมิที่ความหนืดเพิ่มขึ้นอย่างรวดเร็วนี้เรียกว่า pasting temperature ความหนืดจะเพิ่มขึ้นจนถึงความหนืดสูงสุด (Peak viscosity) จากนั้นอาจลดลงหรือคงที่ขึ้นกับชนิดของแป้ง การที่แป้งมีความหนืดสูงสุดเนื่องจากเมื่อเม็ดแป้งมีการพองตัวมากขึ้น และมีชันส่วนของเม็ดแป้ง และหรือไม่เลกุลของอะไรมอลสและอะไรมอลเพคตินบางส่วนที่แตกสลายออก มาอยู่ในสารละลาย เมื่อส่วนที่แตกสลายและลายของกามามากกว่าการพองตัวที่เพิ่มขึ้นความหนืดจะเริ่มลดลง ซึ่งค่าความหนืดของน้ำแป้งสูงจะเป็นผลมาจากการพองตัวของเม็ดแป้ง และการแตกหักของเม็ดแป้งร่วมกับการละลายของกามาของไมเลกุลแป้ง เมื่อลดอุณหภูมิลง ไมเลกุลอิสระที่จะจัดกระชายออกมานะ (โดยเฉพาะส่วนของอะไรมอลส) ถ้ามีขนาดไมเลกุลที่เหมาะสมก็ ไม่สัมภาระกันไปก็จะสามารถเคลื่อนที่เข้ามายังกัน และกันน้ำไว้ได้ทำให้ความหนืดสูงขึ้นอีก ความหนืดที่กลับสูงขึ้นมาอีกนี้เรียกว่า setback และปีก ภูการณ์นี้ก็คือการคืนตัวของแป้ง (Retrogradation) ปัจจัยที่มีผลต่อความหนืดได้แก่ ชนิดของแป้ง ขนาดอนุภาค สัดส่วนของอะไรมอลสต่ออะไรมอลเพคติน อุณหภูมิ shear rate ฯลฯ แต่ที่มีผลมากที่สุด ได้แก่ ชนิดของแป้ง

การเตรียมแป้งเพื่อเป็นสารเพิ่มการยึดติด

- แป้งปีก (Cooked starches) แป้งที่ใช้ในการผสมอาหารน้ำยำจะใช้ในการติดพวงกระดาษ การใช้แป้งเพื่อเป็นตัวปรับความเหนียว หรือ อาจใช้เพื่อเป็นตัวปรับลดต้นทุน หรืออาจใช้ช่วยให้ฟิล์มของความมีคุณสมบัติหักงอและมีคุณสมบัติทนต่อน้ำ

- แป้งที่ยังไม่ได้ทำให้สุก (Uncooked starches) แป้งที่ใช้ในการทำกาน้ำยำ ประเภทต้องใช้ความร้อนกระตุนดังกล่าวคือในการที่จะใช้งานกาวชนิดนี้ต้องถูกให้ความร้อน ซึ่ง แป้งที่ผสมอยู่ในลักษณะกึ่งดิบกึ่งสุกทำให้กาวหนีดขึ้น เพราะอนุภาคของแป้งจะดูดนำจากส่วนที่ เป็นเชรุ่มไปจนอนุภาคของแป้งพองบวมขึ้นและในที่สุดทำให้ กาวนี้มีความหนืดเหนียวได้อย่าง รวดเร็ว

3. พลาสติไซเซอร์ (Plasticizer)

พลาสติไซเซอร์ที่ใช้ในการผลิตกาน้ำยำ เพื่อใช้ในการปรับปรุงของการด้าน ความอ่อนตัวของฟิล์มกาว มีระดับตามที่ต้องการ ปริมาณการใช้พลาสติไซเซอร์ที่มากเกินไปจะทำ ให้เกิดการบวมขึ้นที่รอยต่อระหว่างกาวและวัสดุและซึมเข้ามาที่ส่วนของวัสดุทำให้เกิดความ อ่อนแอกองพันธะกาวที่ผิววัสดุได้ นอกจากนี้การใช้พลาสติไซเซอร์ขึ้นกับสถานะของ การใช้งาน และความสามารถรวมเป็นเนื้อดียวะระหว่างสารที่ใช้กับพอลิเมอร์

4. สารวัลคาไนซ์ (Crosslink agent)

พอลิเมอร์บางชนิดที่ใช้ในการผลิตกาน้ำยำ สามารถเกิดการวัลคาไนซ์ได้ถ้าอยู่ ในสภาพที่เหมาะสมสมต่อการเกิดการเชื่อมโยงและมีสารเคมีที่เหมาะสมสมต่อการเกิดพันธะเชื่อมโยงใน ศูตรกาว ประโยชน์ของการเชื่อมพันธะของการจะทำให้ความแข็งแรงของพันธะสูงขึ้น ลดความ ว่องไวและการเคลื่อนไหวของพันธะเมื่อมีการเปลี่ยนแปลงอุณหภูมิปรับปรุงความทนทานต่อการ บ่อมะรุ่ง และเสริมความด้านทานต่อน้ำและตัวทำละลายอินทรีย์ ซึ่งสารวัลคาไนซ์ที่ใช้ในการวัลคา ไนซ์กาวจากน้ำยำธรรมชาติ คือ มะستان ไข่จะถูกเตรียมในรูปของสารละลายในน้ำที่มีความ เจ้มขึ้นร้อยละ 50 โดยน้ำหนัก

5. สารตัวเติม (Filler)

สารตัวเติมอนินทรีย์ที่ใส่ในการน้ำยำอาจจะใช้เพียงชนิดเดียวหรือหลายชนิดก็ ได้ การเติมสารตัวเติมในการน้ำยำเพื่อประโยชน์ต่างๆ ได้แก่

- เพื่อลดต้นทุน
- เพื่อเพิ่มความแข็งแรงและลดการขยายตัวของฟิล์มกาว
- เพื่อเพิ่มปริมาณของเจ้มรวม (Total solid content) ของการ
- เพื่อเพิ่มความด้านทานต่อตัวทำละลาย โดยการลดการบวมพอง
- เพื่อปรับปรุงสมบัติการไหล
- เพื่อป้องกันการติดที่อุณหภูมิต่ำของกาวชนิด heat-sensitive แต่การเติม

สารตัวเติมในการน้ำยำมีข้อเสียคือจะทำให้ความหนึบเนียวและความแข็งแรงของพันธะลดลง

6. สารเพิ่มความหนืด (Thickeners)

สารเพิ่มความหนืด เป็นสารเพิ่มความขันหนืดของกาวน้ำยา ลักษณะ ส่วนใหญ่ที่นิยมใช้ในการเตรียมกาวน้ำยาของกลุ่มของสารอินทรีย์ที่ละลายน้ำได้ เช่น เซลลูโลสอีเทอร์ , โพลีอะครีเลท , โพลีไวนิลแอลกออลและพวกโปรตีน แต่ที่นิยมคือ ไฮดรอกซีเอทชิลเซลลูโลส และกลุ่มของโปรตีนน้ำยา เช่น เป็นต้น

7. สารเคมีอื่น (Other chemicals)

นอกจากสารที่กล่าวมาข้างต้น ยังมีสารเคมีอื่นที่ใช้เติมในการน้ำยา ได้แก่

- สารป้องกันการเสื่อมสภาพ (Antioxidant) เป็นตัวที่ทำให้การเสื่อมสภาพของพื้นกระดูกของพอลิเมอร์ชั่งลงขณะที่ถูกการบ่มเร่งเนื่องจากการใช้งาน
- สารช่วยเสริมประสิทธิภาพของผิว
- สารป้องกันการแข็งตัว เช่น กลีเซอรอล เป็นต้น
- สารป้องกันเชื้อรา
- สารป้องกันการกร่อน
- สารป้องกันการเกิดฟอง
- สารป้องกันการติดไฟ
- สี

กาวน้ำยาธรรมชาติ

Natural latex adhesives กาวน้ำยา ได้จากการนำน้ำยาธรรมชาติที่มีการเติมสารพวก stabilizer, wetting agent และส่วนประกอบอื่นๆ เมื่อการแห้ง เกิดเป็น ฟิล์มที่อุณหภูมิห้อง และตัวความสามารถปรับปรุงความแข็งแรงให้ดีขึ้น โดยใช้กระบวนการร้อนตากในชั้น การใช้งานของการน้ำยาจะเหมาะสมกับวัสดุที่มีรูพรุน เช่น กระดาษ หนังและพวกลงท่อ ชั้น กาวน้ำยาสามารถ เตรียม ได้โดยง่าย เพราะมีส่วนที่เป็นของเหลวมากและมีปริมาณของแข็งต่ำไม่เป็นอันตรายจากการใช้สารตัวทำละลาย ตัวอย่างกาวน้ำยา ได้แก่ กาวติดจดหมาย กาวติดหนัง เป็นต้น (Sadhan, 2003)

สูตรส่วนผสมสำหรับการทำกาวน้ำยา

ปกติน้ำยาธรรมชาติมีสมบัติความเหนียวติดแน่นดีมาก และอาจใช้เป็นการบางอย่าง ได้โดยไม่ต้องเติมสารใดๆ ก็ได้ แต่กาวใช้งานหลายๆ ลักษณะต้องผสมสารต่างๆ เพื่อให้มีสมบัติที่ดีและเหมาะสมกับการนำไปใช้งานนั้นๆ

การใช้กาวน้ำยางสำหรับติดวัสดุต่างๆ มี 2 วิธี คือการติด粘合劑ที่กาวยังเปียก และ การติด粘合劑ที่กาวแห้งตัว ซึ่งสำหรับการใช้กาวติด粘合劑ที่เปียก สามารถที่จะผสมสารตัวเติมในสูตร กาวได้ หรือใช้แทกคิไฟเลอร์เพื่อเพิ่มการยึดติดให้กับกาว

ตัวอย่างสูตรกาวน้ำยาง

1. การแห้งติดของจดหมาย (Self-seal envelope)

การใช้น้ำยางเพื่อเป็นการติดของจดหมาย จะใช้วิธีกดปิดของเท่านั้น การที่กาวจะ ติดแน่นต้องอาศัยสมบัติความเหนียวของฟิล์มยางธรรมชาติที่ได้ทำไว้และแห้งแล้ว ตัวอย่างสูตรกาว น้ำยางสำหรับติดของจดหมายแสดงดัง Table 7

Table 7. Self-seal envelope adhesive.

Chemicals	Parts by weight (wet)
60% Natural rubber latex	167
10% Potassium hydroxide solution	2
50% Aqueous dispersion of ZDEC	1

ที่มา: Sadhan (2003)

2. การติดเร็ว (Quick-grab adhesive)

ถักยมของกาว ต้องสามารถหาและติดได้อย่างรวดเร็วเพียงใช้มือกด ดังนั้น ต้องใช้น้ำยางที่ไม่สตีชิร การสูญเสียน้ำออกจากน้ำยาง และ การใช้แรงกดพอประมาณจะทำให้น้ำยางขับตัวและเหนียวติดได้ ตัวอย่างสูตรกาวติดเร็ว แสดงดัง Table 8

Table 8. Quick-grab adhesive.

Chemicals	Parts by weight (wet)
60% Natural rubber latex	167
Toluene	3-5
50% Aqueous dispersion of ZDEC	2

ที่มา: วารากรณ์ ชรีไชยกุล (2549)

3. การใช้งานทั่วไป (General-purpose latex adhesive)

การสำหรับใช้ในงานทั่วไปมีครึ่งกัน ในลักษณะของการติดเร็ว เพราะภาวะเลี่ยงความเสื่อมและเหนียวติดกันอย่างดี และรวดเร็ว ตัวอย่างสูตรการใช้งานทั่วไป แสดงดัง Table 9

Table 9. General-purpose latex adhesive.

Chemicals	Dry weight (phr)
60% Natural rubber latex	100
Coal-tar naphtha	10
Pale ester gum	2.6
Wood resin	0.46
Oleic acid	0.32
Anionic surfactant	0.5

ที่มา: วรรณภูมิ จรรไชยกุล (2549)

4. เทปกาว (Pressure - sensitive adhesive tapes)

Pressure sensitive adhesive หรือ เทปกาวจะต้องมีคุณสมบัติต่างๆ เช่น มีความสามารถในการติดที่แข็งแรงมากและใช้แรงต่ำในการดึงออก ได้อย่างรวดเร็ว, มีความสามารถมากพอที่จะยึดติดกับพื้นผิวสกดูได้ และมี แรงยึดติดที่มากเพียงพอเมื่อดึงออกแล้วพื้นผิวสกุลจะ ada ตัวอย่างสูตรเทปกาว แสดงดัง Table 10

Table 10. Pressure - sensitive adhesive tapes.

Chemicals	Parts by weight (wet)
Natural rubber latex	100
Ester gum (tackifier)	175
Lanolin	25
Antioxidant	1
Zinc oxide	50
Solvent (toluene, naphtha)	400

ที่มา: Sadhan (2003)

สูรชัย สันติวงศ์สกิตย์ (2543) ศึกษาการเตรียมการน้ำยาหง蓉ชาติ พนว่าการเตรียมแทกคิไฟโออร์ จาก coumarone indene resin เพื่อใช้เตรียมการน้ำยาหง蓉ชาติไม่สามารถใช้ในรูป 50% dispersion ได่น่องจากทำให้น้ำยาหง蓉เสียสภาพ ต้องเตรียมในรูปของอิมัลชันและใช้ poly vinyl alcohol เป็นสารเพิ่มความ黏稠 การใช้ KOH ในการปรับ pH ในตอนเริ่มต้นของการทำให้อาชญาการเก็บนานขึ้น เมื่อทดสอบแรงดึงกับตัวอย่าง ไม้อัดที่ซื้อมต่อ กันด้วยการพบว่า สมบัติค้าน shear strength และ cleavage peel strength เพิ่มขึ้นเมื่อเปรียบเทียบกับการลากเท็กซ์ทางการค้าพนว่าการน้ำยาหง蓉ชาติ มีสมบัติค้าน cleavage peel strength ใกล้เคียงกับการลากเท็กซ์ แต่มีสมบัติทนน้ำที่ดีกว่า

เรวดี แต่งเกลี้ยง (2544) ศึกษาการเตรียมน้ำยาหง蓉ชาติโดยใช้แทกคิไฟโออร์ ที่เตรียมอยู่ในรูปของ wood rosin พนว่าปริมาณ wood rosin ที่ใส่ลงไปในน้ำยาหง蓉แล้วไม่ทำให้เสียสภาพควรใช้ไม่เกิน 80 phr การปรับ pH ของการน้ำยาหง蓉ในช่วงเริ่มต้นจะปรับให้อยู่ในช่วง 12.5–12.6 เพื่อเพิ่มความ黏稠ให้กับการน้ำยาหง蓉มากขึ้น การที่เตรียมได้จะสามารถเก็บไว้ได้มากกว่า 4 เดือน ทดสอบแรงดึงโดยทดสอบไม้อัดกับไม้อัด โดยปริมาณ wood rosin ที่ใช้ไม่ควรเกิน 30 phr หากใช้ปริมาณสูงกว่านี้จะทำให้สมบัติค้าน shear strength ตามมาตรฐาน ASTM D2330 และ cleavage peel strength ตามมาตรฐาน ASTM D3807 ลดลง และสมบัติดังกล่าวลดลงมากขึ้นเมื่ออายุการเก็บนานขึ้น และ เมื่อเปรียบเทียบกับการที่ใช้ coumarone indene resin และ wood rosin เป็นแทกคิไฟโออร์ที่ใช้กับทางการค้า พนว่า มีสมบัติของ shear strength และ cleavage peel strength ดีกว่า และใช้เวลาที่ใช้ตัวเร็วกว่า

อรสา และคณะ (2544) ได้ทำการศึกษาการใส่แทกคิไฟโออร์ ชนิด wood resin ในรูปอิมัลชันลงไปในน้ำยาหง蓉ชาติ เมื่อเก็บการที่ใช้วุด wood resin เป็น แทกคิไฟโออร์ เป็นเวลานานมีผลทำให้ค่า pH ลดลง และค่าความหนืดเพิ่มขึ้นแต่สามารถเก็บไว้ได้นานมากกว่า 4 เดือน ทุกสูตร การสามารถวัดค่าในชุดได้ที่อุณหภูมิห้อง โดยจะใช้เวลาเพิ่มขึ้นตาม ปริมาณ wood resin ที่เพิ่มขึ้น ซึ่งอยู่ในช่วง 40–70 นาที นอกจากนั้น การที่เตรียมได้มี ความทนทานต่อน้ำเพิ่มตามปริมาณ wood resin โดยมีความทนต่อน้ำสูงมากกว่า 60 วัน

ฉัตรปกรณ์และคณะ (2548) ได้ทำการศึกษาและปรับปรุงคุณภาพของการจากน้ำยาหง蓉ชาติอิพอกไซต์เพื่อใช้ในอุตสาหกรรมฟอร์นิเจอร์ไม้ยาง พารา โดยใช้ คิวมาiron เรซิน ที่เตรียมในรูปของอิมัลชันเป็นสารเพิ่มการยึดติดในปริมาณที่ 6, 7 และ 8 phr ตามลำดับ จากผลการทดลองพบว่าความต้านทานแรงเฉือนและความต้านทานการลอกเพิ่มขึ้นเมื่อปริมาณของคิวมาiron เรซินเพิ่มขึ้น โดยที่ปริมาณ 8 phr ให้สมบัติดังกล่าวดีที่สุด นอกจากนี้ กวนน้ำยาหง蓉ที่เตรียมมีสีครีม น้ำตาล เมื่อเปรียบเทียบกับการ TOA และกาวญูเรีย-ฟอร์มัลเดไฮด์ มีสีขาวๆ นุ่ม มีสมบัติความต้านทาน

แรงเฉือนและความต้านทานการลอก ต่ำกว่าเนื่องจาก กาว TOA และกาวยูเรีย -ฟอร์มัลดีไฮด์ มีการดูดซึมและความสามารถในการซึมซับของกาวไปตามรูพรุนในเนื้อไม้ได้ดีทำให้เกิดแรงยึดเกาะระหว่างกาวกับไม้สูง

พิมานจันทร์ (2548) ได้ศึกษาผลของแทกคิวไฟเออร์ที่มีต่อการยึดติดและการลอกของกาวที่เตรียมจากน้ำยาหงษ์ธรรมชาติ พบว่าการยึดติด (Tack) และความต้านทานการลอก (Peel strength) เป็นสมบัติที่สำคัญต่อการใช้งานในการประเททไวต่อแรงกด โดยเตรียมกาวจากน้ำยาหงษ์ธรรมชาติผสมกับแทกคิวไฟเออร์ใน 5 อัตราส่วนต่างๆ กันแล้วเคลือบบนพิล์มพอลิเอสเทอร์เป็นเทปกาวเพื่อใช้ในการทดสอบ การยึดติด (Tack) และความต้านทานการลอก (Peel strength) พบว่า เมื่อมีการเติมแทกคิวไฟเออร์ในน้ำยาหงษ์ธรรมชาติจะลดการยึดเกาะกันเองในตัวอย่างน้ำยาหงษ์ธรรมชาติ สมบัติการยึดติด (Tack) และความต้านทานการลอก (Peel strength) เพิ่มขึ้นจนกระทั่งถึงปริมาณ 150 phr ในเนื้อกาวที่เตรียม การลดลงของสมบัติการยึดติดเมื่อใช้แทกคิวไฟเออร์มากกว่า 150 phr แสดงว่าเมื่อมีการเติมแทกคิวไฟเออร์ที่มากเกินทำให้เกิดการแยกเฟสของสารผสมทำให้ความยึดหยุ่นของยางลดลง การเปียกติดบนผิววัสดุดีขึ้น

อรสา และคณะ (2548) ได้ศึกษาผลของชนิดและปริมาณของแทกคิวไฟเออร์ต่อความแข็งแรงของกาวน้ำยาหงษ์ธรรมชาติที่ล่อน้ำหนักโน้มเลกูลอยู่ในช่วง 350,000-700,000 สามารถเตรียมได้โดย 40% hydroperse ปริมาณ 0.3 phr ที่อุณหภูมิ 70 °C เป็นเวลา 24 ชั่วโมง เพื่อการเตรียมกาวน้ำยาหงษ์ธรรมชาติที่ใช้แทกคิวไฟเออร์ชนิดต่างๆ (Wood resin, Coumarone resin, Structol และ Koresin) ปรับปรุงสมบัติด้านความแข็งแรงของกาว ซึ่งโดยสูตรกาวที่มีปริมาณแทกคิวไฟเออร์มาก จะเสียสภาพเร็วกว่าสูตรที่มีปริมาณน้อย สำหรับสมบัติด้าน shear strength และ peel strength ของกาวน้ำยาหงษ์ธรรมชาติที่เพิ่มตามปริมาณของแทกคิวไฟเออร์ เมื่ออายุการเก็บนานขึ้นสมบัติทั้งสองจะค่อยๆลดลงนอกจากนี้กาวน้ำยาหงษ์ธรรมชาติจะเช็ตตัวที่อุณหภูมิห้อง โดยระยะเวลาที่ใช้จะลดลงตามปริมาณของแทกคิวไฟเออร์ที่เพิ่มขึ้น

Table 11. Natural latex adhesives.

Chemical	Dry weight (phr)	Wet weight (g)
NR Latex(60%HA-type)	100	167
40% Hydroperse	0.3	0.75
50% Sulfur	2.0	4
50% ZDEC	1.0	2
20% Potassium oleate	3.0	15
10% Bentonite	3.0	30
50% ZnO	2.0	4
15% CMC	3.0	20
50% Wingstay L	1.0	2
Tackifiers	0, 10, 20, 30, 40	0, 20, 40, 60, 80

ที่มา: อรสารและຄณ (2548)

การสำหรับกระดาษลูกฟูก (Corrugating adhesives)

Corrugating adhesives คือ การที่ใช้เชื่อมยึดติดตอนลูกฟูกกับแผ่นกระดาษเรียบของกระดาษลูกฟูก เพื่อเตรียม กระดาษลูกฟูกชนิด single face, single wall และ double wall เป็นต้น (Brittain และคณ, 2000)

การที่ใช้สำหรับ กระบวนการผลิตกระดาษ และอุตสาหกรรมกระดาษลูกฟูก โดยทั่วไปเป็นการที่ได้จากการ Stein-Hall หรือ Minocar

Stein-Hall process การเตรียมการ มีสองขั้นตอน คือ ขั้นตอนแรกโดยให้ปริมาณแป้งทั้งหมด มีการกระจายตัวในน้ำ (primary liquid) ประมาณ 10 – 25% ซึ่งส่วนของแป้งทั้งหมดนี้เรียกว่า “primary starch” กวนผสมโดยให้ความร้อนและเติมสารจำพวก alkali (ด่าง) ในปริมาณที่กำหนดเพื่อให้ primary starch มีกระบวนการเกิดเจลอย่างสมบูรณ์ ในขั้นตอนนี้ความหนืดจะสูงมากมีลักษณะเป็นแป้งเปียก (Starch paste) ขั้นตอนที่สองเติมน้ำผสมให้เข้ากันเพื่อลดอุณหภูมิและความเข้มข้นของ alkali โดยเรียกแป้งในขั้นตอนนี้ว่า “secondary starch” และสุดท้ายนำ secondary starch ที่มีปริมาณประมาณ 75-90% ของแป้งทั้งหมด เติมสารประกอบอื่นๆ เช่น บอร์กซ์

Minocar เป็นกระบวนการเตรียมการที่ ตรงข้ามกับ Stein-Hall โดยเตรียมในส่วน primary starch ในระดับที่สูง ประมาณ 40 – 60% ของแป้งทั้งหมด จากนั้นค่อยๆเพิ่ม alkali จนถึง

ระดับความหนืดที่ต้องการ แต่เมื่อความหนืดเพิ่มไปถึงระดับหนึ่งทำให้เปลี่ยนเกิดการพองตัวให้หยุด เติมส่วนที่เหลือทันที

นอกจากนี้มีการพัฒนาปรับปรุงการเตรียมการ หรือที่เรียกว่า “one-bag-mix” (OBM) เป็นวิธีเตรียมโดยนำส่วนผสมแห้งมา pre-mix ให้เข้ากัน จากนั้นจึงเติมน้ำผสมลงไป

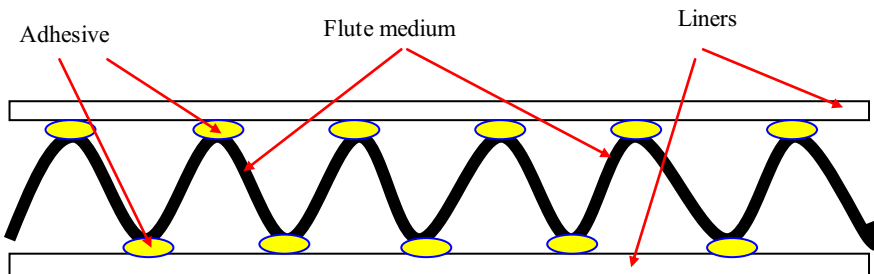


Figure 19. Structure of corrugated board.

ที่มา : Brittain และคณะ (2000)

ในอุตสาหกรรมการผลิตกระดาษลูกฟูก นิยมใช้แป้งสูกและแป้งละอ่อนดิน โดย ส่วนประกอบของความชื้นอยู่ประมาณ 70-80% แป้งสูก 4-7% และ 14-22 % เป็นแป้งดินดังแสดง Table 7 การเตรียมความมักใช้ร่วมกับความร้อนในการผลิตการ ที่เรียกว่า ระบบขบวนลอยแป้งดินด้วย แป้งสูก หรือ carrier system โดยทำให้แป้งดินไม่นอนกันและใช้โซดาไฟทำให้แป้งบางส่วนสูกและ มีความหนืดสูงขึ้นเป็นผลทำให้แป้งส่วนที่ ดินขบวนลอยอยู่ได้นาน ในการ เตรียม การแป้งถือว่า วิธีการ เตรียมไม่ยุ่งยาก มีต้นทุนที่ ประหยัด แต่อายุการเก็บ บ้าง เนื่องจากการเสื่อมเสียจาก พวก ชุลินทรีย์

แป้งที่ใช้ในการเตรียมการ จะแตกต่างตามแหล่งที่ผลิต เช่น ญี่ปุ่นนิยมใช้แป้ง จาก ข้าวสาลีและจากมันฝรั่ง เอเชียใช้แป้งข้าวเจ้าและแป้งมันสำปะหลัง สาธารณรัฐอเมริกาใช้แป้งข้าวโพดใน การผลิตการสำหรับกระดาษลูกฟูก เนื่องจากมีจำนวนมากและดีนทุนต่ำ (Brittain, 2000)

Table 12. Tapioca starch adhesive for corrugated board.

Compositions	%
Water	70-80
Caustic soda	<1
Borax	<1
Carrier starch	4-7
Raw starch	14-22

ที่มา : Brittain และคณะ (2000)

ส่วนประกอบของการกระดาษลูกฟูก (Compositions of corrugated adhesive)

ส่วนประกอบที่สำคัญของการลูกฟูก

1. น้ำ (Water) เป็นตัวพำของเหลวของการเปปงเพื่อให้เกิดการ รแทรกซึมเข้าไปในเนื้อของวัสดุ (กระดาษแผ่นเรียบและลอนลูกฟูก) ในการเตรียมการเปปงมันสำปะหลัง น้ำถือว่าเป็นส่วนที่สำคัญมากเนื่องจากหาได้ง่าย เป็นตัวทำละลายที่ดี ราคาไม่แพง และมีส่วนสำคัญในการทำให้เกิดพั นธะของวัตถุคิบ (แป้ง) น้ำเป็นตัวพำ carrier starch ในกระบวนการการทำให้แป้งสูก (Cooking) นอกจากนี้ยังช่วยทำให้เย็นและช่วยการกระจายของตัวพำ ซึ่งแป้งคิบจะไม่ดูดซับน้ำที่อุณหภูมิปกติ ในขั้นตอนการผลิตต้องมีการให้ความร้อนเพื่อให้เกิดกระบวนการสร้างพันธะ เม็ดแป้งคิบสามารถดูดซับน้ำได้มากขึ้นและเกิดการพองตัวอย่างรวดเร็ว รวมถึงเป็นตัวควบคุมความหนืดของการด้าย

2. แป้ง (Starch) เป็นสารให้ความหนืด (ขึ้นกับชนิด ปริมาณ อุณหภูมิ และความเป็นกรด ด่าง) อิกพั๊กทำหน้าที่เป็นการในการยึดติด องค์ประกอบของแป้งประกอบไปด้วย อะไโนโลส (โครงสร้างเป็นเส้นตรง) และ อะไโนโลเพคติน (โครงสร้างแบบกิ่ง) โดยแป้งที่มีอะไโนโลส สูงสามารถเกิดพันธะเริ่มต้น (Initial bond หรือ Green bond) ในอัตราที่เร็วมาก ซึ่งจะมีความสัมพันธ์กับความเร็วของเครื่องผลิตลูกฟูก (Corrugators)

การเกิดเจลของแป้ง เมื่อให้ความร้อนกับแป้งและ เม็ดแป้งจะดูดซับน้ำแล้วเกิดการพองตัว ทำให้ส่วนผสมของแป้งมีความหนืดมากขึ้นและ ใสขึ้น เม็ดแป้งเกิดการเคลื่อนที่ได้ช้าลง ทำให้เกิดความหนืด ซึ่งอุณหภูมิที่ทำให้แป้งเกิดความหนืดเรียกว่า อุณหภูมิเริ่มเจลติในเซชั่น การเกิดเจลติในเซชันมี 3 ขั้นตอน คือ ระยะที่ 1 เม็ดแป้งดูดซับน้ำได้น้อยและพองตัวน้อย (ความหนืดน้อย) ระยะที่ 2 เม็ดแป้งพองตัวอย่างรวดเร็ว (อุณหภูมิในการเจลติในเซชันความหนืดสูง) ระยะที่ 3 เมื่อ

ให้ความร้อนต่อไปเรื่อยๆ เม็ดแป้งมีโครงสร้างไม่แน่นอน และเม็ดแป้งบางส่วนถูกทำลายทำให้ความหนืดลดลง

3. โซดาไฟ (Caustic soda) เป็นสารที่ทำหน้าที่ในการควบคุมความหนืดหรือการเกิดเจลแป้ง ซึ่งการควบคุมการเกิดเจลทำให้แป้งสุกได้เร็วขึ้น อย่างไรก็ตามหากเติมโซดาไฟมากเกินไปส่งผลให้เกิดการตัดสายโซ่โมเลกุลของแป้งให้สั้นลง และมีผลต่อความหนืดของแป้งลดลง ซึ่งผลที่ตามมาทำให้ความสามารถในการยึดติดของการลดลง นอกจากนี้โซดาไฟยังช่วยในการกัดกร่อน (bite) และกระจายเนื้อภาวะจากกลไกการเปียกผิว (Wetting action) บนกระดาษ

4. บอร์แครช (Borax) เป็นอีกหนึ่งวัตถุกิจิบิที่สำคัญของการแผ่นลูกฟูก โดยที่บอร์แครชช่วยในการเกิดปฏิกิริยาให้แป้งสุก หรือละลายแป้งให้กระหายตัวรวดเร็วโดยจะใช้ในปริมาณ 0.4-0.6% ของน้ำหนักการซึ่งคุณสมบัติที่สำคัญของบอร์แครชนี้ดังนี้

- เพิ่มความหนืดของแป้งและลดการใช้ carrier starch
- การเกิดฟิล์มกาวที่ยอดalonลูกฟูก เพิ่มสมบัติ setback ทำให้ความหนืด ในการกลับมาสูงขึ้น ส่งผลให้เกิดการยึดเกาะแบบ fiber – tearing bond ที่เร็วขึ้น
- ป้องกันเม็ดแป้ง raw starch จากการใช้โซดาไฟโดยเป็น buffering agent ปรับสภาพ ในขั้นตอนการเตรียมกาว
- ช่วยทำให้การจับของผิวกาวกับ glue roll เป็นไปอย่างสม่ำเสมอ แต่ถ้าใช้ในปริมาณที่มากเกินไปจะไปเพิ่มค่า elasticity ทำให้ผิวกาวไม่ร้าบเรียบและการติดของกาวจะไม่ดี

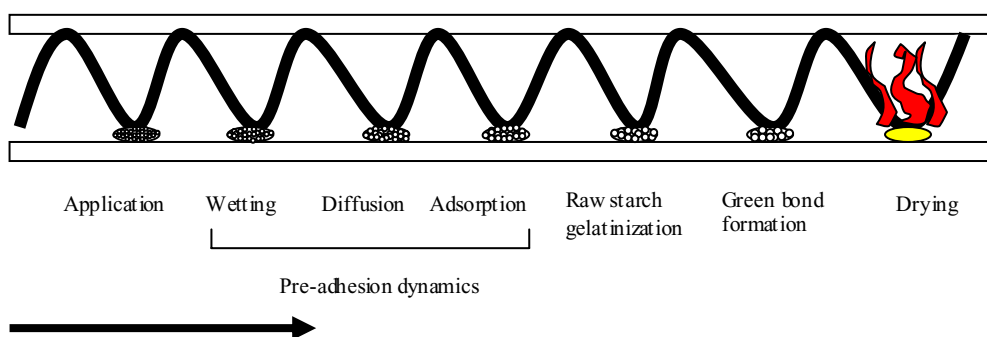


Figure 20. Bonding dynamics.

ที่มา : Brittain และคณะ (2000)

กลไกการเกิดพันธะของการแป้งจาก Figure 20 สามารถอธิบายได้ตามขั้นตอนดังนี้

1. Application คือ การเริ่มติดที่ล่อนลูกฟูกของกระดาษลูกฟูก 2 ชั้น (Single face) โดยการเคลื่อนที่มาจากลูกกลิ้งของเครื่องผลิตลูกฟูกที่มีฟิล์มการเคลือบที่ลูกกลิ้ง ซึ่งจะสัมผัสกันในพื้นที่น้อยมาก โดยการจะสัมผัสที่ยอดของล่อนลูกฟูก ในขั้นตอนนี้เป็นกลไกที่ carrier starch เปียกติดที่ล่อนและกระดาษแผ่นเรียบเพื่อเกิดเป็นพันธะ

2. Pre-adhesion dynamics เมื่อการเปียก (Wetting) ที่พื้นผิวล่อนลูกฟูก ของเหลวในการโดยเฉลี่ยน้ำและ carrier starch จะเกิดการกระจายตัว (Diffusion) และการดูดซับ (Absorption) เข้าไปในล่อนลูกฟูก ทำให้เกิดการยึดติดระหว่างแป้งและเซลลูโลสในกระดาษ

3. Raw starch gelatinization คือ แป้งดิบในการกิดเป็นเจลเพิ่มมากขึ้นส่งผลให้ความหนืดเพิ่มขึ้น เพิ่มการเชื่อมติด (Cohesion) โดยที่ผิวสัมผัสยังคงเปียกจากนั้นอัตราการกระจายตัวเข้าไปในผิวกระดาษลดลง

4. Green bond formation เมื่อกำจัดน้ำออกจาก carrier starch มากเพียงพอแล้ว ทำให้เกิดการเชื่อมติด (Cohesion) ที่สูงกว่าการเชื่อมติดของ fiber to fiber bond ซึ่งการเชื่อมติดกันแบบ cohesion จะทำให้กระบวนการเชื่อมติดต่อเนื่องจนสมบูรณ์

5. Drying เมื่อความร้อนเคลื่อนผ่านกระดาษแผ่นเรียบและล่อนลูกฟูก จะกำจัดน้ำโดยระเหยน้ำออกจากวัสดุที่ติดอยู่กับกระดาษ ซึ่งการแห้งของวัสดุเรียกว่า final bond

Daub และ คณะ (1990) ได้ศึกษาการยึดติดของการล่อนลูกฟูกที่เครื่องผลิตกระดาษลูกฟูก โดยเน้นที่ความแข็งแรงของ pin adhesion ในกระดาษลูกฟูก ความสามารถของวัสดุที่จะเกิดอันตรายร้ายระหว่างกระดาษและการภายนอกของปุ่ม pin adhesion ความร้อน รอยเชื่อมที่ใช้แรงกดและความเร็วของสายพาน ซึ่งความสามารถของวัสดุ กับความสามารถของกระดาษที่จะสามารถปรับปรุงให้เกิดแรงยึดเกาะ (Adhesion force) และเกิดเป็นลักษณะของความแข็งแรง แรงที่ต้องการกระบวนการผลิตกระดาษลูกฟูก ถือเป็นปัจจัยสำคัญที่มีผลต่อโครงสร้างความแข็งแรงของ single face board และสภาวะที่เหมาะสมที่สามารถทำให้ค่า pin adhesion มีความแข็งแรง ปัจจัยที่มีผล เช่น ความสามารถในการดูดซับกาว ความสามารถของกระดาษ และความชื้นในกระดาษ มีผลทำให้ค่า pin adhesion มีค่าลดลง

Jack และ คณะ (1995) ได้ศึกษาการนำกระดาษที่มีความหนาแน่นสูงมาผลิตเป็นกระดาษลูกฟูก โดยพบว่ามี 2 ปัจจัยที่สำคัญ ปัจจัยแรกความสามารถในการควบคุมอุณหภูมิที่พื้นผิวของกระดาษแผ่นเรียบ และ ล่อนลูกฟูก ส่วนปัจจัยที่สอง ความสามารถของกระดาษแผ่นเรียบ และ ล่อนลูกฟูก การรับความชื้นภายในกระดาษ จากการทดลองพบการรักษาสภาพของกระดาษ

สามารถทำได้ปรับสภาพอุณหภูมิให้เหมาะสม เช่น การใช้ wet steam เพื่อปรับสภาพกระดาษ ทำให้ความแข็งแรงของพันธะเพิ่มขึ้น

Joseph (1992) ได้ศึกษาการปรับปรุงความแข็งแรงของ green bond ในกระดาษลูกฟูกที่เครื่อง single face ในการทดลองทำการวัดระยะเวลาที่เกิดพันธะ ที่ระดับของการเตรียม สภาพ และสมบัติทางกายภาพของ liner board และ medium (ลอน) พบรอยหลัง induction time ความแข็งแรงของพันธะเพิ่มขึ้นไปในทิศทางเดียวกับเวลา และการฟอร์มรูปเป็น green bond เริ่มแรก ส่งผลให้ความหนืด การติดของความเพิ่มขึ้น และการเตรียมสภาพของเครื่องมีผลต่อความแข็งแรงของ green bond

กล่องกระดาษลูกฟูก

กล่องกระดาษลูกฟูก เป็นบรรจุภัณฑ์เพื่อการหีบห่องนิยมใช้อย่างกว้างขวาง เนื่องจากมีราคาถูก น้ำหนักเบา สะดวกในการขนย้าย มีความสามารถในการปกป้องสินค้าง่ายต่อการขึ้นรูป เปิดได้แล้วปิด พร้อมทั้งสามารถพิมพ์ได้อ่าย่างสวยงาม เพื่อส่งเสริมการขายสินค้าที่บรรจุอยู่ภายใน รวมทั้ง สามารถนำกลับรีไซเคิลได้

โครงสร้างของกระดาษลูกฟูก (Corrugated structure)

กระดาษลูกฟูก คือ กระดาษที่ประกอบด้วยกระดาษแผ่น เนื้อเย็บที่เรียกว่า แผ่นปะหน้า (Liner) ประกอบกับ ลอนกระดาษลูกฟูก (Flute) โดยทั่วไปกระดาษลูกฟูกมี 3 ประเภท กระดาษลูกฟูก 2 ชั้น (Single face) ประกอบด้วย กระดาษแผ่นเรียบ 1 แผ่น ประกอบกับลอนลูกฟูก 1 แผ่น

กระดาษลูกฟูก 3 ชั้น (Single wall) ประกอบด้วย กระดาษแผ่นเรียบ 2 แผ่น ประกอบกับลอนลูกฟูก 1 แผ่น

กระดาษลูกฟูก 5 ชั้น (Double wall) ประกอบด้วย กระดาษแผ่นเรียบ 3 แผ่น ประกอบกับลอนลูกฟูก 2 แผ่น

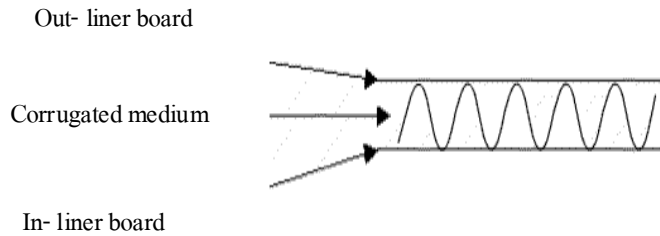


Figure 21. Single wall corrugated board.

กระดาษที่ใช้ผลิตสำหรับทำกล่องกระดาษลูกฟูก หรือที่เรียกว่า กระดาษคราฟ์ หรือ กระดาษเนี้ย หมายถึง กระดาษที่ทำขึ้นจากเยื่อชัลเฟตหรือเยื่อคราฟท์ล้วนๆ หรือต้องมีเยื่อคราฟท์อย่างน้อยร้อยละ 80 (ปุ่นและสมพร คงเจริญกียรติ, 2542) กระดาษคราฟท์ที่นำมาทำกล่องกระดาษลูกฟูก มีหลายประเภท และการนำไปใช้งานที่แตกต่างกัน โดยหลักๆ เกรดกระดาษที่ใช้มีดังต่อไปนี้

1. กระดาษสำหรับทำผิวกล่องกระดาษลูกฟูก

1.1 KI เป็นกระดาษคราฟท์สีน้ำตาลอ่อนสำหรับทำผิวกล่อง เหมาะกับงานพิมพ์น้ำหนักมาตรฐานของกระดาษที่ใช้ คือ 125, 150, 185 กรัมต่อตารางเมตร

1.2 KA เป็นกระดาษคราฟท์สีเหลืองทองสำหรับทำผิวกล่อง มีความแข็งแรงทนทานเป็นพิเศษ สามารถรองรับน้ำหนักได้ดีเยี่ยม น้ำหนักมาตรฐานของกระดาษที่ใช้ คือ 125, 150, 185, 230 กรัมต่อตารางเมตร

1.3 KS หรือ KW กระดาษคราฟท์สำหรับทำผิวกล่องเกรดนี้ เป็นกระดาษผิวด้านนอกเป็นสีขาวมีความแข็งแรงและสวยงามเป็นพิเศษช่วยเพิ่มคุณค่าของสินค้าที่บรรจุนิยมใช้ในการทำกล่องบรรจุสินค้าประเภทผัก ผลไม้และดอกไม้เพื่อการส่งออกเครื่องใช้ไฟฟ้าอาหารทะเล เช่น ช่วยเพิ่มคุณค่าของสินค้าที่บรรจุแต่จะมีราคาค่อนข้างสูง

2. กระดาษลอนลูกฟูก (Corrugated flute)

CA คือ กระดาษคราฟท์สำหรับทำลอนลูกฟูก เพื่อมีคุณสมบัติความแข็งแรงในการป้องกันแรงกระแทก ความแข็งแรงของลอนกระดาษลูกฟูกจะ สัมพันธ์กับน้ำหนักมาตรฐานของกระดาษ นอกจากนี้กระดาษ CA ยังสามารถนำมาใช้ทำเป็นกระดาษทำพิวกล่องด้านหลังเพื่อลดต้นทุน น้ำหนักมาตรฐานของกระดาษที่ใช้คือ 105, 125, 185 กรัมต่อตารางเมตร

ลอนลูกฟูก (Corrugated medium หรือ Corrugated flute)

การดัดรูปทรงให้เกิดความโถงเป็นหลักการสำคัญที่ทำให้เกิดความแข็งแรงของโครงสร้างในการรับแรงกดได้ดี กระดาษลูกฟูกจึงนำหลักการเดียวกันนี้เข้ามาใช้ในการผลิตความโถงของลอนกระดาษลูกฟูก โดยเรียกกระดาษที่ถูกทำให้โถงว่า “ลอนลูกฟูก” และเมื่อนำลอนนี้มาติดกับแผ่นกระดาษเรียบ จะสามารถทนทานต่อความโถงอและแรงกดได้จากทุกทิศทาง ลอนลูกฟูกมีหลายชนิด โดยลอนแต่ละประเภทมีขนาดและความสูง ไม่เท่ากัน ซึ่งประเภทของลอนลูกฟูกสามารถแบ่งออกได้ดังนี้

1. ลอน A มีจำนวนลอนลูกฟูกประมาณ 35 – 41 ลอนต่อความยาว 1 ฟุต ความสูงประมาณ 4.0- 4.8 มิลลิเมตร มีคุณสมบัติ ความต้านทานต่อการเพิ่มทะลุ ดีมาก การป้องกันการสั่นและการกระแทกดีมาก เหนากับสินค้าที่ต้องการรับน้ำหนักการเรียงช้อนมาก และไม่น้ำหนักพิมพ์การรับแรงในการเรียงช้อนดีมาก

2. ลอน C ความหนาของลอน 3.61-4.00 มิลลิเมตร มีจำนวนลอนลูกฟูกประมาณ 41-43 ลอนต่อความยาว 1 ฟุต ความสูงประมาณ 3.2-4.0 มิลลิเมตร มีคุณสมบัติทึ่ก ความแข็งแรงและความยืดหยุ่นรวมกัน สามารถรับแรงกระแทกและการทึบทะลุได้ดี

3. ลอน B ความหนาของลอน 2.46-3.00 มิลลิเมตร มีจำนวนลอนลูกฟูก ประมาณ 49-52 ลอนต่อความยาว 1 ฟุต ความสูงประมาณ 2.2-3.0 มิลลิเมตร มีคุณสมบัติสามารถรับแรงกระแทกและการทึบทะลุได้พอใช้

4. ลอน E ความหนาของลอน 1.14-1.60 มิลลิเมตร มีจำนวนลอนลูกฟูกประมาณ 93-96 ลอนต่อความยาว 1 ฟุต ความสูงประมาณ 1.0-1.8 มิลลิเมตร มีคุณสมบัติสามารถรับแรงกระแทกและการทึบทะลุต่ำ พับงอได้ง่าย เมื่อพับขึ้นรูปจะให้มุมเฉียบคม

5. ลอน BC ความหนาของลอน 6.07-6.80 มิลลิเมตร ใช้ลอน B ประกอบกับลอน C มีคุณสมบัติการเป็นตัวกันกระแทก และคงรูปกระดาษที่ดีกว่าลอน C และ ลอน B เหนากว่ารับแรงกระแทกและแรงกระแทกต่ำ RSC

Table 13. Specification of corrugated flutes.

Flute type	Flute pitch	Flute height
B Flute- Fine flute	5.5 - 6.5 mm	2.2 – 3.0 mm
C Flute- Medium flute	6.8 – 8.0 mm	3.2 – 4.0 mm
E Flute- Mini flute	3.0 – 3.5 mm	1.0 – 1.8 mm

ที่มา : ปุ่นและสมพร คงเจริญกีรติ (2542)

การประยุกต์ใช้ภายในกระบวนการผลิตกระดาษลูกฟูก การจะถูกใช้ในระบบที่มีลูกกลิ้งโลหะกว้างของเครื่องจักร ใช้ลูกกลิ้งหมุนไปในทิศทางที่ตรงข้ามกับ ม้วนกระดาษ (Web) ซึ่งจะมีการสัมผัสที่จุดเคลือบความเบาๆ การใช้ลูกกลิ้งหมุนไปในทิศทางเดียวกันกับ ม้วนกระดาษ ซึ่งมีการจัดเรียงกันของลูกกลิ้งทั่วไป เป็นการจัดเรียงให้ไปข้างหน้าที่สัมผัสหรือ Forward roll kiss coater ที่เคลือบความเบาๆ ดังแสดง Figure 22

นำหนักของการที่เคลือบจะถูกควบคุมโดยช่องว่างระหว่างลูกกลิ้งสองลูก การควบคุมนำหนักการทำได้โดยการเลื่อน ลูกกลิ้งไปข้างหน้า ตัวรับลูกกลิ้ง ในบางเครื่อง ลูกกลิ้งใช้ความเร็วเป็นตัวแปรที่สามารถนำหนักของการที่เคลือบ พนักงานเคลือบ บาง ๆ ที่ได้จากการ เสื่อของลูกกลิ้ง เรียกพฤติกรรมนี้ว่า Newtonian fluid behavior (การที่ได้รับแรงเฉือนส่งผลให้ความหนืดลดลง)

สำหรับเครื่องจักรที่ใช้ลูกกลิ้งแบบข้อนกลับ หรือ Reverse roll coater ลักษณะเครื่องเคลือบหมุนไปในทิศทางตรงกันข้ามกับม้วนกระดาษ วิธีนี้เกิดแรงเฉือนที่กาวสูงมาก ขณะที่ม้วนกระดาษเคลื่อนที่ต้องมีการทำความสะอาดที่ลูกกลิ้งที่สัมผัสกาว ดังแสดง Figure 23 นำหนักการที่เคลือบจะถูกควบคุมโดยช่องว่างระหว่างลูกกลิ้ง ความเร็วในการรับลูกกลิ้งและอัตราความเร็วระหว่างการรับและตัวลูกڑีด ถ้าตั้งค่าอย่างถูกต้องการควบคุมนำหนัก ในการเคลือบ ทำได้ตามต้องการ และสามารถจัดการกับความหนืดของการในช่วงกว้างได้

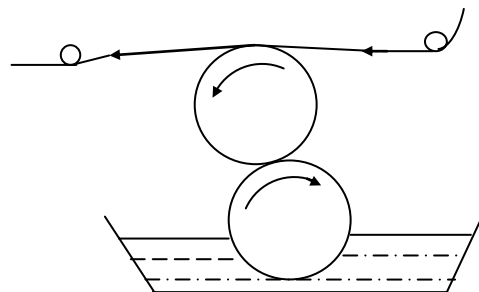


Figure 22. Forward roll kiss coater.

ที่มา: Layfield (2000)

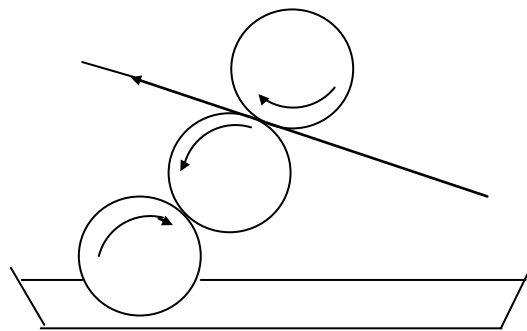


Figure 23. Reverse roll coater.

ที่มา: Layfield (2000)

การผลิตกระดาษลูกฟูก ถือว่าเป็นวิธีการ laminate ทั่วไป โดยใช้การปีนตัวเขื่อน ประสานระหว่างแผ่นกระดาษเรียบและกระดาษลอน โดยผ่านเครื่อง single facer หรือ double facer โดยลักษณะที่ได้ดังแสดง Figure 24 นอกจากนี้ปริมาณของแข็งในการมีผลต่อความเร็วในการเต็มตัวของภาชนะที่ใช้ในการผลิตกระดาษลูกฟูกดังแสดง Table 9

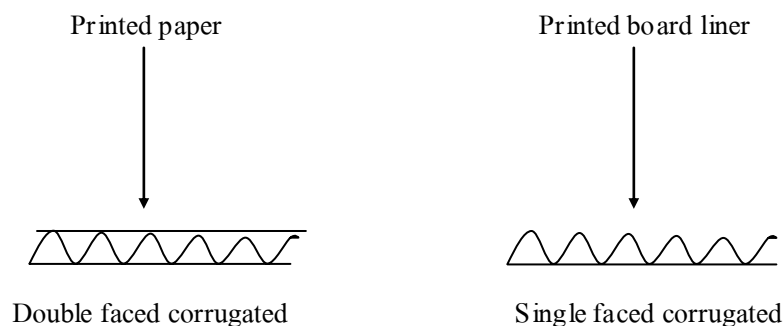


Figure 24. Laminating.

ที่มา: Layfield (2000)

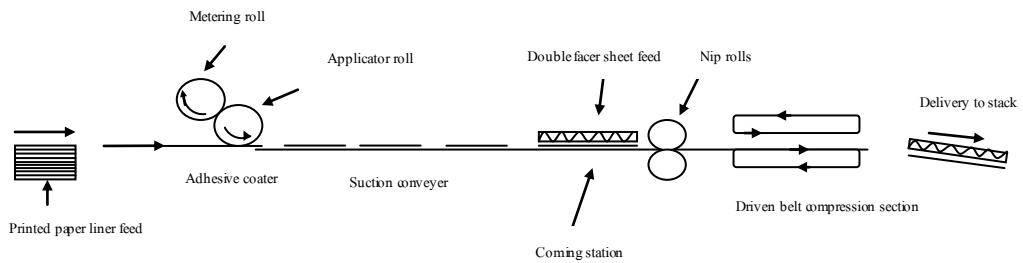


Figure 25. Double facer board mounting.

ที่มา: Layfield (2000)

ขั้นตอนการขึ้นรูปแผ่นกระดาษลูกฟูกที่เครื่อง double facer แสดงได้ดัง Figure 25 โดย printed paper liner จะผ่านเข้าไปเคลือบการด้วยเครื่อง adhesive coater และทำการประกอบกับกระดาษลูกฟูกด้วย nip rolls เพื่อให้การที่เคลือบเกิดการยึดติดที่สม่ำเสมอระหว่าง paper liner กับกระดาษลูกฟูก

Table 14. Adhesives for solid board laminating.

Adhesive	Type	Solid	Setting speed	Uses and comment
Starch	Natural solution	<25%	Very slow	Simple paper substrates. Rarely used for laminating. Poor stability and ageing characteristics.
Dextrin	Natural (modified starch) solution	20-60%	Slow	Has the advantage of higher soild, higher tack and long open time, but shrinks and becomes brittle on drying. Moisture sensitive.
Polyvinyl alcohol (PVOH)	Synthetic solution (dispersion if filled)	<28%	Slow-medium	Can achieve lower coat weight than dextrin. Water resistance therefore suitable for fish box board. Fair adhesion versatility. Good hold out
Polyvinyl acetate (PVAc)	Synthetic emulsion filled	40-60%	Fast	Greatest versatility in terms of adhesion and formation. Very low coat weight achievable. Excellent layflat, rigidity and ageing characteristics
Sodium silicate	Solution	30%	Slow	Inexpensive. But hazardous to use (caustic) hence uncommon. Dries like glass, very brittle. Poor layflat.

ที่มา: Layfield (2000)

วัตถุประสงค์

1. เพื่อพัฒนาสูตรกาวติดกระดาษคราฟท์และกระดาษลูกฟูกจากหางน้ำยาง
2. ศึกษาผลของชนิดและปริมาณแทกคิไฟเออร์ที่มีผลต่อสมบัติการยึดติดของการ
3. ศึกษาผลของปริมาณของแข็งในหางน้ำยางที่มีผลต่อสมบัติการยึดติดของการ
4. ศึกษาสมบัติ ของการ ทดสอบว่า กาวหางน้ำยาง และ กาว PVOH หรือ กาวเปลี่ยนมัน สำปะหลัง
5. เพื่อศึกษาการนำไปประยุกต์ใช้งานในสายการผลิตกระดาษลูกฟูกในระดับอุตสาหกรรม

บทที่ 2

วิธีการวิจัย

วิธีดำเนินการ

1. ลักษณะสมบัติเบื้องต้นของการเป็นมันสำปะหลัง แทกคิไฟโออร์ และหางน้ำยาง

นำตัวอย่างการเป็นมันสำปะหลังที่เตรียมในส่วน การผลิต มาวิเคราะห์ สมบัติเบื้องต้น ได้แก่ ปริมาณของแข็ง ค่า pH และค่าสมบัติการยึดติดของการ (shear strength, peel strength และ pin adhesion)

เตรียมแทกคิไฟโออร์ 4 ชนิด คือ ปิโตรเลียมเรซิน คิวามารอนเรซิน กัมเรซิน และ คิวามารอนเรซินผสมกับกัมเรซิน จากนำมาตรวจสอบลักษณะปรากฏและสมบัติเบื้องต้นของแทกคิไฟโออร์ที่เตรียมได้

ในส่วนหางน้ำยางจะตรวจสอบลักษณะปรากฏและสมบัติเบื้องต้น ได้แก่ ปริมาณของแข็ง ค่า pH โดยเปรียบเทียบระหว่างหางน้ำยาง และหางน้ำยางที่เพิ่มความเข้มข้นด้วยวิธีการครีม

2. การศึกษาผลของชนิดและปริมาณแทกคิไฟโออร์ที่มีผลต่อสมบัติการยึดติดของการหางน้ำยาง

2.1 การศึกษาผลของชนิดแทกคิไฟโออร์ต่อสมบัติการยึดติดของการหางน้ำยาง

นำหางน้ำยางมาปรับเพิ่มความเข้มข้นด้วยวิธีการครีมมิ่ง ซึ่งภายหลังจากที่ครีมหางน้ำยางเสร็จแล้วจึงนำมาปรับความเข้มข้นให้ได้ปริมาณของแข็งโดยประมาณ 20 % จากนั้นนำหางน้ำยางที่ได้มาทดสอบกับแทกคิไฟโออร์ตามชนิดและสัดส่วนต่างๆ โดยปั่นผสมที่ความเร็ว 200 -260 รอบ/นาที เป็นเวลาประมาณ 2 ชั่วโมง และเติมสารเคมีอื่นๆเพื่อเพิ่มคุณสมบัติให้กับเนื้อหางน้ำยาง ปั่นผสมให้เป็นเนื้อเดียวกันเป็นเวลาประมาณ 30 นาที จากนั้นนำหางน้ำยางที่ได้ไปทดสอบคุณสมบัติการยึดติด shear strength โดยคัดแบ่งวิธีการทดสอบจากมาตรฐานการทดสอบ ASTM D1002-72 และ peel strength หรือ t-peel test คัดแบ่งวิธีการทดสอบจากมาตรฐาน การทดสอบ ASTM D1876 -72 และ ASTM D3330-81 กับกระดาษคราฟท์และเปรียบเทียบผลการทดสอบความแข็งแรงของการยึดติดและการ สีyahay ของภาวะหลังการดึง

ทดสอบกับชุดของการควบคุมที่ใช้จากแป้งมันสำปะหลัง โดยสูตรการที่ศึกษาสามารถแสดงรายละเอียดดัง Table 15

Table 15. Skim latex adhesive for type of tackifiers study.

Chemicals	Dry weight (phr)
Skim latex (20% TS)	100
Tackifier	1, 2, 2.5, 3.5, 5, 7.5
- Coumarone resin or	
- Gum resin or	
- Petroleum resin or	
- Coumarone mixed gum resin	
50% ZnO dispersion	2
50% ZDBC dispersion	1
50% Sulfur dispersion	2

สำหรับการเตรียมสูตรการหางน้ำยาจะขึ้นอยู่และดัดแปลงจากสูตรการน้ำยาของธรรมชาติของ อรสาและคละ(2548)

2.2 การศึกษาผลของปริมาณแทกคิวไฟเออร์หลักต่อสมบัติการยึดติดของการหางน้ำยาที่มีปริมาณของแข็งที่เหมาะสมและมีสมบัติการยึดติดและการลอกดีที่สุดมาศึกษาโดยทำการ ปรับปริมาณของแทกคิวไฟเออร์ 4 ระดับ ได้แก่ 7.5, 10, 15 และ 17.5 phr ตามลำดับ จากนั้นนำการหางน้ำยาที่เตรียมได้ไปทดสอบคุณสมบัติการยึดติด shear strength และ peel strength กับกระดาษคราฟท์ (KA150) และเปรียบเทียบ ผลการทดสอบ ความแข็งแรงของการยึดติดและการเสียหายของการหางหลังการดึงทดสอบ กับชุด ของการหางน้ำยาที่ใช้จากแป้งมันสำปะหลัง โดยสูตรการที่ศึกษาสามารถแสดงรายละเอียดดัง Table 16

Table 16. Skim latex adhesive formulations for tackifier contents study.

Chemicals	Dry weight (phr)
Skim latex (20 % TS)	100
Tackifier (Coumarone resin)	7.5, 10, 15 and 17.5
50% ZnO dispersion	2
50% ZDBC dispersion	1
50% Sulfur dispersion	2

3. การศึกษาผลของปริมาณของแป้งในหางน้ำยางที่มีผลต่อสมบัติการยึดติดของการ

การศึกษาผลของปริมาณของแป้งในหางน้ำยางต่อสมบัติการยึดติดของการโดยคัดเลือกสูตรกว้างจากข้อ 2 ที่มีสมบัติการยึดติดและการลอกไกล์เคียงกับชุดควบคุมมาศึกษาต่อ โดยการปรับปริมาณของแป้งในหางน้ำยางด้วยการนำหางน้ำยางที่ผ่านการครีมมิ่งมาเจือจับกับหางน้ำยางให้ได้ปริมาณของแป้ง (% Total soild) ที่ 5, 10, 15, 20 และ 25 % ตามลำดับ จากนั้นนำมาเตรียมสูตรหางน้ำยางโดยใช้อัตราส่วนของแทกคิวไฟเออร์ที่ได้จากสูตรที่เหมาะสมในข้อ 2 นำไปทดสอบคุณสมบัติการยึดติด shear strength และ peel strength กับกระดาษคราฟท์ (KA150) และเบรเยล์เพื่อเปรียบผลการทดสอบความแข็งแรงของการยึดติดและการตีสีyahy ของการหดหู่หลังการตึงทดสอบกับชุดของควบคุมที่ใช้หางจากแป้งมันสำปะหลัง โดยสูตรหางที่ศึกษาสามารถแสดงรายละเอียดดัง Table 17

Table 17. Skim latex adhesive formulations for total solid study.

Chemicals	Dry weight (phr)
Skim latex (5, 10, 15, 20 and 25% TS)	100
Tackifier (Coumarone resin)	5
50% ZnO dispersion	2
50% ZDBC dispersion	1
50% Sulfur dispersion	2

4. ศึกษาสมบัติของการผสมระหว่างหางน้ำยาและกาว PVOH หรือ กาวแป้งมันสำปะหลัง

4.1 การศึกษาผลของหางน้ำยาและกาว PVOH ต่อสมบัติการยึดติดของการ
โดยนำหางน้ำยาที่มีปริมาณของแข็ง 20% ผสมกับ PVOH (Polyvinyl alcohol)
ที่มีความเข้มข้น 20% นำไปทดสอบคุณสมบัติการยึดติด shear strength และ peel strength กับ¹
กระดาษคราฟท์ (KA150) และเปรียบเทียบ ผลการทดสอบ ความเข้มแรงของการยึดติดและการ
เสียหายของการภายหลังการดึงทดสอบกับชุดของการ ควบคุมที่ใช้กาวจากแป้งมันสำปะหลัง โดย
สูตรกาวที่ศึกษาสามารถแสดงรายละเอียดดัง Table 18

Table 18. Skim latex adhesive mixed with PVOH study.

Chemicals	Dry weight (phr)
Skim latex (20 % TS)	100
50% ZnO dispersion	2
50% ZDBC dispersion	1
50% Sulfur dispersion	2
20% PVOH	25, 50, 100

4.2 การศึกษาผลของการหางน้ำยาและกาวแป้งมันสำปะหลังต่อสมบัติการยึดติดของการ
โดยนำหางน้ำยา (หางน้ำยาที่มีปริมาณของแข็ง 25% กับคิวมาโนนเรซินที่
ปริมาณ 5 phr) ผสมกับแป้งมันสำปะหลัง โดยเตรียมเป็น 3 สูตร ดังนี้

สูตร 1 เจลแป้งมันสำปะหลัง 20 % ในอัตราส่วนผสมกาวหางน้ำยาและกาว 1:1
แป้งมันสำปะหลัง 70:30 50:50 และ 30:70 ตามลำดับ ซึ่งเจลแป้งมันสำปะหลังเตรียมได้โดยนำแป้ง
มันสำปะหลัง 20 ส่วน ต่อ น้ำ 100 ส่วน ปั่นผสมให้เข้ากันจากนั้น ให้ความร้อนที่อุณหภูมิ
50 - 60 °C ปั่นผสมประมาณ 15-20 นาที (เกิดเป็นเจล)

สูตร 2 เจลแป้งมันสำปะหลัง 20 % (ที่เติมสารละลายโซเดียมไฮดรอกไซด์ความ
เข้มข้น 14 %) ในอัตราส่วนผสมกาวหางน้ำยา หลัก ต่อเจลแป้ง มันสำปะหลัง 70:30, 50:50 และ
30:70 ตามลำดับ ซึ่งเจลแป้งมันสำปะหลังเตรียมได้โดยนำแป้งมันสำปะหลัง (ของโรงงาน) 20 ส่วน
ต่อ น้ำ 100 ส่วนปั่นผสมให้เข้ากัน (ได้เป็นน้ำแป้ง) จากนั้น ให้ความร้อนที่อุณหภูมิประมาณ

50-60 °C ประมาณ 5 นาที และใส่สารละลายน้ำเดิมไชครอกไซด์เข้มข้น 14% (โดยค่าอยาเติน ให้ได้จันครอบปริมาณ 0.01 ส่วน ต่อ น้ำเปล่า 100 ส่วน) ปั่นผสมประมาณ 2-3 นาที (เกิดเป็นเจล)

สูตร 3 การเป็นมันสำปะหลังในอัตราส่วนผสมกาวหางน้ำยา หลัก ต่อการเป็นมันสำปะหลัง 70:30 50:50 และ 30:70 ตามลำดับจากนั้นนำ กาวหางน้ำยาที่เตรียมได้ไปใช้เตรียมกระดาษลูกฟูกในสายการผลิตลูกฟูกโดยใช้สภาวะการทดสอบดังนี้

- ทดลองในส่วนการผลิตแผ่นกระดาษลูกฟูกที่เครื่อง single facer หรือ เครื่อง double facer
- ใช้กระดาษคราฟท์ที่ใช้ทำลอนลูกฟูกชนิด CS 110 และกระดาษประพันออกใช้ KA150

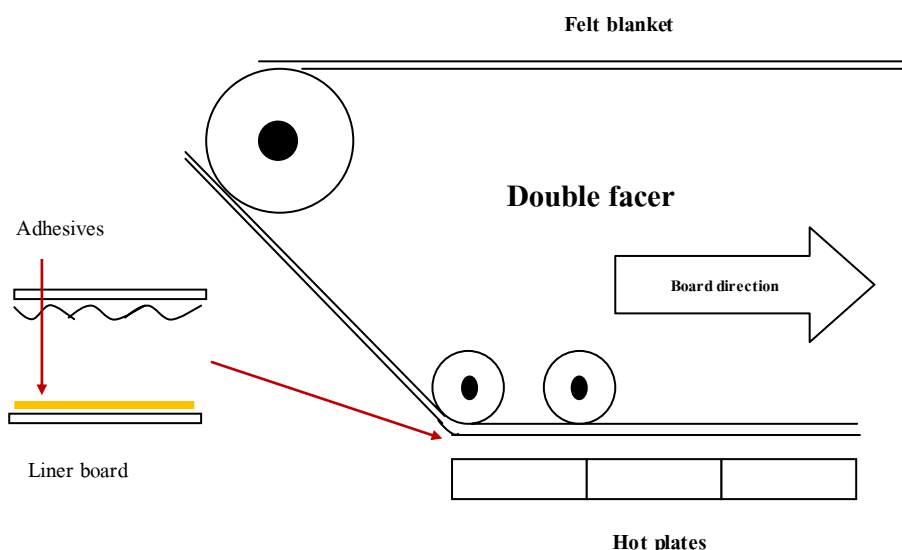


Figure 26. Preparing corrugated at double facer machine.

วิธีการเตรียมแผ่นกระดาษลูกฟูกที่เครื่อง double facer แบบกึ่งต่อเนื่อง

- ตัดแผ่นกระดาษลูกฟูก 2 ชั้น (Single face) ชนิด KA150/CS110 และกระดาษคราฟท์ชนิด KA150 จากบริษัท สยามบรรจุภัณฑ์ (สงขลา) มีขนาด 600x600 มม.²
- ทำการตัวอย่างลงบนกระดาษคราฟท์ชนิด KA 150 โดยการที่ใช้มี ปริมาณของแข็งประมาณ 0.2 กรัมต่อ 100 x150 มม.² สำหรับลอน B และประมาณ 0.5 กรัมสำหรับลอน C หากอย่างรวดเร็วให้การกระจายตัวอย่างสม่ำเสมอทั่วพื้นที่ ซึ่งนำหน้ากาวที่แน่นอนอีกครั้ง
- นำกระดาษ คราฟท์ชนิด KA 150 ที่ทำการไปปะกันกับแผ่นกระดาษลูกฟูกที่เตรียมได้ นำเข้าเครื่อง double facer ดัง Figure 25

- ความเร็วในการเดินเครื่องประมาณ 150 – 170 เมตรต่อนาที
- อุณหภูมิที่ใช้ประมาณ 150 – 170 °C

4.2.1 การศึกษาผลของอุณหภูมิของเครื่อง double facer ในส่วนการผลิตกระดาษ

ลูกฟูกต่อสมบัติการยึดติดของการหางน้ำยาง โดยสภาพที่ใช้ทดสอบ 120, 150 และ 165 °C
ความเร็วของเครื่อง 100 เมตร /นาที

4.2.2 การศึกษาผลของความเร็วของ double facer ที่ส่วนการผลิตกระดาษลูกฟูกต่อ
สมบัติการยึดติดของการหางน้ำยาง โดยสภาพการทดสอบ 120, 150 และ 180 เมตร /นาที อุณหภูมิ
ที่ใช้ทดสอบ 160 - 165 °C

4.2.3 การศึกษาผลของสภาพการเก็บที่ความชื้นสัมพัทธ์ต่อสมบัติการยึดติดของการหางน้ำยาง ทดลองที่เครื่อง double facer ความเร็วที่ใช้ 120, 150 เมตร /นาที และ อุณหภูมิที่ใช้
ทดสอบ 160 - 165 °C จากนั้นนำไปเก็บที่สภาพ %RH ที่ อุณหภูมิห้อง , 55 % RH (25 °C) และ
70 % RH (30 °C)

5. ศึกษาการนำไปประยุกต์ใช้งานในสายการผลิตกระดาษลูกฟูกในระดับอุตสาหกรรม

คัดเลือกสูตรการที่ทดลอง ที่มีสมบัติการยึดติดที่ดีที่สุดแบบจากการทดลองแบบกึ่ง
ต่อเนื่องมาทดลองในสายการผลิตกระดาษลูกฟูก การทดลอง pilot scale แบบต่อเนื่อง โดย ทำการ
เตรียมการหางน้ำยางประมาณ 80 กิโลกรัม โดยให้สภาพการทดลองเสมอของการผลิตจริง ซึ่งมี
วิธีการทดลอง ดังนี้

- เทภาวที่เตรียมได้ใส่ในกระบวนการที่เครื่อง single facer หรือ double facer เพื่อให้
glue roll ปิดการไปที่ลอนของลูกฟูก (เสมอของการผลิตจริง)
- ความเร็วในการเดินเครื่องประมาณ 100 เมตรต่อนาที
- อุณหภูมิที่ใช้ประมาณ 160 – 170 °C

6. การวิเคราะห์สมบัติของสูตรการหางน้ำยาง โดยคัดเลือกภาชนะ จ่ายน้ำยางสูตรที่เหมาะสมที่สุด นำไปทดสอบคุณสมบัติดังต่อไปนี้

1. ตรวจวัดค่าความเป็นกรด- ด่าง ด้วยเครื่อง pH meter
2. ตรวจปริมาณของแข็งของการ
3. ตรวจคุณสมบัติระหว่างการกับผิวกระดาษคราฟท์โดยเครื่องวัด contact angle

4. ระยะเวลาที่การแห้ง (Drying time, DT) คือ ระยะเวลาตั้งแต่ประกนผิวสุดติดกันและรีดปล่อ ยทิ้งไว้ให้การแห้งตัวเต็มที่อุณหภูมิห้องดัดแปลงวิธีทดสอบตามมาตรฐาน มอก. 521-2527

7. การทดสอบสมบัติการยึดติด

7.1 การทดสอบสมบัติการยึดติดของการกับกระดาษคราฟท์

7.1.1 การทดสอบ Shear strength (อ้างอิงและดัดแปลงตามมาตรฐาน มอก 1521-2541 และ ASTM D1002-72) การทดสอบ shear strength เป็นการทดสอบการที่ เชื้ต ตัวอย่างสมบูรณ์ เพื่อประเมินแรงยึดเกาะระหว่างการกับกระดาษ

- ตัดแผ่นกระดาษคราฟท์เป็นสี่เหลี่ยมผืนผ้าโดยขนาด 75x160 มม. โดยให้ด้านยาวอยู่ในแนวนานของเครื่องปิดเส้นและตัดแบ่งกระดาษเป็น 2 ส่วน ให้ได้ขนาด 75x80 มม.² หากตัวอย่างลงบนกระดาษที่แบ่งไว้ 1 ส่วน โดยการที่ใช้มีปริมาณของเชิงประมาณ 0.005 กรัมต่อ 15x15 มม.² อย่างรวดเร็วให้การกระจายตัวอย่างสม่ำเสมอทั่วพื้นที่ ซึ่งน้ำหนักการที่แน่นอนอีกครั้งน้ำหนักการยึดแผ่นหนังกีดทับบนพื้นที่ส่วนที่ทำการนำน้ำหนักประมาณ 2 กิโลกรัมมากดทับ ตัวอย่างการที่เตรียมได้มีขนาด 130x15 มม.² โดยมีพื้นที่ปะกับ shear area ท่ากับ 15x15 มม.²

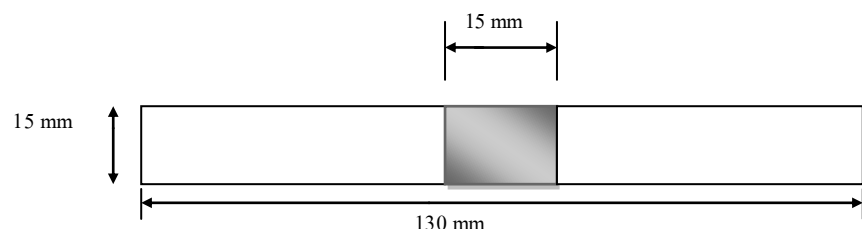


Figure 27. Shear strength test.

- เก็บตัวอย่างทดสอบที่อุณหภูมิห้องเป็นเวลา 24 ชั่วโมง จากนั้นตัดแบ่งกระดาษให้มีขนาด 15×130 มม.
- นำไปตรึงเข้ากับปากจับของเครื่องทดสอบ Universal Testing Machine ทำการทดสอบด้วยอัตราเร็วของหัวจับ 20 ± 5 มิลลิเมตรต่อนาทีจนแผ่นกระดาษทดสอบขาดออกจากกันตรวจสอบและบันทึกถ้อยคำความเสียหาย cohesive หรือ adhesive failure ของการที่ยึดติดรวมถึงตรวจสอบส่วนของกระดาษที่ปิดทับมีการเลื่อนตัวหรือไม่
- บันทึกแรงดึงที่ใช้ ณ. จุดที่ตัวแน่นขาดจากกันคำนวณ Shear strength ในหน่วยแรงต่อพื้นที่แรงเฉือน ในการทดสอบใช้ชิ้นตัวอย่างทดสอบ (กระดาษคราฟท์) 5 ชิ้นต่อตัวอย่าง

7.1.2 การทดสอบ Peel strength (T-peel test) วิธีอิงและตัดแบ่งจากมาตรฐาน

ASTM D1876 -72 และ ASTM D3330-81 การทดสอบ peel strength เป็นการทดสอบการที่ตัวอย่างสมบูรณ์ เพื่อประเมินแรงยึดเกาะของกาวกับกระดาษ ในทิศทางที่ตั้งฉากกับพื้นผิว เช่นเดียวกับ shear strength

- ตัดแผ่นกระดาษคราฟท์เป็นสี่เหลี่ยมพื้นผ้าโดยขนาด 75×80 มม. จำนวน 2 แผ่นทำการโดยใช้การที่มีของแข็งประมาณ 0.03 กรัมต่อพื้นที่ 15×65 มม.² อย่างรวดเร็ว ให้การกระจายตัวอย่างสม่ำเสมอทั่วพื้นที่ ชั่งน้ำหนักการที่เปลี่ยนอิฐครั้ง โดยเหลือพื้นที่บริเวณที่ไม่ทำการประมาณ 15 มม. นำกระดาษอีกแผ่นมาประกบ นำน้ำหนักประมาณ 2 กิโลกรัมมากดทับ โดยตัวอย่างที่เตรียมได้จะมีพื้นที่บริเวณประกบ 65×15 มม. และมีปลายทางทั้งสองด้านยาวด้านละ 15 มม. ซึ่งเป็นบริเวณที่ใช้หนีบจับกับหัวจับ
- เก็บตัวอย่างทดสอบที่อุณหภูมิห้องเป็นเวลา 24 ชั่วโมง แบ่งและตัดกระดาษให้มีขนาด 15×80 มม. โดยมีบริเวณประกบทากาวมีความกว้าง 65 มม.

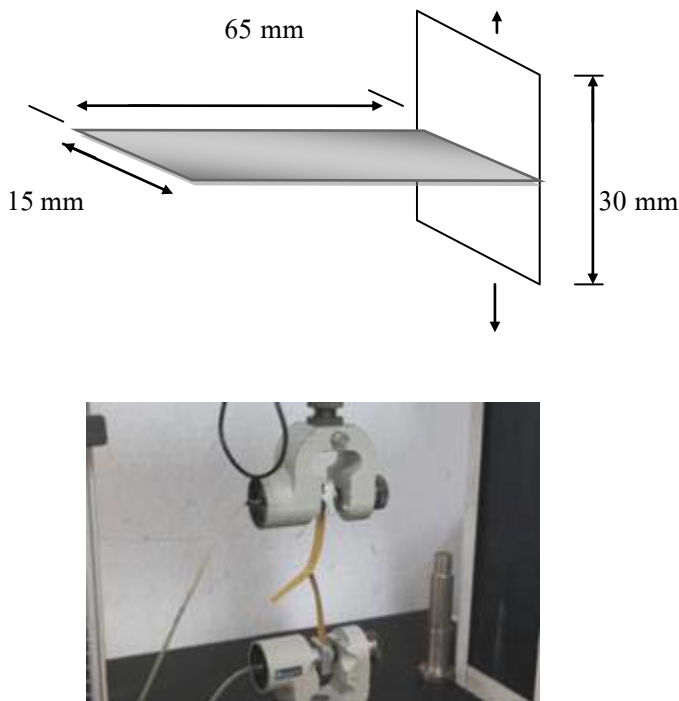


Figure 28. Peel strength test.

- นำไปทดสอบค่าความแข็งแรงของการยึดติด โดยทำการดึงชิ้นกระดาษทดสอบ ด้วยความเร็ว 254 มม./นาที ด้วยเครื่อง Universal Testing Machine บันทึกค่าแรงและระยะการลอกจากนั้นตรวจสอบ และบันทึกกักษณ์ความเสียหาย cohesive หรือ adhesive failure ของการที่ยึดติดรวมถึงตรวจสอบ ส่วนของกระดาษความเสียหายกระดาษภายหลังการลอก ในการทดสอบใช้ชิ้นตัวอย่างทดสอบ (กระดาษคราฟท์) 5 ชิ้นต่อตัวอย่าง
- คำนวณค่า peel strength ในหน่วยแรงดึงเฉลี่ย (หลัง initial peak) ต่อความกว้างของตัวอย่าง

7.2 การทดสอบสมบัติการยึดติดของการกับกระดาษลูกฟูก

7.2.1 การทดสอบด้วยวิธี Pin adhesion test ข้างอิงและดัดแปลงตามเอกสาร (TAPPI T 821) การทดสอบสมบัติการยึดติดด้วยวิธี pin adhesion เป็นการทดสอบความแข็งแรงของการที่ยึดติดระหว่างลอนกับแผ่นกระดาษเรียบถือว่าเป็นวิธีการทดสอบที่มีความสำคัญอย่างมากในอุตสาหกรรมการผลิตกระดาษลูกฟูก

- โดยตัดแผ่นกระดาษลูกฟูกมาตัดเป็นสี่เหลี่ยมผืนผ้าโดยตัดให้เรียบและตรงโดยให้แนวนอนกระดาษลูกฟูกตั้งฉากกับความยาวชิ้นทดสอบ (لون B ขนาด 30x100 มม., لون C ขนาด 50x100 มม.)
- เก็บชิ้นตัวอย่างทดสอบที่อุณหภูมิห้องเป็นเวลาอย่างน้อย 24 ชั่วโมง
- ใช้ Pin adhesive holder ยึดชิ้นทดสอบ ตามประเภทของลองทดสอบโดยใช้เครื่อง Universal Testing Machine ตั้งความเร็วเครื่องที่ 12.5 มม./นาที ในการทดสอบใช้ชิ้นตัวอย่างทดสอบ 5 ชิ้นต่อตัวอย่าง

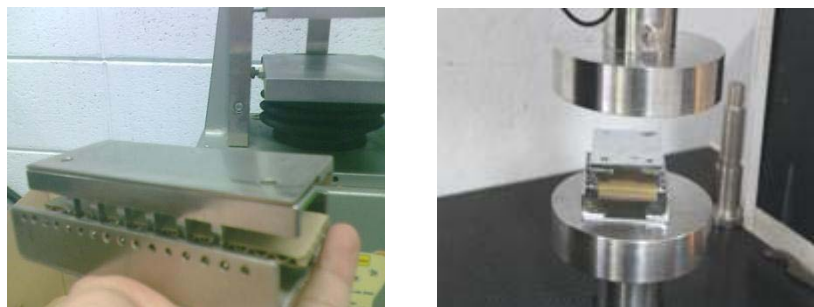


Figure 29. Pin adhesion test.

7.2.2 การทดสอบด้วยวิธี Bursting Strength (อ้างอิงและคัดแปลงตามมาตรฐาน Tappi T810 om 98) Bursting Strength หรือ ความต้านทานแรงดันทะลุ หมายถึง ความสามารถของกระดาษหรือแผ่นกระดาษลูกฟูกที่จะต้านแรงดันที่กระทำบนแผ่น ทดสอบด้วยอัตราที่เพิ่มขึ้นอย่างสม่ำเสมอจนทำให้แผ่นทดสอบนั้นขาดภายในได้ สภาวะที่กำหนด โดยทั่วไปแล้วค่าความต้านแรงดันทะลุจะเพิ่มอยู่กับ ชนิด สัดส่วน การเตรียมเส้นใยและปริมาณเส้นใยรวมทั้งสารแต่งเติมในแผ่นกระดาษ

- ตัดแผ่นกระดาษลูกฟูกให้มีขนาด 100 x 100 มม.
- วัดความหนาของแผ่นตัวอย่าง ไม่น้อยกว่า 3 จุดแล้วหาค่าเฉลี่ย
- นำไปทดสอบด้วยเครื่องทดสอบแรงดันทะลุ Mullen Bursting Strength Tester
- อ่านค่าแรงดันทะลุสูงสุดจากเครื่องในหน่วยแรงต่อพื้นที่ตัวอย่าง (N / cm^2)

7.2.3 การทดสอบด้วยวิธี Edge Crush Test หรือ ECT (อ้างอิงและดัดแปลงตามมาตรฐาน Tappi T811 om 95) Edge crush test (ECT) หรือ ความต้านทานแรงกดในแนวตั้งหมายถึง ความสามารถของแผ่นกระดาษลูกฟูก ในแนวตั้ง ที่จะต้านแรงกดเมื่อกระทำ ในทิศทางเดียวกับแนวตั้งของลูกฟูกจนแผ่นลูกฟูกหักหรือบุบตัวลง

- ตัดแผ่นกระดาษลูกฟูกให้มีขนาด 25×100 มม. โดยลองลูกฟูกจะอยู่ในตำแหน่งวางเป็นคอลัมน์ตามแนวนอน ทดสอบ ECT และนำไปวางได้เครื่องทดสอบที่จุดกึ่งกลาง
- กดตัวอย่างด้วยอัตราเร็ว 12.7 มม./นาที จนตัวอย่างเสียรูป สังเกต ลักษณะการเสียรูป
- คำนวณค่าความต้านทานแรงกดแนวตั้งในหน่วยแรงต่อความกว้างตัวอย่าง



Figure 30. Testing Edge Crush Test

8. การวางแผนการทดลองและการวิเคราะห์ทางสถิติ

วางแผนการทดลองแบบ Completely randomize design เพื่อทำการศึกษาผลของชนิด ความเข้มข้นของปริมาณของเพ็งในหางน้ำยา แสง ผลของปริมาณแทกคิไฟ เออร์ของการเตรียมการหางน้ำยา

วัสดุและอุปกรณ์

วัสดุ

1. หางน้ำยา (Skim latex) มีปริมาณของเจึงประมาณ 5 % จากบริษัท ภาครอตสาหกรรม ยางพารา (1982) จำกัด
2. สารครามมิ่ง A702 ใช้เพิ่มความเข้มข้นของหางน้ำยา ผลิตโดยบริษัท Hercules Tianpu Chemicals
3. แทกคิไฟเออร์
 - ปีโตรเลียมเรซิน ใช้เพิ่มความสามารถในการยึดติด เตรียมในรูป 22 % อิมลชัน และ 50 % ดิสเพรสชัน จากบริษัท เคเมวนิ จำกัด
 - คิวมาโนนเรซิน ใช้เพิ่มความสามารถในการยึดติด เตรียมในรูป 22 % อิมลชัน จากบริษัท กิจไพบูลย์
 - กัมเรซิน ใช้เพิ่มความสามารถในการยึดติดเตรียมในรูป 22 % อิมลชัน จากบริษัท กิจไพบูลย์
 - Polyvinyl alcohol (PVOH) ชนิด BP -20 (น้ำหนักโมเลกุล 99,000-104,000) เพิ่มการยึดติดและรักษาความสตีเยร์ในการเตรียมแทกคิไฟเออร์ เตรียมในรูปสารละลาย 20 %
4. สารเคมีและแป้งที่ใช้เตรียมการแป้ง
 - แป้งมันสำปะหลัง ที่ใช้ผลิตการแป้งจากบริษัทสยามบรรจุภัณฑ์ (สงขลา)
 - บอแรกซ์
 - โซเดียมไฮดรอกไซด์ (NaOH)
5. สารเคมีที่ใช้ในการเตรียมการหางน้ำยา
 - ซิงค์ออกไซด์ (ZnO) เตรียมในลักษณะ 50 % dispersion จากบริษัทลักกี้ไฟว์
 - กำมะถัน (S) เตรียมในลักษณะ 50 % dispersion จากบริษัทลักกี้ไฟว์
 - ZDBC เตรียมในลักษณะ 50 % dispersion จากบริษัทลักกี้ไฟว์
6. สารเคมีที่ใช้เตรียม อิมลชัน แทกคิไฟเออร์
 - โอลิอิก แอซิก ($C_{18}H_{34}O_2$) ผลิตโดยบริษัท Fluka
 - โซเดียมไฮดรอกไซด์ (KOH) สำหรับปรับความเป็นกรดค้างในการเตรียม

- แทกคิไฟเออร์สูตรทางเคมี จาก บริษัท Merck
- โอลูอีน ($C_6H_5CH_3$)
- 7. กระดาษคราฟท์ชนิด KA150 จากบริษัท สยามบรรจุภัณฑ์ (สงขลา)
- 8. แผ่นกระดาษลูกฟูก 2 ชั้น (Single face) ชนิด KA150/CS110 จากบริษัท สยามบรรจุภัณฑ์ (สงขลา)

อุปกรณ์

1. เครื่องการผสม Stirrer ยี่ห้อ IKARW 20
2. เครื่องชั่งละอียด ทศนิยม 2 ตำแหน่ง ยี่ห้อ Sartorius รุ่น 1502S
3. เครื่อง pH meter รุ่น pH 510 ยี่ห้อ EUTECH
4. เครื่องบดผสมสารเคมี Ball Mill
5. ตู้อบ (Hot air oven) ยี่ห้อ Memmert
6. Mullen Bursting Strength Tester GOTECH รุ่น GT-7013-AD
7. Hot plate รุ่น HTS-1003 และ Magnetic stirrer
8. ถังพลาสติก HDPE ขนาดบรรจุ 15 ลิตร สำหรับกระบวนการครีมหางน้ำยาง
9. เครื่องทดสอบความต้านทานต่อแรงดึง (Universal Testing Machine) ยี่ห้อ LLOYD รุ่น LR 30K
10. เครื่องวัด Contact angle รุ่น OCA 15 EC บริษัท Data physics
11. Pin adhesion และ ECT sample holder



Figure 31. Stirrer mixing unit.



Figure 32. Hot air oven.



Figure 33. Mullen Bursting Strength Tester.



Figure 34. Universal Testing Machine.



Figure 35. Contact angle machine.



Figure 36. Pin adhesion sample holder

บทที่ 3

ผลและวิจารณ์ผลการทดลอง

1. ลักษณะและสมบัติเบื้องต้นของการเป้มันสำปะหลัง แทกคิไฟเออร์ และ หางน้ำยาง

1.1 ลักษณะและสมบัติทางกายภาพของการเป้มันสำปะหลัง

เมื่อนำการเป้มันสำปะหลังที่เตรียมได้จากสายการผลิตมาวิเคราะห์สมบัติเบื้องต้นพบว่าการเป้มันสำปะหลังในสายการผลิตมีค่า pH อยู่ในช่วง 11.02-11.24 และค่า gel point อยู่ในช่วง 58-65 °C (เป็นค่าความคุณมาตรฐานของโรงงานกระดาษลูกฟูกที่ไปทำวิจัย โดยวิธีการทางโรงงานจะนำการเป้มันสำปะหลังเทใส่หลอดแก้วแขวน้ำความคุณอุณหภูมิ 80 °C พร้อมกับใช้แห่งprotothorn จากนั้นสังเกตอุณหภูมิที่เพิ่มขึ้นอ่านค่าอุณหภูมิเมื่อการเป้มันสำปะหลังเป็นเจล) ในอุตสาหกรรมผลิตกระดาษลูกฟูกในประเทศไทยนิยมใช้เป้มันสำปะหลังในการผลิตการสำหรับกระดาษลูกฟูก เนื่องจากมันสำปะหลังเป็นหนึ่งในพืชไทรที่สำคัญของไทย และหัวมันสำปะหลังมีเปลี่ยงสูงและมีส่วนประกอบอื่นๆ เช่น โปรตีนและไขมันในปริมาณน้อย ลักษณะสำคัญของเป้มันสำปะหลังคือ ให้เจลที่ใส มีความหนืดสูง และปริมาณอะไมโลเพค ตินที่สูงจึงเกิด retrogradation ได้ยาก ซึ่ง retrogradation หรือการคืนตัวของเป้มสุกเป็นปราฏ การณ์ที่เกิดขึ้นเมื่อน้ำเปลี่ยนร้อนมีอุณหภูมิลดต่ำลง จะต้องที่อุณหภูมิลดลง ไม่เลกูลอิสระของอะไมโลสซึ่งอยู่ใกล้กันจะเคลื่อนที่เข้ามาใกล้กันและจับตัวกันด้วยพันธะไฮดรเจน ทำให้เกิดสภาพการจัดเรียงตัวของไมเลกูลขึ้นใหม่ โดยเปลี่ยนจากลักษณะการกระจาดตัวของไมเลกูลมาเป็นส่วนที่เป็น crystallite ส่วนสมบัติเบื้องต้นและสมบัติการยึดติดจะทดสอบด้วยวิธี shear strength และ peel strength กับกระดาษคราฟท์ และ pin adhesion กับกระดาษลูกฟูก

Table 19 และ Table 20 โดยที่สมบัติการยึดติดจะทดสอบด้วยวิธี shear strength และ peel strength กับกระดาษคราฟท์ และ pin adhesion กับกระดาษลูกฟูก



Figure 37. Tapioca starch adhesive.

Table 19. Some properties of tapioca starch adhesive.

Property	Value*
Viscosity (cps)	190.2 \pm 3.12
Gel point ($^{\circ}$ C)	58-65
%TS	18.54 \pm 0.34
pH	11.13 \pm 0.11

* All values are reported as mean ($N \geq 5$).

Table 20. Adhesion properties of corrugated board and kraft paper using tapioca starch adhesive.

Adhesion properties	Value *
Pin adhesion (N/cm) Flute B	178.25 \pm 0.50
(N/cm) Flute C	322.50 \pm 9.26
Shear strength (N/mm ²)	0.45 \pm 0.03
Peel strength (N/mm)	0.29 \pm 0.01

* All values are reported as mean ($N \geq 5$).

การทดสอบความแข็งแรงของการยึดติดของการเป็นมันสำปะหลัง โดยแบ่งการทดสอบเป็น 2 แบบ คือ แบบที่ 1 ทดสอบสมบัติการยึดติด กับผ่านกระดาษคราฟ์ (KA150) ความแข็งแรงของการยึดติดโดยพิจารณา shear strength และ peel strength และ แบบที่ 2 ทดสอบสมบัติการยึดติดกับผ่านกระดาษลูกฟูก (KA150/CS110/CS110, ลอน B หรือ ลอน C) ความแข็งแรงของการยึดติดโดยพิจารณาค่า pin adhesion เป็นหลัก

จาก Table 20 แสดงสมบัติการยึดติดของการเป็นมันสำปะหลัง โดยค่า shear strength มีค่าเฉลี่ยอยู่ที่ 0.45 นิวตัน /มม². peel strength มีค่าเฉลี่ยอยู่ที่ 0.29 นิวตัน /มม. ในส่วนค่า pin adhesion ตอน B มีค่าเฉลี่ยอยู่ที่ 178.25 นิวตัน /ซม. และตอน C มีค่าเฉลี่ยอยู่ที่ 322.50 นิวตัน/ซม. จากการศึกษาของ Jack และคณะ (1995) ที่ใช้เป็นข้าวโพด ในการเตรียม กาวสำหรับผลิตกระดาษลูกฟูก ที่เครื่อง single facer โดยควบคุมอุณหภูมิที่ single face liner อยู่ที่ 71.1 °C ถึง 127 °C ความเร็วของเครื่องควบคุมที่ 137 เมตร/นาทีจากการทดลองพบว่าอุณหภูมิที่เหมาะสมอยู่ที่ 93.3 °C ถึง 121.1 °C ซึ่งทดสอบการยึดติดกับ พบตอน B มีค่า pin adhesion อยู่ที่ 102.0 นิวตัน /ซม และ ECT อยู่ที่ 42 ปอนด์/นิวตัน การทดสอบพบ การเสียหาย แบบ fiber tear จำนวน 90% และ adhesive failure จำนวน 10% (โดยการตรวจสอบการเสียหายของการวัดจากพื้นที่ที่ทำกาว) เมื่อเปรียบเทียบพบว่าค่า pin adhesion ของการเป็นมันสำปะหลัง พบมีค่าแตกต่างกัน การเป็นข้าวโพด อาจเนื่องจากสภาวะในการผลิตและสมบัติของเป็นที่ แตกต่างกัน โดยการเป็นมันสำปะหลังจะใช้อุณหภูมิที่เครื่อง single facer อยู่ที่ 160 °C ถึง 170 °C ความเร็วของเครื่องควบคุมที่ประมาณ 180 เมตร/นาที ซึ่งสูงกว่าการเป็นข้าวโพด

1.2 ลักษณะและสมบัติเบื้องต้นของแทกคิไฟเออร์ที่เตรียมในรูปของอิมลัชั่นและดิสเพรสชัน

ในการวิจัยได้ทำการเตรียมแทกคิไฟเออร์ 4 ชนิด คือ คิวมาโนนเรชิน, กัมเรชิน, ปิโตรเลียมเรชิน และ คิวมาโนนผสมกับกัมเรชิน โดยเตรียมในรูปของอิมลัชั่น และ ดิสเพรสชัน เพื่อ ผสมกับหางน้ำยางที่ผ่านกระบวนการครีมให้เป็นหางน้ำยาง การเตรียมแทกคิไฟเออร์ด้วยวิธี อิมลัชั่นต้องนำมำทำให้ละลายโดยใช้ troquelin จากการทดลอง พบวากัม เรชิน มีขนาดเป็นก้อนใหญ่ ต้องนำมาทุบให้มีขนาดเล็กก่อน เพราะถ้าใช้กัม เรชิน ที่เป็นก้อนขนาดใหญ่ทำให้ใช้เวลาในการ ละลายมาก และการเตรียมคิวมาโนนเรชิน ผสมกับกัมเรชิน โดยต้อง เตรียมแทกคิไฟเออร์ทั้งสองให้ เสร็จก่อนจากนั้นจึงค่อยนำมาผสมกันในอัตราส่วน 50:50 กวนให้เข้ากัน ในส่วนปิโตรเลียม เรชิน จะเตรียมทั้งสองวิธี คือแบบที่เป็นอิมลัชั่นที่ละลายแทกคิไฟเออร์ด้วย troquelin และ แบบ ดิสเพรสชัน ที่ นำแทกคิไฟเออร์ไปผสมน้ำในอัตราส่วน 50:50 และบดโดยใช้ ball mill ซึ่ง แทกคิไฟเออร์ที่เตรียม ด้วยวิธีอิมลัชั่นจะมีความหนึบแน่นและหนืดมากกว่าที่เตรียมด้วยรูปดิสเพรสชัน และปิโตรเลียม เรชิน ที่ เตรียมด้วยวิธีอิมลัชั่นจะละลายไม่หมดจำนวนมาก (เป็นตะกอน)

Table 21. Some properties of tackifiers.

Tackifier	Appearance	% TS
Coumarone resin emulsion	Yellow, very viscous and fetid	50.08
Gum resin emulsion	Creamy, yellow with large viscosity and fetid	48.12
Coumarone+ gum resin emulsion	Yellow, very viscous and fetid	49.23
Petroleum resin emulsion	Dark yellow, very viscous and fetid	51.20
Petroleum resin (50 % dispersion)	Yellow, viscous and fetid	52.44

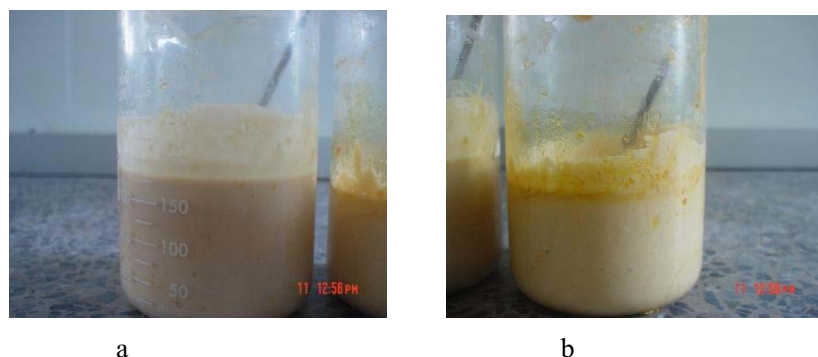


Figure 38. Tackifier emulsions (a) coumarone resin and (b) petroleum resin.

1.3 สมบัติเบื้องต้นของหางน้ำยางและหางน้ำยางเข้มข้นที่ผ่านกระบวนการครีม

โดยปกติหางน้ำยางที่เก็บจากกระบวนการปั่นให้เย็นน้ำยางสดในแต่ละครั้งพบว่า ปริมาณของแข็งมีค่าแปรปรวนสูง สาเหตุอาจเนื่องจากน้ำยางสดที่นำมาใช้ในการผลิตน้ำยางข้น แต่ ละครั้งมีปริมาณของแข็ง และปริมาณยางแห้ง (DRC) ไม่เท่ากัน ดังนั้นจึงได้ทำการเตรียมหางน้ำยาง ทำให้เข้มข้นด้วยวิธีการครีมพบปริมาณของแข็งหลังการครีมอยู่ ที่ประมาณ 36.52 % ซึ่งใกล้เคียงกับ งานวิจัยของ โชติรส ศอกขัน (2552) ที่ปริมาณของแข็งภายหลังการครีมอยู่ที่ประมาณ 30% หลังจากนั้นทำการปรับปริมาณของแข็งของหางน้ำยางเข้มข้น ให้มีปริมาณของแข็งประมาณ 10, 15, 20 และ 25% ตามลำดับ โดยใช้หางน้ำยางในการเจือจาง เพื่อปรับปริมาณของแข็ง ซึ่งปริมาณ ของแข็งและค่าความเป็นกรด-ด่างของหางน้ำยางที่ได้จากวิธีการครีมแสดงดัง Table 22

Table 22. Total solid content and pH of skim latex, concentrated skim latex and diluted cream skim latex at 10, 15, 20 and 25% TS.

Type	%TS*	pH*
Skim latex	6.05 ± 0.62	11.03 ± 0.21
Concentrated skim latex 36.52%TS	36.52 ± 2.67	11.13 ± 0.31
Diluted cream skim latex 10%TS	12.79 ± 0.60	10.97 ± 0.20
Diluted cream skim latex 15%TS	16.04 ± 0.44	10.79 ± 0.14
Diluted cream skim latex 20%TS	19.63 ± 0.34	11.02 ± 0.21
Diluted cream skim latex 25%TS	24.25 ± 0.35	10.98 ± 0.24

* All values are reported as mean ($N \geq 5$).

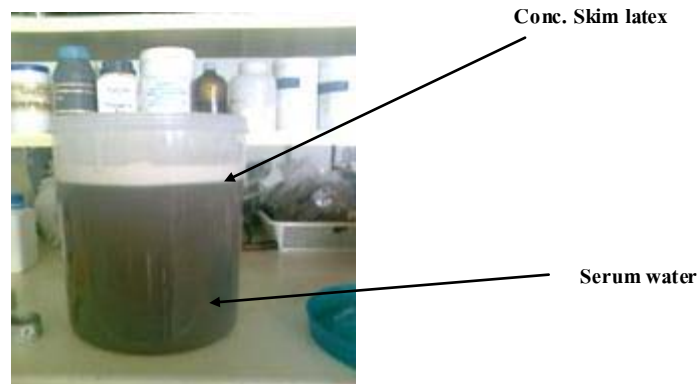


Figure 39. Concentrated skim latex and serum water from creaming process.

ซึ่งในการเตรียมหางน้ำยางเข้มข้นด้วยวิธีการครีมไม่ควรเก็บหางน้ำยางไว้นานเกินไป เพราะหางน้ำยางมีน้ำเชรุ่ม(มีน้ำ โปรตีน และน้ำตาลเป็นส่วนประกอบ) เมื่อทิ้งไว้นานจะมีกลิ่นเหม็นและหางน้ำยางอาจเสียสภาพได้(pH ลดลง) โดยจากการทดลองจะเก็บหางน้ำยาง ไม่เกินสองเดือน นอกจากนี้จาก Figure 39 แสดงส่วนของหางน้ำยางที่ครีมและส่วนของน้ำเชรุ่ม หางน้ำยางที่ผ่านการครีมแล้วจะมีส่วนของน้ำเชรุ่มต้องรีบถ่ายออกทันที เพราะถ้าเก็บไว้ในสภาพนี้ทำให้หางน้ำยางเข้มข้นเกิดมีกลิ่นเหม็นจากน้ำเชรุ่มได้

1.4 สมบัติของการหางน้ำยา

1.4.1 เวลาในการแห้งตัวของการหางน้ำยา

ในการวิเคราะห์เวลาการเซตตัวของการหางน้ำยาทำโดยตัดกระดาษ ให้มีขนาดเท่ากับที่ทดสอบ shear strength และทำให้ส่วนผสมให้มีน้ำหนักแห้งของมวล 0.005 กรัม จากนั้นพิ่งไว้ให้แห้งและจับเวลากว่าการจะแห้งหมด (ที่สภาวะอุณหภูมิห้อง) โดยเวลาการแห้งตัวของการหางน้ำยาแสดงได้ดัง Table 23

Table 23. Drying time of adhesives.

Formula	DT (minute)
20% skim	15-20
20% skim + 5phr Cor	10-15
20% skim + 17.5phr Cor	9-12
25% skim + 5phr Cor	10-15
Tapioca starch adhesive	20-30

Remark: Cor = coumarone resin and Skim = skim latex

จาก Table 23 พบระยะเวลาการแห้งตัวของการหางน้ำยาที่เติมคิวมาโนนเรซิน จะมีระยะเวลาการแห้งตัวลดลงและลดลงตามปริมาณของคิวมาโนนเรซิน ที่เพิ่มขึ้น ทั้งนี้อาจเป็นผลมาจากการที่คิวมาโนนเรซิน เป็นสารเพิ่มการยึดติดใช้ผสมในการเพื่อปรับปรุงสมบัติ้านความเหนียว และช่วยในเรื่องการไหลของกาวรวมถึงช่วยการเกิดเป็นแผ่นฟิล์มกาวได้เร็วขึ้น ด้วยเหตุนี้ระยะเวลาการแห้งตัวของการหางน้ำยาจะมีค่าน้อยกว่าหางน้ำยาที่มีเวลาการแห้งตัวที่ 15-20 นาที

แต่เมื่อเปรียบเทียบผลการทดลองในส่วนการผลิตกระดาษลูกฟูก (ที่เครื่อง double facer) กลับให้ผลที่แตกต่าง เนื่องจากภายในหลังที่ผ่านเครื่อง double facer พนการแห้งตัวเพื่อฟอร์มเป็นฟิล์มกาวที่พื้นผิวนอน การปั๊มน้ำมันสำปะหลังจะเกิดได้เร็วกว่าการหางน้ำยา เนื่องจากภายในหลังที่ให้ความร้อนจนปั๊มน้ำมันสำปะหลังแล้ว เมื่ออุณหภูมิลดต่ำลงมาจะเกิดการผันกลับเรียกว่า retrogradation กล่าวคือไม่ลอกกล่องไม่โลละเรียงตัวชิดกันแน่นมากขึ้นจนทำให้ไม่ลอกกล่องน้ำลูกแยกออก และจะไม่โลละเรียงตัวเพื่อเกิดเป็นฟิล์มของแป้ง เมื่อให้ความร้อนในระดับที่เหมาะสมในขั้นตอนที่การปั๊มน้ำมันสำปะหลังผ่าน heat roll หรือ hot plate ที่มีอุณหภูมิสูงมากกาวแป้งมันสำปะหลังจึงแห้งตัวได้ในระยะเวลาอันสั้น

1.4.2 สมบัติการเปียกของการหางน้ำยา

การเปียก (Wetting) ของเหลวบนผิววัสดุซึ่งใช้บ่งบอกสภาพผิววัสดุว่า ผิววัสดุมีสมบัติชอบน้ำมากน้อยเพียงใด ซึ่ง มุมสัมผัส (Contact angle) ก็คือ มุมที่เกิดจากเส้นสัมผัสถักกับผิวของไอลบริเวณที่ติดกับขอบของของแข็งตัดกับเส้นสัมผัสถักกับขอบของของแข็ง ซึ่ง มุมสัมผัสเป็นผลจากความสัมพันธ์ระหว่างแรงเชื่อมแน่นระหว่างโนมเลกุลของของเหลวกับแรงยึด ติดระหว่างโนมเลกุลของของเหลวกับโนมเลกุลของแข็ง

ในการทดสอบมุมสัมผัสระ拓สอบโดยใช้ผิวของกระดาษคราฟท์กับตัวการทั้ง 5 สูตร ก็คือ การเปี๊ยมันสำปะหลัง, หางน้ำยาหางเข้มข้นที่มีปริมาณของแข็ง 25%, การหางน้ำยา (หางน้ำยาที่มีปริมาณของแข็ง 25 % ผสม คิวมาโรนเรชิน 5 phr), การหางน้ำยา (หางน้ำยาที่มีปริมาณของแข็ง 25 % ผสม คิวมาโรนเรชิน 15 phr) และ การหางน้ำยา (หางน้ำยาที่มีปริมาณของแข็ง 25 % ผสม คิวมาโรนเรชิน 5 phr) ผสมความเปี๊ยมันสำปะหลังในอัตราส่วน 50:50 โดยวัดค่ามุมสัมผัสที่เวลา 0, 1, 2, 3, 4 และ 5 นาที ควบคุณนำหนักตัวอย่างอยู่ที่ 3-4 μl ซึ่งค่ามุมสัมผัสแสดงได้ดัง Table 24

Table 24. Contact angle of adhesive at time 0, 1, 2, 3, 4 and 5 minutes.

Formula	Contact time (minute)						Rate of contact angle reduction % min
	0	1	2	3	4	5	
Tapioca starch adhesive	100.5°	86.3°	82.7°	80.4°	78.2°	76.2°	19.74
Skim latex 25%	95.9°	94.2°	92.7°	91.3°	89.6°	87.8°	4.78
Skim 25 % + Cor 5 phr	96.2°	94.1°	93.2°	91.7°	90.1°	87.9°	4.80
Skim 25 % + Cor 15 phr	92.1°	89.4°	87.5°	85.5°	83.6°	81.6°	6.58
Skim 25 % + Cor 5 phr mixed with tapioca starch adhesive	103.3°	101.8°	100.6°	99.2°	97.5°	96.2°	4.24

Table 24 และ Figure 40 - 45 ที่เวลาเริ่มต้นพบว่ามุมสัมผัสในทุกตัวอย่างมีค่ามากกว่า 90° ($\theta > 90$) ในกรณีที่ค่า มุมสัมผัสระหว่างผิวอยู่ระหว่าง 90 - 150° แสดงว่าผิววัสดุมีสมบัติไม่ชอบน้ำหรือผิวไฮโดรฟوبิก (Hydrophobic) หรือกระดาษคราฟท์มีคุณสมบัติในการด้านทานการเปียกน้ำ การหางน้ำยา (คิวมาโรน เรชิน 5 phr) และ หางน้ำยาหางเข้มข้น 25% ค่ามุมสัมผัสมีค่าใกล้เคียงในทุกช่วงเวลา โดยลดลงเล็กน้อยเมื่อเวลาเพิ่มขึ้น ในส่วนการหางน้ำยา

(คิวมาโรนเรซิน 15 phr) ค่ามุนสัมผัสพบว่าค่าต่ำที่สุด เนื่องจากเมื่อเพิ่มปริมาณ คิวมาโรน เรซิน ทำให้ไปลดลงเชื่อมแน่นระหว่างโมเลกุลของการหางน้ำยางเกิดการไหลและการเปียกของการเพิ่มขึ้น และในตัวอย่างการเปลี่ยนมันสำปะหลังกับการหางน้ำยางที่ผสมกับการเปลี่ยนมันสำปะหลังมีค่าเริ่มต้นสูงมาก โดยเฉพาะการเปลี่ยนมันสำปะหลังพบว่าเมื่อเวลาผ่านไป พบร่วมกับค่ามุนสัมผัส มือตราชุดลงอย่างรวดเร็วและลดลงมากกว่าการหางน้ำยาง จาก Table 24 การเปลี่ยนมันสำปะหลังมือตราชุดลงของ contact angle ประมาณ 19 % ต่อนาที แสดงให้เห็นว่าการเปลี่ยนมันสำปะหลังมีการซึมผ่านและแพร่ผ่านเข้าไปในเนื้อของพิวรรณะดายคราฟท์ได้ดีกว่าการหางน้ำยาง ซึ่งการหางน้ำยางค่ามุนสัมผัส ของ กาวจะค่อยๆ ลดลงอย่างช้าๆ ทั้งนี้อาจเนื่องจากโมเลกุลของการหางน้ำยางมีขนาดใหญ่จึงดูดซับเข้าไปได้น้อย

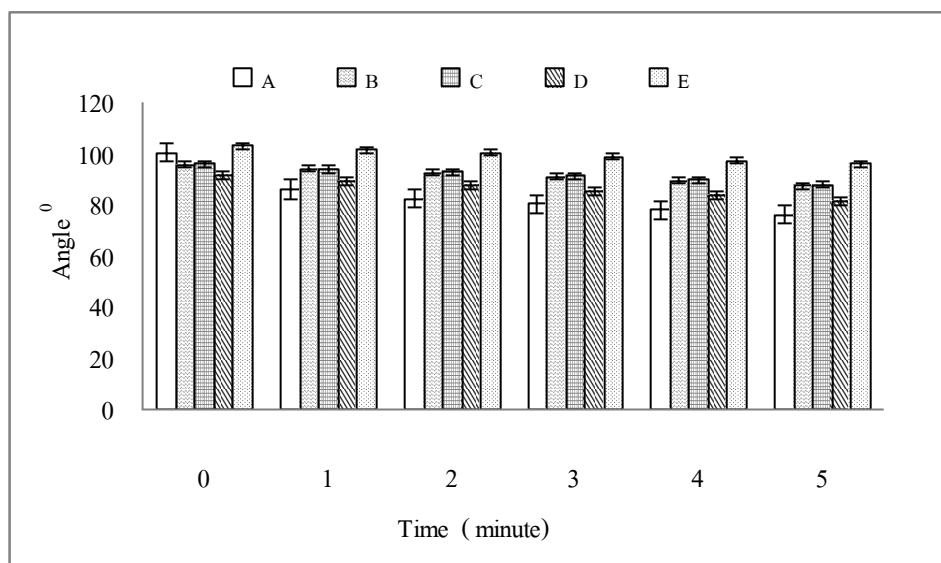


Figure 40. Contact angle of adhesives at time 0, 1, 2, 3, 4 and 5 minute

- (A) Tapioca starch adhesive (B) Skim latex 25% (C) Skim latex adhesive 25 % (coumarone resin 5 phr) (D) Skim latex adhesive 25 % (coumarone resin 15 phr) and (E) Skim latex adhesive 25 % (coumarone resin 5 phr) mixed tapioca starch adhesive.

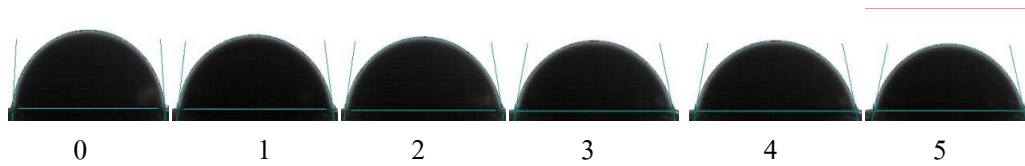


Figure 41. Contact angle of tapioca starch adhesive at time 0, 1, 2, 3, 4 and 5 minutes.

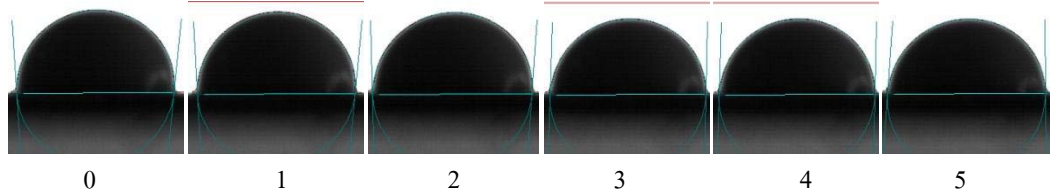


Figure 42. Contact angle of skim latex adhesive 25 % at time 0, 1, 2, 3, 4 and 5 minutes.

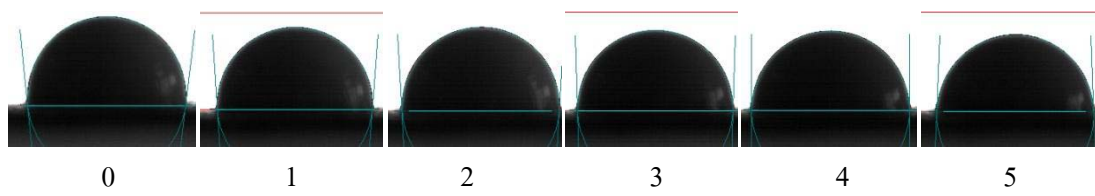


Figure 43. Contact angle of skim latex adhesive 25 % (coumarone resin 5 phr) at 0, 1, 2, 3, 4 and 5 minutes.

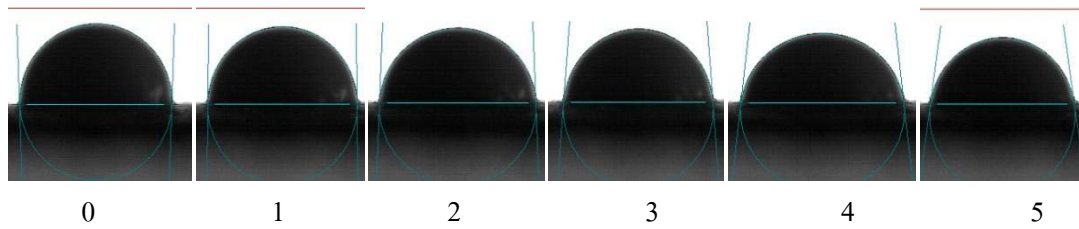


Figure 44. Contact angle of skim latex adhesive 25 % (coumarone resin 15 phr) at time 0, 1, 2, 3, 4 and 5 minutes.

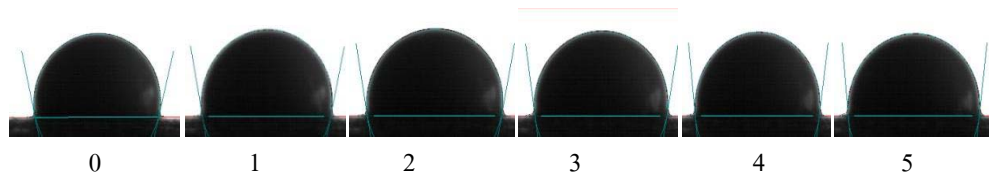


Figure 45. Contact angle of skim latex adhesive 25 % (coumarone resin 5 phr) mixed tapioca starch adhesive at ratio of 50:50 at time 0, 1, 2, 3, 4 and 5 minutes.

การเกิดพันธะของภาชนะอยู่กับความสามารถในการเปียกที่พื้นผิวและความหนืดของตัวการจากการทดลองพบเหตุของภาวะที่ใช้บอกความแตกต่างที่พื้นผิวที่แสดง Figure 41-45 มุมสัมผัส (Contact angle, θ) ที่อธิบายระหว่างของเหลวภาวะและพื้นผิวที่ใช้ยึดติด พบว่าภาวะทุกสูตรมีมุมสัมผัสที่ใหญ่หรือ θ มากกว่า 90° กาวที่ใช้งานถือว่ามีการเปียกที่ไม่ดี จำเป็นต้องมีการกระจายตัวของตัวการ เช่น การกลึง, การปัด, การแต้ม และการเคลือบ เพื่อช่วยให้กาวมีพฤติกรรมการเปียกที่ดีขึ้น

2. ศึกษาผลของชนิดและปริมาณแทกคิไฟเออร์ที่มีผลต่อสมบัติการยึดติดของกาว

จากการตรวจเอกสารของอรสา และ เรวดี, 2544 การเตรียมกาวน้ำยาหางธรรมชาติพบว่าการเตรียมแทกคิไฟเออร์ จาก คิวมาโนเรชิน เพื่อใช้เตรียมกาวน้ำยาหางธรรมชาติไม่สามารถใช้ในรูป 50% ดิสเพรสชัน ได้เนื่องจากมีอายุการเก็บสั้นเมื่อพิงน้ำยาหางไว้น้ำยาหางเริ่มมีลักษณะจับตัวเป็นก้อน ต้องเตรียมในรูปของอิมัลชันและใช้ polyvinyl alcohol เป็นสารเพิ่มความ黏稠 ใช้ KOH ในการปรับ pH ในตอนเริ่มต้นของการทำให้อายุการเก็บนานขึ้น นอกจากนี้เมื่อเก็บกาวที่ใช้แทกคิไฟเออร์ เป็นเวลานานมีผลทำให้ค่า pH ลดลง และค่าความหนืดเพิ่มขึ้นแต่สามารถเก็บไว้ได้นานมากที่สุด 4 เดือน อาจเป็นผลมาจากการส่วนของ วงแหวน benzene (ของโทกูอิน) ที่อยู่ในอิมัลชันของ คิวมาโนเรชิน ซึ่ง benzene เป็นตัวทำละลายอินทรีย์ที่ไม่ละลายน้ำ แต่ละลายโพลิเมอร์ได้ดังนั้นจึงทำให้น้ำยาหางค่อยๆ หลุด และเกิดการเสียสภาพในที่สุด (เนื่องจากโพลิเมอร์มีการคุณภาพตัวทำละลายทำให้ออนุภาคของขึ้นจนกระทั่งออนุภาคแต่ละอันภาคกันหรือสัมผัสกันทำให้เกิดการเสียสภาพ) กาวน้ำยาหางสามารถวัดค่าไนซ์เพื่อเพิ่มความแข็งแรงของเนื้อกาวได้ที่อุณหภูมิห้อง ซึ่งในการศึกษา ผลชนิดและปริมาณแทกคิไฟเออร์ที่มีผลต่อสมบัติการยึดติดของกาว ทางน้ำยาโดยทดสอบด้วยวิธี shear strength และ peel strength กับกระดาษคราฟท์ (KA 150) และนำไปเปรียบเทียบกับสูตรกาวควบคุม (กาวเป็นมันสำปะหลัง) ผลการทดลองแสดงดัง Table 25 จากการ

ตรวจสอบสารพนว่าแทกคิไฟเออร์ช่วยเพิ่มการยึดติดกับผิวสกดีหรือไม่ น้ำยา และช่วยในการดูดซับและกระจายของน้ำยาเข้าไปในผิวสกุได้ดีขึ้น โดยกลไกการทำงานของแทกคิไฟเออร์จะแทรกเข้าไปในอนุภาคยางน้ำยาที่มีแรงยึดเหนี่ยวระหว่างโมเลกุลสูง เมื่อแทกคิไฟเออร์แทรกทำให้ความแข็งแรงพันธะลดลง กาวถูกดูดซับได้ง่ายและเพิ่มความสามารถในการยึดติดกับวัสดุมากขึ้น (ฉัตรปกรณ์, 2548) นอกจากนี้ทางน้ำยาที่เก็บไว้เป็นเวลานานภายหลังที่นำมาครีมสี ทางน้ำยาจะมีสีขาวออกคล้ำ รวมถึง pH และปริมาณของแจ้งที่ได้และสมบัติการยึดติดจะลดลงเมื่อเทียบกับทางน้ำยานำมาครีมทันทีหรือเก็บไว้ไม่นาน

จากผลการทดสอบสมบัติการยึดติดของการกับกระดาษคราฟท์ ดังแสดง Table 24 พบว่าปีโตรเลียมเรซินที่เตรียมในรูปคิสเพิร์สชันและปีโตรเลียมเรซินที่เตรียมในรูปอิมัลชัน (ที่ปริมาณ 1 และ 2 phr) กัมเรซิน และคิวามะโนนเรซินผสมกัน เรซิน (ที่ปริมาณ 1, 2.5 และ 3.5phr) พบสมบัติด้าน peel strength ต่ำกว่าการเปึงมันสำปะหลัง ยกเว้นในส่วนของคิวามะโนน เรซิน พบสมบัติด้าน peel strength ใกล้เคียงหรือสูงกว่าการเปึงมันสำปะหลัง

ในส่วนสมบัติ shear strength ปีโตรเลียมเรซิน ที่เตรียมในรูปคิสเพิร์สชัน (ที่ปริมาณ 100 phr) และ ปีโตรเลียมเรซิน ที่เตรียมในรูปอิมัลชัน (ที่ปริมาณ 1, 2 และ 2.5phr) คิวามะโนนเรซิน (ที่ปริมาณ 1, 2 และ 2.5 phr) กัมเรซิน และ คิวามะโนน เรซิน ผสมกับกัม เรซิน พบสมบัติด้าน shear strength ต่ำกว่าการเปึงมันสำปะหลัง

Table 25. Effect of tackifiers on adhesion properties of skim latex adhesive compared with tapioca starch adhesive.

Component	Skim latex		Petroleum resins		Coumarone	Gum resin	Gum resin +	Shear	Peel
	20 % solid	content	dispersion	emulsion	resin emulsion	emulsion	Coumarone resin (50:50)	strength	strength
Formula	dry	dry	dry	dry	dry	dry	dry	(N/mm ²)	(N/mm)
	(phr)	(phr)	(phr)	(phr)	(phr)	(phr)	(phr)		
1	100	25	-	-	-	-	-	✓	x
2	100	50	-	-	-	-	-	✓	x
3	100	100	-	-	-	-	-	x	x
4	100	-	1	-	-	-	-	x	x
5	100	-	2	-	-	-	-	x	x
6	100	-	2.5	-	-	-	-	x	✓
7	100	-	3.5	-	-	-	-	✓	✓
8	100	-	5	-	-	-	-	✓	✓
9	100	-	7.5	-	-	-	-	✓	✓
10	100	-	-	1	-	-	-	x	✓
11	100	-	-	2	-	-	-	x	✓
12	100	-	-	2.5	-	-	-	x	✓
13	100	-	-	3.5	-	-	-	✓	✓
14	100	-	-	5	-	-	-	✓	✓
15	100	-	-	7.5	-	-	-	✓	✓
16	100	-	-	-	1	-	-	x	x
17	100	-	-	-	2	-	-	x	x
18	100	-	-	-	2.5	-	-	x	x
19	100	-	-	-	3.5	-	-	✓	x
20	100	-	-	-	5	-	-	x	x
21	100	-	-	-	7.5	-	-	x	x
22	100	-	-	-	-	1	-	x	x
23	100	-	-	-	-	2	-	x	✓
24	100	-	-	-	-	2.5	-	x	x
25	100	-	-	-	-	3.5	-	✓	x
26	100	-	-	-	-	5	-	x	✓
27	100	-	-	-	-	-	7.5	x	✓

Remark: ✓means properties of shear and peel strength equal or higher than tapioca starch adhesive, x means properties of shear and peel strength lower than tapioca starch adhesive and – means not add ingredient of adhesive.

จากการทดลองพบว่าปีโตรเลียมเรซิน ที่เตรียมในรูปปอนลชันเมื่อมีปริมาณตั้งแต่ 3.5 phr ขึ้นไป และ คิวมาโนนเรซิน เมื่อมีปริมาณตั้งแต่ 3.5 phr ขึ้นไป ให้สมบัติ ด้าน shear strength และ peel strength ใกล้เคียงหรือสูงกว่าความเปลี่ยนสำะหลัง

2.1 ผลของปีโตรเลียมเรซิน ที่เตรียมในรูปปิดสเพร์สชันต่อสมบัติการยึดติด

จากการศึกษาเบื้องต้นผลของปีโตรเลียมเรซินในรูปของ 50% ดิสเพร์สชัน ต่อ สมบัติการยึดติดโดยทดสอบกับกระดาษคราฟท์ ในเบื้องต้น ได้ใช้ปริมาณที่ 1, 2, 2.5, 3.5, 5 และ 7.5 phr พบว่าลักษณะการยึดติดไม่มีความแข็งแรง และมีค่าต่ำกว่าความคุณมาก จึงได้เพิ่มปริมาณ ปีโตรเลียมเรซิน เป็น 25, 50 และ 100 phr ตามลำดับ ผลการทดลองสมบัติการยึดติด แสดงดัง Table 26 และ Figure 46 พบว่าความหนาน้ำยางที่ได้มี คุณสมบัติด้าน shear strength และ peel strength ลดลง อย่างชัดเจนเมื่อ ปริมาณของ ปีโตรเลียมเรซินที่เพิ่มขึ้น จนถึงระดับ 100 phr นี้ องจากเมื่อเดิน ปีโตรเลียม เรซินมากเกินไปทำให้เกิดการแพร่ออกมາ เกิด การ บลูม มิ่ง (Blooming) ซึ่งเป็น ปรากฏการณ์ที่แทรกซ้อนกับการแพร่ออกมานั้น ผ่านกระบวนการเกิดการแพร่ขึ้นมาที่พื้นผิวและเกิดการแตกผลึก กลายเป็นคราบอยู่บนผิวน้ำของกระดาษคราฟท์ทำให้การยึดเกาะที่ผิวน้ำกระดาษคราฟท์ไม่ดี และเมื่อเบรรี่ยนเทียบกับสูตรการควบคุม (ความเปลี่ยนสำะหลัง) พบว่า มีพิยง ปริมาณ 25 และ 50 phr ที่มี คุณสมบัติ ด้าน shear strength ที่ใกล้เคียงกับสูตรควบคุม โดยไม่มีความแตกต่างอย่างมี นัยสำคัญทางสถิติ ($p>0.05$) ขณะที่สมบัติ peel strength มีค่าต่ำกว่า สูตร ควบคุม เมื่อมีการเติม ปีโตรเลียมเรซินที่ปริมาณ 25, 50 และ 100 phr

Table 26. Effect of dispersion petroleum resin concentration on adhesion properties of skim latex adhesive.

Petroleum resin phr	%TS*	pH*	Shear strength* (N/mm ²)	Peel strength* (N/mm)
25	23.19±0.57	10.80±0.11	0.45±0.03 ^b	0.27±0.01 ^a
50	25.70±0.42	10.58±0.19	0.46±0.05 ^b	0.25±0.02 ^a
100	26.23±0.53	10.20±0.09	0.40±0.02 ^a	0.18±0.01 ^b

* All values are reported as mean (N ≥ 5).

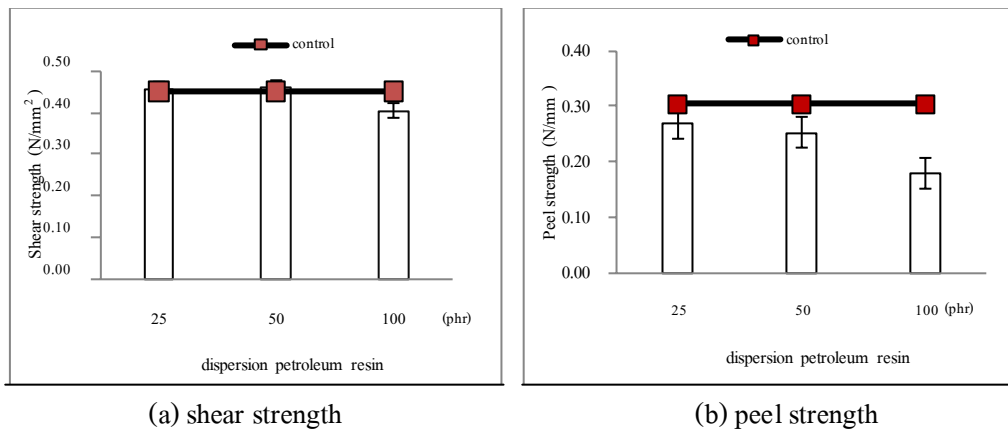


Figure 46. Effect of dispersion petroleum resin concentration on adhesion properties of skim latex adhesive (a) shear strength and (b) peel strength.

อย่างไรก็ตามพบว่าแทกคิไฟโอร์ที่เตรียมด้วยวิธีดิสเพรสชันไม่เหมาะสมกับการเตรียมจากการหางน้ำยาางเนื่องจากให้สมบัติการยึดติดที่ยังไม่มีพอด้วยเฉพาะสมบัติ peel strength และเกิดการแยกชั้นของชั้นการและชั้นของแทกคิไฟโอร์เมื่อตื้งที่งไวเนื่องจากในชั้นตอนการเตรียมแทกคิไฟโอร์ด้วยดิสเพรสชัน อาจเกิดการไม่เข้ากันของนำกับแทกคิไฟโอร์ทำให้เกิดการแยกเฟสเนื่องจากชั้นตอนการบดยังบดไม่เข้ากัน (ใช้เวลาน้อยกว่า 1 นาที) ทำให้การที่ได้มีความเหนียวติดหรือความหนึ่งแน่นยึดติดที่เป็นสมบัติของแทกคิไฟโอร์ไม่มีส่วนในการกระจายตัวและการเปียกของผิวการไม่มีพอกจากนี้ยังต้องใช้ในปริมาณที่มากซึ่งมีผลต่อต้นทุนในการเตรียมการ

2.2 ผลของชนิดแทกคิไฟโอร์ที่เตรียมในรูปอิมลชันต่อสมบัติการยึดติด

จากการศึกษาผลของชนิดแทกคิไฟโอร์ที่เตรียมในรูปของอิมลชันต่อสมบัติการยึดติดของการหางน้ำยาาง ในการทดลองจะเตรียมการหางน้ำยาางทั้งหมด 24 สูตร จากแทกคิไฟโอร์ที่เตรียมด้วยวิธีอิมลชัน 4 ชนิด คือ ปิโตรเลียม เรซิน คิวมาโนเรเซิน, กัมเรเซิน และคิวมาโน เรเซิน ผสมกัมเรเซิน โดยใช้ที่ระดับปริมาณ 1, 2, 2.5, 3.5, 5 และ 7.5 phr โดยการทดลองจะทดสอบ ความแข็งแรงในการยึดติดและลักษณะการเสียหายของการที่หานนกระดาษคราฟท์ (KA150) ด้วยวิธีการทดสอบ shear strength และ peel strength

การทดสอบ shear strength เป็นการทดสอบการที่เชือตัวอย่างสมบูรณ์เพื่อประเมินแรงยึดเกาะระหว่างการกับกระดาษ นอกจากนี้ในฟิล์มการ shear strength สามารถกำหนดเป็นความสามารถในการทนต่อแรงแบบคงที่ในระยะเวลาเดียวกับวัสดุที่มีการเคลื่อนผิวด้วยการ (Franking, 2000) ซึ่งค่าที่ได้จากการทดสอบดังแสดง Table 27 และ Figure 47a พบว่า การ

หางน้ำยาที่ผสมเทกคิไฟเออร์อิมัลชันมีค่า shear strength ที่สูงกว่าหางน้ำยา (ปริมาณของแข็ง 20%) ที่ไม่มีการเติมเทกคิไฟเออร์ ในทุกสูตรที่มีการผสมเทกคิไฟเออร์ และ ในทุกระดับของการเพิ่มน้ำยาของปริมาณเทกคิไฟเออร์อิมัลชันพบว่าค่า shear strength เพิ่มน้ำยาโดยมีความแตกต่างอย่างไม่มีนัยสำคัญทางสถิติ โดยหางน้ำยาที่ผสมกับคิวามารอน เรซินที่ 7.5 phr ให้ค่า shear strength มากที่สุดเมื่อเปรียบกับสูตรกาวแป้งมันสำปะหลัง พบว่าหางน้ำยาที่ผสมคิวามารอน เรซินที่ปริมาณ 3.5, 5 และ 7.5 phr มีค่า shear strength ที่มากกว่ากาวแป้งมันสำปะหลัง โดยไม่มีความแตกต่างอย่างมีนัยสำคัญทางสถิติ ($p>0.05$) เมื่อพิจารณา shear strength แสดงให้เห็นคิวามารอนเรซิน ช่วยทำให้ค่า shear strength ในหางน้ำยาเพิ่มน้ำยาและมีแนวโน้มเพิ่มน้ำยาเมื่อคิวามารอน เรซิน เพิ่มน้ำยา เนื่องจากตัวคิวามารอนเรซิน ช่วยให้กาวมีการดูดซึมและแพร่กระจายไปตามรูพรุนในเนื้อกระดาษได้ดีขึ้นทำให้การยึดเกาะระหว่างหางกับกระดาษสูง

การทดสอบ peel strength เป็นการทดสอบการที่เชือตัวอย่างสมบูรณ์ เพื่อประเมินแรงยึดเกาะของหางกับกระดาษในทิศทางที่ตั้งฉากกับพื้นผิว เช่นเดียวกับ shear strength ซึ่งค่าที่ได้จากการหลังการทดสอบ (กระดาษคราฟท์) ดังแสดง Table 27 และ Figure 47b พบว่าหางน้ำยาที่ผสมเทกคิไฟเออร์อิมัลชัน ค่า peel strength มีค่าไปในทิศทางเดียวกับค่า shear strength คือมีค่ามากกว่าหางน้ำยา (ปริมาณของแข็ง 20%) ในทุกสูตรที่มีการเติมเทกคิไฟเออร์แต่ค่าที่ได้ไม่แตกต่างกันอย่างชัดเจน เมื่อพิจารณาค่า peel strength โดยเปรียบเทียบค่าระหว่างหางน้ำยาที่ผสมปีโตรเลียม เรซิน กับคิวามารอนเรซิน ถึงแม้ว่าปีโตรเลียม เรซินที่ 7.5 phr ให้ค่า peel strength ที่มากกว่าสูตรกาวควบคุม แต่จากการทดสอบ พบว่าค่า peel strength ที่ได้มีค่าไม่สัมภានมอจากเนื่องจากปีโตรเลียมเรซิน ที่เตรียมในรูปของอิมัลชันมีบางส่วนที่ไม่ละลาย โดยยังพบลักษณะเป็นผลึกเล็กที่ยังไม่ละลาย เมื่อผสมกับหางน้ำยาทำให้ผสมไม่เข้ากันและบางส่วนที่ไม่ละลายติดกับผิวของวัสดุทดสอบ (กระดาษคราฟท์) เพราะจาก Table 27 ในส่วนของหางน้ำยาที่ผสมกันระหว่างกันเรซินและคิวามารอนเรซิน (ในอัตราส่วน 50:50) พบว่าค่า shear strength และ peel strength มีค่าไม่สัมภานมอจากเนื่องมาจากการผสมที่ไม่เข้ากันระหว่างกันเรซินและคิวามารอน เรซิน ดังนั้นมีการพิจารณาในส่วนของหางน้ำยาที่ผสมกับคิวามารอน เรซิน อิมัลชัน เปรียบเทียบกับสูตรกระดาษควบคุม (กาวแป้งมันสำปะหลัง) พบว่าที่คิวามารอน เรซิน ปริมาณ 2, 2.5, 3.5, 5 และ 7.5 phr มีค่า peel strength ที่มากกว่ากาวควบคุม ในส่วนของหางน้ำยาที่ผสมกับคิวามารอน เรซิน ช่วยทำให้ค่าความแข็งแรงในการยึดติดในหางน้ำยาเพิ่มน้ำยาและมีแนวโน้มเพิ่มน้ำยาเมื่อปริมาณคิวามารอนเรซินเพิ่มน้ำยา

Table 27. Effect of emulsions tackifier contents on adhesion properties of skim latex adhesive.

Bonding properties	Tapioca starch adhesive	Skim latex (20%TS)	phr	Tackifier concentration			
				Skim+ Pr	Skim+ Cor	Skim+ G	Skim+G+Cor
				(50:50)			
Shear strength (N/mm ²)*	0.45± 0.03	0.27± 0.01 **	1	0.35± 0.02 ^a	0.42± 0.02 ^a	0.35± 0.03 ^a	0.35± 0.02 ^a
			2	0.39± 0.03 ^a	0.37± 0.02 ^a	0.33± 0.03 ^a	0.38± 0.03 ^a
			2.5	0.44± 0.03 ^{ab}	0.43± 0.02 ^{ab}	0.41± 0.03 ^{ab}	0.41± 0.02 ^{ab}
			3.5	0.45± 0.02 ^b	0.48± 0.03 ^b	0.47± 0.03 ^b	0.46± 0.03 ^b
			5	0.45± 0.02 ^b	0.51± 0.04 ^b	0.41± 0.02 ^b	0.39± 0.02 ^b
			7.5	0.46± 0.04 ^b	0.50± 0.03 ^b	0.40± 0.01 ^b	0.36± 0.03 ^a
Peel strength (N/mm)*	0.29± 0.01	0.24± 0.01 **	1	0.24± 0.02 ^a	0.30± 0.02 ^a	0.25± 0.02 ^a	0.26± 0.02 ^a
			2	0.26± 0.01 ^a	0.31± 0.02 ^a	0.25± 0.03 ^a	0.30± 0.03 ^a
			2.5	0.31± 0.02 ^{ab}	0.32± 0.02 ^{ab}	0.30± 0.02 ^{ab}	0.29± 0.02 ^{ab}
			3.5	0.33± 0.02 ^b	0.33± 0.01 ^b	0.30± 0.02 ^{ab}	0.31± 0.02 ^{ab}
			5	0.30± 0.02 ^{ab}	0.34± 0.01 ^b	0.27± 0.02 ^{ab}	0.33± 0.02 ^b
			7.5	0.33± 0.02 ^b	0.33± 0.02 ^b	0.27± 0.02 ^{ab}	0.33± 0.01 ^b

Remark: Cor =coumarone resin G = gum resin Pr = petroleum resin and

G+Cor = gum - coumarone mixed resin

* All values are reported as mean (N ≥ 5).

** The different superscripts in the same column indicate the significant differences (p<0.05).

จากผลการทดลองพบว่าการเตريยมเทอกคิไฟเออร์ด้วยวิธีอิมลัชันสามารถช่วยเพิ่มความแข็งแรงของสมบัติการยึดติดของหางน้ำยาง ได้ เนื่องจากเทอกคิไฟเออร์มีคุณสมบัติที่สามารถไปลดความแข็งแรงภายในโมเลกุลยางในหางน้ำยาง (พิมานจันทร์ , 2548) และทำให้เพิ่มความแข็งแรงในการยึดเกาะกับผิวกระดาษคราฟท์ได้ดีกว่าเมื่อเทียบกับหางน้ำยางที่ไม่มีการผสมกับเทอกคิไฟเออร์ ซึ่งเมื่อเปรียบผลสมบัติการยึดติดของการยึดติดของการกับกระดาษคราฟท์เทอกคิไฟเออร์ที่เตريยมด้วยวิธีอิมลัชันให้สมบัติการยึดติดที่ดีกว่ารวมถึงใช้ในปริมาณที่น้อยกว่าเทอกคิไฟเออร์ที่เตريยมด้วยวิธีดิสเพร์สชัน อาจเนื่องมาจากเทอกคิไฟเออร์ที่เตريยมด้วยวิธีอิมลัชันนี้ PVOH (Polyvinyl alcohol) เป็นส่วนผสมอยู่ ซึ่ง PVOH จัดว่าเป็นสารที่นิยมใช้ในรูปของภาวะสามารถช่วยเพิ่มการยึดติดให้หางน้ำยาง ได้ และชนิดของเทอกคิไฟเออร์ที่มีผลต่อสมบัติการยึดติด รวมถึงการผสมเทอกคิไฟเออร์ต่างชนิดกัน เช่น คิวมาโนนเรชิน และ กัมเรชิน ที่พนความไม่สม่ำเสมอของค่า peel strength ซึ่งจากการศึกษาพบว่าคิวมาโนนเรชิน ที่ปริมาณ 5 phr มีสมบัติการยึดติดกับกระดาษคราฟท์ดีที่สุด

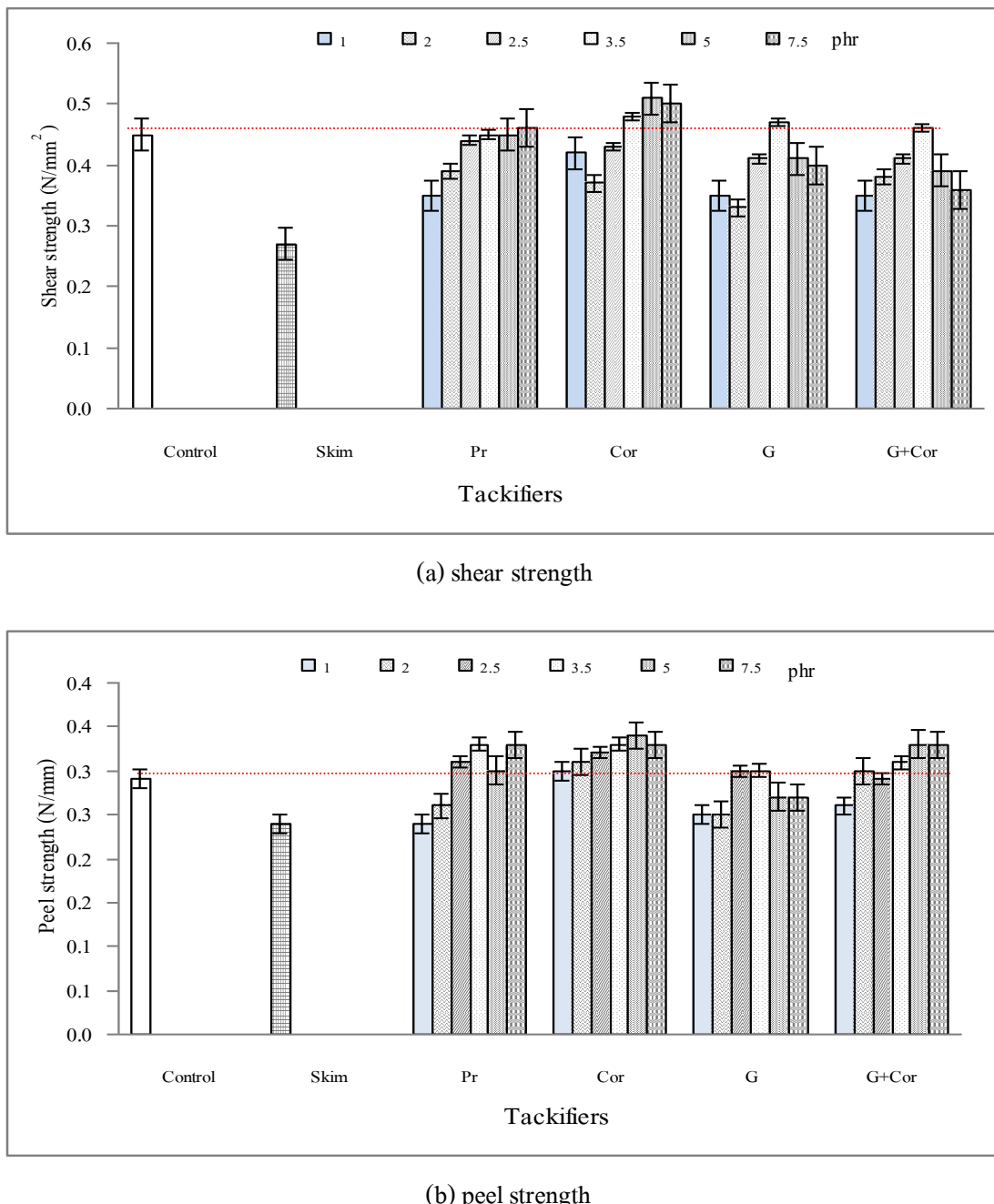


Figure 47. Effect of tackifier emulsions on adhesion properties of skim latex adhesive

(a) shear strength and (b) peel strength.

Remark: Control = tapioca starch adhesive Skim = skim latex (20%TS) Cor = coumarone resin

G = gum resin Pr = petroleum resin and G+Cor = gum resin mixed with coumarone resin.

ลักษณะการเสียหายของการยึดติดภายในห้องที่ทำการทดสอบความแข็งแรงของวัสดุโดยวิธี

shear strength และ peel strength

ความแข็งแรงของวัสดุที่ยึดติดโดยการจะมีมากหรือน้อยขึ้นอยู่กับความแข็งแรง บริเวณที่มีแรงยึดติดต่ำสุด ความเสียหายของการยึดติด มักพบ ในบริเวณต่างๆ เช่น ภายในชั้นการ เนื้อวัสดุ และบริเวณผิวสัมผัสระหว่างการกับวัสดุ ซึ่ง การยึดติดของการ ที่มีแรงยึดเหนี่ยวเกิดจาก การเกี่ยวติดกันระหว่าง โมเลกุลของการกับวัสดุจากการที่การให้เลขาไปแทนที่อากาศในช่องว่างบน พื้นผิวของวัสดุ หรือการแพร่ผ่านไปในพื้นผิวของวัสดุ โดยปัญหาที่นำไปทำให้การเกิดการเสียหาย ภายในห้องการทดสอบนั้นอาจเกี่ยวข้องการรับแรงหรือโหลดที่มาก เกินไป และสภาวะแวดล้อมต่าง ๆ เช่น แรงโดยบริเวณรอบๆ ของวัสดุ แรงไอนามิกซ์จากเครื่องจักร และรวมถึงการเปลี่ยนแปลงของ สภาวะอากาศ เช่น อุณหภูมิและความชื้นสัมพัทธ์ การเก็บรักษาเป็นต้น โดยทั่วไปการเสียหายของ ความแข็งแรงของการทดสอบการยึดติดมี 3 ประเภท คือ cohesive failure (เป็นการเสียหายจากตัววัสดุ กับ กาว) adhesive - cohesive failure (เป็นการเสียหายผสม ระหว่างการกับผิววัสดุ) และ adhesive failure (เป็นการเสียหายของการที่ไม่ยึดติดกับผิววัสดุ) นอกจากนี้ยังพบการเสียหายแบบ fiber tear ที่เป็นลักษณะการฉีกขาดของผิววัสดุ เช่น ผิวของกระดาษ (Christer, 2007) ในการตรวจสอบการเสียหายของความแข็งแรงของวัสดุที่ทำการทดสอบความแข็งแรงของวัสดุทำได้โดยตรวจสอบบริเวณที่เสียหายของการยึดติดที่ใช้การกับกระดาษคราฟท์ เพื่อจำแนกประเภทลักษณะความเสียหายที่เกิดขึ้นจะช่วยให้ เช่นเดียวกับความแข็งแรงของการยึดติด เนื่องจากประเภทลักษณะความเสียหายที่เกิดขึ้นจะช่วยให้ สามารถเข้าใจถึงพฤติกรรมการเขื่อมประสานและสาเหตุของความเสียหายของการยึดติดได้ดียิ่งขึ้น โดยความหลังการดึงทดสอบด้วย วิธี shear strength และ peel strength พบร่องรอยห้องทดสอบ (กระดาษคราฟท์) ที่ทำการมีการเสียหาย แสดงดัง Figure 48 -50

การเสียหายของความแข็งแรงของการดึงทดสอบด้วยวิธี shear strength และ peel strength พบเป็นการเสียหายแบบ cohesive failure ในทุกสูตรของการหางน้ำยาที่ผสม แทกคิไฟเออร์ภายในห้องที่ทดสอบ shear strength ในส่วนการเสียหายของความแข็งแรงของวัสดุที่ดึงทดสอบด้วยวิธี peel strength พบการเสียหาย 2 แบบ คือแบบ cohesive failure และ adhesive - cohesive failure การเสียหายแบบ cohesive failure พบได้ในความแข็งแรงที่มีการผสม ปีโตรเลียมเรซิน (ดิสเพรสชัน และอัมมัลชัน) และ คิวมาโนนเรซิน ซึ่ง การเสียหายของความแข็งแรง cohesive failure แสดงดัง Figure 48 โดย พบร่องรอยของการฉีกแยกออกจากกันเป็นลักษณะ คราบฟลั่นความยางแห้งที่ผิวของกระดาษ โดยไม่พเนชั่นกระดาษด้านหนึ่งติดไปกับกระดาษอีกด้านหนึ่ง ทั้งนี้อาจเนื่องมาจากโมเลกุลของอนุภาคความแข็งแรงน้ำยาที่มีขนาดใหญ่กว่ารูปรูปของเนื้อกระดาษ จึงทำให้การซึมผ่านของความแข็งแรงแหกผ่านเข้าไปในรูปรูปของเนื้อกระดาษได้ไม่ดีทำให้แรง

ยึดเกาะระหว่างกาวกับกระดาษตัวและเมื่อมีแรงกระทำสูงกว่าความแข็งแรงของตัวเนื้อกาวทำให้ กิดการฉีกขาดภายในเนื้อชั้นกาว

จาก Figure 48 กราฟ load - elongation (a) ที่ทดสอบ peel strength ของกาวหางน้ำ ทาง พบว่าลักษณะมีการยึดตัว เนื่องจากคุณสมบัติของหางน้ำยางที่มีความยืดหยุ่น (น้ำยางแสดง พฤติกรรมเป็นอิเล็กโถเมอร์เมื่อรับแรงมากจะสามารถเปลี่ยนแปลงรูปร่างและเกิดการเคลื่อนที่ ได้แต่เมื่อเอาแรงออกก็ทำให้วัสดุเคลื่อนที่กลับมา) เมื่อถึงแรงดึงที่มากกว่าความแข็งแรงของเนื้อกาว ทำให้เกิดการฉีกขาด (แรงดึงสูงสุด) เช่นเดียวกับในการทดสอบ shear strength พบว่าเมื่อใช้แรงดึง ทำให้ค่าของกราฟ elongation ค่าที่สูงขึ้นจนถึงค่าแรงดึงมากกว่าค่า ความแข็งแรงของการ (แรงดึง สูงสุด) ทำให้เนื้อกาวเกิดการฉีกขาด

จาก Figure 49 ในการทดสอบ peel strength การเสียหายของกาวที่พบในสูตรกาว หางน้ำยางที่มีการผสมกัมารเชิน และ คิวามารอนเรซินผสมกัมารเชิน พบการเสียหาย 2 แบบคือ cohesive failure และ adhesive - cohesive failure การเสียหายของกาวแบบผสมคือ adhesive - cohesive ลักษณะการเสียหายคล้ายกันแบบ cohesive ต่างกัน ตรงที่ ตัวนี้ของการกิดการฉีกแยกออก จากกันเป็นลักษณะคราบฟิล์มกาวหางแห้งที่ผิวของกระดาษจะติดที่ผิวกระดาษไม่สมบูรณ์

ในส่วนการเป้มันสำปะหลังพบการเสียหายของการฉีกขาดส่วนด้วย วิธี shear strength และ peel strength เป็นการเสียหายแบบ fiber tear และดัง Figure 50 ภายหลัง การดึงทดสอบพบมีส่วนของเศษกระดาษของชิ้นตัวอย่างทดสอบต้านหนึ่งติดกับชิ้นตัวอย่างทดสอบ อีกด้านหนึ่ง และดังให้เห็นว่ากาวเป้มันสำปะหลัง มีการดูดซึมและการแทรกผ่านของตัวกาวไปตาม รูพรุนในเนื้อกระดาษ ได้แก่กาวหางน้ำยาง ทำให้เกิดแรงดึงดักเกาะระหว่างกาวกับ เส้นใยในเนื้อ กระดาษสูงส่งผลให้ shear strength มีค่าสูง โดยลักษณะที่พบทั่วไปจะติดที่ผิวน้ำ และ แทรกเข้าไป ในเนื้อชั้นของกระดาษคราฟท์และเมื่อมีแรงกระทำสูงกว่าความแข็งแรงของการยึดติดทำให้เกิดการ ฉีกขาดของตัวเนื้อชั้นกาวและชั้นของวัสดุ จากกราฟ load - elongation (c) พบค่า extension ในการ ทดสอบ peel strength ของการเป้มันสำปะหลัง น้อยกว่ากาวหางน้ำยาง เพราะกาวเป้มัน ไม่แสดง พฤติกรรม อิเล็กโถเมอร์ เมื่อมีแรงดึงที่มากกว่าความแข็งแรงของการ (แรงดึงสูงสุด) กราฟที่ได้จะ มีค่า extension ที่ได้จังน้อยกว่ากาวหางน้ำยาง ในส่วนของการทดสอบ shear strength test ลักษณะ กราฟ elongation พบค่า extension ที่ได้จังน้อยกว่ากาวหางน้ำยาง

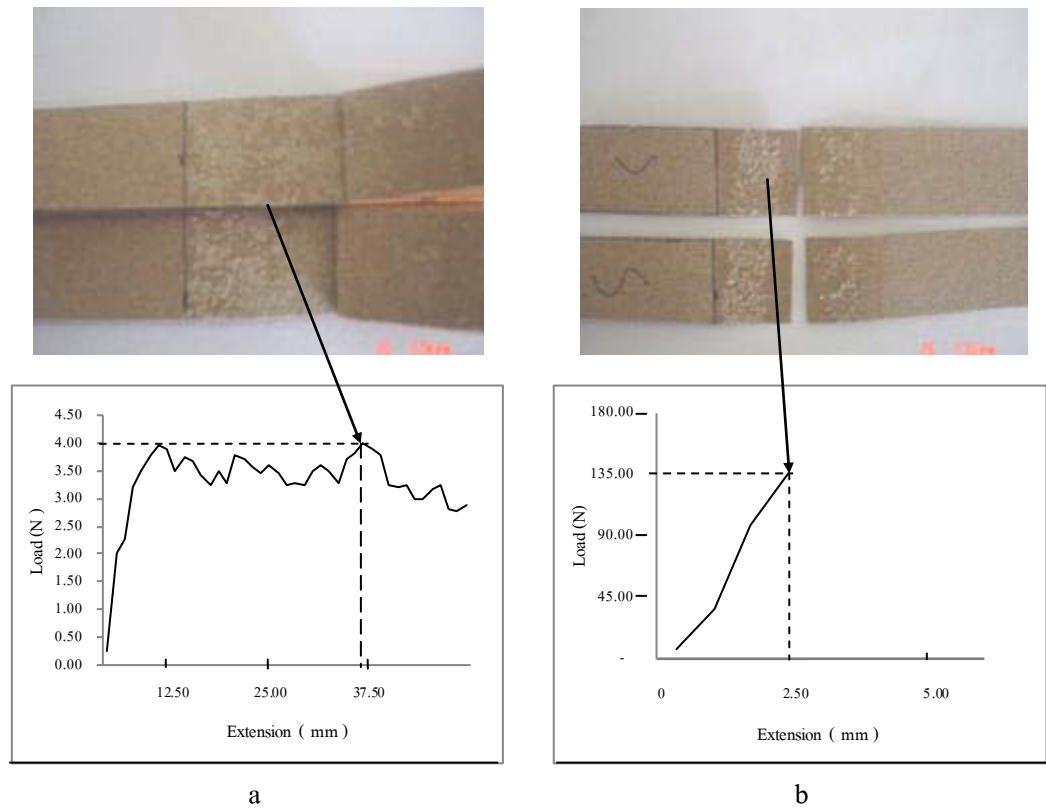


Figure 48. Cohesive failure of the skim latex adhesive (a) peel strength and (b) shear strength.

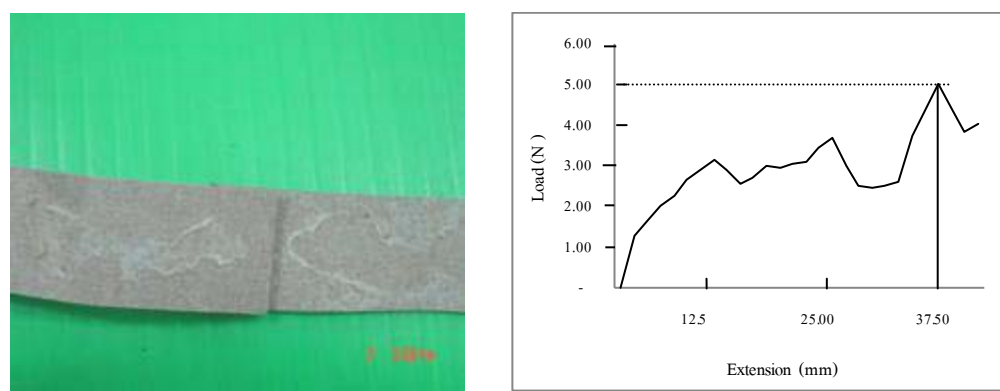


Figure 49. Adhesive - cohesive failure of the skim latex adhesive after peel strength.

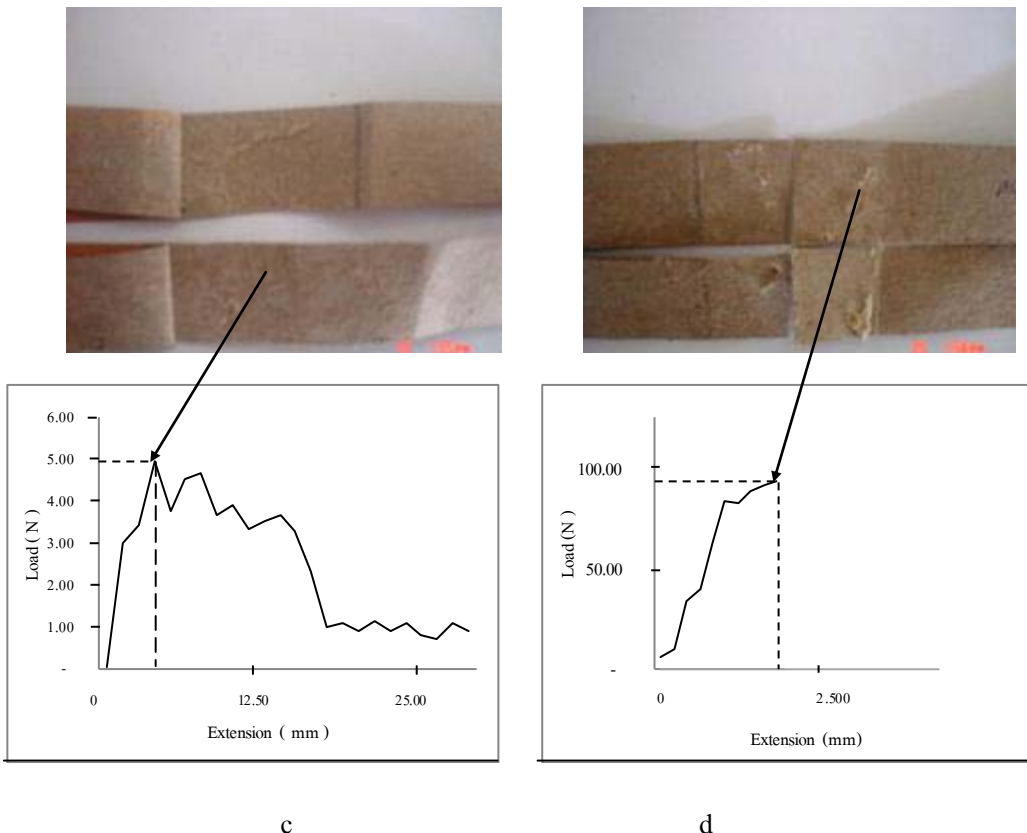


Figure 50. Fractures of tapioca starch adhesive (c) peel strength and (d) shear strength.

2.3 ผลของปริมาณแทกคิไฟเออร์ต่อสมบัติการยึดติดของภา

จากการทดสอบสมบัติการยึดติดในข้อ 2.1 และ 2.2 โดยพิจารณาจากชนิดของแทกคิไฟเออร์ เพื่อศึกษาผลของปริมาณแทกคิไฟเออร์ต่อสมบัติการยึดติด ซึ่งแทกคิไฟเออร์ ที่ใช้ในการทดลอง คือ คิวมาโironเรชิน โดยนำหางน้ำยางที่มีปริมาณของแข็ง 20 % ผสมกับคิวมาโiron เรชิน ที่ปริมาณ 5, 7.5, 10, 15 และ 17.5 phr จากนั้นนำไปทดลอง ทดสอบความแข็งแรงของการยึดติดโดยวิธี shear strength, peel strength และ pin adhesion เปรียบเทียบกับ การแป้งมันสำปะหลัง ซึ่งผลการทดสอบความแข็งแรงของการยึดติดแสดงได้ดัง Table 28 และ Figure 51

Table 28. Effect of tackifier content on adhesion properties of adhesive.

Formula	%TS*	pH*	Shear strength*	Peel strength*		Pin adhesion*
				(N/mm ²)	(N/mm)	
20%skim +5phr Cor	20.44 \pm 0.39	11.26 \pm 0.09	0.45 \pm 0.02 ^a	0.32 \pm 0.03 ^a	130.80 \pm 6.38 ^a	
20%skim +7.5phr Cor	22.47 \pm 0.41	10.73 \pm 0.07	0.57 \pm 0.02 ^{bc}	0.29 \pm 0.02 ^a	149.20 \pm 5.21 ^b	
20%skim +10phr Cor	24.10 \pm 0.18	10.66 \pm 0.14	0.52 \pm 0.03 ^b	0.43 \pm 0.02 ^b	168.80 \pm 3.63 ^c	
20%skim +15phr Cor	27.28 \pm 0.63	10.27 \pm 0.24	0.62 \pm 0.03 ^c	0.39 \pm 0.02 ^{ab}	167.60 \pm 3.58 ^c	
20%skim +17.5phr Cor	28.49 \pm 0.38	9.28 \pm 0.08	0.62 \pm 0.02 ^c	0.42 \pm 0.03 ^b	167.00 \pm 3.67 ^c	

Remark: Cor = coumarone resin

* All values are reported as mean ($N \geq 5$).

** The different superscripts in the same column indicate the significant differences ($p < 0.05$).

ในการทดสอบสมบัติการยึดติดของการแบ่งเป็นการทดสอบสมบัติการยึดติดของ
กับกระดาษคราฟท์และสมบัติการยึดติดกับกระดาษลูกฟูก

จากการทดลองสมบัติการยึดติดของการกับกระดาษคราฟท์พบว่าคุณสมบัติด้าน shear strength และ peel strength มีแนวโน้มที่เพิ่มขึ้นตามปริมาณของ คิวมาโนน เรชินที่เพิ่มขึ้น และเริ่มไม่เปลี่ยนแปลงมากนักเมื่อเมียปริมาณตั้งแต่ 10 phr ขึ้นไป โดยพบมีความแตกต่างอย่างไม่มีนัยสำคัญทางสถิติ โดยพบว่าในทุกสูตรของการหางน้ำยาเงี้ยว มีค่าความแข็งแรงของการยึดติดคุณสมบัติด้าน shear strength และ peel strength มากกว่าเมื่อเทียบกับการเปลี่ยนสารประหลัง แสดงได้ดัง Figure 51a และ Figure 51b

ลักษณะการเลียหายของการยึดติดภายในหลังที่ทำการทดสอบความแข็งแรงของกาว
หางน้ำยางกับกระดาษคราฟท์โดยวิธี shear strength และ peel strength พบรูปแบบ cohesive failure
ดังที่แสดงใน Figure 52

ในส่วนผลการทดสอบสมบัติการยึดของกาวกับกระดาษลูกฟูก (لون B) ดังที่แสดงใน Figure 51c พบว่าคุณสมบัติค้าน pin adhesion เพิ่มขึ้นตามปริมาณ คิวมาโนน เรซินที่เพิ่มขึ้นแต่เมื่อเพิ่มปริมาณที่มากกว่า 10 phr ขึ้นไป พบว่า ไม่มีความแตกต่างอย่างมีนัยสำคัญทางสถิติ และเมื่อนำมาเปรียบเทียบกับการเปึงมันสำปะหลังพบว่ามีค่า pin adhesion ที่ได้มีค่าน้อยกว่า

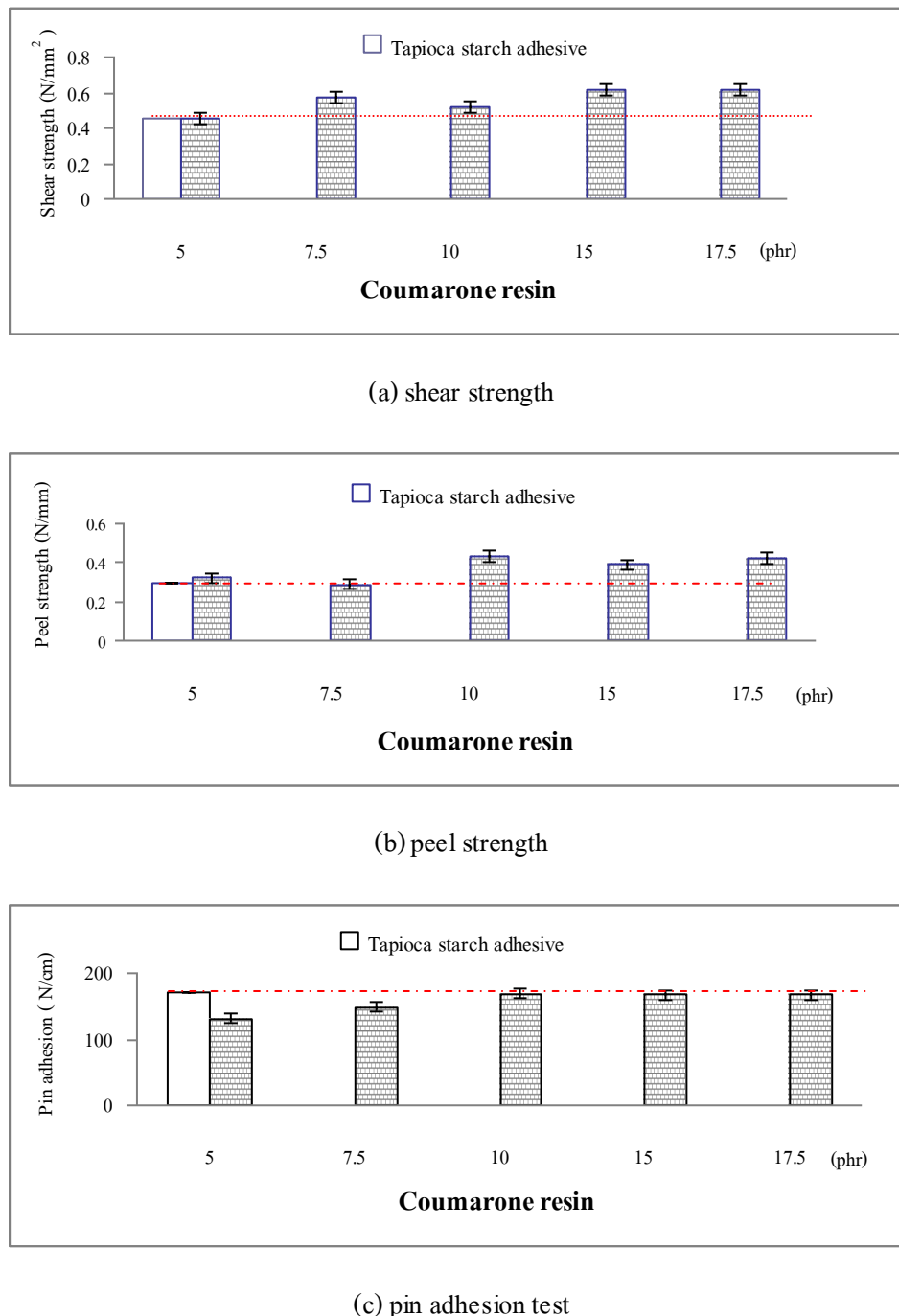


Figure 51. Effect of tackifier content on adhesion properties of adhesive (a) shear strength (b) peel strength and (c) pin adhesion test.

ลักษณะการเสียหายของการยึดติดภายในหลังทดสอบด้วยวิธี pin adhesion ทดสอบ
กระดาษลูกฟูกлон B และคงดัง Figure 52 โดยการเปรียบเทียบการเสียหายของกาว

แบบ fiber tear และดัง Figure 52b ภายหลังการดึงทดสอบพบมีส่วนของเศษกระดาษของ กระดาษคราฟท์ติดกับลอน ซึ่งแตกต่างกับการหางน้ำยาที่พับการเสียหายแบบ cohesive failure และดัง Figure 52a พบตัวเนื้อของการเกิดการฉีกขาดแยกออกจากกันเป็นลักษณะรван ฟิล์มการยางแห้งที่ ผิวของกระดาษคราฟท์และที่ล่อนกระดาษ

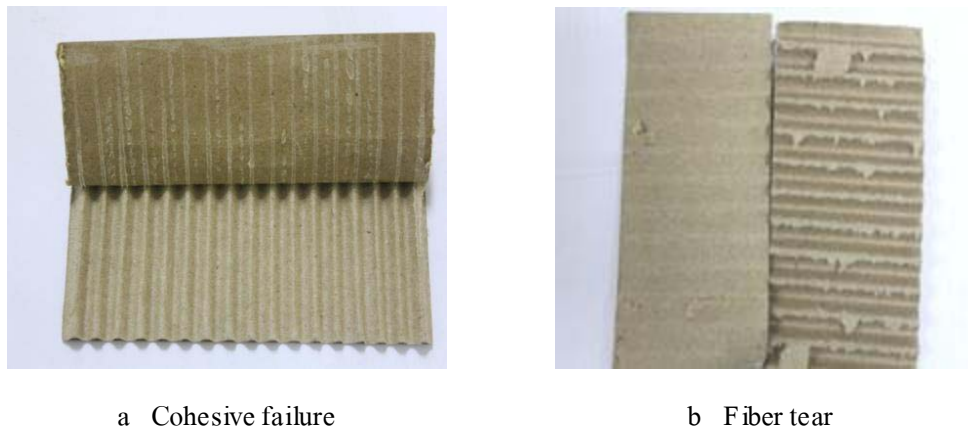


Figure 52. Fractures of samples after pin adhesion test (a) Skim latex adhesive and (b) Tapioca starch adhesive.

นอกจากนี้พบว่าปริมาณของแข็งในความมีผลต่อสมบัติการยึดติด ซึ่งจาก Table 28
พบว่าเมื่อเพิ่มคิวมาโรมเรชิน ทำให้ปริมาณของแข็งในการเพิ่มขึ้นด้วยและสอดคล้องกับสมบัติการ
ยึดติดของการหางน้ำยาที่เพิ่มขึ้น

3. ผลของปริมาณของแข็งในหางน้ำยาที่ต่อสมบัติการยึดติดของการ

จากผลการทดลองสมบัติการยึดติดของการหางกระดาษคราฟท์ในข้อ 2. พบว่าสูตร
การหางน้ำยาที่ ผสมกับคิวมาโรม เรชิน 5 phr ให้สมบัติด้าน shear strength และ peel strength
มากกว่าการเป็นมันสำปะหลังนอกจากนี้พบว่าปริมาณของแข็งในหางน้ำยาที่มีผลต่อสมบัติการ
ยึด จึงได้กำหนดโดยควบคุมปริมาณของคิวมาโรม เรชิน ที่ 5 phr เพื่อนำไปศึกษา ผลของปริมาณ
ของแข็งในหางน้ำยาที่ต่อสมบัติการยึดติดของการหดโดยนำหางน้ำยาที่มีการปรับปริมาณของแข็ง
ที่ระดับ 5, 10, 15, 20 และ 25% มาผสมกับคิวมาโรมเรชินที่ 5 phr

จากผลการทดสอบสมบัติการยึดติดของการหางกระดาษคราฟท์ที่แสดง Table 29

พบว่าสมบัติ shear strength และ peel strength เพิ่มขึ้นตามปริมาณของแข็งในหางน้ำยาง โดยพบที่หางน้ำยางที่มีปริมาณของแข็ง 25% พบมีสมบัติ shear strength และ peel strength มากที่สุด และที่ปริมาณของแข็ง 5% พบการหางน้ำยางมีคุณสมบัติการยึดติดน้อยที่สุด แสดงให้เห็นว่าปริมาณของแข็งในหางน้ำยางมีผลต่อสมบัติการยึดติดและความแข็งแรงของกาว ซึ่งเมื่อ นำมาเปรียบ เทียบ กับการแป้งมันสำปะหลัง พบการหางน้ำยางที่มีปริมาณ ของแข็งในหางน้ำยาง ที่ 25 % มีสมบัติการยึดติด ที่มากกว่าการควบคุม shear strength ประมาณ 13% และ peel strength ประมาณ 17 %

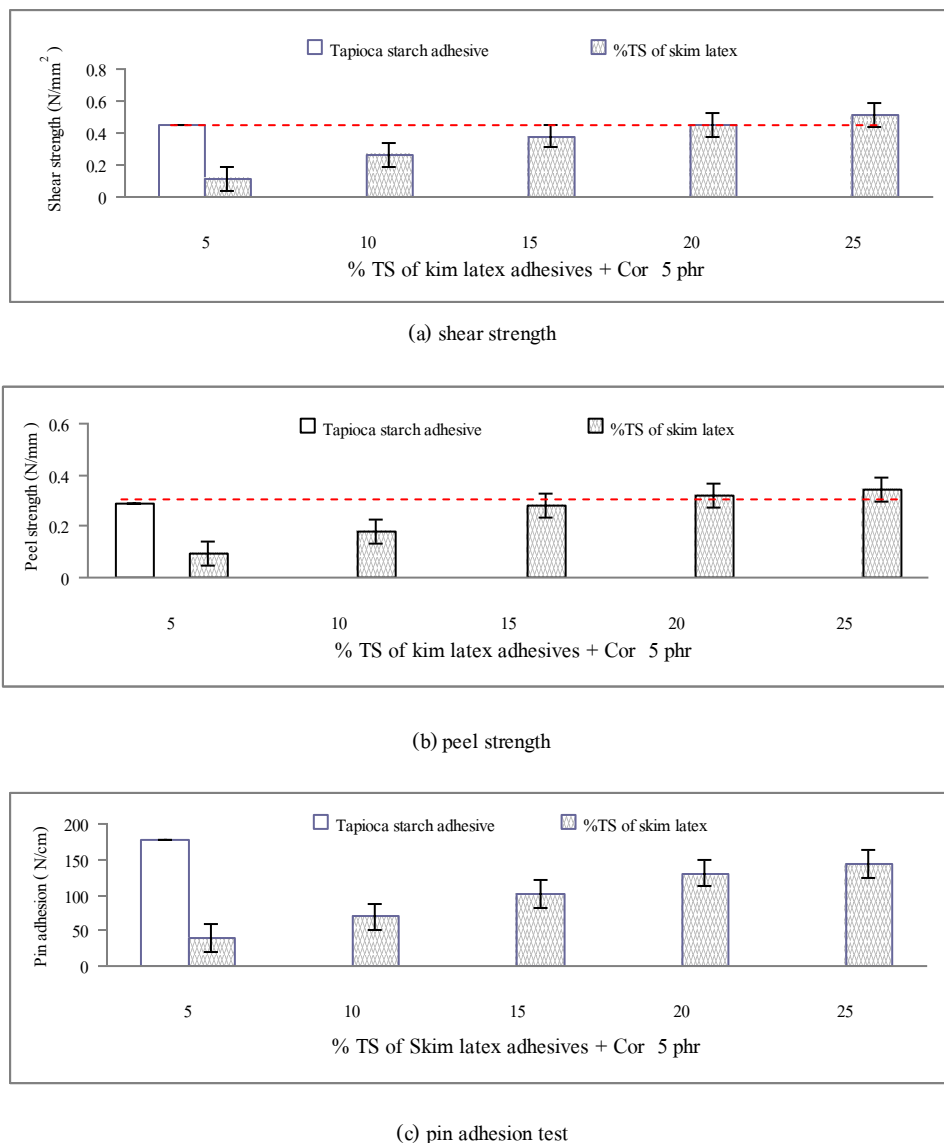


Figure 53. Effect of solid contents of skim latex on adhesion properties of adhesive

(a) shear strength (b) peel strength and (c) pin adhesion test.

Table 29. Effect of solids content with skim latex to properties of adhesion properties of adhesive.

Skim latex	pH*	% TS*	Shear strength*	Peel strength*	Pin adhesion*
			(N/mm ²)	(N/mm)	(N/cm)
5%skim +5phr Cor	10.56±0.18	7.58±0.96	0.11±0.01 ^{a**}	0.09±0.02 ^{a**}	38.60±6.02 ^{a**}
10%skim +5phr Cor	9.93±0.13	11.95±0.67	0.26±0.01 ^{b**}	0.18±0.02 ^{b**}	69.40±10.16 ^{b**}
15%skim +5phr Cor	10.51±0.13	16.67±0.41	0.38±0.02 ^c	0.28±0.02 ^c	101.60±11.13 ^c
20%skim +5phr Cor	11.26±0.09	20.44±0.39	0.45±0.02 ^d	0.32±0.03 ^{cd}	130.80±6.38 ^{cd}
25%skim +5phr Cor	10.67±0.10	24.59±0.52	0.51±0.02 ^d	0.34±0.01 ^d	143.20±8.41 ^d

* All values are reported as mean ($N \geq 5$).

** The different superscripts in the same column indicate the significant differences ($p < 0.05$).

ในส่วนการทดสอบสมบัติการยึดติดกับกระดาษลูกฟูก (لون B) ซึ่งผลการทดสอบสมบัติ pin adhesion และดัง Table 29 และ Figure 53c จากการทดลองพบว่าคุณสมบัติด้าน pin adhesion เพิ่มขึ้นตามปริมาณของเจ็งในหางน้ำยาาง โดยพบว่าหางน้ำยาางที่มีปริมาณของเจ็ง 20 % และ 25 % ไม่มี ความแตกต่างอย่างนัยสำคัญทางสถิติ แม้ว่า หางน้ำยาาง ที่มีปริมาณของเจ็ง 25 % ให้ความเจ็งแรงของ การยึดติดคุณสมบัติด้าน pin adhesion ในหางน้ำยาาง มาก ที่สุด เมื่อเทียบกับสูตรการแป้งมันสำปะหลัง โดย การหางน้ำยาางมี สมบัติการยึดติด pin adhesion ที่ ต่ำกว่าหางควบคุมประมาณ 20 % แต่จากการทดลองพบว่าค่า pin adhesion เพิ่มสูงขึ้นเมื่อปริมาณของเจ็งเพิ่มขึ้น แสดงว่าปริมาณของเจ็งในหางน้ำยาางมีผลต่อความเจ็งแรงในการยึดติดของการ กับ ลองลูกฟูก เมื่อเปรียบเทียบกับหางน้ำยาางที่มีปริมาณของเจ็งที่ประมาณ 5 และ 10 % พbn มีค่าความเจ็งแรงในการยึดติดที่ต่ำมาก เนื่องจากในหางน้ำยาางยังมีส่วนประกอบที่เป็นน้ำ (น้ำเชรุ่ม) อยู่มาก รวมถึงปริมาณยางที่อยู่ในหางน้ำยาางที่จะผสมกับแทกคิไฟเออร์มีอยู่ในปริมาณน้อยทำให้ผสม กับแทกคิไฟเออร์ได้น้อยทำให้ความเจ็งแรงการยึดติดที่ได้จึงไม่ดี

ลักษณะการเสียหายของตำแหน่งการภายหลังที่ทำการทดสอบความเจ็งแรงของ การโดยวิธี shear strength และ peel strength โดยสูตรการหางน้ำยาางพบความเสียหายภายหลังทดสอบเป็นแบบ cohesive failure ซึ่งลักษณะการเสียหายของการหางน้ำยาาง แสดงได้ดัง Figure 54

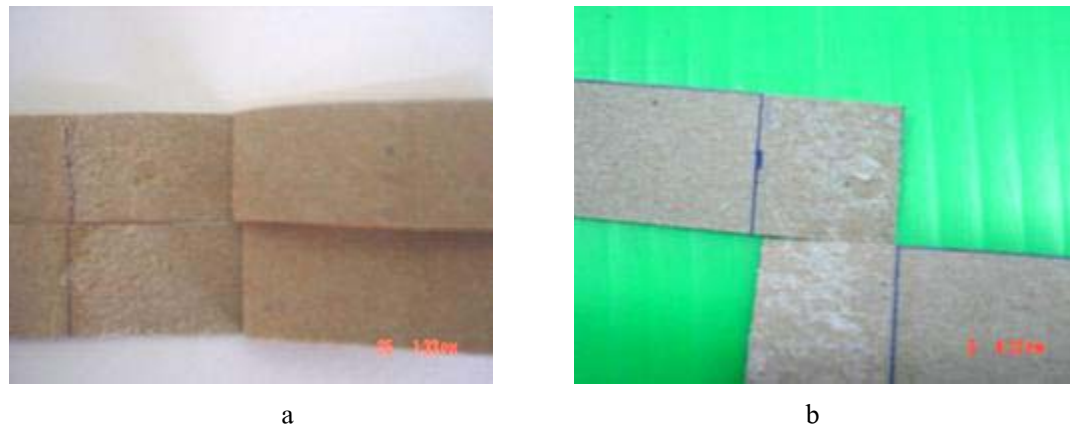


Figure 54. Fractures of the skim latex adhesive (a) peel strength and (b) shear strength.

ในการทดสอบสมบัติการยึดติดของการกับกระดาษลูกฟูกพบว่า pin adhesion ที่ได้ ยังมีค่าต่ำกว่าความคุณ จึงได้ทดลอง ปรับ สูตร กาว ทางน้ำยา โดยเลือกทางน้ำยา ที่มีปริมาณของเจ็ง 25% ที่มีสมบัติการยึดติดดีที่สุด และปรับเพิ่มปริมาณ ของ คิวมาโรนเรซิน เป็น 7.5, 10 และ 15 phr โดยผลการทดลองแสดง ได้ดัง Table 30

Table 30. Effect of coumarone resin content on adhesion properties of adhesive.

Formula	Shear strength*	Peel strength*	Pin adhesion*
	(N/mm ²)	(N/mm)	(N/cm)
25%skim7.5 phr Cor	0.60±0.02 ^a	0.37±0.02 ^a	160.60±3.27 ^a
25%skim10 phr Cor	0.62±0.02 ^a	0.40±0.02 ^{ab}	178.40±2.97 ^b
25%skim15 phr Cor	0.63±0.01 ^a	0.48±0.02 ^b	248.80±14.70 ^{c**}

Remark: Cor =coumarone resin

* All values are reported as mean ($N \geq 5$).

** The different superscripts in the same column indicate the significant differences ($p < 0.05$).

ผลการทดสอบสมบัติการยึดติดกับกระดาษลูกฟูก (لون B) พบว่า pin adhesion มีค่าเพิ่มขึ้นตามปริมาณของคิวมาโรนเรซินและปริมาณของเจ็ง ในการที่เพิ่มขึ้น โดย คิวมาโรนเรซิน 10 phr มีค่า pin adhesion ใกล้เคียงกับสูตรควบคุม แต่เมื่อเพิ่มคิวมาโรนเรซินถึงระดับ 15 phr พนค่า pin adhesion สูงกว่าอย่างมีนัยสำคัญ แสดงให้เห็นว่าปริมาณของคิวมาโรนเรซิน และปริมาณของเจ็งในกาวมีผลต่อความแข็งแรงของการยึดติดของล่อนและกระดาษคราฟท์

ผลการทดลองการหางน้ำย่างในส่วนการผลิตแผ่นกระดาษลูกฟูกที่เครื่อง double facer (แบบกึ่งต่อเนื่อง)

ในการทดลองเตรียมการหางน้ำยางในห้องปฏิบัติการ พบร่วมกับหางน้ำยางที่ประกอบด้วยหางน้ำยางที่มีปริมาณของแข็งประมาณ 25% และ คิวามาร์น เรซิน 15 phr มีสมบัติการยึดติด pin adhesion ที่ทดสอบกับกระดาษลูกฟูก (ลอน B) ดีที่สุดและมีค่ามากกว่าการแป้งมันสำปะหลัง จึงได้เลือกสูตรดังกล่าวมาทดลองที่เครื่อง double facer ในการทดลองจะทำ การหางน้ำยางบนกระดาษแผ่นเรียบ (KA150) ทำให้ทั่วและบางที่สุดจากนั้นนำกระดาษลูกฟูก 2 ชั้น (CS110/KA150) โดยกระดาษลูกฟูกที่ทดสอบเป็นลอน B มาประกบและนำไปผ่าน plate ความร้อนโดยทดลองที่สภาวะความเร็วของเครื่อง 100 เมตร /นาที และอุณหภูมิ 150°C ภายหลังการทดสอบ pin adhesion พบร่วมกับหางน้ำยางที่ทดสอบในห้องปฏิบัติการพบว่ามีค่าต่ำกว่าประมาณ 64 % และเมื่อนำไปเปรียบกับผลการทดลองในห้องปฏิบัติการพบว่ามีค่าต่ำกว่าประมาณ 74% เนื่องจาก ชิ้นตัวอย่างที่ทดสอบในห้องปฏิบัติการจะใช้น้ำหนักกดทับตลอดเป็นเวลา 24 ชั่วโมง ทำให้ไม่เลกฤทธิ์ของยางในการหางน้ำยางมีการใกล้ชิดและฟอร์มเกิดเป็นพันธะการได้ดี รวมถึงความสามารถแพร่กระจายและแพร่ผ่านเข้าไปในเนื้อกระดาษได้ดีกว่าที่ทดลองในสายการผลิต

ดังนั้นจึงได้ทำการทดลองเตรียมการหางน้ำย่าง โดยเพิ่มปริมาณของคิวมาโนรีนเรชิน เป็น 30 และ 55 phr ไปทดสอบการยึดติดที่เครื่อง double facer ในสายการผลิต ภายหลังการทดสอบ แนวโน้มค่า pin adhesion เพิ่มขึ้นแต่ยังมีค่าน้อยกว่าความเป็นมันสำปะหลัง โดยมีความแตกต่างอย่าง มีนัยสำคัญทางสถิติ ($p<0.05$) และดัง Table 31 และ Figure 55a

Table 31. Effect of coumarone resin content on adhesion properties of adhesive at double facer.

Formula	Pin adhesion		Bursting strength*	Edge crush test*
	(N/cm)	Fracture mode	kgf /cm ²	kg / cm
Tapioca starch adhesive	178.25 \pm 0.50 ^{d**}	fiber tear	9.4 \pm 0.14 ^b	40.30 \pm 0.60 ^b
25%Skim+15 phr Cor.	62.60 \pm 3.78 ^a	cohesive	9.0 \pm 0.14 ^a	35.68 \pm 1.08 ^a
25%Skim+30 phr Cor.	75.60 \pm 2.51 ^b	cohesive	8.8 \pm 0.17 ^a	36.18 \pm 0.49 ^a
25%Skim+55 phr Cor.	141.80 \pm 4.97 ^c	cohesive	9.3 \pm 0.17 ^b	38.92 \pm 1.05 ^b

Remark: Cor =coumarone resin, * All values are reported as mean ($N > 5$).

** The different superscripts in the same column indicate the significant differences ($p < 0.05$).

ซึ่งจากการทดสอบภายหลังทดสอบ pin adhesion test การเลี่ยวยายของตัวอย่าง
พบนั้นชื่นตัวอย่างทดสอบ (แผ่นกระดาษลูกฟูก) ของสูตรกาวหางน้ำยางพนแบบ cohesive failure
และการเป็นมันสำปะหลัง พนแบบ fiber tear ทั้งนี้อาจเนื่องมาจากการเกิดพันธะของการ
แตกต่างกัน โดยกลไกการยึดติดของกาวหางน้ำยางเมื่อการไปสัมผัสที่พื้นผิวสัตุ (ลอนลูกฟูก) จะ^{จะ}
เกิดการเปียกที่พื้นผิวโดยช่วงนี้ไม่ลอกของยางเกิดการไหลเข้าไปแทนที่อาการในช่องว่างบนพื้นผิว
ของสัตุ หรือการแพร่ผ่านไปในพิวของสัตุทำให้มีแรงยึดเหนี่ยวจากการเกี่ยวติดกันระหว่าง
ไม่ลอกของกาวกับผิวสัตุ (Mechanical interlocking) เมื่อการแห้ง เกิดเป็นฟิล์มกาวที่พื้นผิวสัตุ
นอกเหนือน้ำยางมีคุณสมบัติยึดติดกันเอง หรือ self-adherent จึงจำเป็นต้องมีแรงกดทับ ในระยะเวลา
ระดับหนึ่งเข้ามาร่วมด้วยนี้ของกาวน้ำยางมีคุณสมบัติในการยึดติดกับสัตุต่อไป ซึ่งในการกดทับจะทำ
ให้อ่อนภาคของยางสัมผัสนานมากขึ้นและเกิดเป็นพันธะไม่ลอกยาง และคิวมาโนน เรซิน ที่ใช้ผสมใน
กาวหางน้ำยางเพิ่มสมบัติ ด้านความเหนียวและการยึดเกาะของแผ่นพันธะไม่ลอกยาง และคิวมาโนน เรซิน ที่ใช้ผสมใน
ปรับปรุงให้ความสามารถของการเกิดพันธะเริ่มต้นเกิดได้เร็วในการยึดติดกับสัตุ ขณะที่พันธะหลัก
ของการจะเกิดขึ้นตามมา (อรสา, 2548) ในส่วนกลไกการเกิดพันธะของการเป็นมันสำปะหลัง เริ่ม
เมื่อการสัมผัสที่ยอดลอน carrier starch จะ เปียกติดที่ลอนและกระดาษแผ่นเรียบจะกระจายตัว
(Diffusion) และดูดซับ (Absorption) เข้าไปในลอนลูกฟูกเพื่อ สร้าง เป็นพันธะและเกิดการยึดติด
ระหว่างเป็นและเส้นใยเซลลูโลสในเนื้อกระดาษ จากนั้นเป็นคิบ ในการปืนเจลามากขึ้น ส่งผลให้
ความหนืดของกาวเพิ่มขึ้นมีผลให้การเชื่อมติดมีมากขึ้นด้วย จากนั้นเส้นใยของกระดาษเกิดเป็น
fiber bond ซึ่งการเชื่อมติดกัน เป็นแบบ cohesion และ การเชื่อมติดต่อเนื่องจนสมบูรณ์ และเมื่อ มี
ความร้อนผ่านกระดาษแผ่นเรียบและลอนลูกฟูก เมื่อความร้อนเคลื่อนผ่านกระดาษแผ่นเรียบและ
ลอนลูกฟูกกำจัดน้ำโดยระเหยน้ำออกจากกาวที่ติดอยู่กับกระดาษซึ่งการแห้งของกาวเรียกว่า
final bond (Brittain, 2000) เมื่อเบรเยนเที่ยบ การ กับ กาวหางน้ำยาง ซึ่งความแข็งแรงของตัวกาว
ขึ้นอยู่กับไม่ลอกของยางที่สามารถสัมผัสนานในช่องว่างของผิวสัตุ ซึ่งเนื้อกาว แทรกซึ้น เข้าไปใน
เนื้อสัตุ ได้ไม่ดี เพราะพบรากบบฟิล์มกาวที่ผิวของกระดาษ ซึ่งต่างกับการเป็นมันสำปะหลัง ที่ดูดซับ
และการกระจายตัวเข้าไปในเนื้อของกระดาษ ภายหลังการทดสอบสมบัติการยึดติด พนการเสียหาย
แบบ fiber tear ที่กระดาษเกิดการฉีกขาดไปกับการด้วย จาก ผลการทดสอบในห้องปฏิบัติการซึ่งค่า
การยึดติด pin adhesion มีค่ามากกว่าที่ทดสอบในสายการผลิตเนื่องจากในห้องปฏิบัติการชื่นตัวอย่าง
มีน้ำหนักกดทับเป็นเวลา 24 ชั่วโมง ก่อนนำมาทดสอบ บค่า pin adhesion ซึ่งต่างกับที่ทดสอบใน
สายการผลิตภายหลังผ่านเครื่อง double facer ก่อนที่นำทดสอบค่า pin adhesion ไม่มีน้ำหนักกดทับ
ขณะที่ทิ้งไว้ 24 ชั่วโมง รวมถึงไม่ลอกของหางน้ำยางที่มีขนาดเล็กกว่าน้ำยางทั่วไปส่งผลต่อความ
แข็งแรงภายหลังที่เกิดพันธะของการด้วย โดย ภายหลังการทดสอบสมบัติการยึดติด ทำให้พบการ

เลือยหายแบบ cohesive failure และที่พื้นผิวของวัสดุ (ลอนลูกฟูก) มีพื้นที่น้อยมากส่งผลต่อความแข็งแรงของการหางน้ำยางได้

จาก Figure 55a พบร้า pin adhesion การเปึงมันสำปะหลังมีค่ามากกว่าการหางน้ำยางที่มีปริมาณของแข็งในหางน้ำยาง 25 % ผสมคิวมาโรน เรชิน 55 phr ประมาณ 20% และจากการทดลองพบว่าการเพิ่มปริมาณคิวมาโรนเรชินมากขึ้นทำให้สมบัติการยึดติดเพิ่มขึ้นแต่เพิ่มไม่มากอาจเนื่องจากปริมาณคิวมาโรนเรชินมากเกินไปทำให้มีบางส่วนเกิดการแพร่ออกมานา (Blooming)

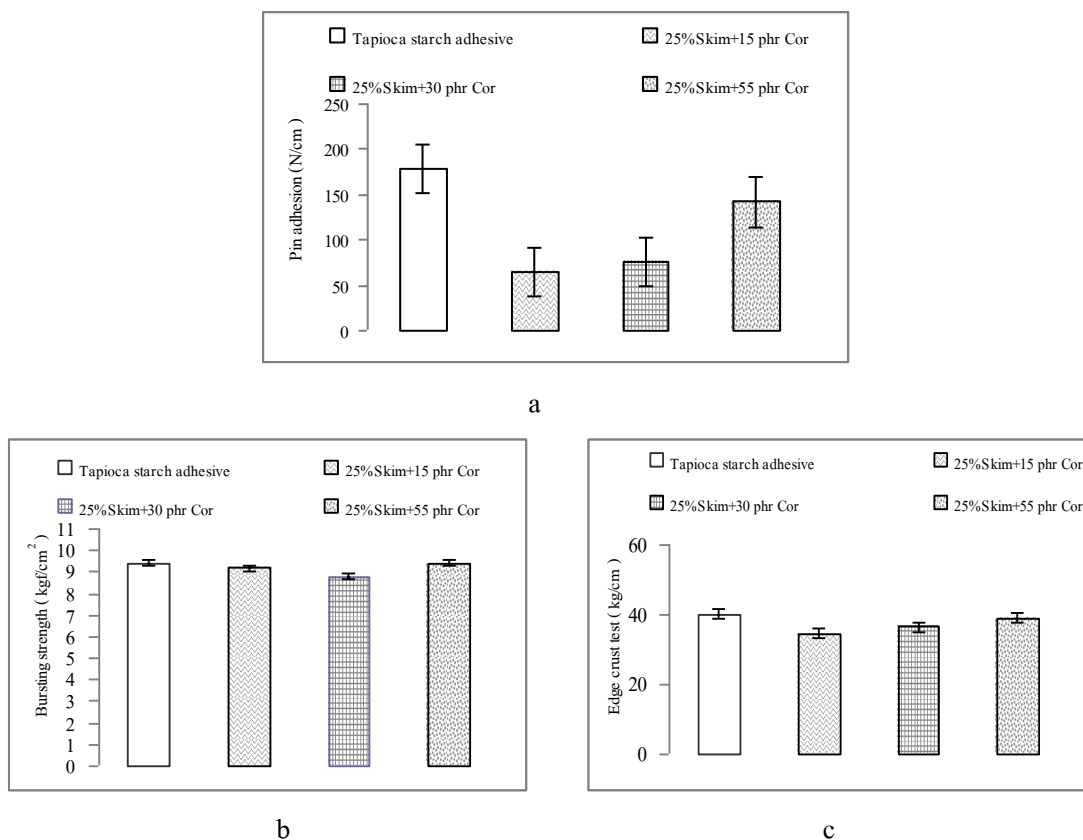


Figure 55. Effect of coumarone resin content to adhesion properties (a) pin adhesion
(b) bursting strength and (c) edge crush test.

Remark: Cor = coumarone resin

สำหรับการทดสอบความสามารถในการต้านทานแรงดันทะลุของกระดาษลูกฟูก (Bursting strength) ผลการทดลองแสดงดัง Figure 55b พบร้ากระดาษลูกฟูกที่ติดการหางน้ำยางที่มีปริมาณของแข็งในหางน้ำยาง 25 % ผสมคิวมาโรนเรชิน 55 phr มีประสิทธิภาพในการต้านแรงดัน

ทะลุดีที่สุดแต่เมื่อเทียบกระดาษลูกฟูกที่ใช้การแป้งมันสำปะหลังกาวหางน้ำยาางมีประสิทธิภาพการต้านแรงดันทะลุที่ด้อยกว่า โดยมีความแตกต่างอย่างไม่มีนัยสำคัญทางสถิติ

สำหรับการทดสอบความสามารถในการต้านทานแรงกดตามแนวตั้งของกระดาษลูกฟูก (Edge crush test) ผลการทดลองแสดงดัง Figure 55c พบว่ากาวหางน้ำยาางที่มีปริมาณของแป้งในหางน้ำยาาง 25 % ผสมคิวมาโนนเรชิน 15 และ 30 phr มีค่าน้อยกว่ากาวการแป้งมันสำปะหลัง พนມีความแตกต่างกันอย่างมีนัยสำคัญ

นอกจากนี้ปัญหาที่พบในการทดลอง คือ ภายหลังที่ทำการแห้งก่อนที่เข้าเครื่องการควบคุมความสม่ำเสมอของปริมาณการที่ทำให้ได้ยาก และ วิธีการวัดค่าไนซ์ และการใช้สารเร่งของการน้ำยาางอาจไม่เหมาะสม เนื่องจากได้ทำการ cure (เพื่อให้เกิดการวัดค่าไนซ์เร็วขึ้น) กาวหางน้ำยาางที่ไว้ 24 ชั่วโมง อาจเป็นสาเหตุกาวหางน้ำยาางเกิดการวัดค่าไนซ์ก่อนการใช้งาน ในสูตรกาวหางน้ำยาาง ได้ใช้สารเร่งคือ ZDBC เป็นชนิด ultra accelerator (ตัวร่างที่มีความเร็วสูงพิเศษ) ซึ่งสามารถวัดค่าไนซ์ที่อุณหภูมิต่ำ 115-125 °C ในระยะเวลาอันสั้น แต่ถ้าใช้อุณหภูมิที่สูง (อุณหภูมิเครื่อง double facer 160-170 °C) อาจเกิดการ reversion (ทำให้ระยะเวลาการ cure ของกาว เพิ่มมากขึ้น) จึงไม่ควร cure เกิน 125 °C (พรพรรณ, 2528)

4. สมบัติของการผสมระหว่างกาวหางน้ำยาางและการ PVOH หรือ การแป้งมันสำปะหลัง

4.1 ผลของหางน้ำยาางผสมกาว PVOH (Polyvinyl alcohol) ต่อสมบัติการยึดติดของกาวจากการศึกษาเบื้องต้น โดยทำการทดลองเตรียมกาวหางน้ำยาาง โดยผสมกับ PVOH ในรูปสารละลายที่ความเข้มข้นที่ระดับ 5, 10, 15, 20 และ 25% จากการทดลองพบว่า PVOH ที่ 20% มีความเหมาะสม ซึ่ง PVOH จัดว่าเป็นสารที่นิยมใช้ในรูปของกาวและสาร เพิ่มการยึดติด ชนิดหนึ่ง จากข้อมูลของบริษัท Chang Chun การเตรียม PVOH สำหรับ เตรียมเป็นกาวที่นำไปใช้กับกระดาษลูกฟูกและกระดาษคราฟท์รวมมีปริมาณของแป้งประมาณ 18%

โดยเมื่อเตรียมหางน้ำยาางที่ผสมกับ 20% PVOH ที่ปริมาณต่างๆ ซึ่งผลการทดสอบสมบัติการยึดติดกับกระดาษคราฟท์ แสดง ดัง Table 32 และ Figure 56 พบว่าคุณสมบัติด้าน shear strength และ peel strength เพิ่มขึ้นตามปริมาณ PVOH ที่เพิ่มขึ้น โดยสูตรที่มีปริมาณ 20% PVOH 100 phr มีคุณสมบัติด้าน shear strength และ peel strength ของกาว มาก ที่สุด และมากกว่ากาวสูตรควบคุม

Table 32. Effect of polyvinyl alcohol 20 % on adhesion properties of skim latex adhesive.

phr	%TS*	pH*	Shear strength*		Peel strength*
			(N/mm ²)	(N/mm)	
25	19.97±0.16	10.56±0.13	0.57±0.04 ^a	0.32±0.01 ^a	
50	20.05±0.27	10.14±0.22	0.61±0.03 ^{ab}	0.34±0.02 ^b	
100	20.50±0.36	9.36±0.16	0.64±0.02 ^b	0.34±0.01 ^b	

* All values are reported as mean (N ≥ 5).

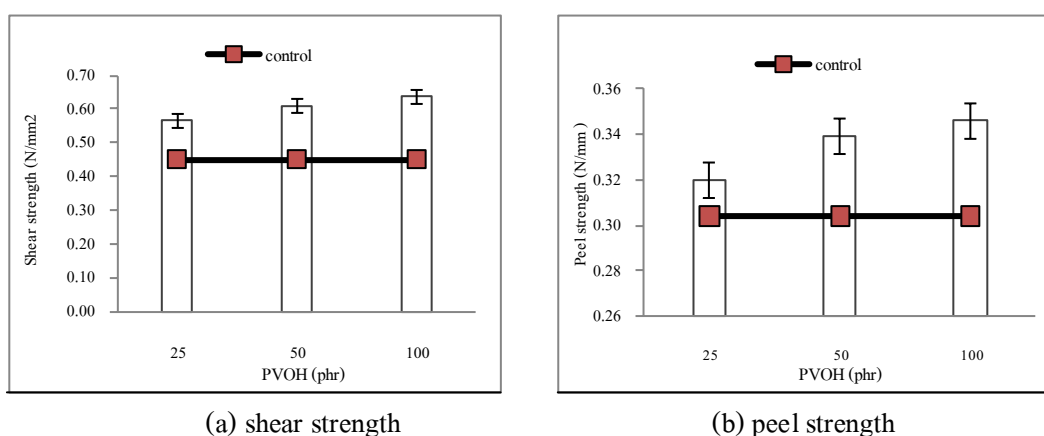


Figure 56. Effect of polyvinyl alcohol 20 % on adhesion properties of skim latex adhesive

(a) shear strength and (b) peel strength.

Remark: Control = tapioca starch adhesive

ซึ่งเมื่อนำมาเทียบกับการแป้งมันสำปะหลังพบว่าหางน้ำยาที่มีปริมาณ PVOH ที่ 25, 50 และ 100 phr มีสมบัติการยึดติดที่สูงกว่าสูตรควบคุม ทั้ง คุณสมบัติค่า shear strength และ peel strength อย่างไรก็ตามโดยในส่วนของหางน้ำยาที่ผสม PVOH แม้ว่าจะช่วยให้หางน้ำยาที่มี สมบัติยึดติดดีที่สุด เมื่อเทียบกับที่ผสมกับ แทกคิไฟเออร์ชินิค อิน แต่ก็ ถูกเลือกมาศึกษา เนื่องจากมี ต้นทุนในการผลิตสูง โดย หางน้ำยาที่ผสม 20% PVOH ในปริมาณ 25 phr เมื่อคำนวณเป็นต้นทุน ประมาณ 10.64 บาทต่อกิโลกรัม ซึ่งสูงกว่าการแป้งมันสำปะหลังประมาณ 3 เท่า

การเสียหายของการภายหลังการทดสอบในบริเวณที่การประสานหรือยึดติด มีความแข็งแรงในการยึดติดที่มากกว่าความแข็งแรงของผิววัสดุ (กระดาษคราฟท์) ทำให้เกิดลักษณะ fiber tear พบร้าได้ในสูตรหางน้ำยาที่มีการผสม PVOH ซึ่งเป็นการเพียงชั่วคราวที่แสดงความ

เสียหายในลักษณะเช่นนี้ และที่การทดสอบกับภาวะห่างน้ำย่างทุกสูตรรวมถึงการความคุมภายใน ทดสอบด้วยวิธี shear strength ด้าน CD เกิดลักษณะการนิ่กขาดของ กระดายคราฟท์ ดัง Figure 57

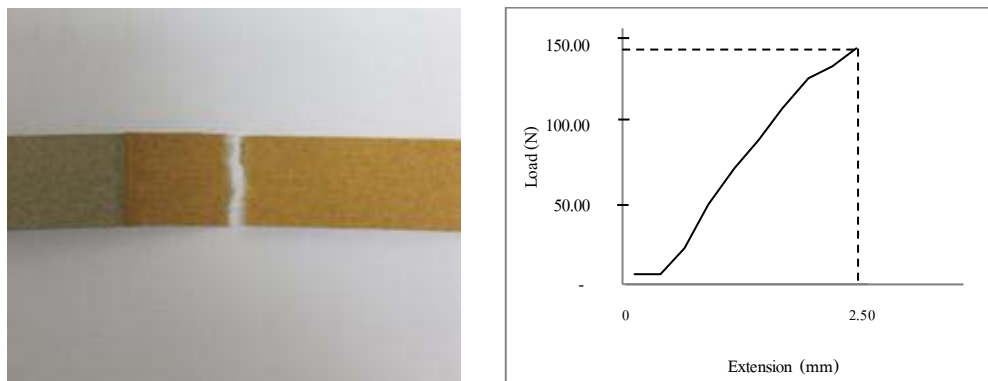


Figure 57. Fractures of skim latex mix polyvinyl alcohol.

4.2 ผลของ การหางน้ำยา ผสม กาว เป็น มัน สำ ปะ หลัง ต่อ สมบัติ กาว ยึด ติด ของ กาว
จาก ผล การ ทดลอง การหางน้ำยา ใน ส่วน การ ผลิต แผ่น กระดาษ ลูกฟูก ที่ เครื่อง
double facer (แบบ กึ่ง ต่อ นี่ อง) ใน หัวข้อ 3 เมื่อ เพิ่ม ปริมาณ ความ โรมน์ เรซิน มาก เกิน ไป ทำ ให้มี
บาง ส่วน เกิด การ แพร่ ร่อง กามา (Blooming) รวมถึง เมื่อ เปรียบเทียบ กับ กาว เป็น มัน สำ ปะ หลัง มาก ใช้ ใน
ปริมาณ มาก จะ ยิ่ง ทำ ให้ ต้น ทุน การ ผลิต กาว สูง ขึ้น ด้วย

จากการตรวจเอกสารความสามารถในการยึดติดของการยางพบว่าการยางที่ผสมกับคิวามาโนน เรซิน และ แป้งข้าวเหนียวเจลลารีไนซ์ สามารถนำมาระบบและช่วยเพิ่มการยึดติดได้ (นัตตุรปกรณ์, 2548) ในการทดลองจึงเลือกใช้แป้งมันสำปะหลังเป็นแทกคิวไฟเบอร์ผสม เนื่องจาก บนผิวของเม็ดแป้งข้าวเหนียวมักพบว่ามีรูกระยะอยู่จำนวนมาก แป้งข้าวเหนียว มีอะไรมอลส์ต่ำมาก ทำให้พบว่ามีไขมัน ในปริมาณมากด้วย (Morrison, 1995) แป้งมันสำปะหลังมีไขมันในปริมาณที่ต่ำ (0.1% หรือน้อยกว่า) การมีไขมันในแป้งจะมีผลต่อคุณสมบัติของแป้งเนื่องจากไขมัน จะเกิดการรวมตัวกับอะไรมอลส์ในแป้งเกิดเป็นสารเชิงซ้อนของอะไรมอลส์-ไขมัน (Amylose-lipid complex) ซึ่ง Amylose-lipid complex นี้ไม่ละลายน้ำ แต่การจับกันจะถูกทำลายเมื่อได้รับความร้อนที่อุณหภูมิสูง (มากกว่า 120 °C) พันธะที่ยึดเหนียวกันจะถูกทำลายทำให้ส่วนของอะไรมอลส์สามารถละลายออกมากได้ (Davies และคณะ, 1980) สารประกอบเชิงซ้อนของอะไรมอลส์และไขมันจะมีผลทำให้กำลังการพองตัว (Swelling power) และค่าการละลาย (Solvability) ของแป้งลดลง นอกจากนี้ไขมัน

ยังทำให้เป็นเกิดการเหม็นหืน (Rancidity) ขณะเก็บรักษาด้วย นอกจากนี้เป็นมันสำปะหลังยัง เป็นวัตถุคุณภาพที่ใช้ในผลิตภัณฑ์ของโรงงานการผลิตกระดาษลูกฟูก

จึงได้ทำการทดลองโดยนำอาหารน้ำยางที่มีทางน้ำยางปริมาณของแข็ง 25 %

ผสมคิวมาโรมเรชิน 5 phr ผสมกาวแป้ง โดยเลือกใช้ 3 ชนิดคือ กาวแป้งมันสำปะหลัง , เจลแป้งมันสำปะหลัง 20% และเจลแป้งมันสำปะหลัง 20% ผสมกับโซดาไฟ 14% ในอัตราส่วน กาวทางน้ำยาง ต่อเทกโนไฟเบอร์ 70:30, 50:50 และ 30:70 ตามลำดับ เหตุผลที่ไม่ได้เลือกสูตรกาวทางน้ำยาง ที่มีทางน้ำยางปริมาณของแข็ง 25 % ผสมคิวมาโรมเรชิน 15 phr มาศึกษาต่อ เนื่องจากพบว่าปริมาณคิวมาโรมเรชินที่ 15 phr ภายหลังที่นำสูตรกาวทางน้ำยางดังกล่าวมาผสมกับกาวแป้งมันสำปะหลังพบว่า มีการเสียสภาพขึ้นตัวเป็นก้อนทันทีเมื่อใช้แรงกวนผสม จึงได้พิจารณาเลือกสูตรกาวทางน้ำยางที่มีทางน้ำยางปริมาณของแข็ง 25 % ผสมคิวมาโรมเรชิน 5 phr โดยอ้างอิงผลการทดลองสมบัติการยึดติดกับกระดาษคราฟท์พบว่า shear strength และ peel strength ของกาวทางน้ำยางที่มีทางน้ำยางปริมาณของแข็ง 25 % ผสมคิวมาโรมเรชิน 5 phr ผสมกาวแป้งแป้งมันสำปะหลังมีค่าใกล้เคียงกับกาวแป้งมันสำปะหลัง และเมื่อเปรียบกับระหว่าง กาวทางน้ำยางที่ผสมกาวแป้งมันสำปะหลังพบว่าที่อัตราส่วน 70:30 พบค่า peel strength มีค่ามากกว่าที่อัตราส่วน 50:50

Table 33. Basic properties of the skim latex adhesive mixed tapioca starch.

Ratio	%TS*	pH*	Shear strength (N/mm ²)	Peel strength (N/mm)	Pin adhesion* (N/cm)
skim latex : tapioca starch					
70:30					
A	18.52±0.36	11.09±0.06	-	-	99.00±3.08 ^a
B	20.34±0.42	11.02±0.05	-	-	95.20±3.56 ^a
C	19.01±0.23	10.68±0.12	0.46±0.02	0.31±0.02	190.80±3.11 ^{**}
50:50					
A	19.83±0.51	10.64±0.19	-	-	102.00±5.79 ^a
B	18.71±0.43	10.55±0.15	-	-	163.40±4.56 ^b
C	20.75±0.54	10.64±0.16	0.46±0.02	0.27±0.02	197.80±3.42 ^{***}

Remark: A = mixed tapioca starch gel B = mixed tapioca starch gel+NaOH 14 % and

C = mixed tapioca starch adhesive

* All values are reported as mean ($N \geq 5$).

** The different superscripts in the same column indicate the significant differences ($p < 0.05$).

ผลการทดลองสมบัติการยึดติดกับกระดาษลูกฟูก โดยทำการทดลองที่สภาวะเครื่อง double facer ความเร็ว 100 เมตร /นาที และอุณหภูมิ 150°C (ทดลอง แบบกึ่งต่อเนื่อง) โดยกระดาษลูกฟูกที่ทดสอบเป็นลอน B ภายหลังการทดสอบ pin adhesion พบรูตรการหางน้ำยาที่ผสมการแป้งมันสำปะหลังให้ค่า pin adhesion มากกว่าการควบคุม โดยที่อัตราส่วน 50:50 ให้ค่าที่สุดแสดงดัง Table 33 และ Figure 58 จากผลการทดลองพบว่าการแป้งมันสำปะหลังช่วยเพิ่มการยึดติดให้กับการหางน้ำยาได้ นอกจากนี้ในการทดลองพบรูตรการที่หางน้ำยาจะผสม กาวแป้ง (เจลแป้งมันสำปะหลัง, เจลแป้งมันสำปะหลัง+NaOH และ กาวแป้งมันสำปะหลัง) ในปริมาณ 30:70 พบร่วมกับการเดี่ยวสภาพ แสดงดัง Figure 60 ซึ่งการเดี่ยวสภาพของหางน้ำยา พบว่าจะมีที่กวนผสมตัวกามมีความขึ้นหนึ่นดองการสูงมาก เนื่องจาก แป้ง มีการดูดซึมน้ำเชื่อมในหางน้ำยาจนอนุภาคของแป้งเกิดการพองบวมตัวและ ในที่สุดทำให้กามมีความหนืดเหนียวอย่างรวดเร็วและ จับตัวเป็นก้อนเมื่อตั้งทิ้งไว้ไม่สามารถนำมาทดสอบได้

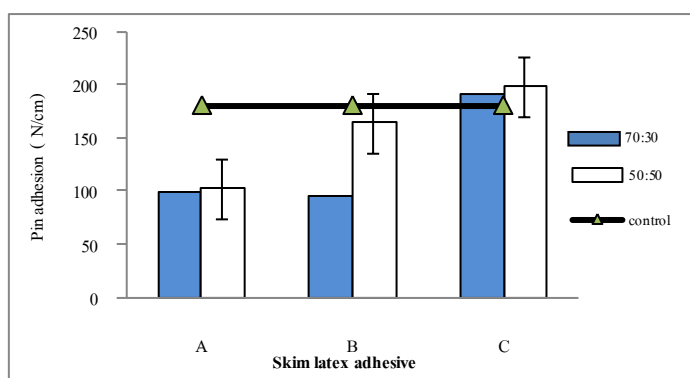


Figure 58. Pin adhesion of skim latex adhesive mix (A) Tapioca starch gel (B) Tapioca starch gel +NaOH 14% and (C) Tapioca starch adhesive.

ลักษณะการเดี่ยวของ การยึดติดภายหลังทดสอบด้วยวิธี pin adhesion ทดสอบกระดาษลูกฟูกลอน B แสดงดัง Figure 59 โดยการหางน้ำยาที่ผสมการแป้งมันสำปะหลัง พบรูตรการเดี่ยวของกาวแบบ fiber tear ภายหลังการดึงทดสอบพบมีส่วนของเศษกระดาษของกระดาษคราฟท์ติดกับลอน และยังพบการเดี่ยวแบบ cohesive failure (พื้นที่ที่พูบมากกว่า fiber tear) พบตัวนี้ของการกัดกร่อน แยกออกจากกันเป็นลักษณะคราบ พิล์ม กาวยางแห้งที่ ผิวของกระดาษคราฟท์และที่ล่อนกระดาษ อาจเนื่องการผสมที่ไม่เข้ากันของการหางน้ำยา และการแป้งมันสำปะหลัง



Figure 59. Fractures of skim latex mixed tapioca starch adhesive 50:50 after pin adhesion.



Figure 60. Degeneration of skim latex adhesive mixed tapioca starch (30:70).

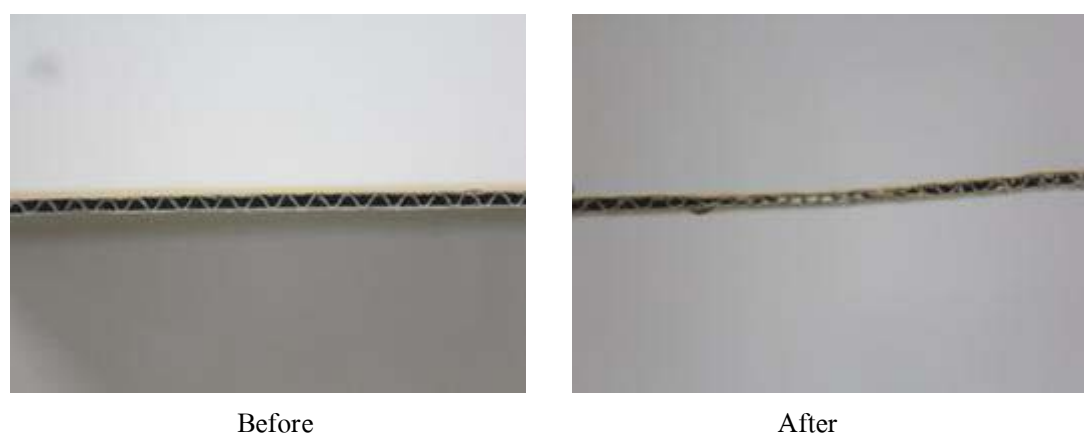


Figure 61. Inclined crushed flute defect of corrugated board.

จากผลการทดลองการเปลี่ยนมันสำปะหลังสามารถช่วยเพิ่มการยึดติดของกาวหางน้ำยางได้จึงได้ทำการศึกษาผลของเครื่อง double facer โดยเลือกที่จะศึกษาผลของสภาพอุณหภูมิและความเร็วของเครื่อง ที่มีต่อสมบัติการยึดติดของกาวหางน้ำยาง โดยเลือกสูตรกาวหางน้ำยาง (ปริมาณของแข็งในหางน้ำยาง 25% ผสม คิวมาโนนเรซิน 5 phr) ที่ผสมกับการเปลี่ยนมันสำปะหลัง ในอัตราส่วน 70:30 และ 50:50 โดยทดสอบ กับกระดาษลูกฟูกлон C ที่มีความแข็งแรงของล่อนมากกว่าล่อน B เพื่อลดปัญหาล่อนลูกฟูกล้มภายหลังการประยุกต์ด้วย double facer ดัง Figure 61

4.2.1 ผลของอุณหภูมิของเครื่อง double facer ที่ส่วนการผลิตกระดาษลูกฟูกต่อสมบัติการยึดติดของกาวหางน้ำยาง (ทดลองแบบกึ่งต่อเนื่อง)

จากการทดสอบความสามารถในการยึดติดของกาวหางน้ำยางในกระดาษลูกฟูก (لون C) ที่สภาพอุณหภูมิ 120, 150 และ 165 °C ความเร็วของเครื่อง 100 เมตร /นาที แสดงดัง Table 34 และ Figure 66 พบว่ากาวหางน้ำยางที่ผสมการเปลี่ยนมันสำปะหลังอัตราส่วน 50:50 ที่สภาพอุณหภูมิ 150 °C ให้ค่า pin adhesion สูงที่สุด โดยไม่มีความแตกต่างอย่างมีนัยสำคัญทางสถิติ เมื่อเทียบกับที่สภาพอุณหภูมิ 165 °C รวมถึงเมื่อเปรียบเทียบกับภาวะคุณพจน์ ค่า pin adhesion ที่สูงกว่า แสดงว่าการเปลี่ยนมันสำปะหลังที่ผสมในกาวหางน้ำยางลูกดูดซึมและกระจาย ข้าไปในเนื้อกระดาษ (لونลูกฟูก) และที่สภาพอุณหภูมิ 120 °C พบค่า pin adhesion มีค่าต่ำมากเมื่อเทียบกับภาวะคุณโดยแยกต่างอย่างมีนัยสำคัญทางสถิติ เนื่องจากกาวหางน้ำยางแห้งไม่หมดส่งผลให้พนปัญหาล่อนล้มไม่สามารถทดสอบสมบัติการยึดติดได้

Table 34. Effect of temperature of double facer machine at speed of 100 m/s on pin adhesion.

Temperature	Pin adhesion (N/cm)*	
	Ratio 70:30	Ratio 50:50
120 °C	44±6.68 ^{a**}	36±6.16 ^{a**}
150 °C	182±9.49 ^{b**}	364±14.28 ^c
165 °C	192±8.04 ^{c**}	355±15.45 ^c
Control	325±3.92 ^d	325±3.92 ^b

* All values are reported as mean ($N \geq 5$).

** The different superscripts in the same column indicate the significant differences ($p < 0.05$).

จากการทดลองพบว่าอุณหภูมิของเครื่อง double facer มีผลต่อการแห้งตัวของการหางน้ำยาง ถ้าอุณหภูมิที่ให้ความร้อนไม่เพียงพอที่จะทำจะกำ จัดนำออกทำให้ผิวของกระดาษคราฟท์ ยังเปียกหรือชื้นอยู่ ซึ่งจะส่งผลต่อความแข็งแรงของลอนลูกฟูกทำให้เกิดล่อนล้มได้

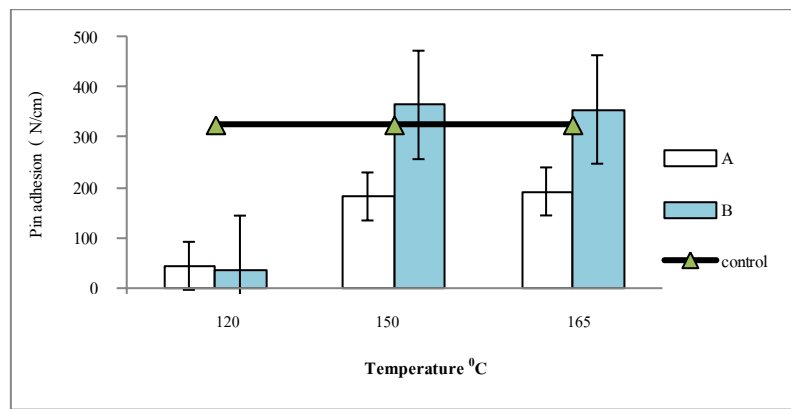


Figure 62. Pin adhesion of skim latex adhesives mixed tapioca starch adhesive at 120, 150 and 165 °C.

Remark: A = ratio 70:30 B = ratio 50:50 and Control = tapioca starch adhesive

จากการทดลองจึงได้ คัดเลือกสูตรการหางน้ำยางผสมกับการแป้งมันสำปะหลัง อัตราส่วน 50:50 สภาวะอุณหภูมิทดสอบ 150 และ 165 °C โดยปรับความเร็วของเครื่อง เป็น 155 เมตร /นาที ไปทดสอบค่า pin adhesion, bursting strength และ ECT รวมถึงนำไปศึกษาผลของ ความเร็วของเครื่องและความชื้นสัมพัทธ์ ผลการทดสอบ แสดงดัง Table 35 พบว่าค่า bursting strength ของกระดาษลูกฟูกที่ติดการหางน้ำยาง ที่ผสมกับการแป้งมันสำปะหลัง ในอัตราส่วน 50:50 มีค่าใกล้เคียงกับการแป้งมันสำปะหลัง โดยไม่มีความแตกต่างอย่างนัยสำคัญทางสถิติ และที่สภาวะ 165 °C มีประสิทธิภาพในการต้านแรงดันทะลุคิที่สุด โดย ไม่มีความแตกต่างอย่างนัยสำคัญทางสถิติ ซึ่งจากตารางพบว่าค่า ECT กระดาษลูกฟูกที่ใช้ การหางน้ำยางที่ผสมกับการแป้งมันสำปะหลัง ใน อัตราส่วน 50:50 ที่อุณหภูมิ 165 °C มีค่าใกล้เคียงกับการควบคุม

จากการทดสอบสมบัติการยึดติดกับกระดาษลูกฟูกพบว่า ค่า pin adhesion ที่สภาวะอุณหภูมิของเครื่องที่ 165 °C มีค่าสูงที่สุด เช่นกัน

Table 35. Effect of temperature of double facer machine on mechanical properties of corrugated board.

Temperature	Pin adhesion*	Bursting strength*	Edge crush test*
	(N/cm)	kgf /cm ²	kg / cm
150 °C	328±16.06 ^a	10.0±0.16 ^a	37.4±0.68 ^a
165 °C	334±9.97 ^b	10.8±0.16 ^b	43.3±0.67 ^b
Control	325±3.92 ^a	9.8±0.18 ^a	40.2±0.61 ^{ab}

* All values are reported as mean (N ≥ 5).

** The different superscripts in the same column indicate the significant differences (p<0.05).

4.2.2 ผลของความเร็วของเครื่อง double facer ที่ส่วนการผลิตกระดาษลูกฟูกต่อสมบัติการยึดติดของการหางน้ำยา (ทดลองแบบกึ่งต่อเนื่อง)

จากการทดลองในข้อ 4.2 เลือกสูตรการหางน้ำยาผสานกับการเป็นมันสำปะหลังอัตราส่วน 50:50 และปรับเพิ่มความเร็วเครื่อง double facer ที่ใช้ในการทดสอบ จาก 100 เมตร /นาที เพิ่มเป็น 120, 150 และ 180 เมตร /นาที ซึ่งสภาวะ อุณหภูมิที่ใช้ทดสอบ 160 - 165 °C เนื่องจาก ผลการทดลองที่ให้ค่า pin adhesion, ECT และ bursting strength ที่ใกล้เคียงกับการเป็นมันสำปะหลังมากที่สุด ภายหลังการทดสอบที่เครื่อง double facer แสดงดัง Table 36 และ Figure 63

Table 36. Effect of speed of double facer machine on mechanical properties of corrugated board.

Speed (m /min)	Pin adhesion*	Bursting strength*	Edge crush test*
	(N/cm)	kgf /10 cm ²	kg / cm
120	296±5.72 ^b	10.8±0.21 ^c	40.1±0.69 ^c
150	339±9.70 ^d	10.8±0.16 ^c	38.2±0.62 ^b
180	149±10.23 ^{***}	8.6±0.16 ^a	32.7±1.08 ^a
Control	325±3.92 ^c	9.8±0.18 ^b	40.2±0.61 ^c

* All values are reported as mean (N ≥ 5).

** The different superscripts in the same column indicate the significant differences (p<0.05).

จากการทดสอบความสามารถในการยึดติดของกาวหางน้ำยางในกระดาษลูกฟูก (ตอน C) พบที่ความเร็วเครื่อง 150 เมตร /นาที มีค่า pin adhesion สูงที่สุดและเมื่อเปรียบกับ การแป้งมันสำปะหลังพบมีความใกล้เคียงกัน แต่จากการทดลองพบว่าเมื่อมีการเพิ่มความเร็วเป็น 180 เมตร /นาที พบค่า pin adhesion ที่ได้มีค่าต่ำมากเนื่องจากช่วงเวลาที่กำจัดน้ำในกาวหางน้ำยางสั้นไป ทำให้ไม่เพียงพอที่กาวหางน้ำยางจะฟอร์มรูปเป็นพิล์มกาว และช่วงเวลาที่ไม่เลกฤทธิ์ซิดกันจากการกดหับเพื่อฟอร์มรูปเป็นพันธะยางยังเกิดไม่สมบูรณ์ จากการทดลองพบกาวหางน้ำยางบางส่วน ไม่แห้งทำให้ส่งผลต่อค่าความแข็งแรงของการค่า pin adhesion ที่ได้จะมีค่าที่ ต่ำมาก นอกจากนี้เมื่อเปรียบเทียบกับการแป้งมันสำปะหลังที่ความเร็ว 180 เมตร /นาที พบว่าสมบัติการยึดติด pin adhesion และความแข็งแรงของแผ่นกระดาษลูกฟูก ECT และ bursting strength มีค่ามากค่ากาวหางน้ำยางผสมกับการแป้งมันสำปะหลังอัตราส่วน 50:50 โดยมีความแตกต่างอย่างมีนัยสำคัญทางสถิติ

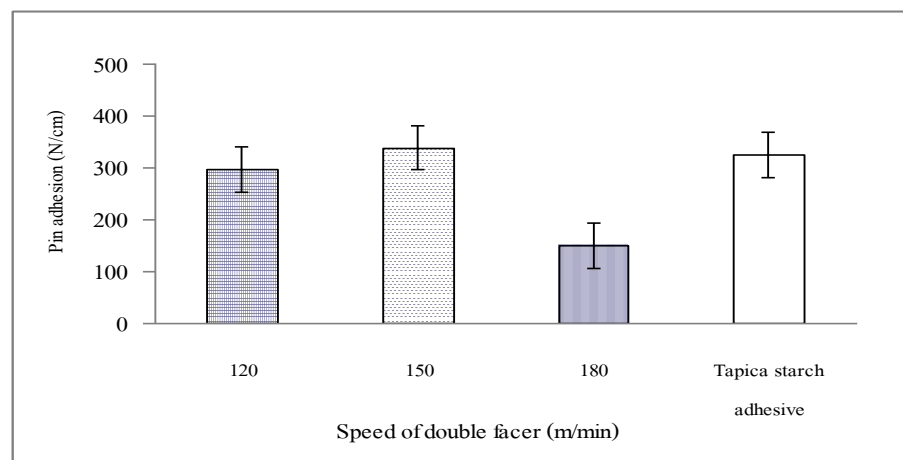


Figure 63. Pin adhesion of skim latex adhesive mixed tapioca starch adhesive at machine speed of 120, 150 and 180 m/min.

4.2.3 ผลของความชื้นสัมพัทธ์ต่อสมบัติการยึดติดของกาวหางน้ำยาง เมื่อเลือกสูตรกาวหางน้ำยางผสมกับการแป้งมันสำปะหลังอัตราส่วน 50:50

ทดลองที่เครื่อง double facer สภาพความเร็วที่ใช้ 120, 150 เมตร /นาที และ สภาพ อุณหภูมิที่ใช้ ทดสอบ 160 - 165 °C จากนั้นนำไปเก็บที่สภาพ %RH ที่ อุณหภูมิห้อง 55 % RH (25 °C) และ 70 % RH (30 °C) เป็นเวลา 7 วัน โดยกำหนดให้ ชุดควบคุม คือกระดาษลูกฟูกที่ผลิตใน สายผลิต ปกติโดยใช้การแป้งมันสำปะหลัง ไปเก็บที่ความชื้นสัมพัทธ์ต่างๆ (ภายหลังที่ออกจากเครื่อง

double facer วางทิ้งไว้ 1 คืน) และ RT คือสภาพการเก็บที่อุณหภูมิห้อง จากนั้นนำมาทดสอบ pin adhesion ของกระดาษลูกฟูก (คอลัม C) ซึ่งภายหลังการทดสอบ ดังแสดง Table 37 และ Figure 64 พบว่า pin adhesion มีค่าลดลงภายหลังจากการเก็บที่สภาวะต่างๆแต่เมื่อเทียบกับการควบคุมพบ มีค่าไม่แตกต่างกัน แต่ที่สภาวะ 70% RH พบค่า pin adhesion ลดลงเล็กน้อย ซึ่งอาจจะเกิดจากความแปรปรวนของระดับความชื้นสัมพัทธ์ในตู้เก็บความชื้น จึงได้ทดสอบซ้ำอีกครั้งและเพิ่ม เวลาการเก็บจาก 7 วัน เป็น 30 วัน

Table 37. Effect of relative humidity and 7 days storage time on pin adhesion of corrugated board.

Storage condition	Pin adhesion (N/cm)*		
	Tapioca starch adhesive	Skim latex adhesive mixed with tapioca starch adhesive (50:50)	
		120 m / min	150 m/ min
RT, 1 day	297±7.44 ^c	296±6.02 ^b	339±8.81 ^c
RT, 7 days	276±5.56 ^b	282±5.89 ^a	294±6.48 ^b
55 %(25 °C), 7 days	270±6.48 ^a	282±7.72 ^a	277±5.32 ^a
70 %(30 °C), 7 days	279±5.42 ^b	301±4.32 ^c	294±10.8 ^b

* All values are reported as mean ($N \geq 5$).

จาก Table 37 พบตัวอย่างกระดาษลูกฟูกที่ใช้การเป็นมันสำปะหลัง การหางน้ำ ย่างเมื่อเก็บไว้ที่สภาวะอุณหภูมิห้องเป็นระยะเวลา 7 วัน พบค่า pin adhesion ลดลง โดยที่การเป็นมันสำปะหลังลดลงประมาณ 7% การหางน้ำย่าง (120 เมตร / นาที) ลดลงประมาณ 5% แสดงว่า pin adhesion เมื่อความชื้นเพิ่มขึ้นความแข็งแรงของการยึดติดจะมีค่า ลดลง แต่การหางน้ำย่าง (150 เมตร / นาที) พบว่าค่า pin adhesion ลดลงถึง 15% สาเหตุอาจเนื่องจากขั้นตอนการเตรียมตัวอย่างทำ การในปริมาณมาก (พบค่า pin adhesion เริ่มต้นสูงกว่าตัวอย่างการอื่นมาก)

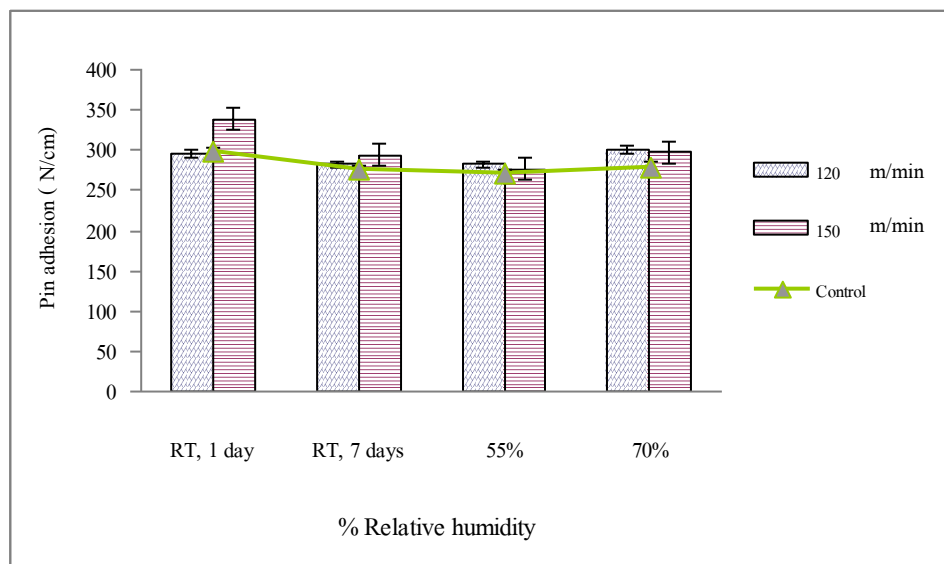


Figure 64. Pin adhesion of skim latex adhesive mixed tapioca starch adhesive at relative humidity 55%, 70 % and room temperature 7 days.

Table 38. Effect of relative humidity and 30 days storage time on pin adhesion of corrugated board.

Storage	Pin adhesion (N/cm)*		
	Tapioca starch adhesive	Skim latex adhesive mixed with tapioca starch adhesive (50:50)	
		150 ° C	165 ° C
RT, 1 day	315 \pm 3.74	258 \pm 9.20 ^b	317 \pm 4.08 ^b
RT, 30 days	301 \pm 3.56	272 \pm 9.31 ^c	326 \pm 4.79 ^c
55 %(25 ° C), 30 days	-	275 \pm 4.55 ^c	327 \pm 5.35 ^c
70 %(30 ° C), 30 days	-	248 \pm 5.32 ^a	290 \pm 7.16 ^a

* All values are reported as mean ($N \geq 5$).

Remark: machine speed = 150 m/min

ภายในห้องที่เก็บตัวอย่างในสภาวะความชื้นต่างๆ เป็นเวลา 30 วัน พบร่วมตัวอย่างที่ทดสอบที่สภาวะอุณหภูมิของเครื่อง 150°C เก็บ สภาวะที่ $70\% \text{ RH}$ (30°C) ค่า pin adhesion ซึ่งเมื่อเปรียบเทียบกับที่ 165°C มีแนวโน้มลดลงมากเช่นเดียวกัน จาก Table 31 ที่สภาวะอุณหภูมิห้องและ $55\% \text{ RH}$ พบรากว้างน้ำยา (150 °C) ค่า pin adhesion เพิ่มขึ้นประมาณ 5 % และ 6 % ตามลำดับ ในส่วนการหางน้ำยา (165 °C) ค่า pin adhesion เพิ่มขึ้นประมาณ 3 % แต่มีการเก็บไว้ในสภาวะที่มีความชื้นสูง $70\% \text{ RH}$ พบรากว้างน้ำยา (150 °C) และหางน้ำยา (165 °C) ค่า pin adhesion ลดลงประมาณ 4 % และ 8 % ตามลำดับ ทั้งนี้เนื่อง การเก็บไว้ที่มีความชื้นสูงทำให้น้ำในอากาศดูดซับเข้าไปในกระดาษที่มีความชื้นสูงส่งผลให้บริเวณพื้นผิวที่ทำการมีการยึดติดที่ลดลง

5. ผลการนำไปประยุกต์ใช้งานในอุตสาหกรรมกระดาษลูกฟูก (pilot scale แบบต่อเนื่อง)

จากผลการทดลองหางน้ำยาที่เตรียมจากหางน้ำยา (หางน้ำยา ที่มีปริมาณของแข็ง 25% ผสม กับ คิวมา โอลิโนเรชิน 5 phr) ผสมกับการเปลี่ยนมันสำปะหลัง ในอัตราส่วน 50:50 ให้สมบัติการยึดติดกับกระดาษลูกฟูกดีที่สุดเมื่อเปรียบเทียบกับหางน้ำยางสูตรอื่น และมีต้นทุนในการผลิตถูกกว่า โดยหางน้ำยาที่ผสม การเปลี่ยนมันสำปะหลังมีต้นทุน 5.88 บาท/กก. หางน้ำยา (หางน้ำยาที่มีปริมาณของแข็ง 25% ผสม คิวมา โอลิโนเรชิน 15 phr) มีต้นทุนประมาณ 13.28 บาท/กก. เมื่อเปรียบเทียบกับการเปลี่ยนมันสำปะหลังยังคงมีต้นทุนที่สูงกว่าประมาณ 2 เท่า และ 4 เท่าตามลำดับ สาเหตุที่ต้นทุนของการหางน้ำยาที่มีมากกว่าการเปลี่ยนมันสำปะหลังเนื่องจากหางน้ำยา ไม่มีราคาที่ใช้ซื้อขายตามห้องตลาดจึงได้ใช้ราคากองน้ำยาหางส่วนมาคำนวณเป็นต้นทุนการได้ทำการทดลองหางน้ำยาที่เตรียมได้ที่เครื่อง double facer คือเทกาวที่เตรียมได้ไส่ลงในถาดภาชนะที่สภาวะการทดสอบที่อุณหภูมิเครื่องประมาณ $160-165^{\circ}\text{C}$ ความเร็วเครื่องที่ 100 เมตร/นาที ตัวอย่างทดสอบที่ได้เป็นแผ่นกระดาษลูกฟูกلون B ภายนอกที่ทดสอบพบวามีการยึดติดกันระหว่างกระดาษแผ่นเรียบและลอนลูกฟูก และลักษณะแผ่นลูกฟูกที่ได้ไม่ร่อนออกข้างจากนั้นทิ้งตัวอย่างไว้ 24 ชั่วโมง ไปทดสอบความแข็งแรงการยึดติดของของหางที่ลอนลูกฟูกด้วยการทดสอบ pin adhesion และความแข็งแรงของแผ่นกระดาษลูกฟูกด้วย การทดสอบ ECT และ bursting strength ซึ่งภายในห้องการทดสอบพบค่า pin adhesion มีค่าประมาณ 81.33 นิวตัน/ซม. ดังแสดง Table 39 ซึ่งเมื่อเปรียบเทียบกับการควบคุมและผลการทดสอบในข้อ 4.2 พบร่วมมีค่าต่ำกว่ามากโดยพบว่ามีความแตกต่างอย่างมีนัยสำคัญทางสถิติ ส่วนค่า ECT และ bursting strength มีค่าต่ำกว่าการควบคุมเล็กน้อย โดยไม่แตกต่างอย่างมีนัยสำคัญทางสถิติ

Table 39. Adhesion properties of adhesive after pilot scale test.

Formula	Pin adhesion*		Bursting strength*	Edge crush test*
	(N/cm)	Fracture mode	kgf /cm ²	kg / cm
Tapioca starch adhesive	178.25±0.50 ^b	fiber tear	9.4±0.16 ^a	40.30±0.60 ^a
25%Skim (5 phr Cor.)+ tapioca starch adhesive (50:50)	81.33±7.59 ^{**} ^a	cohesive	9.3±0.16 ^a	39.07±0.93 ^a

* All values are reported as mean ($N \geq 5$).

** The different superscripts in the same column indicate the significant differences ($p < 0.05$).



Figure 65. Corrugated board bonded by skim latex adhesive in pilot scale test (a) Skim latex adhesive in tray of double facer (b) Corrugated board peeled off after pilot scale test.

ในส่วนสาเหตุที่การยึดติดที่ล่อนลูกฟูกมีค่าต่ำ อาจเนื่องจากธรรมชาติของน้ำยาใน การยึดติดต้องมีการใช้แรงกดทับชั่วระยะเวลาหนึ่งเพื่อให้เกิดพันธะการขึ้น การเกิดพันธะ การเกิดภายในห้องที่พื้นผิวกระดาษและการเกิดการยึดเกาะกัน และฟอร์มเป็นพันธะการขึ้น และความแข็งแรงของยึดติดขึ้นกับความสามารถที่จะแพร่เข้าไปในช่องว่างที่พื้นผิวของกระดาษ (Mechanical interlocking) และอีกสาเหตุหนึ่งคือพื้นที่ทากวนน้อยเกินไป (ยอด ล่อนลูกฟูก) ถึงแม้มีการผสมกาวเป็นมันสำปะหลังแต่ความแข็งแรงของพันธะการกาวไม่แข็งแรงมากพอ นอกจากนี้พบ ลักษณะการเสียหายของการยึดติดภายในห้องที่ล่อนลูกฟูก pin adhesion พบการ เสียหาย ของแบบ fiber tear ยังแบบ cohesive failure ที่พื้นผิวของกระดาษคราฟท์และที่ล่อนกระดาษ อาจเนื่องการผสมที่ไม่เข้ากัน ของกาวหางน้ำยาและกาวเป็นมันสำปะหลัง และสาเหตุที่ความแข็งแรงของการยึดติดต่ำกว่าเมื่อ

เพียงกับผลการทดลองในข้อ 4.2 อาจเนื่องจากวิธีควบคุมความหนาของภาชนะที่ ผิวกระดาษต่างกัน ซึ่ง ในข้อ 4.2 จะใช้วิธีการทาภาชนะที่กระดาษแผ่นเรียบส่วนในข้อ 5 ภาชนะ ให้ไปตามลูกกลิ้ง (Glue roll) และติดที่ผิวลงความหนาของภาชนะเคลือบผิวจะบางกว่าวิธีที่ทดลองในข้อ 4.2 การปรับระยะของลูกกลิ้งให้กว้างเพื่อเพิ่มความหนาของภาชนะจะช่วยได้ นอกจากนี้วิธีการทดลองการแตกต่างกันโดยในข้อ 4.2 เป็นการทดลองแบบ manual (ใช้ประงทางการที่กระดาษแผ่นเรียบให้ทั่วและบางที่สุดแล้วจึงนำลอนลูกฟูกมาปะกับก่อนนำเข้า double facer)

บทที่ 4

บทสรุปและข้อเสนอแนะ

1. จากการทดลองการศึกษาสมบัติการยึดติดของกาวหางน้ำยาในห้องปฏิบัติการ พบร่วมกันหางน้ำยาที่เพิ่มความเข้มข้น โดยวิธีการครีม เมื่อนำมาทดสอบเข้ากับแทกคิไฟเออร์ สามารถปรับปรุงสมบัติการยึดติดของการได้ซึ่งจากการทดลองแทกคิไฟเออร์ที่เหมาะสมที่ใช้ผสมกับหางน้ำยาคือ คิวามาโอนเรชิน ที่เตรียมในรูปของอิมลัชัน โดยพบว่าที่หางน้ำยาที่มีปริมาณของแข็ง 20 % และคิวามาโอนเรชิน 5 phr สมบัติการยึดติดของกาวกับกระดาษคราฟท์พบว่า ความต้านทานแรงเฉือน และ ความต้านทานการลอกดีกว่ากาวแป้งมันสำปะหลังเล็กน้อย

จากการศึกษาผลของปริมาณแทกคิไฟเออร์ ต่อสมบัติการยึดติดของ กาวพบว่า การเพิ่มปริมาณของคิวามาโอนเรชิน และปริมาณของแข็งในการเพิ่มน้ำหนักให้เกิดการยึดติดที่ผิวกระดาษ เพิ่มน้ำหนัก

การเสียหายของการบนกระดาษคราฟท์ของสูตรกาวหางน้ำยาในภายนอกและการทดสอบพบร่วมกับการเสียหายแบบ cohesive failure และ cohesive-adhesive ในขณะที่ การเสียหายของ กาวบนน้ำหนักทดสอบของการแป้งมันสำปะหลังเป็นการเสียหายแบบ fiber tear

2. จากการศึกษาผลของปริมาณของแข็งในหางน้ำยาที่ต่อสมบัติการยึดติดของกาวหางน้ำยา พบร่วมกับเมื่อปริมาณของแข็งในหางน้ำยาเพิ่มน้ำหนัก ล่างผลต่อสมบัติการยึดติด เพิ่มน้ำหนักโดยล่างผลต่อสมบัติ ดังกล่าวอย่างมี ไม่มี นัยสำคัญทางสถิติ เมื่อเปรียบเทียบกับสูตรกาวควบคุม โดยพบ หางน้ำยา ง ปริมาณของแข็ง 20% ให้สมบัติการยึดติดความต้านทานแรงเฉือน และ ความต้านทานการลอก ของกระดาษคราฟท์ และ pin adhesion ของกระดาษลูกฟูก ไม่มีความแตกต่างอย่างมีนัยสำคัญกับหางน้ำยา ง ปริมาณของแข็ง 25% ($p<0.05$) และพบร่วมกับ pin adhesion ของกระดาษลูกฟูก มีค่าต่ำกว่า กาวแป้งมันสำปะหลัง

ผลการทดลองในห้องปฏิบัติการ เมื่อหางน้ำยา ง ปริมาณของแข็งเพิ่มน้ำหนักเป็น 25% และปริมาณคิวามาโอนเรชินเพิ่มน้ำหนักเป็น 15 phr กระดาษลูกฟูกจะมีสมบัติการยึดติดที่สูงกว่ากาวแป้งมันสำปะหลังอย่างมีนัยสำคัญ โดยเฉพาะ pin adhesion ของกระดาษลูกฟูก อย่างไรก็ตามในการทดสอบเพื่อเตรียมในสายการผลิตแบบกึ่งต่อเนื่อง กระดาษลูกฟูกที่เตรียมจากกาวหางน้ำยาจะกลับมีผลการทดสอบ pin adhesion ที่ต่ำกว่ากาวแป้งมันสำปะหลังอย่างมีนัยสำคัญ ($p<0.05$)

การเสียหายของกาว ของชิ้นทดสอบ ของสูตรกาวหางน้ำยางพนแบบ cohesive failure ในขณะที่สูตรกาวแป้งมันสำปะหลังพนแบบ fiber tear

สำหรับการทดสอบความสามารถในการต้านทานของกระดาษลูกฟูกผลการทดลองพบว่า bursting strength และ ECT ของกระดาษลูกฟูกของกาวหางน้ำยางมีค่าต่ำกว่าเล็กน้อย เมื่อเทียบกับกาวแป้งมันสำปะหลัง

3. จากการศึกษาผลของการทดสอบ

ในการทดสอบสมบัติการยึดติดของการกับกระดาษคราฟท์พบว่า กาวหางน้ำยางที่ผสม PVOH ที่ปริมาณ 25, 50 และ 100 phr มีความต้านทานแรง扯่อน และ ความต้านทานการลอกดีกว่ากาวแป้งมันสำปะหลัง

จากการศึกษาผลของการหางน้ำยางทดสอบความแป้งมันสำปะหลังพบว่าสูตรกาวหางน้ำยางที่ผสมกาวแป้งมันสำปะหลังที่อัตราส่วน 50:50 ให้สมบัติการยึดติดและสมบัติเชิงกลของกระดาษลูกฟูกที่ใกล้เคียงกับกาวแป้งมันสำปะหลังมากที่สุด ในสายการผลิตยังพบว่า อุณหภูมิและความเร็วของเครื่องจักร double facer มีผลต่อสมบัติของกระดาษลูกฟูกที่เตรียมจากการหางน้ำยางอย่างมีนัยสำคัญ ($p<0.05$) โดยที่อุณหภูมิ 150°C ความเร็ว 150 เมตร /นาที เป็นสภาวะการผลิตที่เหมาะสมสำหรับการใช้กาวหางน้ำยาง และที่สภาวะการเก็บรักษากระดาษลูกฟูก $30^{\circ}\text{C}, 70\%\text{RH}$ จะส่งผลต่อการลดลงของค่า pin adhesion อย่างมีนัยสำคัญ ($p<0.05$) เมื่อทำการทดสอบเพื่อเตรียมการในสายการผลิตแบบต่อเนื่อง พนว่าสมบัติการยึดติดของกาวหางน้ำยางโดยเฉพาะ pin adhesion test มีค่าต่ำกว่ากาวแป้งมันสำปะหลัง อย่างมีนัยสำคัญ ($p<0.05$) ในขณะที่ค่า ECT และ bursting strength มีค่าต่ำกว่าเล็กน้อย

การเสียหายของกาวบนแผ่นกระดาษลูกฟูก ของสูตรกาวหางน้ำยางพนแบบ cohesive failure และแบบ fiber tear

4. เมื่อทำการทดสอบเพื่อเตรียมการในสายการผลิตแบบต่อเนื่อง พนว่าสมบัติการยึดติดของกาวหางน้ำยางทดสอบความแป้งมันสำปะหลังที่อัตราส่วน 50:50 โดยเฉพาะ pin adhesion มีค่าต่ำกว่ากาวแป้งมันสำปะหลังอย่างมีนัยสำคัญ ($p<0.05$) ในขณะที่ค่า ECT และ bursting strength มีค่าต่ำกว่าเล็กน้อย

ข้อเสนอแนะ

จากการทำงานวิจัยนี้ พบว่ามีประเด็นที่น่าสนใจที่น่าจะมีการศึกษาเพิ่มเติมเพื่อพัฒนาปรับปรุงเพิ่มคุณสมบัติของการหางน้ำยา ให้สามารถประยุกต์ใช้งานกับเครื่องจักรที่มีความเร็วสูงได้ เช่น เครื่องประกอบกระดาษลูกฟูก

1. ศึกษาสารเพิ่มการยึดติดในกลุ่มของ PVOH ที่มีราคาใกล้เคียงหรือต่ำกว่าการแป้งมันสำปะหลัง
2. ศึกษาถึงอิทธิพลของน้ำหนักโนแมกนัลและขนาดอนุภาคของการที่มีผลต่อความสามารถในการยึดติด
3. ศึกษาการใช้สารกระตุ้น (Activator) ร่วมกับสารเร่งปฏิกิริยา (Catalysts) เพื่อช่วยเพิ่มความเร็วในการแห้งตัวของการหางน้ำยา
4. ศึกษาการใช้สารที่ช่วยเสริมประสิทธิภาพของพื้นที่ผิว เพื่อเพิ่มความสามารถในการเปียกที่พื้นผิวของภา
5. ปรับปรุงอุปกรณ์สำหรับทำการหางกับวัสดุที่ทดสอบก่อนการทดสอบการยึดติด เช่น เครื่องปั๊กการเพื่อให้มีความเรียบและควบคุมปริมาณของ กาว รวมถึงช่วยเรื่องการเปียกของการหางที่มีความสม่ำเสมอ

เอกสารอ้างอิง

เกยรา เลาหพิสิฐพาณิชย์. 2551. การบลูมในยาง. วารสารเพื่อการพัฒนาของอุตสาหกรรมยาง ไทย.

2 (3). : หน้า 21.

นัตรปกรณ์ นันทวงศ์. 2549. การเตรียมและศึกษาสมบัติของกาวจากน้ำยางธรรมชาติอีพอกไซด์เพื่อใช้ในอุตสาหกรรมเฟอร์นิเจอร์ไม้ยางพารา. วิทยานิพนธ์วิศวกรรมศาสตรมหาบัณฑิต. มหาวิทยาลัยสงขลานครินทร์.

โชคิรส คงขัน. 2552. การศึกษาสมบัติของยางสกินที่ได้จากการครีมด้วย Cellulose Ethers. วิทยานิพนธ์วิทยาศาสตรมหาบัณฑิต. มหาวิทยาลัยสงขลานครินทร์.

ทรงพล ลีมพิสูจน์, ชนพัฒน์ อัตถกิจมงคล, ชัยรัตน์ เชวงมหาป提 และ อรวรรณ ปิยะบุญ. 2548. การແປຮູບພລິດກັນທີ່ຍາງພາຣາເປັນກາຍາງແຫ່ງ. Congress on Science and Technology of Thailand. : 1-3.

ธนาวดี ลี້ຈາກກັຍ. 2546. ເກື້ອນນໍາຮູ້ຂອງກາວ. อັພເດທ. 18 (192). : 89-92.

นาຖາ แซ່ລິນ. 2545. ກາວຍາງธรรมชาຕິ່ຈິນນິດທນນໍ້ມັນ. ກາວວິຊາເທກໂນ ໂລຍື່ຍາງແລະ ພອລິເນອວ໌ ຄມະວິທາສາສ්තර໌ແລະ ເທກໂນ ໂລຍື່ ມາວິທາລັບສົງຄະນຸລານຄຣິນທຣ. : 10-38.

ปູນ ແລະ ສມພຣ ຄົງເຈົ້າຢູ່ເກີຍຕີ. 2542. ບຣຈຸກັນທີ່ອາຫາຣ. ກຽມສົ່ງເສຣິມອຸຕສາຫກຮົມ. ກະທຽວ
ອຸຕສາຫກຮົມແລະ ສາມຄມກາບບຣຈຸກັນທີ່ໄທຢ. ບຣິ້ນທີ່ແພຄເມທສ໌ ຈຳກັດ. ກຽງເທພ

ພຣພຣຣນ ນິທີອຸທິຍ. 2528. ສາຮເກມີສໍາຫັບຍາງ. ກາວວິຊາເທກໂນ ໂລຍື່ຍາງແລະ ພອລິເນອວ໌
ຄມະວິທາສາສ්තර໌ແລະ ເທກໂນ ໂລຍື່ ມາວິທາລັບສົງຄະນຸລານຄຣິນທຣ. : 270-286.

ພິຈ່າ ລົ່ວ່າຮາກນໍ. 2543. ກາຣປັນປຸງແລະ ກາຣພັນນໍ້າຍາງธรรมชาຕິເພື່ອໃຊ້ເປັນວັສດຸກາວ.
ສາຂາວິຊາເທກໂນ ໂລຍື່ວັສດຸ. ມາວິທາລັບເທກໂນ ໂລຍື່ພຣຈອນກຳລັງນຸ້ງ.

พิมานจันทร์ รุ่ง โภจน์. 2548. การพัฒนา Pressure Sensitive Adhesive จากน้ำยาหัตถกรรมชาติ.

วิทยานิพนธ์วิศวกรรมศาสตรมหาบัณฑิต มหาวิทยาลัยศิลปากร.

เรวดี แต่งเกลี้ยง. 2544. อายุการเก็บและการปรับปรุงการเชื้อตัวของกาวน้ำยาหัตถ. สาขา

เทคโนโลยียาหัตถ คณะวิทยาศาสตร์และเทคโนโลยี มหาวิทยาลัยสงขลานครินทร์. : 270-286.

วราภรณ์ ชจรไชยกุล. 2525. น้ำยาหัตถ งานอุตสาหกรรมยาหัตถ ศูนย์วิจัยการยางหาดใหญ่.

วราภรณ์ ชจรไชยกุล และวิภา เศวตgnimy. 2537. ศึกษาการเตรียมและการน้ำยาหัตถ. ศูนย์วิจัยและ พัฒนาผลิตภัณฑ์ยาหัตถ สถาบันวิจัยยาหัตถ กรมวิชาการเกษตร.

วราภรณ์ ชจรไชยกุล และวิภา เศวตgnimy. 2541. การผลิตกาวยาหัตถจากน้ำยาหัตถเพื่อใช้งานทั่วไป. ส่วนอุตสาหกรรมยาหัตถ สถาบันวิจัยยาหัตถ กรมวิชาการเกษตร.

วราภรณ์ ชจรไชยกุล. 2549. ยาหัตถชาติ. การผลิตและการใช้งาน. สำนักงานกองทุนสนับสนุน การวิจัย. : 14-15.

สุนิสา สุชาติ. 2550. การปรับปรุงกาวจากน้ำยาหัตถชาติเพื่อใช้สำหรับไม้ยาพารา

33st Congress on Science and Technology of Thailand at Suranaree University of Tecnology. หน้า 1-6.

สุรชัย สันติวงศ์สอดิ. 2543. การเตรียมและอายุการเก็บกาวน้ำยาหัตถ. วิทยานิพนธ์ วิทยาศาสตรมหาบัณฑิต. มหาวิทยาลัยสงขลานครินทร์.

เสาวนีษ ก่อวุฒิกุลรังสี. 2546. การผลิตยาหัตถชาติ. ภาควิชาเทคโนโลยียาหัตถและพอลิเมอร์ คณะ วิทยาศาสตร์และเทคโนโลยี มหาวิทยาลัยสงขลานครินทร์ วิทยาเขตปัตตานี. : 67-96.

อรสา ภัทร ไพบูลย์ และเรวดี แต่ง เกลี่ยง. 2544. อายุการเก็บและการปรับปรุงการเชือบทัวของกาวน้ำ
ยาง. รายงานการเสนอผลงานวิจัยในการประชุมวิชาการเพื่อเผยแพร่ผลงานวิจัย . ภาควิชา
เทคโนโลยียางและพอลิเมอร์คณะวิทยาศาสตร์และเทคโนโลยี
มหาวิทยาลัยสงขลานครินทร์ วิทยาเขตปัตตานี . กรกฎาคม.: 181-191.

อรสา ภัทร ไพบูลย์ และ สาย ใหม พัฒนา ไกร. 2548. ผลของชนิดและปริมาณของแทกคิไฟเออร์ต่อ
ความแข็งแรงของการน้ำยางธรรมชาติ. โครงการวิจัยขนาดเล็กและพัฒนาผลิตภัณฑ์จากยาง
ธรรมชาติ-มอ. (7). สำนักงานกองทุนสนับสนุนการวิจัย.

อาชีชัน แกสมาน อดิศัย รุ่งวิชานิวัฒน์ และ จรัส โพธิสีสุด . 2540. การผลิตกาวดักแมลงจากยาง
ธรรมชาติ . ภาควิชาเทคโนโลยียางและพอลิเมอร์ คณะวิทยาศาสตร์และเทคโนโลยี
มหาวิทยาลัยสงขลานครินทร์ วิทยาเขตปัตตานี.

Adams *et al.*, 1998. Water based contact adhesive for porous surfaces.U.S.Pat
5733958.31. March. 1998.

Allen, K.W. 2000. Theories of adhesion. In Industrial Packing Adhesives
1st ED (Booth, K.S. ed.). p. 43-50. Blackie. London.

Alphonsus, V.Pocius.1997.Adhesion and Adhesives Technology An Introduction. p. 216-230.
New York.

Blackley, D. C. 1997. In Polymer Lactices Science and Technology. Second edition
Volume 2. p. 44-55. Type of Lactices. London.

Bloomfield, G.F.1961. Chemical and Structure of Natural Rubber. In The Applied Science
of Rubber (Naunton, M.le.S.ed.). p 61. Edward Arnold Ltd. London.

Brittain, J. A., Perkins, S. R., Schnell, P. G. 2000. Corrugating Adhesive. In Corrugated
Containers Manufacturing Process. p. 37-53.

Chang Chun Petrochemical. 1995. p. 20-21. Taiwan.

Christer, K., 2007. Fracture Behaviour of adhesive Joints in carton board. Karlstad University Studies. p. 1-33.

Corn Products International, Inc. Casco Inc. and CPI Ingredientes. 2006. p. 1-30.

Daub, E., Hoke, U. and Gottsching, L. 1990. Gluing corrugating medium and linerboard together on the corrugators. Tappi Journal. June: 171-178.

Davies, T., Miller, D.C. and Procter, A.A., 1980. Starke, Vol. 32. p. 149.

Dick, J.S. 2001. Rubber. How to Design Rubber Components. p 29. Hanser Publishers . New York.

Evens *et al.*, 1983. Stabilization of tackifying resin dispersions .U.S.Pat 4477613.

Franking *et al.*,2000. Testing of adhesives. In Industrial Packing Adhesives 1st Ed. p. 60-77. Blackie. London.

Ganesh *et al.*,2010. Effect of tackifier compatibility and blend viscoelasticity on peel strength behavior of vulcanized EPDM rubber co-cured with unvulcanized rubber. International Journal of Adhesion&Adhesives 30. : 489-499.

Gent, A.N. 1992. Engineering with Rubber: How to Design Rubber Component. Hanser Publishers. Munich. p. 438-447.

Hizukuri, S., 1985. Relationship Between the Distribution of the Chain Length of Amylopectin and the Crystallite Structure of Starch Granules. Carbohydrate. Res. Vol. 141. pp. 295-306.

Hizukuri, S., 1988. Recent Advances in Molecular Structure of Starch. *J. Jpn. Soc. Starch Sci.* Vol. 31. p. 185.

Jack, R.W., Alvin, E. and Susan, N.Y. 1995. High-density papers and corrugators runnability. *Tappi Journal*. April: 83-188.

Joseph, J.B. 1992. Development of green-bond strength in the singlefacer. *Tappi Journal*. October: 94-101.

Ketteborough, A.J. 2000. The bonding process. In *Industrial Packing Adhesives* 1st Ed. p. 1-5. Blackie. London.

Koch, K., Bhushan, B. and Barthlott, W. 2008. Diversity of structure, morphology and wetting of plant surfaces, *Soft Matter*. 4: 1943–1963.

Lazarus, D.M. 2000. Classification of packaging adhesives. In *Industrial Packing Adhesives* 1st Ed. p. 29-39. Blackie. London.

Masumbu, F.F.F., Masamba, W.R.L. and Fabiano. 2003. Development and evalution of maize and cassava starch based Cold-Setting adhesives for case-sealing. *Malawi Journal of Agricultural Science*. 2(1).: 65-76.

Morrison, W.R. and Laignelet, B., 1983. An Improved Colorimetric Procedure for Determining Apparent and Total Amylose in Cereal and Other Starches. *J. Cereal Sci.* No. 1. pp. 9-20.

Morris, J.E., 1984. Improved Rubber by Enzymatic Deprotinisation of Skim latex. *Tech. Conf. London*. p. 23-27.

Oates, C.G., 1996. Physical Modification of Starch. *In* Advanced Post Academic Course on Tapioca Starch Technology. 22–26 Jan & 19–23 Feb. 1996. AIT Center. Bangkok.

Oates, C.G., 1997. Toward an Understanding of Starch Granule Structure and Hydrolysis. Trends in Food Science and Technology. Vol. 8. pp. 375-382.

Pomeranz, Y., 1985, Functional properties of food components. Academic Press. Inc. New York.

Rungrod *et al.*, 2005. Effect of tackifier on tack and peel strength of natural rubber latex - based adhesives. 31st Congress on science and Technology of Thailand at Suranaree University of technology. Oct 2005.

Sadhan, K.D.E. 2003. Natural Rubber – Based Adhesives. *In* Handbook of Adhesive Technology 2nd ED (Pizzi, A. and Mittal, K.l., eds.). p. 511-514. Marcel Dekker. New York.

Schultz, J. and Nardin, M. 2003. Theories and Mechanisms of Adhesion. *In* Handbook of Adhesive Technology 2nd ED (Pizzi, A. and Mittal, K.l., eds.), p. 52-57. Marcel Dekker. New York.

Shafrin, E.G. and Zisman W.A. 1960. Constitutive relations in the wetting of low energy surfaces and the theory of the retraction method of preparing monolayers. *J. Phys Chem.* 64 (5): 519–524.

Tester, R.F., Karkalas, J., Qi, X., 2004. Starch—composition, fine structure and architecture. *Journal of Cereal Science.* 39.: 151–165.

Watson, S.A., 1964. Determination of Starch Gelatinization Temperature. *In* Whistler, R.L. (ed.). Method in Carbohydrate Chemistry. Academic Press, New York. pp. 240-241.

ภาคผนวก

ภาคผนวก ก การเตรียมกาวและการทดสอบสมบัติการยึดติด

1. การเตรียมสารเคมี

1.1 การเตรียมเทกคิวไฟโออร์

ใช้สำหรับการเตรียมนำขางเพื่อปรับปรุงสมบัติด้านการยึดติดที่ดีขึ้น โดยการเตรียมให้อยู่ในรูปอิมลชัน ได้แก่ คือ คิวามารอน เรซิน, กัมารชิน และ ปีโตรเลียมเรซิน

การเตรียมเทกคิวไฟโออร์ในรูปอิมลชัน (สูตรชัย สันติวงศ์สกิต, 2543)

การเตรียมแบ่งเป็น 3 ส่วน ดังนี้

ส่วนที่ 1



ส่วนที่ 1

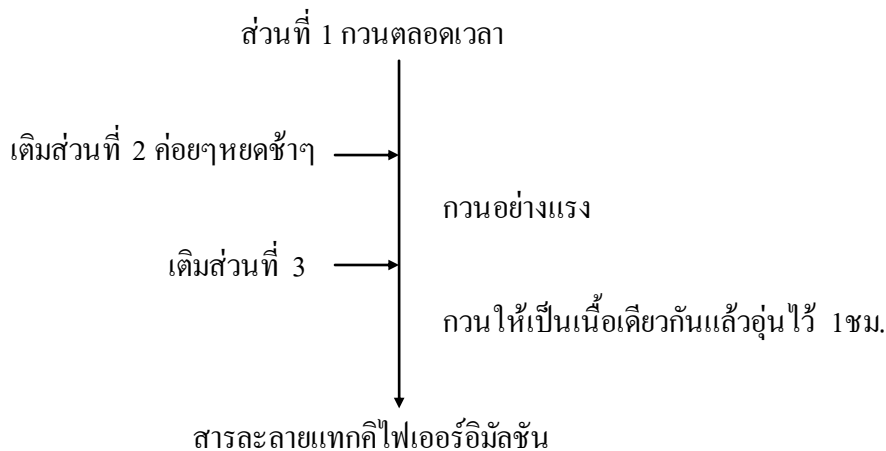
ส่วนที่ 2



ส่วนที่ 2

ส่วนที่ 3 โดยละลาย polyvinyl alcohol 12 กรัม ในน้ำ 86 กรัม กวนให้เข้ากันที่ อุณหภูมิ 70-80 °C

ขั้นตอนการเตรียมแทกคิไฟเออร์ในรูปอิมัลชัน



หมายเหตุ การเตรียมอิมัลชันของแทกคิไฟเออร์ อุณหภูมิที่ใช้ในการเตรียม มีผลอย่างมากต่อลักษณะ สารที่ได้ซึ่งไม่ควรจะใช้อุณหภูมิสูงเกิน 60°C และเวลาในการกวนหลัง การเติมส่วนที่ 3 นั้นขึ้นอยู่กับปริมาณสาร ถ้ามีปริมาณมากก็จำเป็นต้องใช้เวลาในการกวนนานมาก ขึ้นไปด้วย (นอกจากนี้ภายในห้องเติมส่วนที่ 3 ความหนืดของเหลวจะค่อยๆ เพิ่มมากต้องใช้แท่งแก้ววนไม่สามารถใช้เครื่อง Magnetic stirrer กวนได้) เพื่อทำการไอล์เบนชินหรือโทกูอีนออก

การเตรียมแทกคิไฟเออร์ (ปีโตรเลียมเรซิน) ในรูปคิสเพิร์สชัน

โดยเตรียมปีโตรเลียมเรซิน จำนวน 100 กรัม, Bentonite จำนวน 3 กรัม, Anchoid จำนวน 3 กรัม และ น้ำกลั่น จำนวน 94 กรัม ผสมให้เข้ากันและนำสารที่ได้ไปปนดสารเคมีด้วยเครื่อง ผสมสารเคมี (ball mill) เป็นเวลา 8 ชั่วโมง

1.2 การเตรียมหางน้ำยาง ให้มีปริมาณของแข็ง โดยประมาณ 30 % โดยวิธีการครีม (สารครีม 0.3 % w/w) นำสารละลายครีมที่เตรียมได้นำไปผสมกับหางน้ำยางในถัง 15 ลิตร ผสมให้เข้ากันจากนั้นตั้งทิ้งไว้จนเห็นการแยกชั้นระหว่างส่วนที่ใส (น้ำเชรุ่ม) อยู่ด้านล่างและ ส่วนที่เป็นชั้นครีม (หางน้ำยาง) อยู่ด้านบน จากนั้นปล่อยน้ำเชรุ่มถ่ายใส่ถังให้เหลือหางน้ำยางนำหางน้ำยางที่ได้ ตรวจหาค่า % Total solid content (ปริมาณของแข็ง)

1.2.1 การวิเคราะห์ % Total solid content ของหางน้ำยาง นำถ่ายแก้ว หรือถ้วยโลหะที่มีฝาปิด มาชั่งพร้อมฝาใช้เครื่องชั่งที่มีความละเอียดทศนิยม 4 ตำแหน่ง เท่าน้ำยาง ตัวอย่าง ไปประมาณ 2.5 ± 0.5 กรัม เอียงถ้วยไปมาให้น้ำยางตัวอย่างกระจายทั่วถ้วยนั้น นำไปอบที่

อุณหภูมิ $70 \pm 2^{\circ}\text{C}$ เป็นเวลา 16 ชั่วโมง (หรือจนเห็นยางใสไม่มีขาวขุ่นอยู่) ทำให้เย็นจนถึง อุณหภูมิห้องในเดสซิเกตอเรอร์ ชั่งน้ำหนักจากนั้นนำไปอบซ้ำเป็นเวลา 15 นาที ทำให้เย็นและชั่ง น้ำหนัก

$$\% \text{ TS} = (C-A) / (B-A) \times 100$$

A = น้ำหนักของงานพร้อมฝ้า

B = น้ำหนักของงานพร้อมฝ้ากับยาง

C = น้ำหนักของงานพร้อมฝ้ากับยางที่แห้งแล้ว

เตรียมตัวอย่างทดสอบ 3 ช้ำ ต่อ 1 ตัวอย่าง

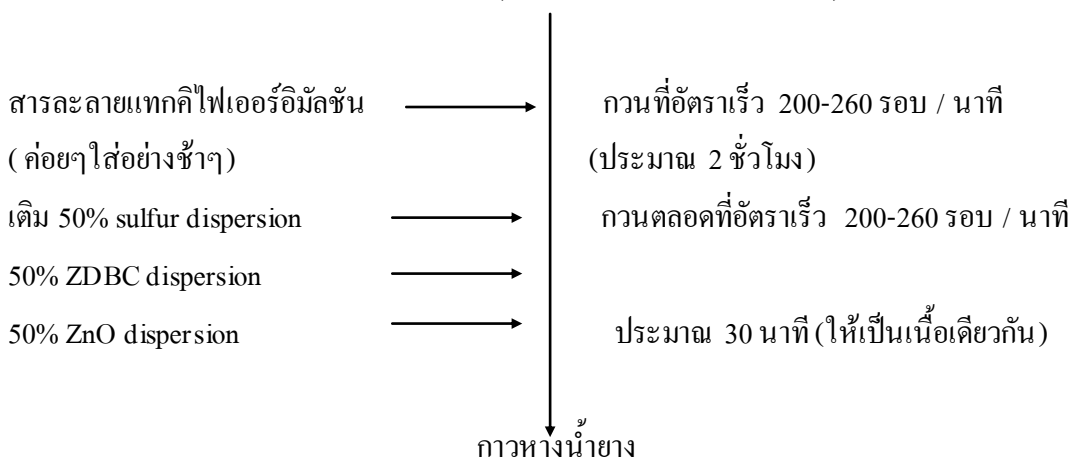
1.3 การเตรียมเจลแป้งมันสำปะหลัง นำแป้งมันสำปะหลัง ปริมาณ 20 ส่วน ต่อ น้ำ 100 ส่วนป่นผสมให้เข้ากันจากนั้นให้ความร้อนที่อุณหภูมิ $50-60^{\circ}\text{C}$ ป่นผสมประมาณ 15-20 นาที (เกิดเป็นเจล)

1.4 เตรียมสารละลาย PVOH (20 %)

นำผง PVOH ผสมกับน้ำและปรับให้เป็นสารละลายความเข้มข้น 20 % นำไป ผสมให้เข้ากันที่อุณหภูมิห้อง 20 นาทีแล้วจึงนำไปกรองใน water bath ที่ $80-90^{\circ}\text{C}$ เป็นเวลา 30 นาที

2. วิธีการเตรียมการหางน้ำยาง

หางน้ำยางเข้มข้น (ที่มีการปรับปริมาณของแป้ง)



3. ปริมาณการต่อพื้นที่ของแผ่นวัสดุที่ใช้ทดสอบ shear strength, peel strength และ pin adhesion

การหาปริมาณการ โดยกำหนดพื้นที่ขนาดของแผ่นกระดาษลูกฟูกตัดให้มีขนาด $10 \times 15 \text{ cm}$ และนำไปชี้งน้ำหนัก และนำไปหักกลับกันน้ำหนักกระดาษคราฟท์ที่ประกอบเป็น แผ่นกระดาษลูกฟูก โดยปริมาณการต่อพื้นที่ใช้ทดสอบแสดงได้ดัง Table 40

Table 40. Amount of glue to the area.

Sample test	Shear Strength	Peel Strength	Pin adhesion	
			Flute B	Flute C
Tapioca starch adhesive	0.0063 g	0.0187 g	0.1931 g	0.3477 g
Skim latex adhesives	0.0044 g	0.0190 g	0.1955g	0.3667 g

4. การคำนวณต้นทุนของการ

Table 41. Cost of Tapioca starch adhesive.

Item	Price /kg	Amount (kg)	Cost
			(baht)
Tapioca starch	13.30	0.20	2.66
Borax	30.40	0.01	0.30
NaOH	16.50	0.01	0.16
	total	0.21	3.12

Remark: Tapioca starch adhesive $\simeq 3.12 \text{ baht/kg}$.

โดยโซดาไฟอ้างอิงจากราคาของบริษัท เอบีชานย์ , บอแรคซ์อ้างอิงราคาของบริษัท จันทนาและราคาเปลี่ยนแปลงประจำปี ข้อมูลจาก Thai Tapioca Starch Association (TTSA)

ต้นทุนในการเตรียมเทกคิวฟีออร์

Table 42. Cost of coumarone resin.

Item	Price /kg	Amount (kg)	Cost
			(baht)
Coumarone resin	95.00	0.20	19.00
Toluene	65.00	0.21	13.97
25% KOH	420.00	0.003	1.07
12 % PVOH	125.00	0.05	6.00
Oleic	2500.00	0.004	8.75
	total	0.48	48.79

Remark: coumarone resin \simeq 48.79 baht/kg.

ในการคิดต้นทุนราคางานน้ำยางจะอ้างอิงตามราคาน้ำยางธรรมชาติ วันที่ 25/11/53
กิโลกรัมละ 120 บาท

ราคางานน้ำยาง 25 % (คิวมาโรน เรซิน 5 phr)

Table 43. Cost of skim latex adhesive (coumarone resin 5 phr).

Item	Price /kg	Amount (kg)	Cost
			(baht)
Skim latex (25%TS)	6.01	1.00	6.01
Coumarone resin	48.79	0.04	2.21
Sulfur	40.00	0.004	0.16
ZnO	55.00	0.004	0.22
ZDBC	120.00	0.002	0.24
	total	1.06	8.85

Remark: skim latex adhesive (coumarone resin 5 phr) \simeq 8.85 baht/kg.

กาวหางน้ำยาง 25 % (คิวมาโรนเรซิน 15 phr)

Table 44. Cost of skim latex adhesive (coumarone resin 15 phr)

Item	Price /kg	Amount	Cost
			(kg) (baht)
Skim latex (25%TS)	6.01	1.00	6.01
Coumarone resin	48.79	0.14	6.65
Sulfur	40.00	0.004	0.16
ZnO	55.00	0.004	0.22
ZDBC	120.00	0.002	0.24
	total	1.15	13.28

Remark: skim latex adhesive (coumarone resin 15 phr) \simeq 13.28 baht/kg.

กาวหางน้ำยาง (คิวมาโรนเรซิน 5 phr) ผสมกับกาวแป้งมันสำปะหลังอัตราส่วน 50:50
เตรียมในไลน์การผลิต

Table 45. Cost of skim latex adhesive mixed with tapioca starch adhesive.

Item	Price /kg	Amount	Cost
			(kg) (baht)
Skim latex (25%TS)	6.01	0.50	3.01
Coumarone resin	48.79	0.02	1.11
Sulfur	40.00	0.002	0.08
Tapioca starch	3.12	0.50	1.56
adhesive			
ZDBC	120.00	0.001	0.12
	total	1.03	5.88

Remark: Skim latex adhesive mixed with tapioca starch adhesive \simeq 5.88 baht/kg.

ກາວຫາງນໍ້າຍາງພສມກັບກາວ PVOH (25 phr)

Table 46. Cost of skim latex adhesive mixed with PVOH (25 phr).

Item	Price /kg	Amount (kg)	Cost (baht)
Skim latex (25%TS)	6.22	0.03	0.21
ZnO	55.00	0.0001	0.007
Sulfur	40.00	0.0001	0.005
ZDBC	120.00	0.00007	0.008
20%PVOH	125.00	0.08	10.40
	total	0.12	10.64

Remark: skim latex adhesive mixed with PVOH \simeq 10.64 baht/kg

ภาคผนวก

ภาคผนวก ข้อมูลการทดลอง

Table 47. pH of adhesives.

Formula/ No.	1	2	3	4	5	SD	\bar{X}
Tapioca starch adhesive	11.11	11.20	10.98	11.24	11.18	0.11	11.13
Skim 5%	10.77	11.28	11.01	11.21	10.92	0.21	11.03
Skim 10%	10.97	11.02	10.77	11.27	10.8	0.20	10.97
Skim 15%	11.01	10.69	10.86	10.74	10.67	0.14	10.79
Skim 20%	11.13	10.84	10.89	11.35	10.91	0.21	11.02
Skim 25%	10.98	10.95	10.64	11.33	11.01	0.24	10.98
Skim 20%+ 25phr Pr (dispersion)	10.79	10.80	10.93	10.88	10.63	0.11	10.80
Skim 20%+ 50phr Pr (dispersion)	10.55	10.89	10.42	10.44	10.58	0.19	10.58
Skim 20%+ 100phr Pr (dispersion)	10.33	10.18	10.22	10.09	10.21	0.09	10.20
Skim 20%+ 1 phr Pr	12.19	12.36	12.03	11.94	11.55	0.30	12.01
Skim 20%+ 2 phr Pr	12.13	11.88	11.59	12.01	11.71	0.22	11.86
Skim 20%+ 2.5 phr Pr	11.80	12.02	11.66	11.74	11.58	0.17	11.76
Skim 20%+ 3.5 phr Pr	10.86	11.27	11.06	10.99	11.04	0.15	11.04
Skim 20%+ 5 phr Pr	10.84	10.90	11.31	11.09	11.25	0.21	11.08
Skim 20%+ 7.5 phr Pr	11.04	11.11	11.08	10.85	11.13	0.11	11.04
Skim 20%+ 1 phr Cor	11.79	11.88	11.90	11.77	12.06	0.11	11.88
Skim 20%+ 2 phr Cor	12.01	11.85	11.92	11.47	11.98	0.22	11.85
Skim 20%+ 2.5 phr Cor	11.72	11.61	11.39	12.10	11.80	0.26	11.72
Skim 20%+ 3.5 phr Cor	11.30	10.96	11.31	11.28	11.26	0.15	11.22
Skim 20%+ 5 phr Cor	11.29	11.29	11.08	11.44	11.22	0.13	11.26
Skim 20%+ 7.5 phr Cor	10.88	10.76	11.24	11.06	11.21	0.21	11.03
Skim 20%+ 1 phr G	11.90	11.92	12.08	11.63	11.89	0.16	11.88

Remark: Cor =coumarone resin G = gum resin Pr = petroleum resin and

G+Cor = gum – coumarone mixed resin

Table 47. pH of adhesives cont.

Formula/ No.	1	2	3	4	5	SD	\bar{X}
Skim 20%+ 2 phr G	11.87	11.85	11.62	12.01	11.93	0.15	11.86
Skim 20%+ 2.5 phr G	12.13	11.67	11.47	11.78	11.54	0.26	11.72
Skim 20%+ 3.5 phr G	11.50	11.22	11.17	11.10	11.12	0.16	11.22
Skim 20%+ 5 phr G	11.26	11.27	11.09	11.37	11.29	0.10	11.26
Skim 20%+ 7.5 phr G	10.98	10.76	11.22	11.03	11.15	0.18	11.03
Skim 20%+ 1 phr G+Cor	11.81	11.73	11.47	11.60	11.45	0.16	11.61
Skim 20%+ 2 phr G+Cor	11.46	11.37	11.17	11.26	11.32	0.11	11.32
Skim 20%+ 2.5phr G+Cor	11.19	11.33	11.33	11.04	11.41	0.15	11.26
Skim 20%+ 3.5phr G+Cor	11.15	11.00	10.74	10.78	10.74	0.18	10.88
Skim 20%+ 5 phr G+Cor	10.95	11.02	10.77	10.77	11.09	0.14	10.92
Skim 20%+ 7.5phr G+Cor	11.15	11.03	10.60	10.88	10.86	0.21	10.90
Skim 20%+ 25 phr PVOH	10.42	10.48	10.77	10.56	10.56	0.13	10.56
Skim 20%+ 50 phr PVOH	10.14	9.98	9.87	10.39	10.30	0.21	10.14
Skim 20%+ 100 phr PVOH	9.23	9.60	9.44	9.21	9.30	0.16	9.36
Skim 5%+ 5 phr Cor	10.53	10.87	10.44	10.44	10.53	0.18	10.56
Skim 10%+ 5 phr Cor	9.87	9.89	10.01	10.10	9.78	0.12	9.93
Skim 15%+ 5 phr Cor	10.60	10.70	10.38	10.42	10.45	0.13	10.51
Skim 20%+ 5 phr Cor	11.32	11.21	11.21	11.19	11.40	0.09	11.26
Skim 25%+ 5 phr Cor	10.59	10.80	10.77	10.60	10.61	0.10	10.67
Skim 20%+ 7.5 phr Cor	10.64	10.83	10.74	10.74	10.71	0.07	10.73
Skim 20%+ 10 phr Cor	10.66	10.78	10.78	10.44	10.65	0.14	10.66
Skim 20%+ 15 phr Cor	10.06	10.05	10.51	10.55	10.18	0.24	10.27
Skim 20%+ 17.5 phr Cor	9.33	9.38	9.21	9.19	9.28	0.08	9.28

Remark: Cor =coumarone resin G = gum resin Pr = petroleum resin and

G+Cor = gum – coumarone mixed resin

Table 48. Total solid of adhesives.

Formula/ No.	g					SD	\bar{X}
	1	2	3	4	5		
Tapioca starch adhesive	19.0222	18.7278	18.3362	18.4501	18.1667	0.34	18.54
Skim 5%	5.8870	6.3232	7.0040	5.4450	5.6161	0.62	6.05
Skim 10%	13.3172	12.7971	12.3112	12.0799	13.4481	0.60	12.79
Skim 15%	16.7886	15.9774	15.7889	15.6609	16.0019	0.44	16.04
Skim 20%	19.6344	20.2203	19.3377	19.5099	19.4776	0.34	19.63
Skim 25%	24.2540	24.8110	24.2908	23.8883	24.0085	0.35	24.25
Skim 20%+ 25phr Pr (dispersion)	23.1181	24.0889	22.8819	23.3311	22.5766	0.57	23.19
Skim 20%+ 50phr Pr (dispersion)	25.8033	24.9993	25.7134	25.9090	26.0911	0.42	25.70
Skim 20%+100phr Pr (dispersion)	26.2421	27.0008	25.7768	25.6998	26.4451	0.53	26.23
Skim 20%+ 1 phr Pr	19.4900	19.7722	19.7431	20.1689	19.1116	0.39	19.66
Skim 20%+ 2 phr Pr	19.2727	19.3367	19.3007	19.5542	19.6622	0.17	19.42
Skim 20%+ 2.5 phr Pr	20.3644	20.1565	20.2771	19.9964	20.4555	0.18	20.25
Skim 20%+ 3.5 phr Pr	23.8508	23.1291	24.0088	23.5561	23.9115	0.35	23.69
Skim 20%+ 5 phr Pr	21.4343	20.9887	21.2759	22.0155	21.4300	0.37	21.43
Skim 20%+ 7.5 phr Pr	21.3111	22.2211	20.7766	21.3313	21.0045	0.55	21.33
Skim 20%+ 1 phr Cor	16.5143	19.0070	16.6688	19.3744	19.5560	1.50	18.22
Skim 20%+ 2 phr Cor	17.3832	18.4422	17.8900	16.8782	17.3339	0.59	17.58
Skim 20%+ 2.5 phr Cor	24.4332	20.0990	21.3374	20.0775	20.6654	1.81	21.32
Skim 20%+ 3.5 phr Cor	20.9544	21.0986	20.5566	21.1123	20.9008	0.22	20.92
Skim 20%+ 5 phr Cor	21.5421	20.7765	21.0076	21.4456	21.7765	0.41	21.31
Skim 20%+ 7.5 phr Cor	21.8129	20.9933	21.8865	20.6678	22.0012	0.60	21.47
Skim 20%+ 1 phr G	16.5221	19.0778	19.7753	18.8556	19.3430	1.27	18.71

Remark: Cor =coumarone resin G = gum resin Pr = petroleum resin and

G+Cor = gum – coumarone mixed resin

Table 48. Total solid of adhesives (cont.)

Formula/ No.	g					SD	\bar{X}
	1	2	3	4	5		
Skim 20%+ 2 phr G	17.3844	19.3800	18.8893	18.4998	19.6642	0.89	18.76
Skim 20%+ 2.5 phr G	24.4309	20.4456	20.6117	22.6311	20.9947	1.69	21.82
Skim 20%+ 3.5 phr G	20.9542	19.9987	20.1123	20.8876	20.0077	0.48	20.39
Skim 20%+ 5 phr G	21.5400	20.7730	20.5566	21.0933	21.3377	0.40	21.06
Skim 20%+ 7.5 phr G	21.8111	20.9944	21.0321	20.7720	21.0045	0.39	21.12
Skim 20%+ 1 phr G+Cor	19.2226	20.0133	19.9876	19.0223	19.2566	0.46	19.50
Skim 20%+ 2 phr G+Cor	19.8941	20.1420	19.7755	20.0573	20.2004	0.17	20.01
Skim 20%+ 2.5 phr G+Cor	20.1114	19.9980	20.1180	19.7664	20.3321	0.21	20.06
Skim 20%+ 3.5 phr G+Cor	21.3703	20.4133	19.9947	20.6990	21.3339	0.59	20.76
Skim 20%+ 5 phr G+Cor	20.5244	19.9799	20.0888	20.6898	20.5112	0.31	20.36
Skim 20%+ 7.5 phr G+Cor	21.2632	20.8711	20.7765	21.3345	21.2670	0.26	21.10
Skim 20%+ 25 phr PVOH	19.8515	20.0992	19.7755	19.9983	20.1366	0.15	19.97
Skim 20%+ 50 phr PVOH	20.1817	19.8773	20.3210	19.6755	20.2088	0.27	20.05
Skim 20%+ 100 phr PVOH	20.5011	20.9870	20.3122	20.4923	19.9981	0.36	20.46
Skim 5%+ 5 phr Cor	8.8384	7.6678	8.1198	6.8790	6.4412	0.96	7.58
Skim 10%+ 5 phr Cor	12.4681	11.8875	12.4711	10.8440	12.0975	0.67	11.95
Skim 15%+ 5 phr Cor	16.8853	15.9933	16.9031	17.0022	16.5466	0.41	16.67
Skim 20%+ 5 phr Cor	20.4465	20.9903	20.4113	19.8809	20.5051	0.39	20.44
Skim 25%+ 5 phr Cor	25.0960	24.7116	24.9054	23.7654	24.4489	0.52	24.59
Skim 20%+ 7.5 phr Cor	22.9202	21.9987	22.7765	22.5656	22.1008	0.41	22.47
Skim 20%+ 10 phr Cor	24.3331	24.0811	24.0013	23.8876	24.2213	0.18	24.10
Skim 20%+ 15 phr Cor	27.3747	28.2234	26.8866	27.3732	26.5590	0.63	27.28
Skim 20%+ 17.5 phr Cor	28.4730	29.0060	28.3397	27.9904	28.6622	0.38	28.49

Remark: Cor =coumarone resin G = gum resin Pr = petroleum resin and

G+Cor = gum – coumarone mixed resin

Table 49. Shear strength of adhesives.

Formula/ No.	N/mm²					SD	\bar{X}
	1	2	3	4	5		
Tapioca starch adhesive	0.44	0.51	0.42	0.44	0.43	0.03	0.45
Skim 20%	0.28	0.27	0.26	0.26	0.26	0.01	0.27
Skim 20%+ 25 phr Pr (dispersion)	0.45	0.50	0.43	0.49	0.42	0.03	0.45
Skim 20%+ 50 phr Pr (dispersion)	0.46	0.40	0.45	0.50	0.53	0.05	0.46
Skim 20%+100 phr Pr (dispersion)	0.39	0.42	0.39	0.35	0.41	0.02	0.40
Skim 20%+ 1 phr Pr	0.35	0.36	0.32	0.38	0.34	0.02	0.35
Skim 20%+ 2 phr Pr	0.39	0.35	0.43	0.35	0.41	0.04	0.39
Skim 20%+ 2.5 phr Pr	0.44	0.47	0.44	0.40	0.49	0.03	0.44
Skim 20%+ 3.5 phr Pr	0.46	0.46	0.41	0.45	0.46	0.02	0.45
Skim 20%+ 5 phr Pr	0.49	0.44	0.42	0.45	0.46	0.02	0.45
Skim 20%+ 7.5 phr Pr	0.49	0.40	0.46	0.51	0.45	0.04	0.46
Skim 20%+ 1 phr Cor	0.41	0.45	0.43	0.39	0.42	0.02	0.42
Skim 20%+ 2 phr Cor	0.36	0.41	0.38	0.35	0.34	0.02	0.37
Skim 20%+ 2.5 phr Cor	0.43	0.40	0.46	0.44	0.43	0.02	0.43
Skim 20%+ 3.5 phr Cor	0.49	0.47	0.44	0.52	0.49	0.03	0.48
Skim 20%+ 5 phr Cor	0.51	0.52	0.44	0.53	0.53	0.04	0.51
Skim 20%+ 7.5 phr Cor	0.52	0.48	0.53	0.45	0.52	0.03	0.50
Skim 20%+ 1 phr G	0.34	0.39	0.35	0.31	0.34	0.03	0.35
Skim 20%+ 2 phr G	0.31	0.35	0.34	0.35	0.29	0.03	0.33
Skim 20%+ 2.5 phr G	0.42	0.45	0.42	0.38	0.40	0.03	0.41
Skim 20%+ 3.5 phr G	0.49	0.45	0.44	0.50	0.49	0.03	0.47
Skim 20%+ 5 phr G	0.42	0.38	0.44	0.39	0.42	0.02	0.41
Skim 20%+ 7.5 phr G	0.39	0.40	0.38	0.42	0.40	0.01	0.40
Skim 20%+ 1 phr G+Cor	0.34	0.32	0.39	0.36	0.36	0.02	0.35

Remark: Cor =coumarone resin G = gum resin Pr = petroleum resin and

G+Cor = gum – coumarone mixed resin

Table 49. Shear strength of adhesives (cont.)

Formula/ No.	N/mm²					SD	\bar{X}
	1	2	3	4	5		
Skim 20%+ 2phr G+Cor	0.38	0.42	0.36	0.39	0.35	0.03	0.38
Skim 20%+2.5phr	0.42	0.40	0.39	0.44	0.41	0.02	0.41
G+Cor							
Skim 20%+ 3.5 phr	0.48	0.42	0.49	0.44	0.45	0.03	0.46
G+Cor							
Skim 20%+ 5 phr	0.40	0.36	0.41	0.37	0.40	0.02	0.39
G+Cor							
Skim 20%+ 7.5 phr	0.37	0.32	0.36	0.33	0.39	0.03	0.36
G+Cor							
Skim 20%+ 25 phr PVOH	0.58	0.53	0.53	0.63	0.57	0.04	0.57
Skim 20%+ 50 phr PVOH	0.61	0.57	0.65	0.62	0.61	0.02	0.62
Skim 20%+ 100 phr	0.64	0.62	0.62	0.67	0.64	0.02	0.64
PVOH							
Skim 5%+ 5 phr Cor	0.12	0.11	0.11	0.11	0.12	0.01	0.11
Skim 10%+ 5 phr Cor	0.26	0.27	0.25	0.26	0.27	0.02	0.26
Skim 15%+ 5 phr Cor	0.38	0.40	0.40	0.37	0.37	0.03	0.38
Skim 20%+ 5 phr Cor	0.45	0.44	0.49	0.43	0.42	0.02	0.45
Skim 25%+ 5 phr Cor	0.52	0.49	0.53	0.49	0.52	0.02	0.51
Skim 20%+ 7.5 phr Cor	0.58	0.57	0.54	0.59	0.55	0.02	0.57
Skim 20%+ 10 phr Cor	0.54	0.51	0.49	0.57	0.52	0.03	0.52
Skim 20%+ 15 phr Cor	0.61	0.6	0.57	0.64	0.62	0.03	0.62
Skim 20%+ 17.5 phr Cor	0.63	0.64	0.62	0.58	0.62	0.02	0.62
Skim 25%+ 7.5 phr Cor	0.60	0.62	0.60	0.62	0.57	0.02	0.60
Skim 25%+ 10 phr Cor	0.62	0.64	0.62	0.58	0.62	0.02	0.62
Skim 25%+ 15 phr Cor	0.65	0.62	0.63	0.63	0.64	0.01	0.63

Remark: Cor =coumarone resin G = gum resin Pr = petroleum resin and

G+Cor = gum – coumarone mixed resin

Table 50. Peel strength of adhesives.

Formula/ No.	N/mm					SD	\bar{X}
	1	2	3	4	5		
Tapioca starch adhesive	0.29	0.28	0.30	0.28	0.30	0.01	0.29
Skim 20%	0.24	0.25	0.22	0.25	0.23	0.01	0.24
Skim 20%+ 25 phr Pr (dispersion)	0.27	0.28	0.26	0.29	0.26	0.01	0.27
Skim 20%+ 50 phr Pr (dispersion)	0.25	0.23	0.28	0.23	0.26	0.02	0.25
Skim 20%+100 phr Pr (dispersion)	0.18	0.20	0.20	0.17	0.18	0.01	0.18
Skim 20%+ 1 phr Pr	0.24	0.26	0.22	0.23	0.26	0.02	0.24
Skim 20%+ 2 phr Pr	0.26	0.27	0.27	0.24	0.27	0.01	0.26
Skim 20%+ 2.5 phr Pr	0.31	0.29	0.34	0.32	0.31	0.02	0.31
Skim 20%+ 3.5 phr Pr	0.33	0.34	0.36	0.33	0.30	0.02	0.33
Skim 20%+ 5 phr Pr	0.30	0.32	0.27	0.33	0.30	0.02	0.30
Skim 20%+ 7.5 phr Pr	0.34	0.34	0.30	0.35	0.33	0.02	0.33
Skim 20%+ 1 phr Cor	0.30	0.26	0.31	0.31	0.32	0.02	0.30
Skim 20%+ 2 phr Cor	0.32	0.30	0.30	0.33	0.33	0.03	0.31
Skim 20%+ 2.5 phr Cor	0.33	0.35	0.32	0.32	0.30	0.03	0.32
Skim 20%+ 3.5 phr Cor	0.33	0.34	0.34	0.32	0.32	0.01	0.33
Skim 20%+ 5 phr Cor	0.34	0.33	0.32	0.35	0.33	0.01	0.34
Skim 20%+ 7.5 phr Cor	0.32	0.37	0.31	0.32	0.31	0.02	0.33
Skim 20%+ 1 phr G	0.25	0.22	0.27	0.27	0.24	0.02	0.25
Skim 20%+ 2 phr G	0.25	0.23	0.25	0.30	0.23	0.03	0.25
Skim 20%+ 2.5 phr G	0.29	0.32	0.31	0.28	0.29	0.02	0.30
Skim 20%+ 3.5 phr G	0.29	0.32	0.32	0.28	0.30	0.02	0.30
Skim 20%+ 5 phr G	0.27	0.27	0.24	0.26	0.29	0.02	0.27
Skim 20%+ 7.5 phr G	0.27	0.30	0.24	0.25	0.28	0.02	0.27
Skim 20%+1 phr G+Cor	0.26	0.29	0.24	0.25	0.26	0.02	0.26

Remark: Cor =coumarone resin G = gum resin Pr = petroleum resin and

G+Cor = gum – coumarone mixed resin

Table 50. Peel strength of adhesives (cont.)

Formula/ No.	N/mm					SD	\bar{X}
	1	2	3	4	5		
Skim 20%+ 2 phr G+Cor	0.30	0.28	0.30	0.27	0.36	0.03	0.30
Skim 20%+ 2.5 phr G+Cor	0.29	0.26	0.30	0.31	0.30	0.02	0.29
Skim 20%+ 3.5 phr G+Cor	0.31	0.29	0.31	0.34	0.30	0.02	0.31
Skim 20%+ 5 phr G+Cor	0.33	0.35	0.31	0.33	0.33	0.02	0.33
Skim 20%+ 7.5 phr G+Cor	0.33	0.33	0.33	0.33	0.33	0.00	0.33
Skim 20%+ 25 phr PVOH	0.32	0.32	0.32	0.32	0.32	0.00	0.32
Skim 20%+ 25 phr PVOH	0.34	0.32	0.35	0.34	0.36	0.02	0.34
Skim 20%+ 50 phr PVOH	0.35	0.34	0.32	0.33	0.36	0.01	0.34
Skim 5%+ 5 phr Cor	0.09	0.08	0.13	0.09	0.10	0.02	0.09
Skim 10%+ 5 phr Cor	0.17	0.20	0.17	0.18	0.16	0.02	0.18
Skim 15%+ 5 phr Cor	0.28	0.25	0.25	0.30	0.30	0.02	0.28
Skim 20%+ 5 phr Cor	0.32	0.34	0.28	0.35	0.31	0.03	0.32
Skim 25%+ 5 phr Cor	0.34	0.36	0.33	0.35	0.35	0.01	0.34
Skim 20%+ 7.5 phr Cor	0.28	0.26	0.33	0.29	0.29	0.02	0.29
Skim 20%+ 10 phr Cor	0.43	0.41	0.45	0.40	0.45	0.02	0.43
Skim 20%+ 15 phr Cor	0.39	0.39	0.42	0.39	0.36	0.02	0.39
Skim 20%+ 17.5 phr Cor	0.41	0.46	0.43	0.40	0.38	0.03	0.42
Skim 25%+ 7.5 phr Cor	0.37	0.35	0.41	0.38	0.36	0.02	0.37
Skim 25%+ 10 phr Cor	0.41	0.42	0.41	0.39	0.38	0.02	0.40
Skim 25%+ 15 phr Cor	0.48	0.46	0.50	0.47	0.49	0.02	0.48

Remark: Cor =coumarone resin G = gum resin Pr = petroleum resin and

G+Cor = gum – coumarone mixed resin

Table 51. Pin adhesion of adhesives.

Formula/ No.	N/cm					SD	\bar{X}
	1	2	3	4	5		
Tapioca starch adhesive (Flute B)	179	178	178	178	-	0.50	178.25
Tapioca starch adhesive (Flute C)	324	335	316	315	-	9.26	322.50
Skim 5%+ 5 phr Cor	33	45	39	44	32	6.02	38.60
Skim 10%+ 5 phr Cor	69	64	86	59	69	10.16	69.40
Skim 15%+ 5 phr Cor	101	99	88	119	101	11.13	101.60
Skim 20%+ 5 phr Cor	128	139	122	134	131	6.38	130.80
Skim 25%+ 5 phr Cor	140	145	156	133	142	8.41	143.20
Skim 20%+ 7.5 phr Cor	149	141	155	152	149	5.21	149.20
Skim 20%+ 10 phr Cor	173	163	169	169	170	3.63	168.80
Skim 20%+ 15 phr Cor	165	173	164	167	169	3.58	167.60
Skim 20%+ 17.5 phr Cor	166	169	169	161	170	3.67	167.00
Skim 25%+ 7.5 phr Cor	160	166	160	157	160	3.27	160.60
Skim 25%+ 10 phr Cor	178	174	180	178	182	2.97	178.40
Skim 25%+ 15 phr Cor	263	251	224	255	251	14.70	248.80
Skim 25%+ 15 phr Cor*	63	61	69	60	60	3.78	62.60
Skim 20%+ 30 phr Cor*	77	78	72	74	77	2.51	75.60
Skim 20%+ 55 phr Cor*	144	139	135	148	143	4.97	141.80

Remark: Cor =coumarone resin, * experimental production lines

Table 52. Bursting strength of adhesives.

Formula/ No.	Kgf/10cm²					SD	\bar{X}
	1	2	3	4	5		
Tapioca starch adhesive (Flute B)	9.4	9.6	9.2	9.4	9.4	0.14	9.4
Skim 25%+ 15 phr Cor*	9.0	9.2	8.8	9.0	9.0	0.14	9.0
Skim 20%+ 30 phr Cor*	8.8	8.6	9.0	9.0	8.8	0.17	8.8
Skim 20%+ 55 phr Cor*	9.4	9.2	9.6	9.2	9.4	0.17	9.3

Remark: Cor =coumarone resin, * from production line test.

Table 53. Edge crush test of adhesives.

Formula/ No.	Kg/cm					SD	\bar{X}
	1	2	3	4	5		
Tapioca starch adhesive (Flute B)	40.2	41.3	39.7	40.1	40.2	0.59	40.30
Skim 25%+ 15 phr Cor*	34.6	37.4	35.1	36	35.3	1.08	35.68
Skim 20%+ 30 phr Cor*	36.4	36.9	36.1	35.8	35.7	0.49	36.18
Skim 20%+ 55 phr Cor*	39.1	40.2	38.5	39.4	37.4	1.05	38.92

Remark: Cor =Coumarone resin * from production line test.

Table 54. Viscosity of adhesives.

Formula/ No.	cps					SD	\bar{X}
	1	2	3	4	5		
Tapioca starch adhesive	188.44	195.60	190.00	187.70	189.50	3.12	190.25
Skim latex 20%	58.30	55.90	51.80	55.10	55.60	2.33	55.34
Skim 5 + 5phr CoR	45.40	46.10	41.40	46.30	44.10	2.01	44.66
Skim 20 +5phr CoR	76.10	78.30	74.60	81.10	77.90	2.45	77.60
Skim 25 +5phr CoR	81.60	80.80	77.50	79.50	79.00	1.59	79.68
Skim 20 + 10 phr CoR	81.00	85.90	83.20	84.70	85.80	2.05	84.12
Skim 20 + 17.5 phr CoR	89.90	88.50	89.40	87.70	90.20	1.03	89.14

Remark: Cor =coumarone resin

ประวัติผู้เขียน

ชื่อ สกุล

นายจตุพันธ์ จุพันธ์ทอง

รหัสประจำตัวนักศึกษา

5111020051

วุฒิการศึกษา

วุฒิ

ชื่อสถาบัน

ปีที่สำเร็จการศึกษา

วิทยาศาสตรบัณฑิต

มหาวิทยาลัยศรีนครินทร์วิโรฒ

2543

(วิทยาศาสตร์การอาหาร)

ทุนการศึกษา (ที่ได้รับในระหว่างการศึกษา)

ทุนทักษะนักอุตสาหกรรมเกษตร จากศูนย์พันธุ์วิศวกรรมและเทคโนโลยีชีวภาพแห่งชาติ
สำนักงานพัฒนาวิทยาศาสตร์และเทคโนโลยีแห่งชาติ

การตีพิมพ์เผยแพร่ผลงาน

Julapantong, J. and Pisuchpen, S. 2011. Effect of coumarone resin on adhesion properties of skim latex-based adhesive. *In Proceeding of The third Conference in Environment Science, Engineering and Management. Chulalongkorn University Bangkok, Thailand. 14-15 March 2011.*